



BioCoherence 매뉴얼

Version 2025-02-07

일반 목차

소개

1. 바이오코히어런스의 간략한 역사	3
2. 교량 건설	5

바이오코히어런스 사용

3.1. 모듈 개요	14
<i>자세한 목차는 이 장의 시작 부분에서 확인할 수 있습니다.</i>	
3.2. 각 모듈에 대한 자세한 설명서	35
<i>자세한 목차는 이 장의 시작 부분에서 확인할 수 있습니다.</i>	

4. ADDENDUMS

4.1. Frequently asked questions	83
4.2. Reference medical studies	87
4.3. Bibliographie	99

BioCoherence의 간략한 역사

2024년 6월, BioCoherence의 첫 번째 공개 버전이 곧 출시될 예정입니다. 매뉴얼의 첫 번째 버전을 정리하면서 소개가 부족하다는 것을 깨달았습니다. 지금까지 1400개 이상의 독점적인 바이오마커, 40개 스크린, 심전도 스캔 분석, 라이브 바이오피드백을 통한 테스트, 리밸런싱 모듈을 갖춘 이 소프트웨어가 어떻게 여기까지 오게 되었을까요?

두 가지 수렴 경로를 되돌아보겠습니다.

저희가 에너지 평가 및 치료 기기를 처음 접한 것은 2011년으로 거슬러 올라갑니다. 크리스틴과 저는 결혼해서 세 아이를 낳았습니다. 그해에 당시 글루텐 불내증을 앓고 있던 둘째 딸 이시스가 중등학교에 입학할 예정이었습니다. 프랑스 남부의 피레네 산맥에 있는 작은 마을인 수르니아에 살던 우리는 딸이 학교에서 점심을 먹을 수 있도록 해결책을 찾고 있었습니다. 자세한 이야기는 생략하겠지만, 전문의에게 갔을 때 그는 대장내시경 검사만이 유일한 해결책이라고 말했습니다. 그리고 어차피 치료할 수 없다고 하더군요. 그래서 우리는 다른 해결책을 찾기 시작했습니다. 한 친구가 작은 마을에서 일하는 이상한 남자를 소개해줬는데, 이 이상한 남자는 30분 만에 모든 문제를 파악했을 뿐 아니라 한 달 후 완치 판정을 받았습니다.

크리스틴과 저는 서로를 바라보며 의학에 문제가 있다는 것을 깨달았습니다. 왜 병원은 우리에게 이런 해결책을 제시하지 못했을까요? 왜 그렇게 비밀에 부쳐졌을까요? 무엇보다도 도대체 이게 뭐였을까요?

2011년 말, 우리는 이 의사와 함께 비영리 단체를 설립하여 이러한 관행을 연구하고 검증하기 위해 노력했고, 그다음에는 치료 센터를 설립하고, 그다음에는 두 번째 비영리 단체를 설립했습니다. 마침내 2012년 말에 프랑스에 이 기기를 보급하기 위해 이 기기 제조업체와 연락을 취했습니다. 우리는 다른 사람들을 만나고 결국 탄탄한 유통망과 실무자 네트워크, 학교를 설립하게 되었습니다.

하지만 과학자, 엔지니어, 소프트웨어 디자이너, 음악가, 작가, 그리고 무엇보다도 강력한 크리에이터인 저는 상업적이거나 관리적인 역할에서 멈출 수 없었습니다. 저는 이미 여러 회사를 설립했고, 그곳에서 항상 전체 컴퓨터 시스템을 프로그래밍했습니다. 사실 저는 10살 무렵에 소프트웨어를 만들기 시작했고, 15살 무렵에 첫 번째 제품을 판매했습니다. 그 후 과학을 공부하고 음향 공학 학교에 진학한 후 1996년 크리스틴과 함께 웹 에이전시를 설립한 후 여러 스타트업에 설립했습니다. 우리가 유통하는 케어 디바이스로 돌아와서 디자이너로서 저는 제가 많이 경험하고 잘 이해하고 있는 이러한 검진 및 케어 시스템 설계에 혁신적인 원동력을 불어넣는 데 기여하고 싶습니다.

첫 번째 길은 과학, IT, 비즈니스, 그리고 이를 의료 분야에 적용하는 것이었습니다.

하지만 이 길만이 오늘날 바이오코히어런스로 이어진 유일한 길은 아닙니다.

또 다른 길은 명상입니다.

저는 11살이나 12살 때 마술에 대한 열정이 있었습니다. 파리의 마술 가게에서 하루 종일 모든 고객(쇼 비즈니스 전문가)을 만나며 시간을 보낼 수 있었죠. 13살 때쯤에는 마술을 직접 만들어서 매장에 팔기도 했죠... 그리고 그곳에서 전 세계에서 활동하던 마술사 피에르도 만났어요. 우리는 좋은 친구가 되었어요. 피에르는 어렸을 때부터 '유체이탈' 또는 '아스트랄 여행'을 해왔다고 해서 저를 매료시켰죠. 저는 들어본 적도 없었어요. 그는 저에게 그 주제에 관한 책 몇 권을 주면서 아주 자연스러운 일이라고 말했지만 얼마 후 연락이 끊겼어요.

그 이후로 저는 걸로 보이는 베일 너머에 훨씬 더 큰 세계가 존재한다는 것이 자연스러워 보였습니다. 하지만 지극히 물질주의적인 파리에서, 그것에 대해 아무것도 모르는 가정에서 어떻게 이 질문을 탐구할 수 있었을까요?

세월이 흐르면서 명상은 호기심의 원천이자 특권적이고 매력적인 토론의 주제로 남았지만, 그 이상은 아니었습니다. 10대 시절에도 명상을 시도했고, 성인이 되어서도 명상을 시도했지만 큰 성공을 거두지 못했습니다. 그러다가 삶은 지금 여기에서 모든 요구와 함께 구체화되기 시작했습니다.

2011년으로 돌아가서, 중요한 해, 여러 가지 길이 융합된 해로 돌아옵니다. 이시스가 회복을 시작하면서 우리는 페르피냥에 있는 가정의학과 의사를 소개받았습니다. 그는 사물을 다르게 보았습니다. 그래, 가자. 나는 그에게 모든 것에 대해 이야기했고 명상이라는 주제가 다시 떠올랐고, 나는 그에게 내가 몸 밖으로 나가려고 시도했지만 별다른 성공을 거두지 못했다고 말했습니다. 그는 귀에 다른 주파수를 가진 소리를 기반으로 한 기술을 알고 있지만 그것에 대해 더 많이 알지 못한다고 대답합니다. 하지만 소리는 저에게 말을 걸었고 저는 바이노럴 비트를 찾아서 발견했습니다. 그리고 그때부터 그때까지 지루하기만 했던 진전이 크게 가속화되었습니다. 몇 달 만에 우주는 안팎으로 확장되고 있었습니다. 그 중요한 해 이후로 모든 것이 우리를 중심으로 재편되고 있습니다.

저는 영화 프로젝트를 위한 일련의 인터뷰를 시작했습니다. 약 40명의 매력적인 사람들을 만나고 촬영했습니다. 결국 저는 그들의 책을 번역하기 위해 프랑스 출판사를 설립했고, 지금까지 약 20권의 작품을 출간했습니다.

크리스틴은 놀랍게도 투시력이 생겼습니다. 좋은 일이네요. 제 딸도 마찬가지예요. 훌륭한 과학자답게 몇 가지 검증 절차를 거치고 있어요. 모든 것이 매우 현실적으로 보이네요, 인정합니다. 그해, 7년간의 산속 가족 생활(크리스틴이 직접 설계한 집을 짓기 위해 2004년에 파리를 떠났었죠)을 마치고 디즈니랜드가 개장했습니다. 그리고 세상은 훨씬 더 넓어졌습니다. 집은 이전보다 더 환상적인 존재들로 가득 차요. 말도 안 되지만 일화가 거듭될수록 이 새로운 현실을 믿지 않을 수 없게 되죠.

한편으로는 에너지 평가와 치유 장치 및 소프트웨어, 그 놀라운 가능성에도 불구하고 다양한 한계와 좌절감을 안겨주는 것, 다른 한편으로는 명상, 내면의 개인 개발, 세상의 경계를 넓히는 것, 자신을 통제하고 자신의 책임을 자각하는 엄청난 힘. 이 두 가지 길이 함께 어우러져 있는 것이죠.

그래서 2017년에 저는 이 두 가지를 결합한 첫 번째 연합체를 운영하며 크리에이터를 위한 플랫폼으로 명상 앱 프로젝트를 시작했지만 너무 복잡해서 끝내지 못했습니다. 2018년에는 명상에 결들일 수 있는 바 이노럴 비트와 기타 소리를 생성하는 앱을 만들었는데, 너무 복잡해서 끝내지 못했습니다. 반복되는 패턴이 보이기 시작했습니다. 너무 복잡하고 완성되지 않은 앱은 이번이 처음이 아닙니다. 좋아, 전부 다시 작성해서 단순화해 봅시다. 아, 우리가 이겼습니다! 2021년에는 덜 복잡하고, 만세! - 완성된 앱을 선보일 예정입니다. 33, Christine의 첫 두 권의 책을 바탕으로 한 가이드 명상.

한 가지 세부 사항이 남았습니다. 더 많은 것을 제공하고 싶습니다. 명상을 선택하고 조정할 수 있는 신뢰할 수 있는 측정 시스템을 얻고 싶습니다. 앞서 말했듯이 이 작업에는 3년이 걸렸습니다. 2022년에는 심전도 측정에 기반한 첫 번째 도구를 연례 마스터클래스에 선보일 수 있을 것 같습니다. 2023년, 1년여의 작업 끝에 인터페이스는 수많은 시각화로 장식되었고 새로운 화면이 만들어졌습니다. 6개월의 연구 끝에 2024년 4월, 상호 작용에 목말라하던 소프트웨어가 2026년 4월에 출시되었습니다

이 첫 번째 버전에 도달하기 위해 저는 구현할 아이디어를 과감하게(그리고 상상할 수 있듯이 고통스럽게) 선택했습니다. 하지만 40년 가까이 창작을 해오면서 마침내 창작을 위한 창작은 의미가 없으며, 공유하기 위해 창작해야 한다는 것을 깨달았습니다. 그러기 위해 저는 이 소프트웨어를 이해하기 쉽게 만드는 데 생각보다 훨씬 더 많은 시간을 투자해야 했습니다. 아직 존재하지 않는 모든 것에 대해 여전히 좌절감을 느끼지만 저는 해냈습니다. 앞으로도 계속해서 아이디어와 도구를 통합하고 공유할 것이며, 항상 아름답고 쉽고 직관적으로 사용할 수 있도록 노력하겠습니다.

메데릭 데고이, BioCoherence 소프트웨어 디자이너.

교량 구축

바이오코히어런스의 전반적인 설계에는 여러 가지 핵심 개념이 적용되었습니다. 이러한 개념은 모든 기본 논리를 안내하기 때문에 일반적인 개념을 이해하는 것이 중요합니다.

우리의 임무는 종종 연결되지 않은 도메인 간에 다리를 구축하는 것입니다. 여기에는 : 사이버네틱스; 시스템 이론; 에너지, 엔트로피, 네젠트로피; 출현; 휴리스틱; 동시성; 에르고딕성; 자원 이론; 캐스케이드 이론; 배아 발생; 프롤로그 이론; 공명의 원리; 일관성의 원리; 스케일 파동; 시간적 결정; 몸과 마음의 관계; 물질-에너지-정보-기호화 관계; 물리적 엔트로피와 정보 엔트로피; 무의식과 원형.

달리 명시되지 않는 한, 모든 인용문은 위키백과에서 발췌한 것입니다.

사이버네틱스

사이버네틱스는 "자연 및 인공 시스템의 규제와 커뮤니케이션에 관한 일반 과학"입니다

"사이버네틱스는 복잡한 시스템의 정보 메커니즘을 연구하는 학문입니다. 이 연구 분야는 피드백 또는 *목적론적 메커니즘*이라는 핵심 개념을 중심으로 전개됩니다. 사이버네틱스의 목표는 "동물과 기계의 제어 및 통신에 관한 전체 이론"으로서 자동 제어, 전자공학, 수학 정보 이론의 초기 분야(1942년에서 1953년 사이)에 대한 통합된 비전을 제시하는 것이었습니다.

노버트 위너에 의해 공식화된 사이버네틱스는 무엇보다도 팔로알토 학파의 체계적 치료법이나 자기 조직화에 대한 생물학적 이론의 기원에 있습니다."

흥미로운 메모입니다:

- "1894년 루드비히 볼츠만은 엔트로피가 우리가 접근할 수 없는 정보와 연결되어 있다는 점에 주목하면서 엔트로피와 정보를 연결시켰습니다
- "생리학은 또한 그에게 많은 요소를 제공했습니다. 예를 들어 클로드 베르나르가 강조한 항상성의 원리를 들 수 있습니다
- "사이버네틱스는 특히 형태를 통해 자율성과 특수성을 파악하기 위해 현상을 조사한 다음 모델링, 역학이라는 다른 유형의 분석으로 넘어간다는 점에서 현상학의 연속이기도 합니다."
- "이 접근 방식에서 피드백이 강조되는 이유는 피드백이 자기 조절 로직을 설계하는 데 필수적이기 때문입니다. 그래서 우리는 시스템을 강조하는 순환 메커니즘인 피드백 루프의 출현을 보게 됩니다."
- "이머전스라는 용어는 곧 새로운 형태뿐만 아니라 시스템이 자발적으로 재구성되는 과정에서 나타나는 새로운 속성과 프로세스를 지칭하는 데에도 사용될 것입니다. 이러한 유형의 현상은 때때로 시스템의 재조직을 넘어 더 높은 수준의 복잡성을 가진 조직을 수반하기도 합니다."
- "2차 사이버네틱스에서는 관찰자가 관찰되는 시스템에 자신을 포함시킵니다

사이버네틱스는 생태학, 정신분석학, 정보과학, 시스템학, 인지과학, 인공 지능 및 인터넷의 근간을 이루고 있습니다

바이오코히어런스에 적용

가장 깊은 수준(컴퓨터, 운영 체제 및 인터넷의 존재)에서 가장 분명한 수준(시스템 논리, 레벨 1, 2 및 3 분석 및 새로운 속성의 출현, 모든 요소의 연결, 링크 및 공명 계산)에 이르기까지 모든 수준의 전체 소프트웨어에서.

피드백의 원리는 특히 바이오피드백 측정에서 소프트웨어의 핵심입니다.

흥미롭게도 사이버네틱스는 시스템의 제한과 제약에 초점을 맞춥니다. 이는 가능한 선택에 대한 표시를 제공합니다. 그러나 동등성의 원칙은 다양한 경로를 통해 목표에 도달할 수 있다는 것을 규정합니다.

시스템 이론

"시스템 이론은 모든 유형의 현상을 정의, 연구 또는 설명하는 방법으로, 무엇보다도 이러한 현상을 시스템, 즉 더 큰 시스템 내에서 하위 시스템 간의 복잡한 상호 작용 집합으로 간주하는 것으로 구성됩니다. 이는 전체, 즉 전체 시스템 자체의 기능과 활동을 고려하지 않고 시스템을 부분으로 세분화하는 데 초점을 맞추는 기존의 접근 방식과는 다릅니다.

시스템 사고는 글로벌, 거시적, 전체론적 또는 종합적 접근 방식을 선호하며, 다양한 관점과 다양한 수준의 조직에서 시스템을 관찰하고 연구하며, 무엇보다도 시스템의 각 부분 사이에 존재하는 다양한 상호작용을 고려합니다.

20세기 중반에 서서히 등장한 시스템 사고는 전체를 독립된 부분으로 나누는 경향이 있고 현실을 이해하는 데 한계를 보이는 데카르트의 분석적 전통과 다른 형태의 환원주의에 반대하여 구축되었습니다."

흥미로운 메모입니다:

- "여기서 핵심적인 개념은 의심할 여지 없이 피드백 루프라는 개념을 통해 정의되는 조절의 개념입니다." "상호작용(또는 상호관계)은 비선형 인과관계의 개념을 말합니다. 이 개념은 생물학에서 공진화와 공생을 이해하는 데 필수적인 개념입니다. 상호작용의 한 가지 특별한 형태는 피드백이며, 이 연구는 사이버네틱스 연구의 핵심입니다."
- "전체성(또는 글로벌리티). 시스템은 무엇보다도 요소들의 집합이지만, 그 요소들로 환원되지는 않습니다. '전체는 부분의 합보다 크다'는 말이 있듯이 전체는 부분의 합보다 더 큼니다
- "조직은 시스템이란 무엇인가를 이해하기 위한 핵심 개념입니다. 조직화는 요소를 계층적 수준으로 구분하여 전체를 배열하는 것입니다. 조직화 정도에 따라 전체는 동일한 속성을 갖지 않습니다. 이것은 **전체의 속성이 그 안에 포함된 요소의 성격과 수보다는 요소들 사이에 형성된 관계에 따라 달라진다는** 생각으로 이어집니다." 개방 시스템은 물질, 에너지 및 정보의 교환을 통해 자기 조직화 능력을 발휘하는 시스템입니다
- 개방형 시스템으로서 생명체는 네거트로피 루프(엔트로피를 줄이고 더 높은 질서를 만드는 것)를 만들 수 있습니다.
- "동적 시스템"에 관한 한, 이 분야를 특징짓는 첫 번째 아이디어는 겉으로 보이는 무질서 뒤에는 눈에 보이는 질서보다 더 복잡한 질서가 존재한다는 것입니다. 두 번째 아이디어는 이 질서가 자기 조직화와 이전에는 없었던 새로운 특성과 속성의 출현에 의해 생성된다는 것입니다."

바이오코히어런스에 적용

- 요소 자체에 대한 평가만큼, 또는 그보다 더 중요한 요소 간의 연관성을 식별하는 것입니다.

이머전스

"이머전스는 "전체는 부분의 합보다 크다"라는 격언으로 대략적으로 요약할 수 있는 철학적 개념입니다. 이는 환원주의와 이원론적 교리(이원론 또는 생명론)에 모두 반대되는 개념입니다.

어떤 속성이 더 근본적인 속성으로부터 "따라오는" 동시에 그 속성에 대해 "새로운" 또는 "환원 불가능한" 상태를 유지하는 경우, 그 속성을 출현적이라고 설명할 수 있습니다. 예를 들어, 존 스튜어트 밀은 "물의 성질은 수소나 산소의 성질로 환원될 수 없다"고 말합니다

흥미로운 지적이군요:

- "우리는 때때로 시스템의 미시적 수준과 거시적 수준 간의 관계와 관련하여 '동시적 출현'에 대해 이야기합니다. 이 경우 출현은 개념적 환원 불가능성을 의미합니다. 즉, 출현하는 속성과 법칙은 더 작은 규모의 구성 요소 간의 관계를 규정하는 법칙으로 환원할 수 없는 법칙에 의해 지배되는 복잡한 시스템의 체계적 특성입니다."

바이오코히어런스에 적용

- 출현의 논리: 분석은 여러 단계로 수행되며, 각 단계는 하위 수준에는 존재하지 않는 상위 수준의 속성을 드러냅니다. 마지막 단계에서는 리소스를 찾습니다.

에너지

"에너지는 행동, 힘, 지속 시간과 관련된 개념으로, 행동을 실행하려면 이러한 변화에 반대하는 관성과 저항을 극복할 수 있는 충분한 시간 동안 일정한 힘을 유지해야 합니다."

바이오코히어런스에 적용

바이오마커의 에너지는 바이오마커의 종류에 따라 다른 방식으로 측정됩니다. 각 바이오마커에 맞는 최소/최대 척도로 배치하면 이것이 꽃의 세로축이 됩니다.

엔트로피

엔트로피는 명확하면서도 복잡한 개념이지만, 무엇보다도 분야에 따라 상당히 다르게 설명되는 용어입니다.

- 물리학자에게 엔트로피는 동요, 무질서입니다.
- 정보 이론에서 엔트로피는 다양한 정보의 가능한 원시적 양을 측정하는 척도입니다.
- 컴퓨터 과학에서는 기본적으로 가능한 정보의 범위, 즉 공간의 크기를 의미합니다.

엔트로피의 개념은 시스템의 무질서에 비례하는 것으로 요약할 수 있으며, 그 반대 개념인 네겐트로피는 시스템의 질서 정도에 비례합니다.

바이오키어런스에 적용

다양한 수준에서 바이오마커의 변화를 측정하여 꽃의 수평 축을 형성하는 교반 인자를 추론합니다.

자원 이론

크리스틴 데고이가 개발한 자원 이론은 모든 생명체에는 다른 부분에 영양을 공급하는 완벽하게 기능하는 부분이 존재한다고 가정합니다. 시스템 논리에서 이러한 부분은 필요한 다른 하위 시스템과 능동적으로 연결된 자원 부분입니다.

크리스틴은 유기적, 심리적, 에너지적, 비물리적(즉, 전체 시스템과 상호작용하지만 일반 물질과 동일한 물리적 법칙을 따르지 않는 물질로 구성) 등 모든 수준에서 자원을 식별했습니다.

바이오키어런스에 적용

가장 높은 수준의 긴급 요소인 자원을 식별하면 해결해야 할 우선순위에 대한 일관된 계획을 수립하고 이를 통해 전체 시스템을 최적화할 수 있습니다.

캐스케이드 이론

질병의 근본 원인을 찾는 폴 슈미트의 원칙을 따르고 이후 필립 마차가 발전시킨 캐스케이드 이론은 체계적 접근법의 일부입니다. 이 이론은 고통받는 기관이나 시스템이 인과적 요인과 에너지적 상호 관계의 사슬의 일부이며, 치료가 효과적이라면 이 사슬을 역추적해야 한다고 가정합니다.

바이오키어런스에 적용

바이오키어런스는 연결고리와 일관된 시스템을 식별함으로써 완전한 인과 사슬을 재구성하고 장애의 원인에 대처할 수 있게 해줍니다. 그러나 여기서는 인과 사슬의 개념을 여러 사슬로 확장하고, 요소들이 일관성을 유지하는 시스템이 지속적인 균형을 되찾으려면 모든 수준에서 동시에 개입해야 한다는 사실로 확장하고 있습니다.

배아 발생

"배아가 형성되는 동안 세포는 서로 구분할 수 있는 세포층으로 조직되는데, 바깥층은 외배엽, 안쪽 층은 내배엽으로 불립니다. 중간층은 중배엽이라는 조직을 형성합니다. 포유류에서 각 층은 다른 목적을 가지고 있습니다: 내배엽은 소화관 및 관련 샘(췌장)을 생성하고 중배엽은 근육, 골격 및 혈관을 생성합니다;

외배엽은 표피와 신경계를 생성합니다."

바이오키어런스에 적용

우리는 이러한 요소들이 특정 공명에 의해 성체 유기체에서 계속 연결되어 있다고 가정하고, 배아 기원에 의해 연결된 요소들로 구성된 크리스틴 데고이가 개발한 8개의 말뚝치를 고려합니다. 그런 다음 이러한 관계를 결과 해석에 통합합니다.

프롤로그 이론

크리스틴 드고이의 '프롤로그, 삶의 의미를 재발견하다'에서 발췌한 내용입니다.

"보살핌과 성취에 대한 통합적인 접근 방식입니다. 본질적으로 통합적이고 여러 분야를 아우르며, 시너지 효과를 발휘하는 가용 자원으로 사람의 모든 구성 요소의 공명에 초점을 맞춘 체계적이라고 설명할 수 있습니다."

프롤로그는 질병 중에도 자기 성취를 위한 강력한 지렛대로서 신체를 통합하는 완전한 패러다임의 전환을 제공합니다. 프롤로그의 강력한 원칙은 "모든 인간은 프로젝트를 가진 시스템이며, 그 시스템을 구성하는 모든 것은 그 목표를 달성하기 위해 설계되었다"는 논제로 설명되는 시스템적 접근법과 결합된 인생 프로젝트에 기반합니다

이 프롤로그를 통해 개인 프로젝트 지원 측면에서 인체를 지도화할 수 있었고, 성숙과 숙달의 성장에서 연속적인 단계의 시간적 조직을 발견할 수 있었습니다.

발생학을 기반으로 작성된 지도는 인간 본성의 세 가지 기동인 의지, 사랑, 지혜와 결합하여 질병에 대한 새로운 이해를 불러일으킵니다. 프롤로그적 해독은 질병을 실패가 아닌 시스템의 변화로 봅니다. 인간의 물질-에너지-정보 시스템이 계속 발전하기 위해 개선이 필요할 때, 인간은 진화를 위한 모든 기회를 활용하여 기술과 행동, 필요와 욕구, 삶과 주변 세계에 대한 비전을 수정하고 발전시킵니다.

각 기관은 각 개인의 인생 프로젝트를 성취하는 데 중요한 역할을 하며, 진화에 필요한 변화의 규모에 따라 다양한 정도의 재량으로 업데이트됩니다.

프롤로그 접근법의 목표는 개인의 인생 계획을 존중하면서 균형, 에너지, 편안함을 회복하여 모든 사람이 자신의 잠재력을 발휘할 수 있도록 하는 것입니다.

바이오코히어런스에 적용

이 소프트웨어를 사용하면 인생 프로젝트에 따라 진행 중인 문제와 변화를 완벽하게 평가하고 식별할 수 있습니다. 이는 갈등과 방해에 기반한 생물학적 해독과는 달리 목표와 에너지 방출에 기반한 긍정적인 판독입니다.

공명의 원리

"공명은 특정 물리적 시스템(전기, 기계 등)이 특정 주파수에 민감하게 반응하는 현상입니다. 공진 시스템은 '공진 주파수'로 알려진 주파수에 주기적으로 가까이 가해지는 경우 에너지를 축적할 수 있습니다

바이오코히어런스에 적용

오디오 명상을 하는 동안 특정 주파수에서 방출되는 소리 또는 일련의 소리는 특정 유기적 또는 정신적 구조에 활력을 불어넣습니다.

일관성의 원리

"물리학에서 코히어런스는 파동 시스템의 상관 관계 속성의 집합입니다. 두 파동 사이의 일관성, 두 개의 다른 시간에 동일한 파동의 값(시간적 일관성) 또는 두 개의 다른 장소에서 동일한 파동의 값(공간적 일관성) 사이의 일관성을 말할 수 있습니다. 일관된 빔의 예: 레이저 빛"

바이노럴 비트

"바이노럴 비트는 특정 물리적 자극의 결과로 뇌에서 감지되는 명백한 소리입니다. 이 효과는 1839년 하인리히 빌헬름 도브에 의해 발견되었습니다.

뇌는 주파수가 약간 다른 두 개의 소리가 피험자의 각 귀에 독립적으로 전달될 때 저주파 펄스로 인식되는 현상을 일으킵니다. 두 주파수의 차이가 4헤르츠인 경우 피험자는 초당 4비트 소리를 듣게 됩니다."

바이오코히어런스에 적용

오디오 명상 중에는 해결해야 할 우선순위에 따라 특정 바이노럴 비트가 통합됩니다. 이를 통해 알파, 베타, 감마 또는 세타 범위의 특정 주파수에 대해 뇌를 훈련할 수 있습니다.

스케일 파

마크 헨리는¹ "세 가지 공간적 차원과 시간적 차원과 독립적인 다섯 번째 차원의 스케일이 존재한다"고 설명합니다. 이 새로운 차원을 통해 관찰되거나 측정된 시공간적 현상이 작동하는 척도를 결정할 수 있습니다. 그러나 새로운 차원이 존재한다면 반드시 그 안에서 전파될 수 있는 파동도 존재합니다. 물론 이것이 바로 스케일 파동입니다. 이 파동의 역할은 동일한 물리적 대상에 대해 서로 다른 척도로 묘사하고 표현하는 것 사이의 일관성을 보장하는 것입니다. 이러한 스케일 파동은 양자 또는 상대론 물리학에 관한 학술 논문에는 나타나지 않습니다. 하지만 우리에게 매우 친숙한 개념입니다. 한 개인이 자신을 구성하는 여러 부분을 어떻게 인식하는지에 대해 자문해 보기만 하면 됩니다. 스케일 파동 덕분에 같은 개인은 자신을 설명하는 데 어떤 척도를 사용하든 자신의 통일성을 느낄 수 있습니다."

스케일 파동은 조엘 스텐하이머에 의해 이론화되었으며, 그는 이를 프로테오디에 실제로 적용했습니다.

시간 결정

"시간적 결정은 시간과 공간의 주기적 구조입니다. 이러한 구조에 대한 아이디어는 2012년에 프랭크 윌첵이 제안했습니다. Wilczek에 따르면 주기적으로 움직였다가 원래 상태로 돌아가는 입자 그룹으로 구성된 구조를 '시간적 결정'이라고 생각할 수 있습니다. 이 표현은 원자 구조가 공간에서 다른 방향으로 패턴이 반복되는 "고전적" 결정에서 관찰되는 것에서 만들어졌습니다. 반면에 시간 결정에서는 패턴이 오실레이터처럼 시간적으로 주기적으로 반복됩니다. 외부의 주기적인 여기만으로 **에너지를 흡수하는** 시간 결정이 나타날 수 있습니다

바이오코히어런스에 적용

요소 간의 연결 고리가 확인되면 반복되는 패턴을 식별할 수 있습니다. 이러한 패턴(생각, 움직임, 통증, 다양한 오작동의 연속일 수 있음)은 일반 시스템에서 지속적으로 에너지를 흡수하여 움직임을 영속화하는 구조를 형성한다는 아이디어입니다. 소프트웨어의 알고리즘을 사용하여 반복을 끊을 수 있는 특정 노드 포인트를 찾을 수 있습니다.

심신 관계

"발생이라는 개념은 1960년대 도널드 데이비슨이 정신이 신체에 체계적으로 의존하고 환원될 수 없다는 모순적인 생각을 조화시키기 위해 정신 철학 분야에 도입한 개념으로, 정신이 신체에 체계적으로 의존하고 환원될 수 없다는 모순적인 생각을 조화시키기 위해 도입된 개념입니다. 유형 B의 속성(예: 정신)이 유형 A의 속성(예: 신체)에서 발생할 때, 유형 B의 변화는 유형 A의 변화와 동일합니다. 따라서 어떤 사건이 발생했을 때 다른 수준의 설명에서 다른 종류의 차이 없이는 한 종류의 차이가 있을 수 없습니다. 따라서 이 두 수준 사이에는 공변량 관계가 존재합니다

"사이먼 블랙번에 따르면, 현대의 물리적 자연 개념에는 색, 고통, 그리고 세계에 대한 우리의 경험의 질적 측면을 구성하는 다른 모든 것과 같은 질적 속성이 결여되어 있습니다."

"갈렌 스트로슨과 같은 일부 범심리학자 철학자들은 이러한 관점에서 모든 물리적 대상은 사실 경험의 속성과 유사한 정신적 속성이라고 주장합니다."

물질-에너지-정보-기호화 관계, 물리적, 에너지, 정보 및 기호의 엔트로피

"세계에 대한 우리 경험의 질적 측면"으로 돌아가려면 한 걸음 물리나 물질에 대해 살펴봅시다:

- 물질은 파동과 입자로 구성되어 있습니다. 물질은 물질(입자) 또는 에너지(파동)로 설명할 수 있습니다. 실제로 파동은 기타 줄이 스스로 접혀서 자기장을 만드는 것처럼 스스로를 향해 닫혀 있는 정지된 파동입니다. 이러한 방식으로 파동은 ...

- 에너지를 생성하여 저장하거나 순환시킵니다. 이 에너지는 교환될 수 있지만 그 자체로 음이나 양이 아니라 단순히 한 방향 또는 다른 방향으로의 에너지 잠재력의 교환을 나타냅니다. 반면에, 이것은 ...

- 정보를 전달하며, 이는 에너지 또는 물질에 인코딩되어 ...

- 의미, 즉 궁극적으로 의식을 가진 존재로서 우리에게 중요한 유일한 것입니다.

이를 통해 엔트로피의 개념을 이해할 수 있습니다. 물질의 수준에서 엔트로피는 동요 또는 에너지 잠재력입니다. 정보 수준에서 엔트로피는 매체(에너지 또는 물질)에서 전송 가능한 정보의 양입니다. 그러나 궁극적인 의미에서 엔트로피는 실제로 전송할 수 있는 중요한 정보의 양입니다.

1. <https://marchenry.org/2014/09/15/ondes-dechelle/>

예를 들어 핵폭탄을 작동시키는 버튼을 상상해 보세요. 정보 수준에서는 단 한 비트의 정보만으로도 폭탄을 작동시킬 수 있습니다. 물질과 에너지 수준에서 보면 그 효과는 거대하지만 국지적입니다. 그리고 중요성 수준에서는 도시(공간과 시간에 미치는 영향이 큰) 또는 시험 터널(실험 결과에 국한된 영향) 등 대상에 따라 달라집니다 따라서 엔트로피의 양은 동일한 행동에 대해 이러한 서로 다른 수준에서 근본적으로 다를 수 있습니다.

동시성

"우리는 때때로 믿을 수 없는 우연이 일어날 때 우주가 우리에게 신호를 보낸다고 생각합니다. 하지만 용에게 이것은 우연이 아닌 의미로 연결된 서로 다른 사건의 동시성으로 정의할 수 있는 동시성입니다. 즉, 이 단일 과학은 연결되지는 않지만 원인과 결과로 연결되지는 않는 일련의 사건(두 개 이상)의 시간적 우연으로 요약할 수 있습니다. 하지만 내용적 연결고리가 있습니다"

"용에 따르면 동시성이란 내적 사건과 외적 사건의 결합을 말합니다. 이러한 방식으로 이러한 사건을 경험하는 개인은 그 통합에서 의미를 찾습니다. 용은 동시성 또는 발생을 인식 가능한 패턴에 대한 탐색으로 정의했습니다."

바이오코히어런스에 적용

패턴을 인식하는 것은 우리가 세상을 이해하는 방식에서 필수적인 부분입니다. 따라서 동시성은 언뜻 보기에는 서로 관련이 없는 사건들의 대립에서 의미가 출현하는 것으로 이해됩니다. 의미와 의미를 통한 이러한 연결을 통해 정보의 의미가 드러나는 것입니다. 이러한 새로운 관계는 바이오마커 간의 연관성 계산을 통해 강조됩니다. 극단적으로, 일관된 시스템은 동시성, 즉 더 높은 수준의 의미의 출현과 동등한 것을 나타냅니다.

일반 의미론

"일반 의미론은 알프레드 코지브스키가 처음에 개발한 모든 사람을 위한 비아리스토텔레스적 사고 형태를 제안합니다."

일반 의미론은 고전 의미론(어휘 용어의 의미와 그 용어가 겪을 수 있는 변화에 대한 연구)의 틀을 확장하고자 합니다. 코지브스키의 목표는 당시의 과학 발전 수준에 부합하는 논리를 개념화하는 것이었고, 이를 통해 아리스토텔레스와 데카르트, 아리스토텔레스와 뉴턴 물리학의 이전 논리보다 인간의 문제를 더 효과적으로 해결할 수 있을 것이라고 생각했습니다. 고대부터 17세기까지 개념화된 이러한 논리는 코지브스키에게 더 이상 당대의 발견에 특화된 문제를 설명하고 처리하는 데 효과적이지 않다고 생각했습니다. 코지브스키는 이를 정신의학에, 앙리 라블뤼는 생물학(행동 억제 이론)과 공격학(공격 조건에서 생명체의 반응에 대한 연구)에 적용했습니다.

코지브스키는 과학과 정신에서 이러한 비아리스토텔레스적 논리와 20세기의 두 가지 과학 혁명인 양자 물리학 및 상대성 이론 사이에 연관이 있다고 설명합니다¹. 그는 양자 물리학이 일반적인 이성의 범주를 뒤집는 반면, 상대성 이론은 '비뉴턴' 물리학 및 '비유클리드' 기하학²을 도입했다고 지적합니다. 비아리스토텔레스적이라는 '아니오'는 부정이 아니라 아리스토텔레스 논리의 일반화 및 극복으로 이해해야 하며, 후자를 포함하면서 '일반'이라는 단어는 일반 상대성 이론과 같은 의미로 이해해야 합니다³. 코지브스키는 양자 물리학에 비유하여 관찰자는 현실 표현의 필수적인 부분이며, 이는 일반 의미론에서 반드시 고려되어야 한다고 주장합니다.

바이오코히어런스에 적용

모든 것은 의미입니다. 이것은 물질-에너지-정보-의미 사슬의 궁극적인 추상화 수준입니다. 이것이 바로 바이오코히어런스를 위해 개발된 알고리즘이 강조하고자 하는 부분입니다.

휴리스틱

"휴리스틱스는 불완전한 지식을 사용하여 문제를 해결함으로써 '발명하고 발견하는 기술'입니다. 이러한 유형의 분석을 통해 짧은 시간 내에 수용 가능한 솔루션을 찾을 수 있습니다. 이는 최적의 솔루션과는 다를 수 있습니다. 다니엘 카네만에게는 어려운 질문에 대한 불완전하지만 적절한 해답을 찾는 데 도움이 되는 절차입니다."라고 말합니다

바이오코히어런스에서의 적용

휴리스틱은 "규칙을 식별하는 것을 목표로 하는 학문"입니다. 여기에서도 패턴을 인식하는 문제이며, 링크를 강조 표시하면 시스템의 특정 요소의 특정 상태가 아닌 일반적인 조직을 살펴볼 수 있습니다.

에르고다시티

"동일한 주제에 대해 여러 개의 서로 다른 개별 통계 분석에서 충분히 비교할 수 있는 결과가 나온다면 에르고딕성이 있다고 할 수 있습니다. 이 이론은 동적 시스템 이론 및 카오스 이론과 밀접하게 연관되어 수많은 발전을 거듭해 왔습니다."

바이오코히어런스에 적용

패턴 인식은 최근 딥 러닝과 신경망의 발전에 힘입어 분석의 필수적인 부분입니다.

계산적 환원 불가능성

"계산 비가환성은 Stephen Wolfram이 그의 저서 " 새로운 종류의 과학"(2002)에서 제안한 주요 아이디어 중 하나입니다.

많은 물리 시스템은 너무 복잡하여 효율적으로 측정할 수 없습니다. 가장 단순한 프로그램조차도 매우 다양한 동작을 보입니다. 따라서 어떤 모델도 실험을 수행하기 전에 초기 조건만으로는 주어진 물리 시스템에서 어떤 일이 일어날지 정확히 예측할 수 없습니다. 컴퓨터 과학의 공식 언어에서 이러한 환원 불가능성의 문제 때문에 Wolfram은 시스템(또는 '프로그램')을 '단축'하거나 그 동작을 간단한 방법으로 설명할 수 없는 것을 '계산 불가능성'이라고 부릅니다. 이 개념은 이론의 예측이 사실상 불가능한 경우가 있음을 보여줍니다. Wolfram은 일반적으로 몇 가지 현상은 계산적으로 환원 불가능하다고 말합니다.

계산 불가능성은 기존의 주류 과학에서 관찰된 한계를 설명합니다. 계산적 환원 불가능성의 경우 관찰과 실험만이 사용될 수 있습니다."

바이오코히어런스에 적용

이 개념은 예를 들어 생명이 왜 그렇게 전개되는지를 설명합니다. 우리가 비디오 게임 속 캐릭터처럼 시뮬레이션 속에서 살고 있다고 가정해 봅시다. 왜 우리가 겪는 모든 경험을 일일이 겪을 필요가 있을까요? 바로 결론으로 넘어가지 않을까요? 이 원칙에 따르면 결론으로 바로 넘어가는 것은 불가능하며, 에필로그를 알기 위해서는 이벤트의 모든 단계를 거쳐야 하기 때문입니다. 게임을 끝까지 플레이하기 전까지는 아무도 어떻게 끝날지 말할 수 없기 때문에 '게임을 플레이'해야 합니다.

제 생각에는 이것은 신비주의와 실존적 질문이 제기하는 복잡한 질문의 대부분을 설명합니다. 윤희(환생)가 사실이라고 가정해 봅시다. 그렇다면 왜 카르마일까요? 간단히 말해서 가능한 모든 옵션을 계산하는 것이 중요하고, 이러한 옵션을 계산하는 가장 좋은 시스템은 대안을 알고 있는 시스템이기 때문입니다. 이러한 관점에서 보면 카르마는 복수를 위한 도구가 아니라 주어진 사건의 예측 불가능한 결과에 대한 종합적인 지식을 위한 도구입니다. 삶은 우리에게 비슷한 상황을 다른 관점에서 제시하며, 그 단계를 의식적으로 통과하고 결과를 관찰하는 것은 우리의 몫입니다. 이 관점에서는 운명이나 피할 수 없는 사건 같은 것은 존재하지 않으며, 우리에게 주어진 사건에 직면하여 우리가 내리는 결정이 유일한 현실이지만 그 결과는 우리가 결정하기 전까지는 예측할 수 없습니다. 실제로 우리의 삶은 전적으로 우리 자신의 손에 달려 있습니다.

무의식, 집단 무의식, 원형

"원형은 스위스의 정신과 의사 칼 구스타프 융(1875~1961)이 개발한 분석 심리학 개념으로, 모든 문화에 공통적이지만 다양한 상징적 형태로 표현되는 정신을 구조화하는 보편적인 주제를 포함하는 동일한 '선형적으로 주어진 표상 형태'를 사용하는 인간의 경향이라고 정의합니다." 융 심리학은 원형이 모든 문화에 공통적이지만 다양한 상징적 형태로 표현된다고 설명합니다.

융 심리학에서 원형은 또 다른 융의 개념인 집단 무의식과 함께 역사를 통해 인간의 경험에서 나타난 행동과 표상의 기본 패턴을 표현하기 때문에 인간 문화의 근본적인 정신적 과정이다"라고 설명합니다

무의식이라는 주제와 관련하여 어느 날 아침 꿈을 꾸고 난 후 작가들이 주장한 발명과 발견의 목록은 다음과 같습니다:

- 데카르트는 1619년 11월 10일에 꿈 세 가지 꿈을 통해 새로운 철학인 과학적 방법의 기초를 깨달았다고 주장했습니다. 과학적 방법 자체가 꿈에서 나온 것이군요.
- E. 하우는 현대식 재봉틀의 바늘을 꿈에서 생각해냈다고 합니다.
- 과학자 F.A. 케쿨레는 뱀 한 무리가 꼬리를 삼키는 꿈을 꾸고 불가능해 보였던 벤젠(C₆H₆)의 화학 구조를 발견했습니다.
- 닐스 보어는 원자 구조를 발견한 공로로 1922년 노벨 물리학상을 수상했습니다. 그는 꿈에서 태양계처럼 핵 주위를 돌고 있는 전자가 자신에게 나타났다고 회상합니다.
- 러시아의 화학자 드미트리 멘델레예프는 사흘 동안 56가지 원소를 분류하느라 지쳐서 잠을 청하기로 결심했습니다. "꿈속에서 모든 원소가 원래대로 배열된 테이블을 보았습니다. 잠에서 깨자마자 바로 종이에 적었습니다."라고 멘델레예프는 일기에 적었습니다. "나중에 수정이 필요한 것으로 판명된 것은 오직 한 곳뿐이었습니다."

- 수론, 분석 및 기타 순수 수학 분야에 크게 기여한 것으로 알려진 인도의 수학자 스리니바사 라마누잔은 힌두교 여신 나마기리 타야르가 꿈에서 수학적 통찰을 주었다고 주장했습니다. "그리고 이러한 환상에서 '가장 복잡한 수학이 담긴 두루마리가 눈앞에 펼쳐졌다'며 '갑자기 손이 화면에 글을 쓰기 시작했다'고 말했습니다. 저는 매우 집중하게 되었습니다. 이 손은 여러 개의 타원형 적분을 썼습니다. 그들은 내 머릿속에 갇혀있었습니다. 일어나자마자 바로 적었습니다."
- 알버트 아인슈타인의 상대성 이론에 영감을 준 것은 소땀이었습니다. 꿈에서 아인슈타인은 한 농부에게 소들이 전기 울타리에 둘러싸여 있다고 말했지만, 농부는 다른 것을 보았습니다. 아인슈타인은 꿈에서 깨어나 같은 사건도 보는 관점에 따라 달라질 수 있다는 사실을 깨닫고 상대성 이론을 구체화하기 시작했습니다.
- 진화론과 관련하여 찰스 다윈이 각광을 받는다면 과학자 알프레드 러셀 월리스도 빼놓을 수 없는 인물입니다. 월리스는 8년 동안 지금의 인도네시아를 탐험하며 수천 개의 동물 표본을 수집하고 연구했습니다. 1855년 월리스는 생물이 진화한다는 결론을 내렸지만, 1858년 열병에 걸린 꿈을 통해 동물이 환경에 적응하면서 진화한다는 계시를 받기 전까지는 그 방법을 이해하지 못했습니다.
- 오토 로에비의 연구 이전에는 신경 전달이 본질적으로 화학적인 것인지, 전기적인 것인지 궁금해하는 사람들이 많았습니다. 부활절 일요일 전날 밤, 로에비는 심장이 뛰는 두 개의 방, 하나는 신경이 온전한 상태이고 다른 하나는 신경이 없는 상태인 완벽한 실험 설정을 꿈꿨습니다. 두 챔버는 용액으로 채워지고 튜브로 연결됩니다. 실험자는 첫 번째 심장을 전기적으로 자극하여 더 느리게 뛰게 합니다. 신경 전달이 본질적으로 전기적이라면 두 번째 심장이 느려질 이유가 없습니다. 그러나 신경 전달이 화학적이라면 이론적으로 화학 물질이 튜브에 떠다니면서 다른 챔버의 두 번째 심장을 느리게 할 수 있습니다. 로에비는 이 아이디어를 메모해 두었지만 아침에 일어났을 때 자신의 필체를 해독할 수 없었습니다. 다음 날 밤, 꿈이 다시 떠올랐습니다. 로에비는 헨리 데일과 함께 이 실험 장치를 사용하여 화학적 신경 전달을 입증하고 1936년 노벨상을 수상했습니다.
- 프란시스 크릭과 함께 생명의 구성 요소인 DNA의 이중나선 구조를 발견한 제임스 왓슨은 나선형 계단을 꿈꿨고, 이를 통해 DNA가 어떻게 구성될 수 있는지에 대한 아이디어를 얻었다고 합니다. 다른 소식통에 따르면 그는 머리가 서로 반대편에 있는 두 마리의 뱀이 서로 얽혀 있는 꿈을 꿴다고 합니다.
- 이 밖에도 어느 날 아침 작가에게 아이디어가 떠오른 노래, 책, 비디오 게임, 영화는 무수히 많습니다.

이성적인 마음 (원리가 꿈에서 오는 합리성)은 이것으로부터 몇 가지 결론을 도출 할 수 있습니다:

1. 꿈을 통해 발명가는 마음과는 다른 방식으로 자신의 생각을 종합할 수 있습니다. 결론: 우리 안에는 이미 우리 안에 있는 모든 것을 끌어와 원형으로 표현하는 다른 사고 과정이 있습니다. 무의식은 우리에게 흥미로운 정보를 제공할 수 있습니다.
2. 꿈은 다른 차원의 지식으로 통하는 문입니다. 결론: 꿈은 다른 현실이나 다른 의식적 존재로부터 지금까지 접근할 수 없었던 정보를 우리에게 가져다주는 언어입니다.

이 두 가지 가능성은 상호 배타적이지 않습니다. 그러나 꿈이 내면으로 통하는 문이든 다른 현실로 통하는 문이든, 두 경우 모두 무의식의 원형인 꿈의 언어가 우리의 의식적 문제에 대한 유효한 정보와 진화의 원천이라는 결론은 분명합니다.

10년 이상 명상을 해온 개인적인 경험에 따르면 명상은 무의식이 의식과 더 잘 소통할 수 있게 해줍니다. 명상은 의식이 꿈속 깊은 곳에서만 표현되는 '작은 목소리'를 더 주의 깊게 들을 수 있도록 훈련시킵니다. 우리는 무의식에게 더 많은 공간을 주는 것의 힘을 보았습니다. 이 두 가지 측면은 서로 다른 분야의 지식에 접근할 수 있기 때문에 문제를 보다 효과적으로 해결하기 위해 함께 작동합니다.

또 다른 개인적인 결론은 이러한 내부 커뮤니케이션을 근육처럼 훈련해야 한다는 것입니다. 크리스틴의 첫 번째 시각은 매우 흐릿하고 확실하지 않았지만 수년간의 훈련 끝에 그녀는 일반적인 오감만큼이나 구체적인 새로운 '감각'을 개발했습니다. 이 정보의 기원에 대한 설명이 무엇이든, 다른 감각만큼이나 확실한 것으로 수천 번 이상 입증되었습니다. 하지만 훈련 없이는 환상과 현실을 구분하기가 매우 어렵습니다. 결국, 오감은 외부 세계의 현실을 반영하는 자극을 뉴런의 모델로 변환하는 것일 뿐이므로 오감을 숙달하고 신뢰하는 데는 수년이 걸립니다. 우리가 이해하게 된 것은 구체적인 외부 현실을 해석하는 '미묘한' 감각도 존재하며, 이를 훈련해야 한다는 것입니다.

바이오코히어런스에 적용

가이드 명상은 다양한 원형을 사용하여 무의식과 의식을 문제 해결과 내적 자기 계발에 활용합니다.

진정한 심장 일관성

댄 윈터는 진정한 심장 일관성을 분석의 '조화' 부분(즉, ^{2차} FFT)에서 피크가 나타나는 것으로 정의합니다. FFT 또는 푸리에 변환은 신호에서 주파수를 추출하는 데 사용됩니다. ^{2차} FFT는 음악적으로 조화로운 주파수를 추출합니다. 이 수학적 연산을 통해 심전도에 존재하는 대부분의 주파수가 서로 조화를 이루는 것을 감지할 수 있으며, 이를 "진정한 심장 일관성"이라고 부릅니다.

"조화" 부분의 이 피크는 여러 주파수에서 발견될 수 있으며, 이 피크의 주파수 대역이 기록 당시의 기분 감정과 일치하는 것으로 확인되었습니다.

프랙탈리티, 압축 및 위상 접합

"주파수 사이의 비율이 황금비의 거듭제곱일 때 무한한 수의 상태가 최대 압축됩니다."(gsjournal)²

여기서 압축은 주파수의 최대 추가(따라서 주파수 사이에 건설적-공역적 위상을 갖는)로 정의되며, 주파수가 주파수 사이의 황금 비율의 배수인 경우 얻을 수 있습니다.

프랙탈리티는 서로 다른 스케일에서 유사한 구조를 찾을 수 있다는 사실을 말합니다.

엘피 측정

겨울에는 다시 에너지의 최적 '폭발'에 대한 기본 방정식을 이론화했는데, 이 방정식은 우주에서 발견되는 수많은 공명 주파수를 예측합니다. 저는 한편으로는 엘프(특히 엘프 건축)에 대한 경의를 표하고, 다른 한편으로는 등식 자체에 대한 경의를 표하기 위해 해당 규모를 '엘피'라고 명명했습니다: $n \text{ 엘피} = L_p \times \text{Phi}^n$, 즉 플랑크 길이(우주에서 측정 가능한 가장 작은 길이)에 황금비를 n 배로 곱한 값. 즉, 우주에서 측정 가능한 가장 큰 길이입니다.

따라서 엘피 척도는 황금비에 비례할 뿐만 아니라 전체 엘피에 대해 주어진 값도 포함합니다. 이러한 정수 값에는 길이, 시간, 빈도 등 이미 알려진 많은 수량이 포함됩니다. 자세한 내용은 [Elfie.link](#)를 참조하세요.

2. 모듈 개요

- 바이오코히어런스 스캔은 원시 심전도부터 수십 개의 지도, 그래프, 바이오마커를 계산하고 해석하는 명시적인 방법까지 완벽한 분석 모듈입니다.
- BioCoherence **Test**는 맥박의 실시간 진화(바이오 피드백)에서 항목 목록을 평가하는 개방형 방식입니다.
- BioCoherence **Balance**를 사용하면 리소스를 식별하고 우선순위를 정하고 이를 기반으로 PDF 보고서와 맞춤형 명상을 만들 수 있습니다.

콘텐츠

1. 밸런스 모듈	17
1.1. 리소스	17
1.2. 우선순위	17
1.3. PDF 보고서	18
1.4. 균형: 맞춤 명상	18
2. 스캔: 바이오마커 및 기술 분석	19
2.1. 시간 그래프 모듈	19
2.2. 바이오마커 모듈	19
3. 스캔: 장기 지도	21
3.1. 주목할 만한 원인: 에너지	21
3.2. 주목할 만한 원인: 엔트로피	21
3.3. 주목할 만한 시스템: 일관성	22
3.4. 뇌	22
3.5. 심혈관계	23
3.6. 소화 시스템	23
3.7. 멤브레인	23
3.8. 척추	24
3.9. 신경계	24
3.10. 치아	24
3.11. 운동 시스템	25
3.12. 호흡기 시스템	25
3.13. 여성 생식기	25
3.14. 남성 생식기	26
4. 스캔: 한의학 경락, 포인트 및 레시피	27
4.1. 링크가 있는 방광 경락	27
4.2. 에너지별 경락과 일반적인 관련 문제	27
4.3. TCM 포인트	28
4.4. 한의학 레시피, 일관성별	28
5. 스캔: 에너지 모듈	29
5.1. 아유르베다: 도샤와 하위 도샤	29
5.2. 에너지 그래프: 차크라, 평면, 시계 및 운동량	29
5.3. 에너지 그래프: 미시 세계	29
6. 스캔: 마음 모듈	31
6.1. 색도 모듈	31
6.2. 색도: 드라이브	31
6.3. 성령 모듈	32
7. 테스트 모듈	33
7.1. 라이브 평가 후 테스트 목록	33
7.2. 테스트 목록	33
7.3. 테스트 목록	33
7.4. 테스트: 바이오피드백 라이브 평가	34
7.5. 테스트: 편집	34

1. 밸런스 모듈

우선순위, 리소스, 보고서 및 안내 영상.

밸런스는 최고의 품질을 달성하는 데 도움이 되는 도구 모음입니다

- 우선순위는 지금 주목해야 할 사항입니다
- 리소스는 안정적으로 구축할 수 있는 것입니다
- 보고서는 분석의 모든 중요한 부분에 대한 PDF 문서입니다
- 밸런스는 바이오 피드백을 통해 실시간으로 최적화된 가이드 영상, 주파수, 바 이노럴 비트 및 재평가를 생성하는 것입니다

1.1. 리소스

리소스의 힘: 리소스는 이미 여러분의 것이며 이미 도움을 받을 수 있습니다

리소스는 이 레코딩의 주요 에너지 동인인 주요 기동입니다. 밸런스 모듈은 주로 관련 주파수, 바 이노럴 비트 및 오디오 안내 음성을 선택하여 우선순위 작업을 시작하기 전에 에너지를 축적하기 위한 리소스를 기반으로 구축됩니다

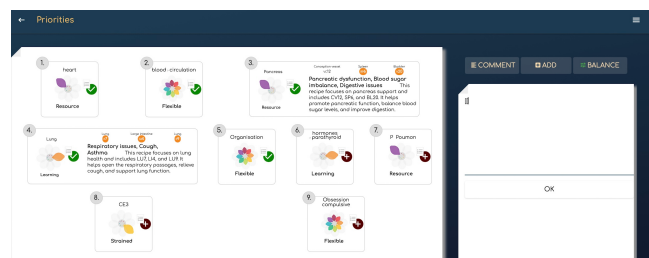
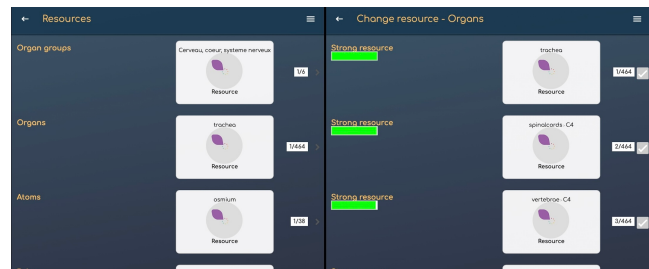
- 리소스는 자동으로 식별되지만 필요한 경우 변경할 수 있습니다. 리소스를 변경하려면 해당 리소스를 클릭하고 이 카테고리에서 가장 중요한 리소스 중 하나를 선택하면 됩니다

1.2. 우선순위

주의가 필요한 사항.

우선순위는 주의가 필요한 바이오마커입니다. 우선순위는 녹화 후 자동으로 계산되지만, 우선순위를 추가하거나 제거하는 것은 전적으로 사용자의 몫입니다

- 우선순위는 모든 바이오마커 꽃, 모든 페이지 또는 우선순위 모듈에서 추가하거나 제거할 수 있습니다. 버튼을 클릭하기만 하면 됩니다!
- 우선순위 아래에서 댓글 버튼을 사용하면 사용자가 텍스트를 추가할 수 있습니다
- 추가 버튼은 장기, 침술 경락, 경락 지점, 한의학 레시피, 차크라, 드라이브, 모멘텀... 중에서 필요한 경우 선택할 수 있는 관련 추가 우선순위 목록을 표시합니다



1.3. PDF 보고서

모든 중요한 정보를 원클릭으로 PDF로 내보내기

PDF 보고서는 한 번의 클릭으로 인쇄, 저장 또는 전송할 수 있습니다. 여기에는 다음이 포함됩니다

- 고객 정보
- 녹취 정보
- 주석
- 파트 및 세션
- 리소스 및 우선순위
- 주요 경락(에너지, 엔트로피, 일관성)
- 주요 기관(에너지, 엔트로피, 일관성)
- 주요 MTC 레시피(에너지, 엔트로피, 일관성)

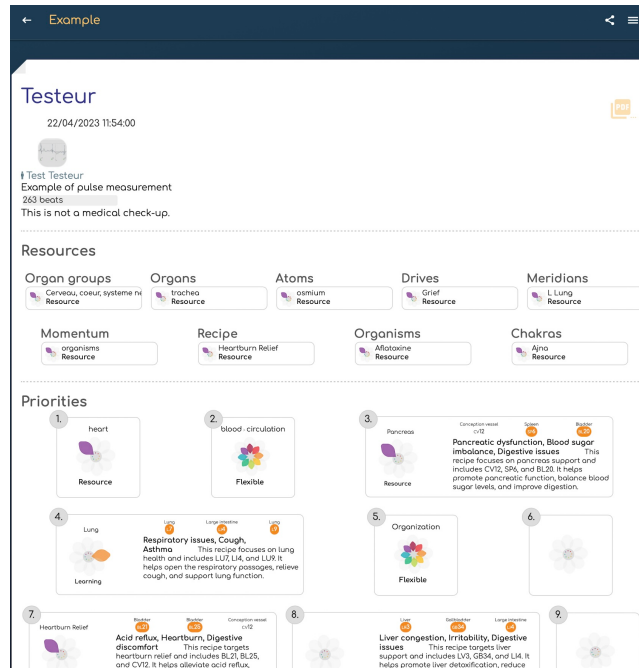
프로가 개인화할 수 있습니다.

1.4. 균형: 맞춤 명상

이제 조치를 취해야 할 때입니다.

밸런스는 사용자 지정 명상을 만들 수 있는 전체 모듈입니다.

- 사용자는 자신이 공감하는 스타일을 선택할 수 있으며, 다양한 가이드 명상 시리즈에서 카드를 선택할 수 있습니다
- 새로운 명상을 시작하기 전에 매일 재평가하는 것이 좋습니다. 모든 바이오마커가 진화하고 그에 따라 명상이 다시 계산됩니다
- 주요 매개변수(잠수 속도, 성격, 음악, 자원)는 계산된 바이오마커의 주요 특징에서 계산됩니다. 음악은 사용자의 현재 곡과 화음에서 원하는 상태로 화음 진행에 따라 생성됩니다
- 우선 순위는 사용자 주위를 도는 행성으로 표시되며, 명상이 점점 더 멀리, 더 깊은 우주로 접근하는 방식이기 때문에 점점 더 멀리 떨어져 있습니다.
- 또 다른 도구는 **시간 크리스탈 응용기**로, 정수의 시간-엘피 값을 중심으로 계산되어 사용자에게 적절한 순간에 결정과 진행 중인 작업을 상기시켜 줍니다. 특정 시간 노드에서 5초에서 30초 동안 스스로를 위한 마이크로 명상이라고 생각하면 됩니다. 목표는 습관의 시간 수평을 해체하고 21일 안에 전체 시스템을 다시 프로그래밍하는 것입니다



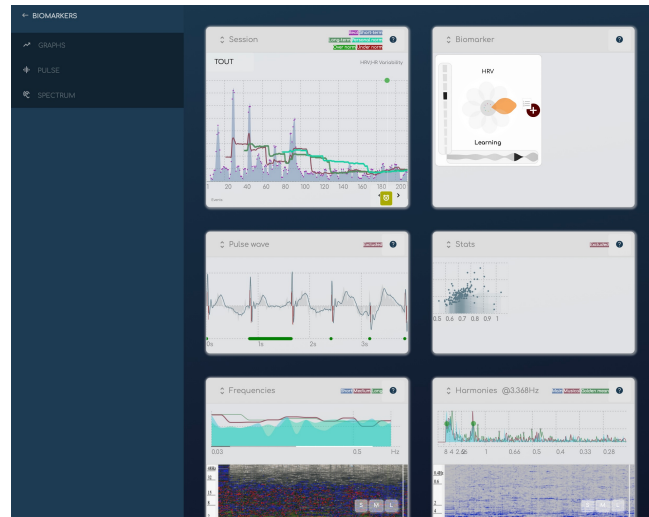
2. 스캔: 바이오마커 및 기술 분석

ECG 펄스, 바이오마커 및 스펙트럼에 대해 작업합니다.

바이오코히어런스는 원시 기록된 ECG 펄스에 대한 수학적 연산을 통해서만 바이오마커를 구축합니다.

- 이 모듈에서는 원시 기록에 액세스하고, 측정 오류가 있는 경우 비활성화하고(앱에서 자동 품질 감지 알고리즘에 따라 비활성화), 시간적 이벤트에 대해 작업할 수 있습니다.
- 또한 바이오마커의 1, 2, 3차 정보를 확인하고 카테고리별로 찾아볼 수 있습니다(1400개 이상의 바이오마커가 있습니다...).

2.1. 시간 그래프 모듈



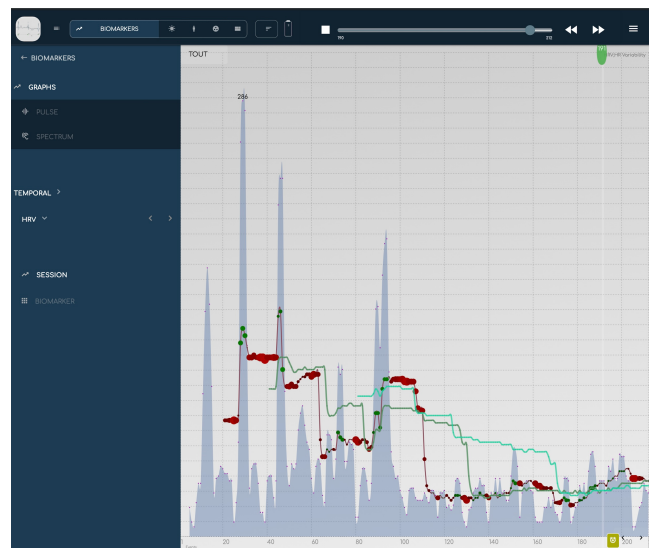
시간과 세션에 따라 바이오마커가 어떻게 진화하는지 확인하세요.

바이오코히어런스는 매우 역동적인 방식으로 바이오마커와 함께 작동하며, 여러 시간대에 걸쳐 바이오마커의 진화를 평가하고 여러 시간대에 걸쳐 비교합니다.

- 이 그래프에서 각 바이오마커는 단기, 중기, 장기 이동 평균과 비교하여 비트 수준에서 표시됩니다.
- 상단 스크롤을 사용하여 기록 내부로 이동할 수 있습니다(재생 버튼을 누르면 표시되고, 중지 버튼을 누르면 세션 간에 비교할 수 있습니다). 그래프를 클릭하여 현재 표시를 이동할 수도 있습니다.
- 왼쪽 상단의 범위 선택기로 확대/축소 배율을 변경할 수 있습니다.
- 이 모듈에서 이벤트를 작업할 수 있습니다. 이벤트는 그래프 하단에 표시됩니다. 이벤트를 만들거나 편집하려면 그래프 하단에 있는 버튼을 클릭합니다.

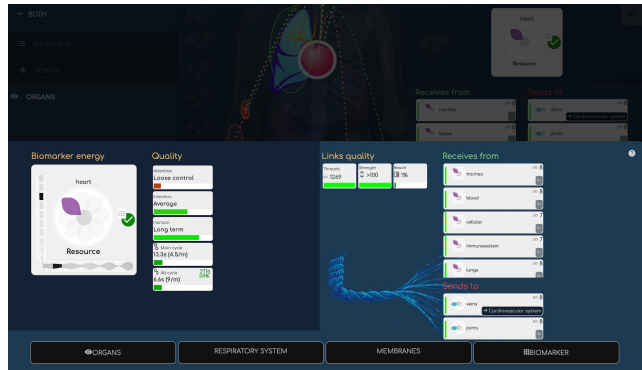
2.2. 바이오마커 모듈

바이오마커의 다양한 정보에 대해 자세히 알아보세요.



각 바이오마커는 바이오마커 패널에서 클릭 한 번으로 해당 바이오마커의 역동성에 대해 알아야 할 모든 것을 간결하고 편리한 방식으로 보여줍니다

- 주요 정보는 주요 품질을 즉시 평가할 수 있는 바이오마커 **꽃입니다**. 꽃은 주요 에너지와 주요 엔트로피(또는 교반)의 복합체입니다. 9개의 다른 꽃잎이 있으며, 각 꽃잎에는 주요 특성을 이해할 수 있는 간단한 단어가 함께 제공됩니다
- 동적 특성은 두 번째 열에 표시됩니다. **주의, 의도 및 지평선**은 장기적인 역동성에 대한 정보입니다
- 주 주기 및 대체 주기 또한 이 열에 표시됩니다. 이것은 바이오마커의 주요 호흡입니다. 주기는 지속 시간(초)과 주기(분당)로 표시됩니다. 주기가 에너지 파열이 양호한 공명을 나타내는 정수 엘피 값과 일치하는 경우 엘피 테이블에 대한 링크가 강조 표시됩니다
- **링크** 패널에는 다른 바이오마커(여기서는 다른 장기)와의 관계가 표시됩니다. 링크 품질은 주요 로프의 합성입니다(스레드는 모든 링크의 수, 견고성에 대한 강도, 도달 범위는 제품군에서 이 바이오마커와 연결된 바이오마커의 수를 나타냅니다). 수신 및 전송은 다른 바이오마커를 나열합니다. 클릭하면 해당 바이오마커의 정보 페이지가 열립니다
- 하단의 지도 및 그래프 버튼을 사용하면 관련 페이지로 바로 이동할 수 있습니다.



3. 스캔: 장기 지도

탐색과 링크를 쉽게 보고 이해할 수 있도록 수십 개의 독점적이고 아름답게 그려진 신체 지도가 BioCoherence를 위해 디자인되었습니다.

장기 시스템, 기관 또는 장기 부위에 대한 500개에 가까운 바이오마커가 존재하기 때문에 이를 이해하기 위해서는 모든 것을 매핑해야 한다고 생각했습니다

- 치아, 척추, 신경, 뇌 등을 전체적으로 보거나 확대하여 볼 수 있도록 아름답게 제작된 12개의 지도를 제공합니다
- BioCoherence의 핵심 기능 중 하나는 **바이오마커 간의 3차 정보 링크입니다**. 각 지도는 지도의 기관 간 링크를 아름답게 강조하거나 클릭 한 번으로 다른 지도의 기관으로 연결됩니다
- 시각적 링크와 두 개의 열을 통해 다른 기관과의 에너지 관계를 즉시 평가할 수 있습니다(수신 또는 송신)
- 왼쪽의 선택기는 이 지도의 모든 장기를 바이오마커 평가와 함께 나열합니다



모듈 열기

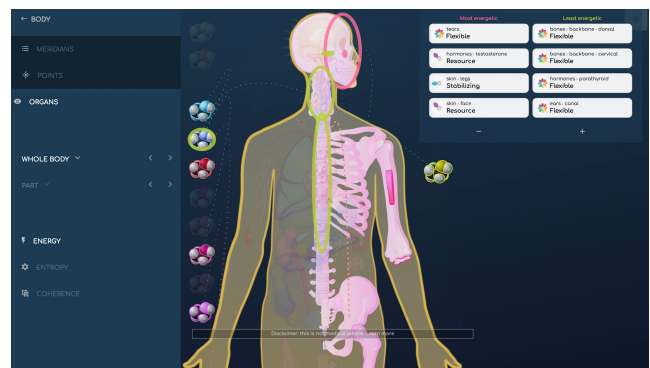
"신체"를 클릭한 다음 "장기"를 클릭하면 주요 장기, 주요 호르몬, 운동계의 주요 부분, 혈액, 세포 등 가장 중요한 바이오마커를 포함하여 신체의 일반적인 개요가 표시된 모듈이 열립니다 장기를 클릭하거나 메뉴 목록에서 선택하면 흰색 후광으로 둘러싸여 있고 이 화면의 다른 장기와의 주요 링크가 표시됩니다(선택한 장기에서 에너지를 받으면 빨간색 원으로, 에너지를 보내면 녹색 원으로 표시됨). 다른 신체 지도에 자세히 표시된 기관과의 링크가 있는 경우 검은색 바탕에 해당 지도의 이름으로 표시되며, 클릭하면 해당 상세 지도가 열립니다.

3.1. 주목할 만한 원인: 에너지

에너지가 가장 많은 부분과 가장 적은 부분을 즉시 강조 표시합니다

각 바디 맵에는 에너지, 엔트로피 및 일관성 하위 메뉴가 있으며, 아래에는 맵 메뉴와 파트 메뉴가 있습니다.

- **에너지** 모듈은 이 맵에서 가장 에너지가 적은 요소와 가장 에너지가 많은 요소를 관계 링크와 함께 표시합니다. 목록 아래의 및 - 버튼을 클릭하여 요소 수를 변경하고 바이오마커를 클릭하면 해당 정보를 표시할 수 있습니다.



3.2. 주목할 만한 원인: 엔트로피

가장 동요가 심하고 가장 정적인 부분을 즉시 강조 표시합니다

각 바디 맵에는 에너지, 엔트로피 및 일관성 하위 메뉴가 있으며, 아래에는 맵 메뉴와 파트 메뉴가 있습니다.

- **엔트로피** 모듈은 이 맵에서 가장 동요가 심하고 가장 정적인 요소를 관계 링크와 함께 표시합니다. 목록 아래의 및 - 버튼을 클릭하여 요소 수를 변경할 수 있으며, 바이오마커를 클릭하여 해당 정보를 표시할 수 있습니다.

3.3. 주목할 만한 시스템: 일관성

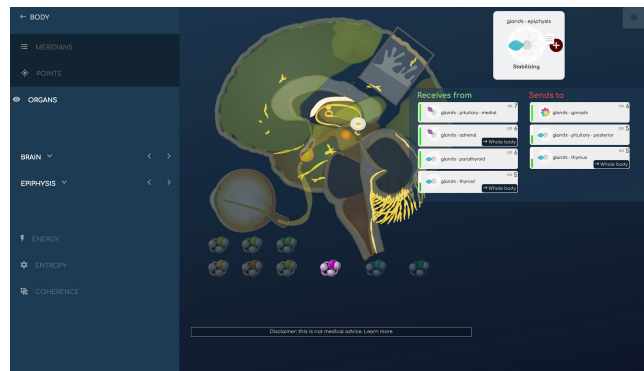
가장 공감이 가는 시스템을 즉시 강조 표시합니다.

각 바디 맵에는 에너지, 엔트로피 및 일관성 하위 메뉴가 있으며, 아래에는 맵 메뉴와 파트 메뉴가 있습니다.

- **일관성** 모듈은 가장 위상이 일치하고 함께 공명하는 시스템을 관계 링크와 함께 표시합니다. 바이오마커를 클릭하면 해당 정보를 표시할 수 있습니다.

3.4. 뇌

뇌의 구성 요소와 이와 관련된 호르몬 사이의 연결 고리가 그래픽으로 강조 표시되어 있으며, 에너지적인 관점에서 가장 주목할 만한 것, 다소 흥분된 것, 일관성 있는 것 등을 표시할 수도 있습니다. 또한 이 지도에 눈과 그 구성 요소도 추가했습니다.



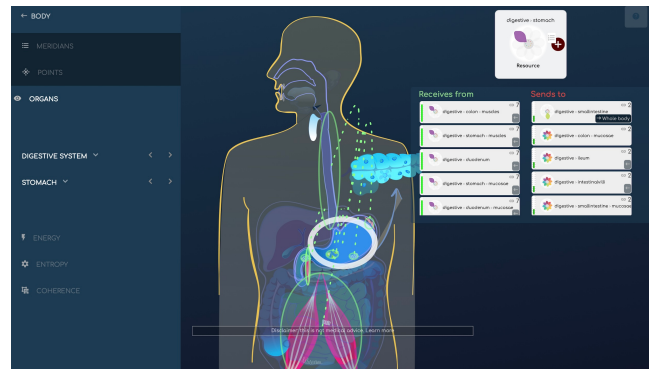
3.5. 심혈관계

심혈관계 요소 간의 연결은 여기에서 그래픽으로 강조 표시되며, 에너지 관점에서 가장 주목할 만한 것, 가장 많이 또는 가장 적게 동요되는 것, 일관성 있는 것을 표시할 수도 있습니다. 심혈관계의 해부학 보드에는 심장과 모든 세부 사항, 혈액 시스템(정맥, 동맥... 순환 및 혈압의 교감 조절 포함), 혈액(혈장, 헤모글로빈) 및 호르몬(아드레날린 및 노르아드레날린)이 포함됩니다.



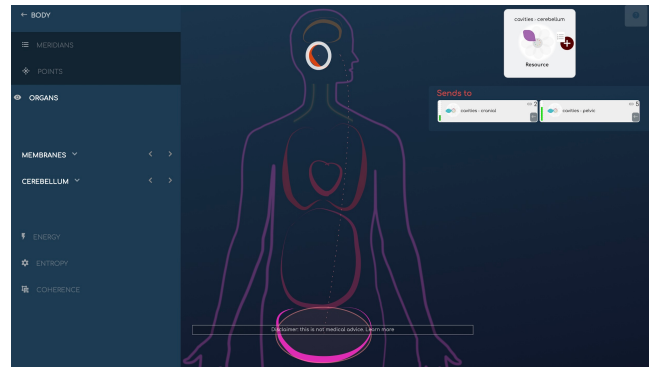
3.6. 소화 시스템

입에서 항문까지 소화 시스템의 요소 사이의 연결 고리가 그래픽으로 강조 표시되며, 에너지 관점에서 가장 눈에 띄는 부분, 가장 많이 또는 가장 적게 동요하는 부분, 일관성 있는 부분을 표시할 수도 있습니다.



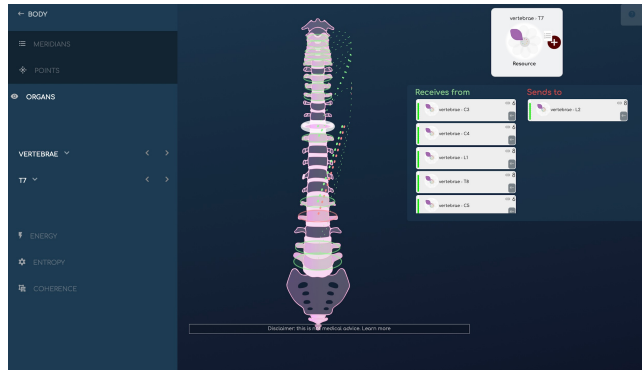
3.7. 멤브레인

막의 해부학적 구조는 조금 특이한데, 저희는 이 큰 구멍들 사이의 공명 연결 고리를 강조하고 싶습니다. 사실 전체적 관점에서 보면 전체 균형의 중요한 부분이지만 일반적으로 거의 고려되지 않습니다. 이는 반글로벌적 독해 수준을 제공하며 프롤로그적 해석의 관점에서도 중요합니다.



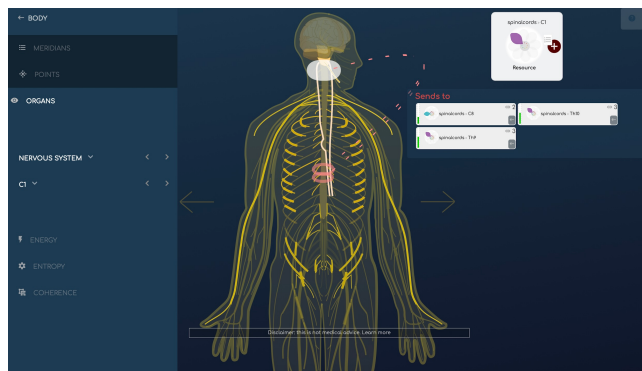
3.8. 척추

수직선 사이의 연결은 여기에 그래프로 표시되어 있으며, 가장 주목할 만한 시점, 가장 불안정한 시점, 일관성 있는 시점을 표시할 수도 있습니다



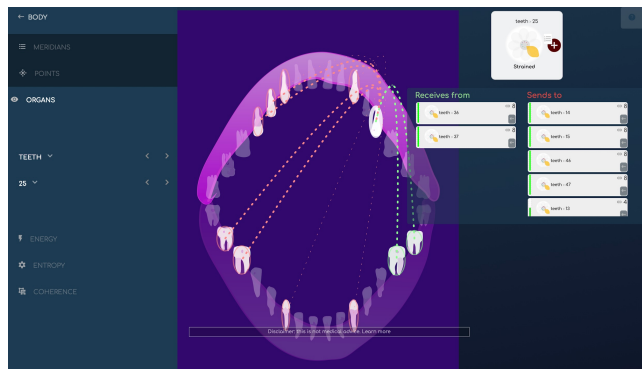
3.9. 신경계

신경계 요소 간의 연결은 여기에서 그래픽으로 강조 표시되며, 에너지적인 관점에서 가장 주목할 만한 것, 다소 동요된 것, 일관성 있는 것을 표시할 수도 있습니다. 신경계에는 뇌와 뇌의 세부 사항, 신경과 특정 신경의 세부 사항, 척수와 연결된 신경이 포함됩니다.



3.10. 치아

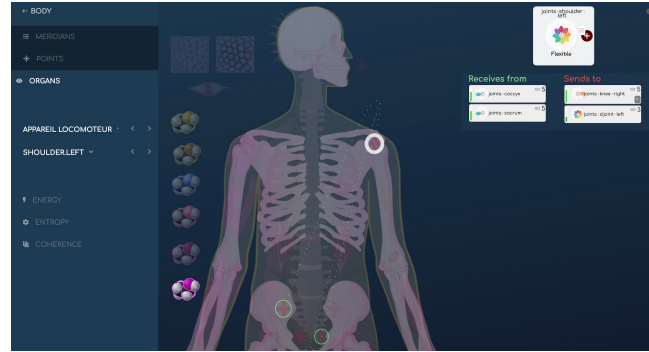
치아와 잇몸 사이의 연결이 그래픽으로 강조 표시되며, 가장 활발하게 움직이는 치아, 다소 흔들리는 치아, 일관성 있는 치아를 표시할 수도 있습니다.



3.11. 운동 시스템

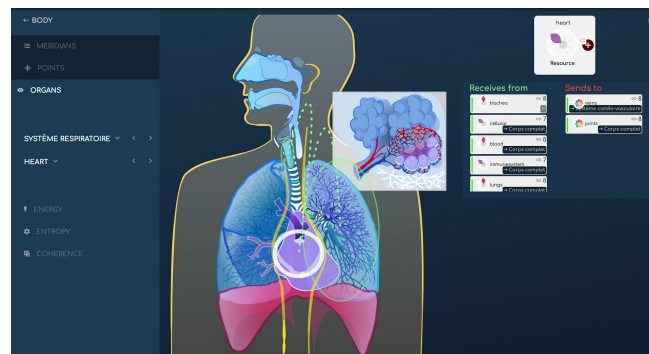
근골격계 요소(뼈, 근육뿐만 아니라 호르몬 및 일부 장기) 간의 연결이 그래픽으로 강조 표시되며, 에너지 관점에서 가장 주목할 만한 요소, 가장 많이 또는 덜 동요된 요소, 일관성 있는 요소를 표시할 수도 있습니다

각 해부학적 플레이트에서 선택한 항목은 요소 간의 관련 관계를 강조하도록 설계되었습니다. 이 화면에는 척추, 골수, 골격, 연골, 근육, 근막 및 칼슘 대사의 일부 외에도 부갑상선, HDH 또는 노르아드레날린, 모발, 피부 및 치아와 같은 흥미로운 호르몬과 기관이 추가되었습니다.



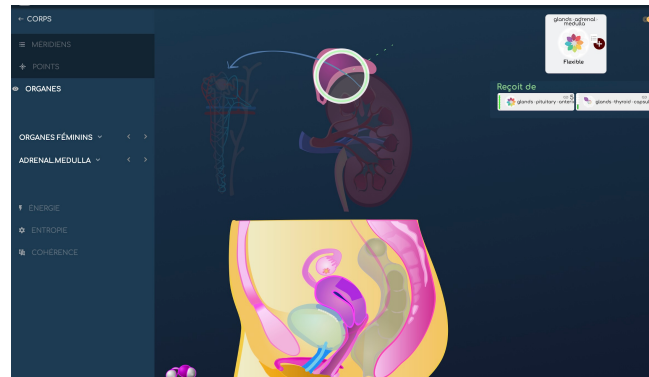
3.12. 호흡기 시스템

호흡기 요소 사이의 연결 고리가 그래픽으로 강조 표시되며, 활기찬 관점에서 가장 주목할 만한 요소, 다소 동요하는 요소, 일관성 있는 요소를 표시할 수도 있습니다. 이 화면에서는 전두동, 이관, 심장도 볼 수 있습니다.



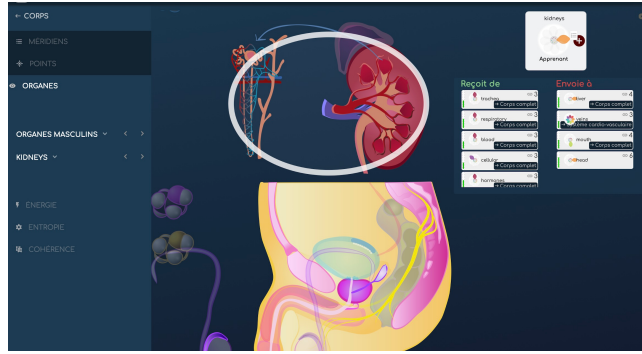
3.13. 여성 생식기

여성 생식기의 요소와 관련 기관(신장, 방광, 천골, 부신, 프레제놀론과 같은 관련 호르몬...) 사이의 연결이 그래픽으로 강조 표시되며, 에너지적인 관점에서 가장 주목할 만한 요소, 다소 동요하는 요소, 일관성 있는 요소 등을 표시할 수도 있습니다



3.14. 남성 생식기

남성 생식기의 요소와 관련 기관(신장, 방광, 천골, 부신, 테스토스테론, 디에아, 성장호르몬 등 관련 호르몬)의 연관성을 그래픽으로 강조 표시하고, 에너지적인 관점에서 가장 눈에 띄는 부분, 다소 동요되는 부분, 일관성 있는 부분 등을 표시할 수도 있습니다

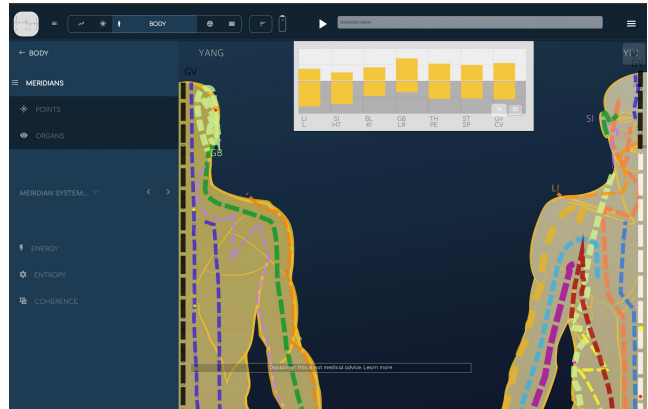


4. 스캔: 한의학 경락, 포인트 및 레시피

경락, 경혈, 한의학 레시피

5000년 전부터 에너지 평가의 대가인 한의학이 광범위하게 사용되어 바이오코히어런스에서 극적으로 확장되었습니다

- **경락**은 12개 또는 20개 부분으로 표시됩니다. 신체의 주요 에너지 채널, 그래프는 그 링크와 지도, 경로를 보여줍니다
- **경혈**은 지도에서 동적으로 애니메이션으로 표시됩니다. 350개 이상의 경혈은 독점 알고리즘에 의해 계산됩니다
- **경혈**은 한의학적으로 에너지 문제를 해결하는 전통적인 방법입니다. 저희는 이 원리를 획기적으로 확장하여 수백 가지 레시피의 에너지, 엔트로피, 일관성을 계산하여 현재 평가에서 그 유용성을 평가함으로써 문제를 진단하는 데 도움이 될 수 있는 평가의 한 형태인 레시피의 필요성을 나타냅니다.



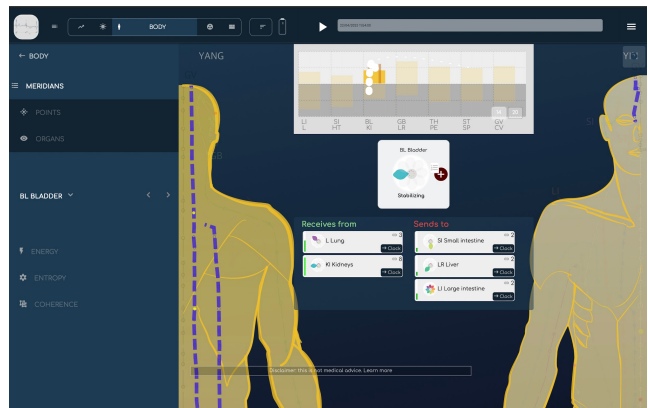
4.1. 링크가 있는 방광 경락

경락을 클릭하면 정보를 확인할 수 있습니다.

경락을 클릭하면 그래프에 다른 경락과의 관계가 표시되고, 바이오마커에 주요 특성이 표시되며, 다른 경락과의 링크(수신 또는 송신)가 표시됩니다

- 왼쪽 메뉴를 사용하여 경락을 탐색하고 드롭다운 메뉴에서 바이오마커가 있는 모든 경락을 표시할 수 있습니다.

4.2. 에너지별 경락과 일반적인 관련 문제



한 번의 클릭으로 에너지가 가장 높은 곳과 낮은 곳을 파악하세요

에너지 메뉴는 가장 에너지가 많은 경락과 가장 에너지가 적은 경락을 직접 표시하여 문제를 식별하는 데 도움이 될 수 있습니다.

- 경락을 클릭하면 한의학 지식에 따라 경락의 현재 에너지 상태와 다른 경락의 상태와 연관될 때 가능한 조건과 관련된 추가 결론이 표시됩니다

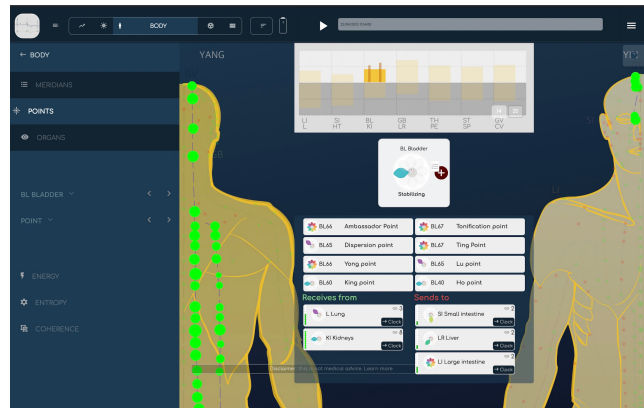


4.3. TCM 포인트

350점 이상의 점수가 계산됩니다

경혈 모듈에는 한의학 경혈이 표시됩니다

- 경락을 클릭하면 해당 경락의 모든 경혈과 함께 경락의 중요한 경혈에 대한 전통적인 정보가 표시됩니다
- 경혈을 클릭하면 해당 경혈의 바이오마커를 볼 수 있습니다.

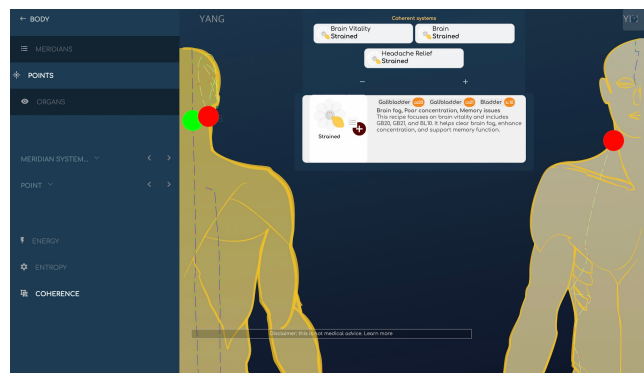


4.4. 한의학 레시피, 일관성별

일관성은 완전히 단계에 맞는 레시피를 볼 수 있는 방법입니다.

저희는 침술 레시피를 역설계하여 이를 평가 도구로 만들었습니다.

- 일관성을 클릭하면 혈자리가 완전히 같은 위상에 있는 (즉, 혈자리가 서로 공명하며 하나의 혈자리처럼 함께 움직이는) 레시피가 표시됩니다. 레시피를 클릭하면 지도에서 포인트를 확인하고 길 찾기를 할 수 있습니다. 우선순위에 추가하면 레시피가 균형 부분에서 사용하여 효과의 균형을 다시 맞추는 데 도움이 됩니다.



5. 스캔: 에너지 모듈

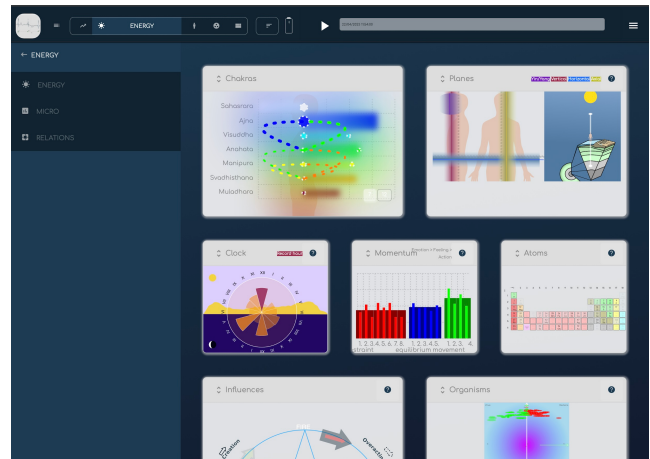
에너지 수준을 평가하는 데 필요한 모든 것

이러한 그래프를 통해 차크라, 시계, 평면, 운동량, 원자, 영향력, 유기체 등의 정보를 확인할 수 있습니다.

5.1. 아유르베다: 도샤와 하위 도샤

신체 에너지에 대한 아유르베다의 평가.

아유르베다 의사는 신체의 에너지 체질을 다루는 방법을 잘 알고 있습니다. 세 가지 주요 체질은 바타, 피타, 카파이며, 각각 5개의 하위 도샤가 있습니다. 바이오코히어런스 분석에서는 시간 커서를 움직이면 각 도샤와 하위 도샤가 움직이는 것을 볼 수 있는데, 이는 이 모든 시스템이 역동적이기 때문입니다. 이들이 움직이는 방식은 평가의 일부입니다.

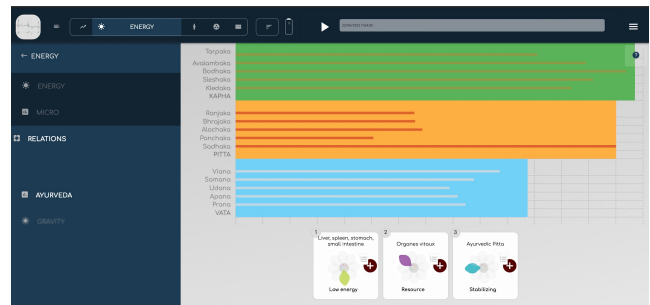


5.2. 에너지 그래프: 차크라, 평면, 시계 및 운동량

신체의 주요 에너지 모터

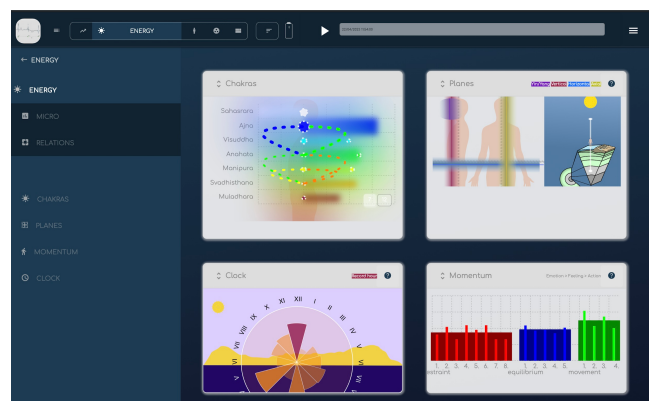
이 4개의 그래프를 통해 신체의 주요 기능에 대한 적절한 에너지 평가를 할 수 있습니다

- **차크라**는 7개 또는 12개의 차크라, 글로벌 아우라, 차크라 간의 관계를 보여줄 수 있습니다
- **평면**은 신체의 주요 에너지 평형을 강조합니다. 수평, 수직 및 축 평면이 깊은 지구 장 및 천체 장과의 연결과 함께 표시됩니다
- **시계**는 경락과 주요 기능 시간 사이의 관계를 기록 시간과 함께 표시하여 적절한 시간 정렬을 평가합니다.
- **운동량**은 구속하는 관성, 평형을 유지하는 관성, 움직임을 돕는 관성의 세 가지 주요 관성과 그 구성 요소를 보여주기 위해 만든 그래프입니다.



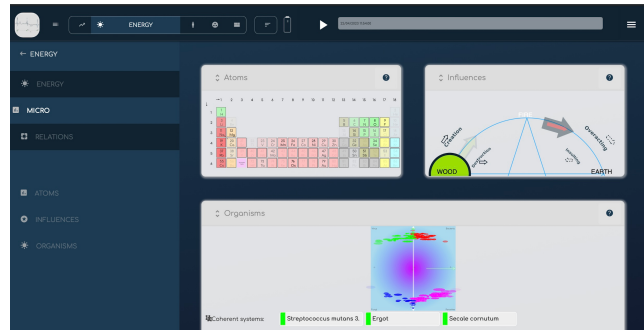
5.3. 에너지 그래프: 미시 세계

매우 작지만 매우 유용합니다



이 3개의 그래프는 지구 시스템에 영향을 미칠 수 있는 미시 원소를 보여줍니다

- 원자는 주기율표와 원소 간의 공명을 보여줍니다
- 영향은 각 원소의 건설적 또는 파괴적 영향력을 계산하여 화살표로 강조 표시한 TCM 5원소 별입니다
- 유기체는 200개의 외부 유기체(바이러스, 박테리아, 곰팡이, 기생충)와 각각의 연관성을 평가한 것입니다.

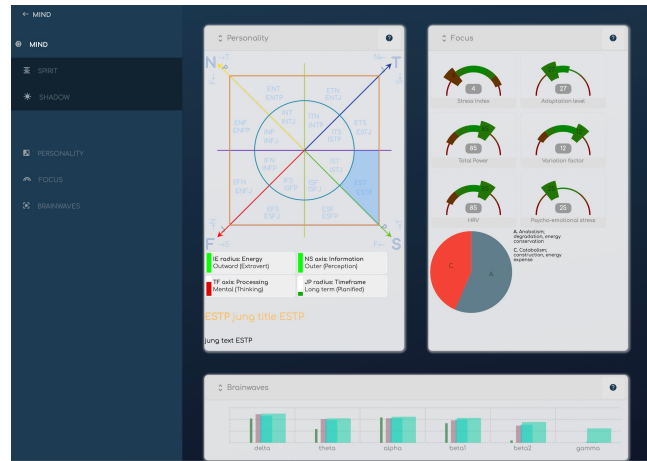


6. 스캔: 마음 모듈

마음, 정신, 그림자는 이 모듈의 초점입니다.

마음 모듈은 생각 속에서 일어나는 일에 대한 300개 이상의 바이오마커를 사용하여 판독값을 편리한 방식으로 정리하는 것을 목표로 합니다

- **Mind**는 성격, 집중력, 뇌파를 다룹니다.
- **성격**은 융의 성격 유형(나중에 마이애스 브릭스 또는 MBTI로 대중화됨)을 재구성합니다. 이 화면에서는 성격 평가에서 발견한 4개의 축을 기반으로 독특하고 새로운 논리적 시각화를 만들었습니다
- 기존의 HRV 학문적 지표와 건설적/파괴적 균형 시각화 지표를 재구성했습니다
- **뇌파?** 네, 저희 센서는 심장뿐만 아니라 전신의 전기신호를 최대 64Hz까지 읽을 수 있습니다. 저희는 뇌파의 특정 정보를 추출하여 마음의 가장 활발한 집중 상태를 파악할 수 있는 알고리즘을 설계했습니다.

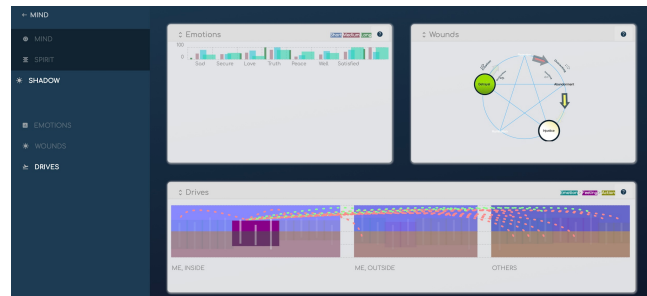


6.1. 색도 모듈

감정, 상처, 욕구

그림자, 즉 잠재의식은 우리 행동의 필수적인 부분입니다.

- **감정**은 심전도의 주요 리듬에서 추출됩니다
- **상처**는 한의학적 영향과 관련이 있습니다. 5상처(또는 원래 설계된 대로 8상처)는 30년 전부터 널리 사용되어 왔습니다. 바이오코히어런스에서는 각각의 건설적 또는 파괴적 관계를 추가하여 그 의미를 확장했습니다
- **드라이브**는 감정을 의미 있는 방식으로 정리하는 완전히 새로운 방식입니다



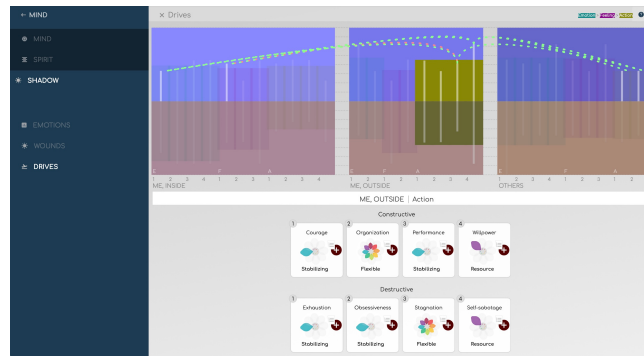
6.2. 색도: 드라이브

감정을 정리하는 새로운 방법.

드라이브는 감정을 의미 있는 방식으로 28개의 반대되는 그룹으로 정리하는 완전히 새로운 방식으로, 3개의 주요 그룹(나 안쪽, 나 바깥쪽, 타인)과 3개의 하위 그룹(감정, 느낌, 행동)으로 깔끔하게 정리되어 있습니다

- **ME Inside**는 내면의 기능과 관련된 감정을 다룹니다
- **ME Outside**는 내 내면과 주변에서 일어나는 일과 관련된 감정을 다룹니다
- **타인**은 내 주변의 다른 사람들과 관련된 감정을 다룹니다
- **감정**은 그 기원의 근원입니다
- **느낌**은 내가 감정을 해석하는 방식입니다
- **행동**은 내가 그 감정으로 무엇을 하는가입니다

관찰하는 마음과 같은 명상 기법을 사용하면 발생하는 감정의 표현과 의미를 더 잘 이해할 수 있습니다
그래프를 클릭하면 표시되는 감정 사이의 공명 링크도 무슨 일이 일어나고 있는지 이해하는 데 도움이 될 수 있습니다.



6.3. 성령 모듈

음악 및 음계 정렬

정신은 시공간을 초월하는 우리의 일부입니다.

- **음악**은 많은 음악 이론과 결합된 심전도의 주요 주파수를 판독하는 것입니다. 음계와 주요 화음은 단기(1마디), 중기(2마디), 장기(3마디), 매우 장기(4마디) 단위로 계산됩니다. 그런 다음 사용자 지정 명상을 만들 때 이를 사용하여 현재 위치에서 음악적으로 어디로 갈 수 있는지 안내합니다
- **정렬**은 댄 윈터의 방정식과 엘피의 정수 값을 기반으로 합니다.
- 댄이 말한 것처럼, **집중된 일관성**은 "실제 심장 일관성"으로, 두 번째 차 FFT를 통해 집중의 양을 계산하거나 간단히 말해서 ECG에서 발견되는 글로벌 주파수가 **음악적으로** 얼마나 조율되고 위상이 일치하는지를 계산합니다
- 정렬에서 **실제 심장 일관성**은 동일하게 계산하지만 주파수 사이의 황금 평균의 배수인 주파수에 대해 계산합니다
- 정렬에서 **임베디드 임펄스 %**는 주파수 중 정수 엘피 값에 가까운 부분을 표시하여 현재 최상의 에너지 임펄스 사이클에 임베디드된 에너지의 양을 나타냅니다



7. 테스트 모듈

바이오 피드백을 사용하여 모든 정보를 실시간으로 평가하기

테스트는 모든 종류의 정보를 평가하는 독특한 방법입니다

- 테스트는 실시간으로 바이오 피드백을 사용하여 호환성에 대한 개별적인 평가입니다
- 테스트는 요소 목록으로 구성됩니다. 각 요소는 스캔을 통해 미리 계산할 수 있으며, 해당 정보에 대한 신체의 반응에 대해 실시간으로 테스트할 수 있습니다

7.1. 라이브 평가 후 테스트 목록

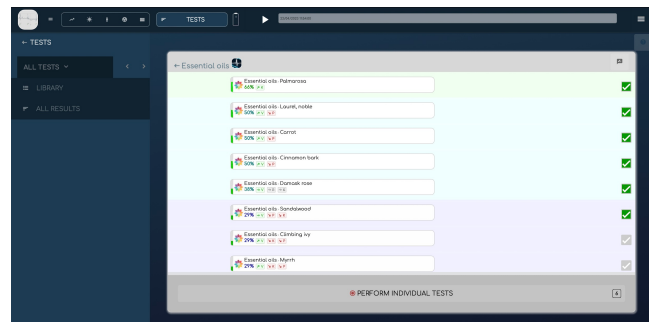
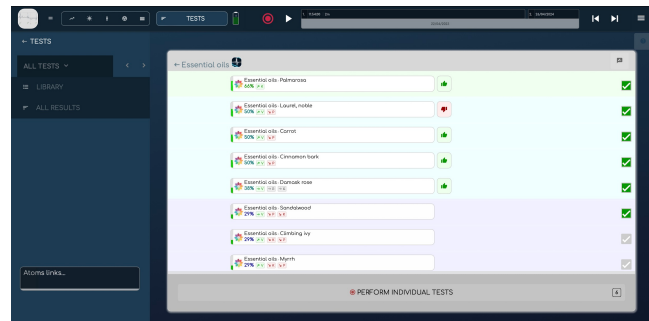
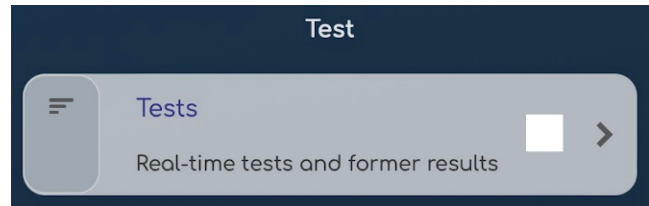
라이브 평가가 끝나면 목록에 표시되는 두 가지 정보, 즉 바이오마커의 요구 사항과 각 목록 요소의 명시된 효과를 기반으로 한 자동 사전 평가(있는 경우)와 테스트 중 유기체의 신체 반응에 따라 엄지 손가락을 위로 또는 아래로 움직이는 바이오피드백 반응을 확인할 수 있습니다.

7.2. 테스트 목록

테스트는 평가 및 주문할 요소 목록으로 구성됩니다.

7.3. 테스트 목록

시험 검색, 편집, 공유 및 선택하기



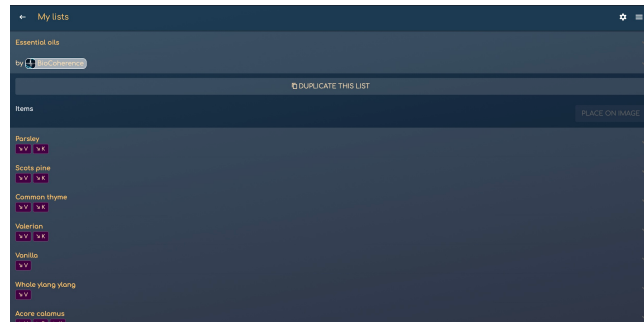
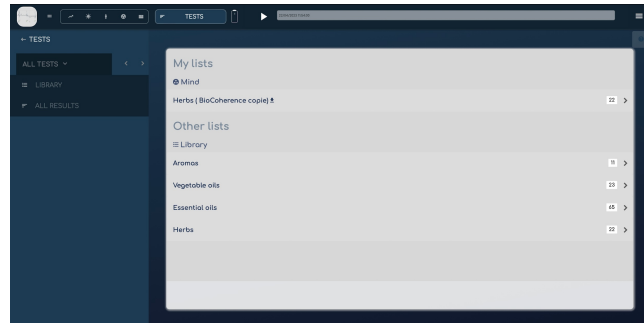
테스트는 크리에이터가 자신의 목록을 만들고 공유할 수 있는 개방형 플랫폼입니다. 키워드, 크리에이터 또는 테스트 유형별로 검색하고, 기존 테스트를 복제하여 나만의 테스트를 만들 수 있으며, 클릭 한 번으로 현재 보고서에 대한 모든 테스트 결과를 표시할 수 있습니다.

7.4. 테스트: 바이오피드백 라이브 평가

시험을 시작하면 사용자에게 정보가 전송되고 신체적 답변이 평가됩니다.

7.5. 테스트: 편집

프로라면 누구나 직접 테스트를 만들거나 나중에 공유할 수 있습니다. 테스트 목록의 각 요소에 대해 자동 평가를 위해 바이오마커에 대한 작업을 지정하거나 바이오피드백 평가를 위한 모든 종류의 정보를 추가할 수 있습니다.



3.2. 상세 가이드

이 매뉴얼은 애플리케이션의 모든 측면을 다루며, 각 장에는 스크린샷과 동영상으로 설명되어 있어 가장 효과적인 사용 방법을 이해하는 데 도움이 됩니다.

챕터별 동영상과 포럼에 액세스하려면 biocoherence.net/tutorials로 이동하세요

콘텐츠

8.	소개.....	37
8.1.	소프트웨어 인터페이스 개요.....	37
8.2.	보고서 열기.....	38
8.3.	센서로 녹화.....	40
8.4.	고객 관리.....	40
8.5.	여러 부분으로 구성된 보고서.....	42
9.	이해 바이오마커.....	43
9.1.	바이오마커 상세 정보.....	43
9.2.	펄스 웨이브 편집 및 검증(원시 녹음).....	45
9.3.	세션 진행 중 바이오마커 변화 모니터링하기.....	46
9.4.	주파수 및 고조파 분석.....	46
9.5.	인과 관계.....	47
9.6.	거짓말 탐지기.....	49
10.	이해 : 에너지.....	50
10.1.	모멘텀.....	50
10.2.	원자.....	51
10.3.	아유르베다 에너지 평가.....	51
10.4.	차크라 시각화.....	53
10.5.	영향력.....	53
11.	이해 : 본문.....	54
11.1.	한의학 경락.....	54
11.2.	기관 지도.....	55
11.3.	침술 포인트.....	56
12.	이해합니다: 마음.....	58
12.1.	정렬.....	58
12.2.	뇌파.....	58
12.3.	드라이브.....	59
12.4.	감정.....	61
12.5.	초점.....	62
12.6.	음악.....	62
12.7.	16가지 성격 유형.....	63
12.8.	5가지 상처.....	64
13.	테스트.....	66
13.1.	테스트 목록.....	66
14.	잔액.....	70
14.1.	우선순위.....	70
14.2.	리소스.....	71
14.3.	PDF 보고서.....	73
14.4.	균형: 명상, 사운드 및 도구.....	73
14.5.	하모닉 부스트.....	77
15.	바이오코히어런스의 AI.....	80
15.1.	AI 도우미.....	80

8. 소개

이 가이드의 일반적인 소개

이 소개에서는 기존 보고서를 열거나, 건강에서 ECG를 가져오거나, 센서로 기록하여 새 보고서를 만드는 방법을 살펴봅니다. 또한 애플리케이션의 초기 개념도 살펴볼 것입니다.

8.1. 소프트웨어 인터페이스 개요

컴퓨터, 태블릿 또는 스마트폰의 인터페이스, 포럼, 상황에 맞는 수동 액세스 및 상황에 맞는 도움말 요청.

녹화 후 보고서를 열면 데이터를 효율적으로 탐색하고 분석하는 데 도움이 되는 몇 가지 인터페이스 요소가 있습니다.

인터페이스 상단에는 보고서의 여러 부분에 액세스할 수 있는 메뉴가 있습니다. 내비게이션 바를 사용하면 기록 내에서 이동할 수 있습니다. 메인 메뉴는 여러 섹션으로 나뉘어 있습니다. 요약으로 돌아가려면 제공된 버튼을 클릭하기만 하면 됩니다.

주요 섹션은 다음과 같습니다:

- **스캔 분석:** 이 섹션에는 신체, 에너지, 바이오마커 기술 분석, 마음 분석, 기록 진행 상황 등 다양한 화면이 표시됩니다.
- **테스트:** 현재 이 섹션에는 하나의 항목만 있지만 더 많은 옵션이 추가될 예정입니다. 여기에는 목록 테스트, 빈도 테스트 및 라이브 테스트가 포함됩니다.
- **센서 연결:** 배터리 아이콘을 클릭하면 센서에 대한 블루투스 연결을 시작하고 바로 녹화를 시작할 수 있습니다.

녹화의 탐색은 화면 크기에 따라 컴퓨터에서는 화면 상단에, 휴대폰에서는 하단에 있습니다. 세션 전, 세션 후 등의 섹션 사이를 탐색하고 특정 클라이언트에 대해 수행된 모든 작업을 확인할 수 있습니다. 또한 이 인터페이스에서는 비트별 탐색을 통해 상세한 실시간 분석을 할 수 있습니다.

보고서 저장에는 고객 정보, 보고서 제목, 클라우드에 보고서를 저장하는 기능이 포함됩니다. 이를 통해 여러 기기에서 액세스할 수 있으며 로컬 컴퓨터에서 데이터를 안전하게 보호할 수 있습니다. 잘못된 프로필에서 녹화가 시작된 경우 클라이언트를 변경할 수도 있습니다.

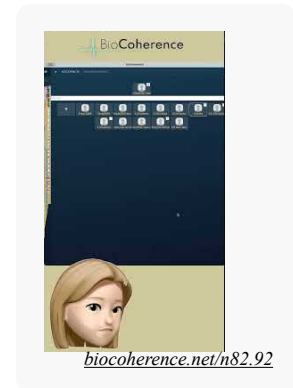
인터페이스 상단의 일반 메뉴에는 여러 가지 옵션이 있습니다:

- 홈 페이지로 돌아가기
- 테스트 목록 편집
- 연락처 관리
- 연락처 세부 정보 및 계정 수정
- 구독 변경
- 애플리케이션 데이터 업데이트
- 오픈 계산기 사용

모든 페이지에서 최근 뉴스 및 도움말 요청 옵션에 액세스할 수 있습니다. 기술적 문제가 발생한 경우 '의견 및 제안'을 입력하거나 질문을 하거나 스크린샷과 함께 지원 요청을 보낼 수 있습니다.

도움말 요청, 포럼 및 온라인 매뉴얼

이 애플리케이션은 상황에 맞는 도움말과 각 항목에 대한 통합 동영상도 제공합니다. 물음표 기호(?)가 표시될 때마다 작은 도움말 텍스트가 열립니다. 이 텍스트를 통해 동영상과 설명서 페이지로 바로 이동할 수 있습니다. 또한 공동 작업 포럼에 액세스할 수도 있습니다. 특별한 문



제는 없지만 이 시점에서 의견을 남기고 싶거나 실무자 간에 명확한 설명이 필요한 경우 물음표를 클릭하여 이 협업 포럼을 열 수 있습니다. 그런 다음 여기에서 질문하거나 다른 사용자의 질문에 답변할 수 있습니다.

'조언 및 제안' 기능을 사용하여 도움 요청하기

'공지 및 제안' 기능은 인터페이스의 어느 페이지에서나 액세스할 수 있으며, 기술적인 문제가 발생했을 때 도움을 요청할 수 있습니다. 이 기능을 효과적으로 사용하는 방법은 다음과 같습니다:

1. 오른쪽 상단의 메뉴를 열고 '공지 및 제안' 메뉴에 액세스합니다.
2. 제공된 텍스트 상자에 질문을 입력하거나 문제를 설명합니다.
3. 시스템이 지식창고에서 질문에 대한 답변을 검색합니다.
4. 답변이 발견되면 해당 답변이 화면에 바로 표시됩니다.
5. 답변을 찾을 수 없는 경우에는 지원 요청을 보낼 수 있습니다.

지원 요청을 보내려면 두 가지 옵션이 있습니다:

- **스크린샷을 찍습니다.** 스크린샷을 찍으면 화면에서 무슨 일이 일어나고 있는지 더 잘 이해할 수 있습니다. 스크린샷을 찍고 나면 상단의 도구를 사용하여 이미지에 주석을 달 수 있습니다. 예를 들어 문제 영역에 동그라미를 치고 설명 말풍선을 추가할 수 있습니다.
- **티켓을 작성합니다.** 스크린샷을 찍지 않고도 문제에 대한 설명을 간단히 작성할 수도 있습니다.

스크린샷에 주석을 달거나 설명을 작성한 후에는 :

- "확인"을 클릭합니다.
- 필요한 경우 초기 검색 내용을 명확히 하기 위해 약간의 텍스트를 추가합니다.
- 메시지를 보냅니다.

그러면 요청이 필요한 모든 정보가 포함된 티켓으로 전환되어 지원팀에서 최대한 도움을 드릴 수 있습니다. 구체적인 질문이나 해결해야 할 문제가 있는 경우에는 항상 '조언 및 제안' 메뉴를 이용하세요.

요청에 대한 후속 조치

'조언 및 제안' 메뉴의 세 번째 버튼인 '티켓 추적'을 클릭하면 현재 진행 중인 모든 요청이 열리므로 정보를 추가하거나 답변을 볼 수 있습니다.

홈 페이지로 돌아가기

홈 페이지로 돌아가면 마지막으로 열려 있던 보고서가 표시되어 빠르게 액세스할 수 있습니다. 인터페이스에는 스캔 분석, 실시간 테스트, 스캔 결론 및 결과 공유 기능을 위한 중요한 섹션이 포함되어 있습니다.

이 인터페이스는 녹화를 분석하고 공유하기 위한 유동적인 탐색과 종합적인 도구를 제공하도록 설계되었습니다.

8.2. 보고서 열기

앱 살펴보기

소개

스마트폰과 컴퓨터에서 사용할 수 있는 바이오코히어런스 애플리케이션을 소개하는 이 챕터에 오신 것을 환영합니다. 이 애플리케이션을 사용하면 다양한 바이오마커를 추적하고 분석하여 심신의 균형을 개선할 수 있습니다.

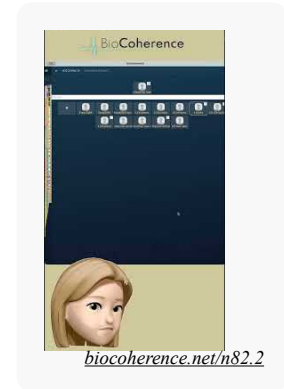
홈 화면

애플리케이션을 열면 홈 화면이 나타납니다. 새 측정을 시작하거나 샘플 보고서를 여는 두 가지 선택지가 있습니다. 먼저 샘플 보고서를 열어 인터페이스에 익숙해지는 것이 좋습니다. 이 홈 화면에는 다양한 정보를 제공하는 메뉴도 있으며, 다음 섹션에서 자세히 설명합니다.

예제 보고서

예제 보고서를 열면 계산이 즉시 시작되는 것을 알 수 있습니다. 그러면 다음과 같은 섹션으로 나뉘어져 있는 기본 메뉴로 이동합니다:

- 밸런스: 우선순위, 리소스
- 보고서: PDF 보고서, 안내 영상
- 상세 분석: 바이오마커, 에너지, 신체, 마음, 진행 상황



컴퓨터 애플리케이션

컴퓨터 애플리케이션은 스마트폰과 유사한 경험을 제공하며 탐색할 수 있는 공간이 더 넓습니다. 메뉴와 섹션은 동일하지만 디스플레이가 더 큰 화면에 최적화되어 있습니다.

탐색

스마트폰을 사용하던 컴퓨터를 사용하던 화면 상단 또는 하단에서 탐색 영역을 사용할 수 있습니다. 이를 통해 한 섹션에서 다른 섹션으로 이동할 수 있으며, 특히 운동 전후 기록을 비교하거나 특정 기간 동안의 일일 진행 상황을 추적할 수 있습니다. 기록에서 뒤로 또는 앞으로 이동하려면 '재생'을 누르고 기록을 탐색하기만 하면 됩니다.

바이오마커 분석

"바이오마커" 섹션을 선택하면 맥과 등의 데이터를 살펴볼 수 있습니다. 이 분석은 마커 유형과 기록 시간에 따라 달라질 수 있습니다. 컴퓨터에서 "테스트" 및 "진행률"과 같은 추가 탭을 사용하여 세션 진행 중 바이오마커의 진화를 자세히 볼 수 있습니다.

결론

이 장에서는 바이오코히어런스 애플리케이션에 대한 일반적인 개요를 제공했습니다. 각 화면과 기능에 대한 심층적인 이해를 위해 보완 동영상 참조하시기 바랍니다.

8.3. 센서로 녹화

BioCoherence로 깨끗한 ECG 기록을 만드는 데는 여러 가지 방법이 있습니다. 홈 페이지에서 새 기록을 시작하고 "기록"을 클릭하여 시작할 수 있습니다. 또 다른 옵션은 "진행률" 페이지에서 시작하거나 화면 상단의 배터리 아이콘을 클릭하여 시작하는 것입니다. 이러한 작업을 수행하면 애플리케이션이 자동으로 블루투스 센서에 연결되고 녹음이 시작됩니다.

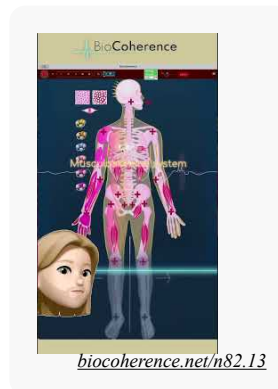
녹화하는 동안 예상 결과를 설명하는 애니메이션이 표시됩니다. 그러나 이 애니메이션은 측정 값에 따라 실시간으로 업데이트되지 않습니다. 데이터는 기록이 끝날 때 계산됩니다. 애니메이션은 좋은 기록을 얻는 데 필요한 시간(이상적으로는 최소 2분 이상)을 확보하는 데 도움이 됩니다.

화면 상단에 있는 '에너지', '활동', '링크'라고 표시된 세 개의 슬라이더가 점진적으로 채워집니다. 수집된 정보가 필요한 모든 변수를 계산하기에 충분한지 확인하려면 이 커서를 완전히 채워야 합니다. 이 커서가 100%에 도달하면 기록이 충분한 것으로 간주됩니다.

녹화 품질을 확인하려면 각 센서에 엄지 손가락을 올려놓습니다. 신호의 품질이 좋지 않으면 전극 젤을 사용하거나 손가락을 살짝 적셔 보세요. 신호 품질은 자동으로 평가됩니다. 예를 들어 손가락을 떼면 녹음이 즉시 중지됩니다. 손가락을 다시 넣으면 다시 연결하는 데 1초 정도 걸리지만 다시 보정해야 할 수도 있습니다.

충분한 압력을 가하지 않거나 움직이거나 갑자기 움직이면 화면이 빨간색 배경으로 바뀌어 데이터가 고려되고 있지 않음을 나타냅니다. 장치는 녹색 점이 돌아오고 빨간색 배경이 사라지는 것으로 표시되는 재보정을 기다렸다가 양질의 데이터 기록을 재개합니다.

커서가 100% 가득 차면 "중지"를 클릭합니다. 그러면 애플리케이션이 모든 데이터를 계산하고 스캔 기록의 다양한 주요 챕터를 참조할 수 있습니다.



8.4. 고객 관리

개요

바이오펜터 프로를 사용하면 각자의 애플리케이션을 통해 연결할 수 있는 고객 수에 제한 없이 네트워크를 구축할 수 있습니다. 이 장에서는 고객과 정보를 관리하고 공유하는 데 관련된 단계를 안내합니다.

고객 선택

고객을 선택해야 하는 모든 페이지의 오른쪽 상단에는 고객을 선택할 수 있는 버튼이 있습니다. 고객을 찾으려면 검색 필드에 이름을 입력하기만 하면 됩니다. 시스템에서 해당 고객과 각 고객에 대해 사용 가능한 레코드 수를 표시합니다.

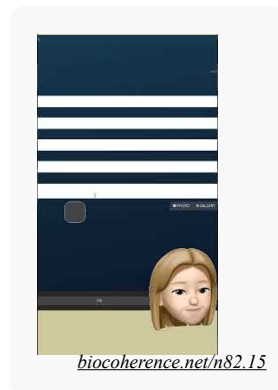
기록 관리

고객을 선택하면 해당 고객이 사용할 수 있는 기록이 표시됩니다. 기록은 다양한 픽토그램으로 식별할 수 있습니다:

- 픽토그램은 기록이 로컬 컴퓨터에 저장되어 있음을 나타냅니다.
- 다른 그림 기호는 기록이 클라우드에 있음을 나타냅니다.
- 세 번째 픽토그램은 고객이 이 기록에 액세스할 수 있음을 나타냅니다.

보고서 공유

보고서를 열 때 고객과 액세스 권한을 공유할지 여부를 선택할 수 있습니다. 홈 페이지에서 버튼을 사용하여 성별, 이메일, 사진 등의 고객 정보를 수정할 수 있습니다. 이 정보는 성기 및 차크라 관련 시각화에 매우 중요한 정보입니다.



초대 보내기

고객에게 초대를 보내려면 고객의 이메일 주소를 입력하고 "이메일 보내기"를 클릭합니다. SMS, WhatsApp 또는 디바이스에서 사용 가능한 다른 애플리케이션을 통해 초대 링크나 텍스트를 공유할 수도 있습니다. 플래그 선택기로 언어를 변경하여 영어 또는 프랑스어로 메시지를 보낼 수 있습니다.

이러한 기능을 사용하면 효율적이고 안전한 커뮤니케이션을 보장하면서 BioCoherence Pro에서 고객과 정보를 쉽게 관리하고 공유할 수 있습니다.

BioCoherence 의 사용자 및 고객 관리, 자세히 알아보기

BioCoherence 앱은 포괄적인 사용자 및 클라이언트 관리 기능을 제공하여 사용자가 자신과 고객의 프로필을 관리할 수 있도록 합니다. 이 섹션에서는 새 연락처 만들기, 사용자 간 전환, 사용자 데이터 관리 등 앱 내에서 사용자 및 클라이언트를 관리하는 데 사용할 수 있는 기능에 대해 자세히 설명합니다.

현재 사용자 표시

- **사용자 표시:** 현재 사용자는 앱 인터페이스의 홈 화면 상단에 표시됩니다. 이 사용자는 본인(기본 사용자) 또는 모든 클라이언트 또는 연락처일 수 있습니다.
- **개인정보 보호 기능:** 사용자는 흐리게 아이콘을 클릭하여 모든 이름과 사진을 흐리게 처리하여 다른 사람이 화면을 볼 수 있는 경우 프라이버시를 보호할 수 있습니다.

사용자 분석

- **분석 보기:** '분석 열기' 또는 '모든 분석 보기'를 클릭하면 현재 사용자에게만 연결된 분석이 표시됩니다.
- **사용자 전환하기:** 사용자를 전환하려면 두 개의 화살표 아이콘을 클릭하여 사용자 디렉터리에 액세스합니다. 기본 사용자는 항상 이 목록의 맨 위에 나열됩니다.

사용자 디렉터리

- **사용자 디렉터리 액세스하기:** 두 개의 화살표 아이콘을 클릭하여 사용자 디렉터리를 엽니다.
- **사용자 검색하기:** 페이지 하단의 검색 아이콘(돋보기)을 사용하여 키워드를 입력하여 사용자를 필터링합니다.
- **새 연락처 만들기:** 메뉴를 통해 연락처 목록에 액세스하고 '새 연락처 만들기'를 클릭하여 새 사용자를 추가합니다. 정확한 화면 표시를 위해 성별을 지정합니다. 연락처를 초대하거나 보고서를 공유하려는 경우 이메일을 추가하거나 앱에서 보고서 액세스 권한을 부여합니다.

연락처 관리

- **연락처 수정하기:** 이름, 이메일, 성별 등 현재 연락처 세부 정보를 편집합니다. 성별 선택은 특히 성별별 분석의 경우 화면 표시에 영향을 줍니다.
- **이메일 통합:** 이메일을 추가하면 PDF 보고서를 직접 전송할 수 있으며 서버에 사용자의 계정이 생성됩니다.
- **추가 정보:** 생년월일, 체중 및 개인 메모를 선택 사항으로 입력할 수 있습니다. 생년월일은 현재 계산에 사용되지 않지만 향후 생물학적 나이 비교와 같은 기능에 사용될 예정입니다.

사용자 파일 관리

- **파일 저장:** 분석은 사용자 파일에 저장됩니다. 혼동을 피하기 위해 분석이 올바른 사용자 아래에 저장되어 있는지 확인하세요. 다른 사용자로 기록을 시작하는 등 실수가 있는 경우 이 단계에서 사용자를 변경할 수 있습니다.
- **클라우드 업로드:** 분석을 클라우드에 업로드하여 공유할 수 있습니다. 이는 클라이언트와 액세스를 공유하는 데 필요합니다.

사용자 공유 및 초대

- **사용자 초대:** 이메일이나 문자를 통해 사용자에게 초대장을 보내 사용자가 보고서에 액세스하고 앱을 사용할 수 있도록 합니다.
- **보고서 공유:** 고객과 PDF 보고서를 공유합니다. 포함할 섹션을 선택하여 보고서를 사용자 지정할 수 있습니다.

장치 호환성 및 업데이트

- **기기 호환성:** 이 앱은 다양한 플랫폼과 호환되며, 기능 개선을 위해 정기적으로 업데이트가 제공됩니다.
- **앱 업데이트:** 사용자는 정기적으로 업데이트를 확인하여 최신 기능과 수정 사항이 있는지 확인해야 합니다.

추가 기능

- **멀티뷰 분석:** 녹화물의 여러 변수를 실시간으로 비교할 수 있습니다. 연구 및 상세 분석에 유용합니다. 특정 연락처의 기록을 표시하고 비교할 수 있습니다.
- **Apple 건강 통합:** Apple 건강에서 녹음을 가져옵니다. 장치에서 가져오는 것은 기본 사용자 자신의 Apple Health 계정에서 가져온다는 점에 유의하세요. 자신의 Apple Watch에서 녹음을 하는 경우에는 자신의 장치에서만 가져올 수 있습니다. 따라서 클라이언트의 Apple Watch에서 기록하는 경우, 클라이언트의 앱과 로그인을 사용하여 클라이언트의 기기에서 가져오기를 수행해야 합니다. 그런 다음 고객과 공유할 수 있습니다.

개인정보 보호 및 데이터 관리

- **로컬 데이터 저장:** 모든 계산과 데이터는 기기에 로컬로 저장됩니다. 클라우드 저장소는 선택 사항이며 공유 목적으로만 사용됩니다.
- **데이터 보안:** 이 앱은 인터넷 접속 없이도 작동할 수 있어 데이터 보안과 개인정보 보호를 보장합니다.

향후 개발

- **간소화된 앱 버전:** 녹음, 주파수 재생, 보고서 읽기에 초점을 맞춘 간소화된 버전의 앱이 출시될 예정입니다.

바이오펜터스 앱의 사용자 및 클라이언트 관리에 대한 포괄적인 가이드를 통해 사용자는 자신과 클라이언트의 프로필을 효과적으로 관리하여 전반적인 사용자 경험을 향상시킬 수 있습니다.

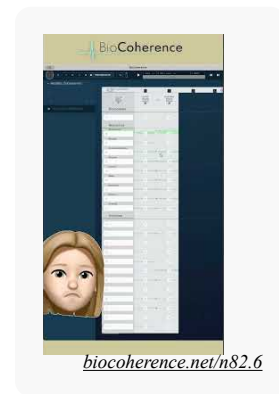
8.5. 여러 부분으로 구성된 보고서

보고서의 세부 정보를 살펴보려면 먼저 해당 보고서를 엽니다. 보고서 이름을 클릭하여 열면 보고서에 포함된 다양한 요소가 표시됩니다. 컴퓨터의 경우 화면 상단, 휴대폰의 경우 하단에 보고서의 다양한 섹션이 표시됩니다. 기본적으로 전체 레코드가 표시되지만, 예를 들어 첫 번째 또는 두 번째 섹션만 표시하도록 선택할 수 있습니다.

섹션 세부 정보는 홈 페이지 인터페이스의 중앙에 있는 '진행 상황' 탭을 통해 액세스할 수 있습니다. 이 탭에서는 녹화가 진행되는 동안 다양한 변수의 변화를 보여줍니다. 예를 들어 5분 간격, 4분 30초 간격의 녹화 또는 40초, 20초 등 다양한 길이의 녹화를 볼 수 있습니다.

이러한 녹화물에 댓글을 추가할 수도 있습니다. 이 기능을 사용하면 세션의 시작과 끝을 문서화하거나 세션이 진행되는 동안 마커의 변화를 관찰하기 위해 특정 작업에 주석을 달 수 있습니다.

다양한 레코딩에 직접 액세스할 수 있으므로 중간자의 상태를 섹션별로 비교하고 모멘텀, 차크라 등의 변화를 관찰할 수 있습니다. 이러한 기능은 보고서의 여러 섹션을 자세히 비교하여 볼 수 있는 기능을 제공합니다.



9. 이해 바이오마커

펄스파 기술적 분석

이 화면에서는 주파수 및 하모니 추출, 기록 편집, 파동 직접 분석, 바이오마커 진화 그래프 등 맥파의 기술적 분석이 가능합니다...

9.1. 바이오마커 상세 정보

소개

이 장에서는 사용자 인터페이스의 바이오마커에 대해 자세히 살펴보겠습니다. 차크라의 예를 들어 바이오마커의 작동 방식과 관련 정보가 표시되는 방식을 설명해 보겠습니다.

차크라에 액세스하기

차크라 전용 페이지에 액세스하면 다양한 차크라가 표시됩니다. 특정 차크라를 클릭하면 관련 바이오마커가 화면 오른쪽에 나타납니다.

에너지 및 동요

첫 번째 핵심 요소는 에너지 수준과 교반에 따라 평가되는 자원인 에너지입니다. 화면 왼쪽에는 에너지가 시각화되어 있고, 하단에는 교반이 표시됩니다. 두 측면 모두 9개의 서로 다른 꽃잎으로 표현되어 에너지와 교반 상태를 설명합니다:

- 여기서 높은 에너지와 낮은 교반은 자원을 나타냅니다.

추가 정보

다른 정보도 표시됩니다:

- 관심 수준
- 의도 수준
- 기간(단기, 중기 또는 장기)
- 요소의 주요 주기

진화 및 평균

세션이 진행되는 동안 바이오마커의 진화를 네 부분으로 나누어 추적할 수 있습니다. 예를 들어, 에너지의 변화를 상승 및 하강 단계로 관찰하여 전체 평균을 평가할 수 있습니다.

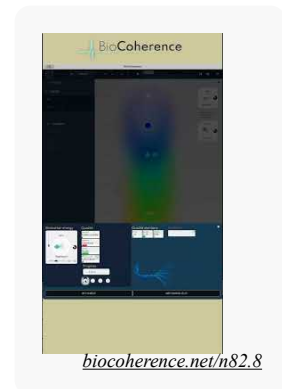
우선순위

각 바이오마커 페이지에서는 1,400개 이상의 다양한 바이오마커를 제공합니다. 버튼을 사용하면 바이오마커를 우선순위에 자동으로 추가할 수 있습니다. "우선순위에 추가"를 클릭하면 명상이나 재조화 주파수와 같은 추가 치료를 위해 이 항목이 표시됩니다. 클릭 한 번으로 추가 및 제거할 수 있습니다.

링크 품질

같은 계열의 요소(예: 차크라) 사이의 링크가 표시됩니다:

- 파이버 수(링크)
- 공명 지점
- 확산 비율(예: 연결된 차크라의 33%)



biocoherence.net/n82.8

직접 액세스 버튼

두 개의 버튼으로 쉽게 탐색할 수 있습니다:

- 차크라에 직접 액세스
- 전체 화면 바이오마커 분석 페이지로 바로 액세스

도움말 및 정보

각 페이지에 물음표가 표시되어 있어 꽃잎에 대한 추가 정보와 다양한 공명 및 규정의 의미를 확인할 수 있습니다.

요컨대, 이 인터페이스를 통해 바이오마커를 상세하고 개인화된 방식으로 관리하여 차크라 및 기타 관련 요소의 분석과 최적화를 용이하게 할 수 있습니다.

바이오마커 에너지 및 교반 정보

에너지

왼쪽의 세로 눈금은 바이오마커의 평균 에너지를 나타냅니다. 값이 낮을수록(아래쪽) 에너지가 낮은 바이오마커를 나타냅니다. 높은 값(위쪽)은 높은 에너지 바이오마커를 나타냅니다. 일부 바이오마커(예: 경혈, 감정 등)의 경우 에너지가 음수 또는 양수일 수 있으며, 이는 전체 균형에 미치는 영향을 나타냅니다. 이 경우 낮은 에너지는 눈금의 가운데에 표시됩니다.

동요

하단의 가로 눈금은 바이오마커의 평균 교반을 나타냅니다. 낮은 값(왼쪽)은 대부분 정적인 바이오마커를 나타냅니다. 값이 높을수록 바이오마커가 많이 흔들린다는 뜻입니다.

바이오마커 꽃잎

8개의 꽃잎(그리고 열린 꽃잎, 8개의 꽃잎이 모두 평형 상태)은 바이오마커의 주요 에너지/교반 영역을 나타냅니다.

Static

낮은 에너지, 낮은 교반. 바이오마커의 활동이 가장 낮은 상태입니다. 일반적으로 만성적이고 장기적인 상태와 관련이 있습니다.

낮은 에너지

낮은 에너지, 정상적인 동요. 이 바이오마커는 활동성은 낮지만 기능적인 활동을 합니다.

긴장

낮은 에너지, 높은 동요. 이것은 고통의 신호입니다.

안정

정상 에너지, 낮은 동요. 이 바이오마커는 안정적인 기둥입니다.

유연함

정상적인 에너지, 정상적인 동요. 열린 꽃은 최적의 기능 상태를 나타냅니다.

학습

정상적인 에너지, 높은 동요. 일반적으로 일부 외부 정보에 대한 반응으로 학습 과정을 나타냅니다.

자원

높은 에너지, 낮은 교반. 이것은 주요 자원의 특징입니다.

적응

높은 에너지, 정상적인 동요. 이것은 일반적으로 외부 자극에 대한 반응으로 적응 과정을 나타냅니다.

불안정

높은 에너지, 높은 동요. 이는 심각하고 해결하기 어려운 상황을 나타냅니다.

바이오마커 조절 정보

바이오마커에 대한 비선형 분석입니다.

주의

바이오마커의 관리 강도를 나타냅니다.

의도

값이 낮을수록 분산(동시 바이오마커 규정이 많이 존재함)을 나타냅니다. 값이 클수록 집중(바이오마커의 주요 규정이 강력하게 존재)을 나타냅니다. 음수 값은 혼돈(명확한 규정이 없음)을 나타냅니다. 과대 값은 과잉 경계(너무 강력한 규제)를 나타냅니다.

수평선

값이 낮을수록 단기적인 동요(바이오마커 규제에서 장기적인 관리보다 단기적인 관리가 더 많음)를 나타냅니다. 값이 높을수록 장기적인 이완(바이오마커 규제가 단기보다 장기적으로 더 많이 관리됨)을 나타냅니다.

바이오마커 공명 정보

같은 그룹 내 바이오마커 간의 공명도에 대한 비선형 분석입니다.

스레드

그룹 내 다른 바이오마커와의 총 공명 횟수를 나타냅니다(메인 로프의 스레드 수).

강도

그룹 내 다른 바이오마커와의 총 링크 길이를 나타냅니다(메인 로프의 폭).

도달 범위

이 바이오마커가 링크되어 있는 동일한 카테고리의 다른 마커의 비율을 나타냅니다(메인 로프에서 개별 로프로의 분리).

리소스

리소스는 다른 바이오마커와의 강력한 연결 고리입니다. 리소스는 두 시스템 간의 에너지 교환을 나타냅니다. 에너지 교환의 주요 방향이 표시됩니다(수신 또는 송신). 자원은 가장 강력한 자원에서 가장 먼저 받거나 가장 필요한 자원으로 보내는 순서로 정렬됩니다.

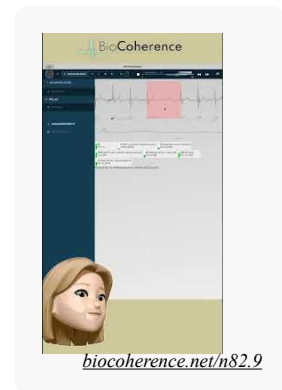
9.2. 펄스 웨이브 편집 및 검증(원시 녹음)

이 섹션에서는 녹화에 문제가 있는 경우 맥파를 편집하는 방법과 원시 맥파를 확인하는 방법을 살펴봅니다. 시작하려면 '바이오마커' 섹션으로 이동하여 '맥파'를 선택합니다. 그러면 각 심장 박동의 파형을 포인트별로 볼 수 있습니다. 이 비트별 시각화는 각 파동의 변화를 비교하고 관찰하는 데 유용합니다.

우리가 익숙한 평균 파형 외에도 실제 파형은 이 평균 주변에서 훨씬 더 흔들리는 경우가 많다는 점에 유의해야 합니다. 예를 들어 파동의 일부가 감지되지 않는 등 녹화 중에 문제가 발생하면 소프트웨어가 이 부분을 자동으로 비활성화합니다. 그러나 이 섹션을 고려해야 한다고 판단되면 다시 활성화할 수 있습니다.

그러려면 해당 섹션을 클릭하기만 하면 됩니다. 클릭 한 번으로 개별 비트를 활성화 또는 비활성화할 수도 있습니다. 비활성화된 비트는 더 이상 숫 계산이나 그래프에서 고려되지 않습니다.

마지막으로 맥파 아래에는 RR 간격, PR 간격, QRS 간격 등과 같은 일련의 기술 통계가 표시됩니다. 이러한 데이터는 추가 분석을 위한 귀중한 정보를 제공할 수 있습니다.



9.3. 세션 진행 중 바이오마커 변화 모니터링하기

시간에 따른 바이오마커의 진화를 분석하려면 먼저 '바이오마커' 탭에 액세스하여 '세션'을 엽니다. 시간이 지남에 따라 바이오마커의 전체 진화 과정을 볼 수 있습니다.

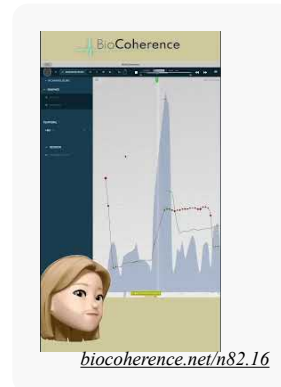
재생 모드에서는 커서를 한 지점씩 이동하여 진화의 다른 부분을 관찰할 수 있습니다. 화면 하단에는 세션의 각 부분 사이의 구분을 나타내는 표시가 있습니다. 보다 정확한 분석을 위해 zoom을 조정하고 세션의 다른 부분(두 번째, 세 번째 등)을 탐색할 수 있습니다.

원하는 위치를 클릭하여 이벤트를 추가할 수 있습니다. 예를 들어, 주목할 만한 작업을 수행한 경우 이 이벤트를 표시할 수 있습니다. 이벤트가 추가되면 화면 하단에 표시로 표시되며, 이를 클릭하면 해당 이벤트에 다시 액세스할 수 있습니다. 이벤트를 편집한 다음 새 위치를 확인하여 이벤트를 이동할 수도 있습니다.

이벤트는 연습의 중요한 측면을 기록하는 데 사용되며 다양한 부분의 요약에도 표시됩니다. 진화 그래프는 매우 단기(순간 진화의 경우 파란색 배경), 중기, 장기, 매우 장기 등 여러 세그먼트로 나뉩니다. 매우 장기는 장기간에 걸친 평균을 제공하며, 계산하는 데 약 90번의 비트가 필요합니다.

초단기와 중기 사이의 관계를 분석하는 것이 중요합니다. 때때로 초단기 곡선이 중기 곡선보다 높거나 낮을 수 있습니다. 곡선이 아래일 때는 빨간색으로 표시되고 위일 때는 녹색으로 표시됩니다. 이러한 표시는 테스트 중 즉각적인 추세를 평가하는 데 중요한 정보를 제공합니다.

마지막으로 에너지 및 교반 수준을 나타내는 '꽃' 형태로 정보를 종합하여 볼 수 있습니다. 이 요약은 부분별로 분석하여 여러 섹션에 걸친 변화를 관찰할 수도 있습니다.



9.4. 주파수 및 고조파 분석

FFT라는 수학적 연산을 통해 파동을 주파수로 변환한 다음 이 주파수를 분석하여 고조파를 찾습니다.

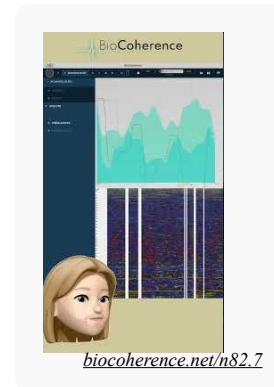
이 장에서는 파형에서 계산된 주파수와 하모니를 살펴보겠습니다. 여기서는 바이오마커 공간, 즉 기술 목록에 머물러 있습니다.

시작하려면 주파수를 엽니다. 060Hz 사이의 디스플레이가 표시됩니다. 이 디스플레이의 맨 위에는 가장 낮은 주파수, 즉 0.03Hz 미만의 매우 낮은 주파수, 낮은 주파수, 0.4Hz 정도의 높은 주파수가 있습니다. 이러한 주파수 범위에는 일반적으로 매우 흥미로운 정보가 포함되어 있습니다.

먼저 03Hz 범위를 살펴보지만 다른 주파수 대역에 대한 정보도 찾을 수 있습니다.

다음으로 고조파 섹션으로 이동합니다. 이 섹션에서는 가장 강한 주파수를 결정하기 위해 주파수에 대한 계산을 수행합니다. 여기서 얻은 정보는 다양한 바이오마커와도 관련이 있습니다. 이 기술적 분석을 통해 녹음을 스캔하고 주요 주파수를 식별할 수 있습니다. 이러한 디스플레이에서 육안으로 관련 정보를 구별하기는 어렵지만, 애플리케이션이 바이오마커를 계산하는 데 사용하는 기본 정보 중 하나입니다.

FFT(고속 푸리에 변환)는 푸리에 변환을 빠르고 효율적으로 계산하는 알고리즘입니다. 신호 처리, 스펙트럼 분석 및 데이터 압축에 널리 사용됩니다. 푸리에 변환은 함수나 신호를 서로 다른 주파수의 사인 곡선의 합으로 분해하는 수학적 도구입니다. 푸리에 변환은 신호를 시간 영역에서 주파수 영역으로 변환합니다.



9.5. 인과 관계

BioCoherence의 인과 관계 체인 기능은 서로 다른 바이오마커 간의 상호 연관성을 분석하는 포괄적인 방법을 제공하여 사용자가 불균형의 근본 원인을 파악하고 가장 효과적인 개입을 결정할 수 있도록 합니다. 동일한 범주(예: 다른 장기와 연결된 장기) 내의 관계만 표시했던 이전 방법과 달리, 인과 관계 체인은 경락, 차크라, 원자, 병원균 등 모든 바이오마커 범주를 포함하도록 분석을 확장하여 사용자가 이 기능을 통해 다음을 수행할 수 있습니다:

- 불균형의 근본적인 원인을 파악합니다.
- 어떤 바이오마커가 서로 공명하는지 파악합니다.
- 균형을 회복하는 데 가장 적합한 도우미를 찾습니다.
- 조화를 위한 맞춤형 우선순위 목록을 작성합니다.

인과 관계 체인에 액세스하기

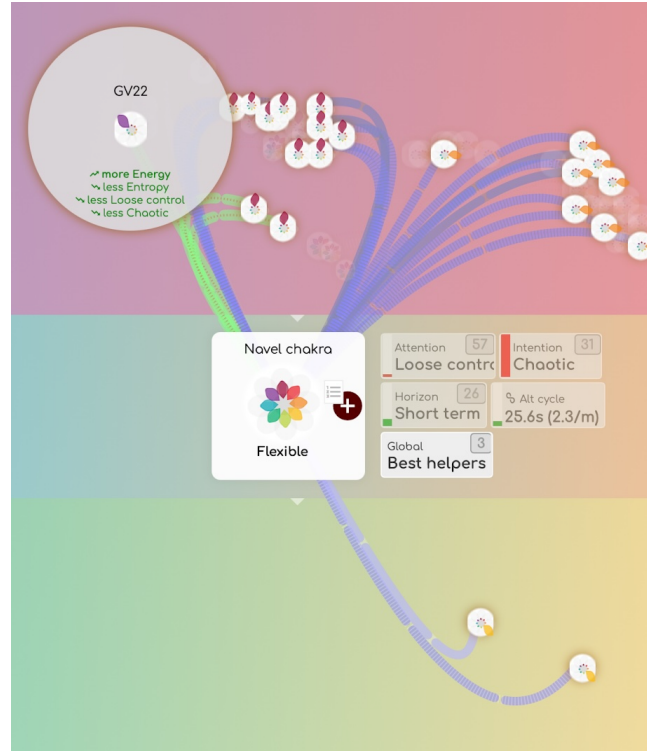
인과 관계 체인에 액세스하려면 다음과 같이 하세요:

1. 분석을 열고 바이오마커 섹션으로 이동합니다.
2. 관심 있는 바이오마커(예: 장기, 경락 또는 드라이브)를 선택합니다.
3. 관계 메뉴에서 인과 관계 하위 메뉴를 클릭합니다.

그러면 선택한 바이오마커와 공명하는 모든 바이오마커를 표시하는 새 인터페이스가 열립니다.

인과 관계 인터페이스 이해하기

인과 관계 연쇄 인터페이스는 서로 연결된 바이오마커의 네트워크 맵을 표시합니다. 주요 요소는 다음과 같습니다:



1. 중앙 바이오마커

- 선택한 바이오마커가 맵의 중앙에 배치됩니다.
- 이 바이오마커와 공명하는 다른 모든 바이오마커가 그 주위에 표시됩니다.
- 주변의 바이오마커를 클릭하여 중앙에 배치하고 그 주변을 다시 계산할 수 있습니다.

2. 공명하는 바이오마커

- 현재 중앙 바이오마커와 공명하고 있는 바이오마커만 표시됩니다.
- 이들은 장기, 경락, 차크라, 원자, 병원체 등과 같은 다양한 그룹으로 분류됩니다. 그룹은 화면 하단에 표시됩니다. 그룹 이름을 클릭하면 관련 바이오마커가 표시됩니다. 각 그룹은 하나 또는 두 개의 숫자를 표시할 수 있습니다.
 - 항상 이 그룹의 관련 바이오마커 수
 - 있는 경우에만 흰색 원 안에 이 그룹에 있는 큰 링크(베스트 헬퍼)의 수가 표시됩니다.

3. 관계 강도

바이오마커 간의 각 연결은 색상으로 구분됩니다:

- 큰 링크(흰색, 녹색 또는 파란색): 공명이 가장 강하고 도움을 줄 수 있는 최고의 도우미(에너지, 교반 및 품질이 가장 잘 개선됨)
- 녹색: 중앙 바이오마커에 긍정적인 영향(예: 에너지 증가, 엔트로피 감소).
- 파란색: 중앙 바이오마커가 이쪽으로 에너지를 보냅니다.
- 미세한 링크는 주의력, 의도 및 지평과 관련된 특정 관계를 나타냅니다. 상단의 범례는 그 의미를 보여줍니다.

4. 에너지 및 엔트로피 매핑

- 바이오마커는 꽃의 꽃잎이 정리된 것과 같은 방식으로 에너지 수준(낮음에서 높음)과 동요도(엔트로피)(낮음에서 높음)에 따라 그래픽 맵에 배치됩니다.
- 이를 통해 사용자는 어떤 바이오마커가 안정성 또는 불균형에 기여하고 있는지 시각적으로 평가할 수 있습니다.

5. 필터링 및 베스트 헬퍼

사용자는 특정 특성에 따라 표시된 바이오마커를 필터링할 수 있습니다:

- 주의력 증가
- 의도성 증가
- 시야 확대
- 주요 주기에 맞춰 정렬
- 베스트 헬퍼(가장 유익한 영향을 주는 바이오마커)

6. 탐색 및 기록

- 바이오마커를 클릭하면 분석의 중심에 위치하여 사용자가 자체 인과 관계를 탐색할 수 있습니다.
- 히스토리 패널은 탐색 경로를 추적하여 사용자가 이전 바이오마커로 돌아갈 수 있도록 합니다.
- 사용자는 원래의 바이오마커로 돌아가거나 관련 바이오마커를 더 자세히 탐색할 수 있습니다.

분석에 인과 관계 체인 사용

1단계: 근본 원인 파악하기

- 우선순위 목록에 표시되는 바이오마커부터 시작합니다.
- 인과 관계를 열어 어떤 바이오마커가 영향을 미치는지 확인합니다.

2단계: 최적의 도우미 찾기

- 베스트 헬퍼 필터를 사용하여 중심 바이오마커에 긍정적인 영향을 줄 수 있는 바이오마커를 식별합니다.
- 녹색 연결은 가장 강력한 유익한 관계를 나타내므로 녹색 연결을 찾아보세요.
- 파란색 연결은 이 바이오마커의 도움을 받고 이 바이오마커로부터 에너지를 얻는 다른 요소를 나타내므로 현재 상태를 설명할 수 있는 인과 관계를 드러낼 수 있습니다.

3단계: 사용자 지정 우선순위 목록 만들기

- 바이오마커를 클릭하고 우선순위 목록에 추가합니다.
- 계속해서 관련 바이오마커를 탐색하고 관련 바이오마커를 목록에 추가합니다.
- 이렇게 하면 조화 프로세스가 증상뿐만 아니라 근본적인 원인까지 다룰 수 있습니다.

4단계: 결과 적용

- 하모닉 부스트 기능을 사용하여 선택한 주파수를 재생합니다.
- 해당되는 경우 TCM 경혈, 장기, 경락 또는 원자를 조화 프로세스에 통합합니다.
- 각 바이오마커 위에 선택한 프로토콜을 추가하여 하모닉 부스트를 개선하세요.
- 여러 세션에 걸쳐 진행 상황을 모니터링하여 개선 사항을 추적합니다.

사용 사례 예시

시나리오: 폐 불균형 문제 해결

1. 우선순위 목록에서 폐를 선택합니다.
2. 인과 관계를 열어 관련 바이오마커를 확인합니다.
3. 장기와 같은 최적의 도우미를 식별합니다: 위, 간 - 경락: 신장, 방광 - 원자: 탄탈륨, 오스뮴 - 드라이브: 신뢰 부족, 과민성
4. 우선순위 목록에 가장 관련성이 높은 바이오마커를 추가합니다.
5. 조화 주파수(하모닉 부스트)와 프로그램(개인 가이드)을 재생하고 시간 경과에 따른 진행 상황을 추적하세요.

인과 관계 체인의 이점

- 전체적인 분석: 서로 다른 바이오마커 간의 상호 연관성에 대한 전체 보기를 제공합니다.
- 개인화된 접근 방식: 개인의 고유한 에너지 상태에 맞게 조화를 조정하고 특정 불만 증상에서 시작하여 관련 인과 관계 항목을 찾을 수 있습니다.
- 더 깊은 인사이트: 실무자와 사용자가 불균형의 근본적인 원인을 이해할 수 있도록 도와줍니다.
- 효율적인 우선순위 지정: 가장 영향력 있는 바이오마커에 집중하여 더 빠른 결과를 얻을 수 있습니다.

인과 관계 체인은 더 심층적인 수준에서 불균형을 분석하고 해결하는 능력을 향상시키는 BioCoherence의 강력한 도구입니다. 바이오마커 간의 관계를 매핑하고 최적의 도우미를 식별함으로써 사용자는 특정 요구 사항에 맞는 매우 효과적인 하모닉 부스트 및 개인 가이드 프로그램을 만들 수 있습니다.

9.6. 거짓말 탐지기

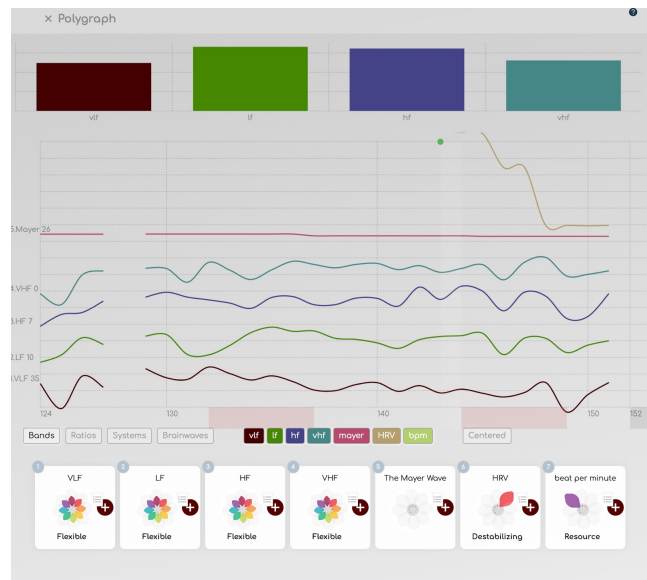
이 화면은 주로 학술적인 바이오마커를 사용합니다.

예를 들어 VHF, HF, LF 및 VHF 비율과 최대 7개의 중요한 곡선의 선형 그래프를 한 눈에 볼 수 있는 편리한 방법을 제공합니다.

이 기능은 녹화 중에도 모든 화면에서 실시간으로 사용할 수 있습니다(녹화 중 화면 전환만 하면 됩니다). 이 모든 마커는 심전도에 대한 학술 연구에서 나온 것입니다. 원하는 밴드를 최대 7개까지 병렬로 또는 같은 선의 중앙에 표시할 수 있습니다.

- **밴드 모드**에서 7개의 라인은 다음과 같습니다: Bpm, HRV, 메이어파, VHF, HF, LF 및 VLF입니다.
- **비율 모드**에서는 7개의 라인이 있습니다: SDNN(총 전력), SI(스트레스 지수), IC(집중도 지수), LF/HF(전력, 바고-동조성 상호 작용), LF/VLF(휴식), VLF/HF(스트레스) 및 VLF HF(글로벌 활동).
- **시스템 모드**에서: CNS, 정형외과, 심박, 장애인, IRSA, 면역, HRV.
- **뇌파에서**: 델타, 세타, 알파, 베타, 베타1, 베타2, 감마.

그래프 아래의 카테고리를 클릭하면 해당 항목이 표시되고, 색상이 지정된 범례를 클릭하면 해당 항목을 표시하거나 숨길 수 있습니다. 중앙을 클릭하면 모두 동일한 기준선에 표시됩니다. 그래프 아래의 꽃을 클릭하면 전체 바이오마커 세부 정보를 볼 수 있습니다.



이 그래프로 연구를 진행하면 새로운 인사이트나 새로운 바이오마커의 기초가 될 수 있습니다. 또한, 바이오마커 다이내믹스 화면의 타임라인과 이벤트를 통해 모든 바이오마커를 분석할 수 있다는 점을 기억하세요.

10. 이해 : 에너지

에너지 화면에는 생체 시계, 차크라, 충동, 원자, 영향, 아유르베다, 미생물에 대한 그래픽이 있습니다...

10.1. 모멘텀

제한 조건, 밸런스 및 움직임

이 섹션에서는 에너지 관리의 맥락에서 모멘텀에 대해 살펴봅니다. 이 기능에 액세스하려면 '에너지' 메뉴로 이동하여 '모션'을 클릭하세요. 여기에서 제약, 균형, 움직임의 세 가지 주요 카테고리별로 분류된 약 20개의 사용 가능한 모멘텀을 확인할 수 있습니다.

모멘텀의 원리

우리 몸은 끊임없이 움직이고 있으며, 움직임은 곧 생명입니다. 하지만 우리 몸은 무수히 많은 요소로 구성되어 있으며, 그 중 일부는 우리 자신의 일부이고, 일부는 외부의 제약이며, 일부는 일반적인 관심사에 반하는 것입니다. 우리는 이러한 충동을 속도를 늦추는 충동, 균형을 잡는 충동, 그리고 우리를 움직이는 충동의 세 가지 범주로 구분했습니다.

1. 제약

제약은 움직임에 제동을 거는 요소입니다. 여기에는 다음이 포함됩니다:

- 지리적 스트레스(그래프에서 아무 요소나 클릭하면 자세한 내용을 볼 수 있습니다).
- 지오파스 방사선.
- 지오파스 물: 지하 전류를 유도하는 수맥, 단층 등입니다.
- 유해한 에너지.
- 중금속.
- 병원균.
- 미아스마.
- 독소.

2. 균형

균형 섹션에서는 안정성을 유지하는 데 도움이 되는 측면을 다룹니다. 여기에는 다음이 포함됩니다:

- 정서적 균형.
- 에너지 균형.
- 수면의 질.
- 지형(전반적인 신체 균형).
- 수직 균형.

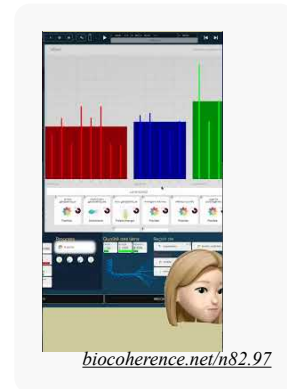
3. 움직임

움직임에는 역동성을 부여하는 요소가 포함됩니다. 주요 요소는 다음과 같습니다:

- 몸.
- 활력.
- 혈압.
- 체액.

일반적인 움직임을 관찰하고 녹화의 여러 단계와 섹션에 따라 비교할 수도 있습니다.

주목해야 할 흥미로운 점은 이러한 요소 간의 관계입니다. 예를 들어, 신체는 정서적 균형과 연결되어 있고 혈압은 여러 위치로 정보를 수신하고 전송하여 분석의 전반적인 품질에 대한 귀중한 통찰력을 제공 할 수 있습니다



이 정보를 결합하면 에너지와 추진력의 다양한 측면을 더 잘 이해하고 관리할 수 있습니다.

10.2. 원자

원소 주기율표

원소 페이지에서 원소 주기율표에 액세스하여 다양한 원자에 대한 정보를 얻을 수 있습니다. 이 표에서 원자를 클릭하면 다른 원자와의 결합, 즉 공통 공명을 확인할 수 있습니다. 이 정보는 화면 하단에서도 볼 수 있지만 표에서 직접 보는 것이 더 직관적입니다.

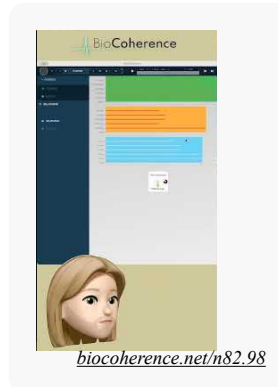
현재 이 애플리케이션은 각 원자에 대한 공명에 대한 일반적인 평가만 제공합니다. 향후 버전에서는 서로 다른 원자 간의 결합을 기반으로 전체 분자에 대한 공명을 재구성할 수 있습니다. 이 기능은 특정 원소의 과잉 또는 결핍을 확인하거나 제품 또는 치료법을 적용한 후 원소가 안정화되는지 여부를 비교할 수 있는 여러 부분의 기록을 통해 확인하려는 검진의 일부로 특히 유용할 수 있습니다.

10.3. आयुर्वेदा 에너지 평가

도샤 및 하위 도샤

आयुर्वेदा는 중국 전통 의학과는 다른 전통 의학 체계이지만, 12개의 경락을 15개의 하위 도샤로 구성하는 등 몇 가지 유사점이 있습니다. 이러한 하위 도샤는 세 가지 주요 영향력으로 분류됩니다: 카파, 피타, 바타입니다.

이러한 영향은 일반적인 방식으로 인식할 수 있으며, 이러한 영향을 설명하기 위해 일반적인 꽃 모양의 시각적 표현을 표시할 수 있습니다. 하위 도샤라고 하는 개별 요소를 표시할 수도 있습니다. 하위 도샤 중 하나를 클릭하면 해당 도샤가 속한 그룹을 볼 수 있습니다. 예를 들어, 하나의 하위 도샤는 피부와 팔다리 그룹 피부에 해당할 수 있습니다. 또 다른 하위 도샤는 다른 그룹에 해당할 수 있습니다.



आयुर्वेदा에 따른 3가지 도샤

1. Vata

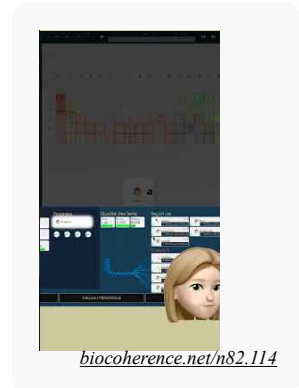
- **설명:** 공기 및 에테르와 관련된 바타는 혈액 순환, 호흡 및 신경 자극을 포함한 신체의 움직임을 관장합니다.

2. 피타

- **설명:** 불과 물로 구성된 피타는 소화, 신진대사, 에너지 생산을 조절합니다.

3. 카파

- **설명:** 흙과 물로 구성된 카파는 신체 구조, 안정성 및 관절 순환을 담당합니다.



15가지 하위 도샤

바타의 하위 도샤

1. 프라나 바타
 - 기능: 호흡과 마음을 조절합니다.
2. 우다나 바타
 - 기능: 말과 표정을 제어합니다.
3. 사마나 바타
 - 기능: 음식의 소화와 동화를 조절합니다.
4. 비아나 바타
 - 기능: 체액의 순환과 이동을 감독합니다.
5. 아파나 바타
 - 기능: 노폐물 제거를 조절합니다.

피타 하위 도샤

6. 파차카 피타
 - 기능: 위와 장에서 음식물 소화를 조절합니다.
7. 란자카 피타
 - 기능: 혈액 형성을 담당합니다.
8. 사다카 피타
 - 기능: 감정과 정신 기능에 영향을 미칩니다.
9. 알로카카 피타
 - 기능: 시력과 시각적 지각에 영향을 줍니다.
10. 브라자카 피타
 - 기능: 피부 건강을 조절합니다.

카파 하위 도샤

11. 클레다카 카파
 - 기능: 위벽을 보호합니다. 위벽을 윤활하고 보호합니다.
12. 아발람바카 카파
 - 기능: 심장과 폐를 지원합니다.
13. 보다카 카파
 - 기능: 입과 타액 기능을 조절합니다.
14. 타파카 카파
 - 기능: 뇌와 신경계에 윤활유를 공급합니다.
15. 슐레샤카 카파
 - 기능: 관절에 윤활유를 공급합니다.

이 도샤와 하위 도샤는 몸과 마음의 균형과 건강을 유지하기 위해 함께 작용합니다.

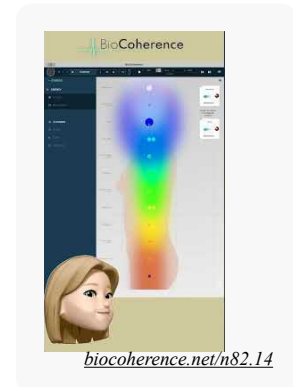
10.4. 차크라 시각화

이 장에서는 차크라 섹션부터 시작하여 에너지 탭에 대해 살펴봅니다. 이 섹션에서는 차크라 정보를 자세히 보고 상호작용할 수 있습니다.

시작하려면 전용 버튼을 클릭하여 차크라를 표시하도록 선택할 수 있습니다. 화면 하단의 작은 '12' 버튼을 클릭하면 7개 또는 12개의 차크라를 표시할 수 있습니다.

차크라가 표시되면 특정 차크라를 클릭하여 선택할 수 있습니다. 이 작업을 수행하면 에너지 링크 및 관련 경혈을 포함하여 해당 차크라에 관한 모든 정보에 액세스할 수 있습니다. 침술 포인트는 차크라의 입구와 출구 지점을 나타내며 에너지 레벨에 따라 다양한 크기로 화면에 나타납니다.

또한 차크라 기운도 표시되며, 선택한 차크라의 일반적인 에너지에 따라 그 표현이 달라집니다. 이러한 방식으로 각 차크라의 에너지 상태를 정확하게 시각적으로 표현할 수 있습니다.



10.5. 영향력

5가지 원소: 나무, 불, 흙, 금속, 물

또 다른 중요한 에너지 개념은 영향력입니다. "영향"이라고 하는 이 화면은 한의학(TCM)에서 평가한 다섯 가지 요소 간의 관계를 시각화합니다. 이러한 관계는 창조, 파괴, 모욕 또는 과열의 관계가 될 수 있습니다.

예를 들어 나무는 금속에 압력을 가하여 영향을 미칠 수 있고, 물은 불을 무겁게 할 수 있습니다. 반면에 나무는 불을 만드는 데 도움이 됩니다. 이러한 관계는 한의학 규칙과 경락 평가에 따라 추론됩니다.

전통 중국 의학(TCM)의 5가지 요소는 다음과 같습니다:

1. 나무: 간 및 담낭과 관련이 있습니다.
2. 불: 심장 및 소장과 관련이 있습니다.
3. 흙: 비장 및 위장과 관련이 있습니다.
4. 금속: 폐 및 대장과 관련이 있습니다.
5. 물: 신장 및 방광과 관련이 있습니다.

이러한 요소 간의 주요 관계는 다음과 같습니다:

- **생성 주기(성):** 나무 > 불 > 흙 > 금속 > 물 > 나무.
- **제어 주기(Ke):** 나무 > 흙 > 물 > 불 > 금속 > 나무.

이러한 주기는 신체의 균형과 조화를 보장합니다.



11. 이해 : 본문

그룹에 연결된 이메일에서 탐색 및 평가 방법 사용

신체 화면에는 3가지 주요 분석 유형이 있습니다: 한의학 경락, 관련 한의학 레시피가 있는 경혈, 그리고 장기입니다.

11.1. 한의학 경락

14개 또는 20개의 경락, 링크 및 관련 증상

애플리케이션의 '신체' 섹션에서는 경락, 경혈, 장기의 세 가지 주요 정보를 제공합니다. 이 장에서는 경락을 탐색하고 평가하는 데 중점을 둡니다.

1. 경락 표시:

- 이 애플리케이션에서는 14개 또는 20개의 경락 중에서 선택할 수 있습니다.
- 20경락 모드에서는 표준 경락 외에 특별 경락이 표시됩니다.
- 14경락 모드에서는 총재경락과 수태경락의 두 가지 경락 외에 기본 12경락이 표시됩니다.

2. 탐색 및 시각화:

- 화면 상단을 클릭하면 경락의 경로와 주요 특징을 표시할 수 있습니다.
- 꽃 아이콘을 클릭하면 추가 정보가 표시됩니다.
- 클릭하여 경락 사이를 탐색하고 경락 사이의 연결을 시각화할 수 있습니다.
- 세션의 다른 부분에서 경락의 진화를 따라갈 수 있습니다.
- 휴대폰에서 탐색하려면 왼쪽 또는 상단의 메뉴를 사용하세요.

3. 경락 평가:

- 경락 목록을 클릭하면 해당 경락의 평가가 표시됩니다.
- 하위 메뉴에서는 에너지, 엔트로피, 일관성의 세 가지 기준을 제공합니다.
- 이러한 기준의 논리는 모든 핵심 페이지에 적용됩니다.

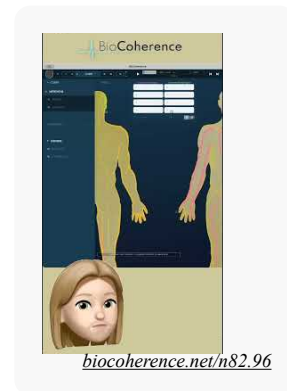
4. 평가 기준

- 에너지**
 - 가장 에너지가 높은 경락과 가장 에너지가 낮은 경락의 두 열로 표시됩니다.
 - 클릭당 경락을 더 많이 또는 더 적게 표시할 수 있습니다.
 - 현재 에너지 상태와 한의학(TCM) 증상에 따른 추가 정보.
 - 더 정확한 세부 정보를 보려면 다른 경락과 정보를 상호 참조하세요.
- 엔트로피**
 - 가장 동요가 심하고 정적인 경락을 표시합니다.
 - 각 상태와 관련된 가능한 증상을 제공합니다.
- 일관성**
 - 함께 공명하는 경락을 표시합니다.
 - 일관성이 있는 경락은 동일한 리듬으로 공명하는 시스템을 형성합니다.

5. 정보 사용:

- 에너지 엔트로피 일관성 로직은 평가의 주요 요소를 분류하는 데 사용됩니다.
- 이러한 요소는 평가 대상자의 기능을 이해하는 데 도움이 됩니다.

이 지침에 따라 애플리케이션을 효율적으로 탐색하고 평가 기준을 사용하여 경락, 에너지 상태, 엔트로피 및 일관성에 대한 자세한 정보를 얻을 수 있습니다.



한의학에서 경락에 대해

전통 중국 의학(TCM)에서 경락은 기(생명 에너지)가 흐르는 에너지 통로입니다. 경락에는 12개의 주요 경락과 2개의 조절 경락을 포함한 8개의 특별 경락이 있습니다. 이에 대한 설명은 다음과 같습니다:

12개의 주요 경락 :

1. 폐 (LU): 호흡과 면역 체계를 조절합니다.
2. 대장(LI): 고형 폐기물을 제거하고 장 기능을 조절합니다.
3. 위(ST): 음식을 소화하고 영양분을 흡수합니다.
4. 비장/췌장(SP): 영양소의 변환 및 운반, 에너지 지원.
5. 심장(HT): 혈액과 혈관을 관리하고 정신을 통제합니다.
6. 소장(SI): 순수 물질과 불순물 분리, 영양소 흡수.
7. 방광 (BL): 액체 폐기물을 제거하고 체액을 조절합니다.
8. 신장 (KI): 중요한 에센스를 저장하고, 수분을 조절하며, 뼈와 귀를 조절합니다.
9. 심장의 달인 (PC): 심장을 보호하고 감정과 혈액 순환을 조절합니다.
10. 트리플 워머(TE 또는 SJ): 세 개의 워머(위, 중간, 아래)를 조절하여 에너지와 액체의 순환을 제어합니다.
11. 담낭(GB): 담즙을 저장하고 배설하며 의사 결정을 돕습니다.
12. 간(LV): 혈액을 저장하고 기의 흐름을 조절하며 힘줄과 근육을 지원합니다.

8개의 특별한 경락 :

1. 임신 혈관 (렌 마이): 음 경락을 조절하고 생식을 조절합니다.
2. 주지사 선박 (두 마이): 양 경락을 조절하고 중추 신경계를 제어합니다.
3. 관통 혈관 (총 마이): 혈액과 주요 경락 에너지를 조절합니다.
4. 벨트 혈관 (다이 마이): 수직 경락을 둘러싸고 성기와 복부를 조절합니다.
5. 음 점합 혈관 (음 차오 마이): 음양의 균형을 조절하고 수면과 각성을 조절합니다.
6. 양 정선 혈관 (양 차오 마이): 음양 균형을 조절하고 사지 움직임에 영향을 미칩니다.
7. 음연결 혈관(음위 마이): 음 경락을 조절하고 감정에 영향을 줍니다.
8. 양 링크 혈관 (양 웨이 마이): 양 경락을 조절하고 신체 방어에 영향을 미칩니다.

2 경락 조절 :

1. 임신 혈관 (렌 마이): 이미 특별한 경락 중에서 언급했습니다.
2. 주지사 혈관 (두 마이): 이미 특별한 경락 중에서 언급했습니다.

이 경락은 에너지 균형과 전반적인 신체 건강을 유지하기 위해 함께 작용합니다.

11.2. 기관 지도

10가지 이상의 상세한 장기 차트 및 링크

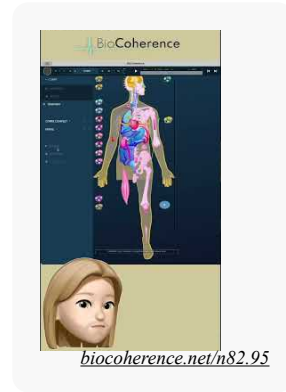
이 섹션에서는 신체 평가 애플리케이션에서 장기의 기능을 살펴봅니다. 장기 카테고리에 액세스하면 먼저 전신 시각화가 표시됩니다. 특정 장기를 클릭하여 신체의 다른 부분과의 관계를 확인하여 일반 평가에 들어갈 수 있습니다. 예를 들어 강조 표시된 장기는 관심 있는 장기입니다. 심장을 클릭하면 다양한 장기와의 관계를 볼 수 있으며, 이러한 관계는 지도에서도 볼 수 있습니다.

호흡기와 같은 특정 시스템을 클릭하면 신경전달물질, 혀, 입 및 다양한 조직과의 연결을 포함하여 쉽게 탐색할 수 있습니다. 입을 클릭하면 소화계를 확대하여 입과 소화계의 다른 측면 간의 관계를 표시하도록 지도를 수정할 수 있습니다.

뇌 지도와 같은 다른 지도를 선택할 수도 있습니다. 이 지도는 뇌의 여러 부위를 목록 형식으로 전체 평가와 함께 보여줍니다. 특정 부위를 찾으려는 경우 지도에 해당 부위가 표시됩니다. 예를 들어, 해마를 클릭하면 해마의 위치와 해마가 신호를 주고받는 색을 볼 수 있습니다. 세로토닌이나 프로락틴과 같은 각 요소를 탐색하여 다른 호르몬과의 연결 또는 연결 부족을 확인할 수 있습니다.

장기 섹션에서는 사용하는 화면에 따라 달라지는 에너지, 엔트로피 및 일관성을 볼 수 있는 옵션도 제공합니다. 전신 화면에서는 이러한 매개변수가 가장 관련성이 높다고 판단되는 요소에 대해 표시되어 에너지 자원 또는 동요 수준을 나타냅니다. 예를 들어 치아나 척추를 검사하여 가장 에너지가 많거나 동요가 심한 부위를 파악할 수 있어 전체 검진에 유용한 정보를 제공합니다.

마지막으로, 관련 항목을 확인할 때마다 전용 아이콘을 클릭하여 우선순위 목록에 추가할 수 있습니다. 이렇게 하면 추후 조정을 위한 밸런싱 선택 항목에 포함될 수 있습니다.



11.3. 침술 포인트

350개 이상의 침술 포인트와 수백 가지의 한의학 레시피의 관련성을 평가하세요

경혈 및 경락 탐색

소프트웨어에서 신체를 탐색할 때 경락, 경혈 및 장기에 액세스할 수 있습니다. 특정 경락을 클릭하면 전체 경락이 아닌 각 경락의 경혈에 대한 세부 정보를 표시하도록 디스플레이가 변경됩니다. 이 기능을 사용하면 각 경혈을 정확하게 평가할 수 있습니다.

포인트 선택 및 정보

각 포인트를 클릭하면 해당 포인트에 대한 자세한 정보를 얻을 수 있습니다. 경락을 선택하고 각 경락의 상태를 볼 수도 있습니다. 자오선을 전환하면 지도에서 다양한 포인트와 해당 위치를 볼 수 있어 효율적인 탐색에 특히 유용합니다.

경락 탐색 및 추적

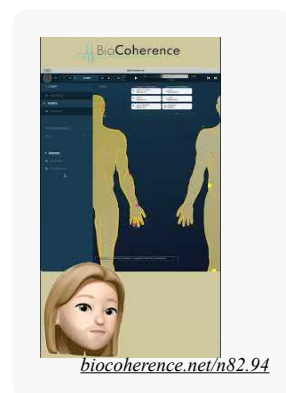
화면 상단의 선택기에서 경락 제목을 클릭하면 경락을 탐색할 수 있습니다. 세션이 진행되는 동안 포인트의 변화를 볼 수도 있습니다. 이 기능은 시간에 따른 특정 포인트의 변화를 추적하는데 매우 유용합니다.

경락별 정보

경락을 선택하면 경락 탭에서 제공되는 정보와는 다른 정보에 액세스할 수 있습니다. 여기에는 한의학에서 필수적인 대사혈, 분산, 분출, 강과 같은 8개의 주요 경혈이 있습니다. 경락의 전원 공급 및 연결에 대한 정보도 확인할 수 있습니다.

지도에 경혈 표시하기

경혈을 클릭하면 지도에 정확한 위치가 표시됩니다. 왼쪽 메뉴에서는 에너지, 엔트로피, 일관성 등의 옵션을 제공합니다. 에너지를 선택하면 가장 에너지가 높은 포인트와 가장 에너지가 낮은 포인트가 각각 보라색과 노란색으로 표시됩니다.



TCM 레시피 로직

이 애플리케이션은 여러 경혈을 조합하여 증상을 교정하는 TCM 레시피 로직을 사용합니다. 예를 들어, 특정 혈자리가 서로 공명하면서 너무 약하거나 강하면 불균형을 나타낼 수 있습니다. 수천 년에 걸쳐 개발된 한의학 레시피는 위산 역류와 같은 특정 증상을 치료하는 데 적용됩니다. 이 애플리케이션에서는 반전된 논리를 적용했습니다. 특정 혈자리가 서로 공명하고 에너지 레벨이 너무 낮거나 높으면 귀중한 인사이트를 제공할 수 있다고 가정했습니다. 예를 들어, 에너지가 매우 높거나 에너지가 매우 낮은 혈자리 또는 너무 동요하거나 너무 정적인 혈자리는 위산 역류나 발열과 같은 상태를 치료하는 데 일반적으로 사용되는 일관된 시스템의 불균형을 나타낼 수 있습니다. 개인의 특정 혈자리 세 곳이 매우 정적인 경우를 예로 들어보겠습니다. 이는 해당 혈자리와 관련된 레시피나 치료법이 그 사람에게 필요하다는 것을 나타낼 수 있습니다. 이 접근 방식은 진단을 위한 추가적인 아이디어를 제공할 수 있습니다.

레시피 적용하기

레시피는 침술로 적용하거나 밸런싱 단계에서 소리 또는 전기 주파수를 사용하여 적용할 수 있습니다. 경혈이 함께 공명하는 일관된 시스템은 특히 정확한 진단에 적합합니다. 경혈의 동기화는 분석 대상자에 대한 한의학 치료의 관련성이 높아진다는 것을 의미합니다.

결론

이 장에서는 정확한 진단과 효과적인 치료를 위해 정보를 탐색, 선택 및 해석하는 방법을 설명하면서 한의학 소프트웨어에서 경혈과 경락을 사용하는 방법에 대해 자세히 설명했습니다.

12. 이해합니다: 마음

마음, 정신, 그림자

이 화면은 분석의 정신적, 영적, 무의식적 부분에 전념합니다. 여기에는 성격, 음악적 조화, 감정, 정렬, 상처 및 동기가 포함됩니다.

12.1. 정렬

엘피 웨이브 관리의 정렬과 일관성

정렬은 특히 엘피 파동을 다룰 때 마음의 필수 요소입니다. 정렬은 이러한 파동의 다양한 척도로 나타나며, 시각화 도구를 사용하면 쉽게 이해할 수 있습니다. 예를 들어, 심장 일관성을 시각적으로 표현하여 개인의 에너지 상태에 대한 관점을 제공할 수 있습니다.

인터페이스의 하단에 있는 3개의 슬라이더를 통해 매개변수를 시각화할 수 있으며, 상단에는 파일 나선의 시각화가 표시됩니다. 값 205, 206, 214로 표시된 엘피 파동 스케일은 현재 스케일 수준을 나타냅니다. 214 엘피와 같은 특정 값에 대한 자세한 정보를 보려면 클릭하면 해당 값의 특징과 의미에 대한 자세한 내용을 볼 수 있습니다.

각 척도는 특정 파장에서 주목할 만한 값을 나타내며, 에너지 상호작용에 대한 중요한 정보를 제공합니다. 이러한 척도를 관찰함으로써 다른 척도 수준과의 연결 정도를 파악할 수 있습니다. 예를 들어, 분석 결과 개인이 거시적 규모보다 미시적 규모에서 더 많은 에너지를 받고 있으며, 이는 작은 구조에 더 집중된 에너지를 나타낸다는 것을 알 수 있습니다.

나선형 시각화를 사용하면 다양한 스케일을 통해 에너지 경로를 따라갈 수 있습니다. 나선형을 따라 내려가며 각 레벨의 값을 관찰하면 시간이 지남에 따라 에너지가 어떻게 진화하는지 이해할 수 있습니다. 이는 특히 다양한 규모의 진화를 연구할 수 있는 확장 기록에서 유용합니다.

이 분석의 중요한 측면은 표적 일관성, 특히 개인의 에너지가 엘피 값과 동기화되는 정도를 측정하는 심장 일관성입니다. 이 값은 모든 척도에서 에너지 전달에 가장 적합한 것으로 간주됩니다. 커서는 최적의 일관성을 달성하기 위해 이러한 매개변수를 조정하는 데 중요한 역할을 합니다.

결론적으로, 엘피파 파동 관리의 정렬과 일관성은 복잡하지만 다양한 규모의 에너지를 이해하기 위한 기본 개념입니다. 시각화 도구와 커서는 이러한 매개변수를 탐색하고 최적화하여 더 나은 에너지 관리 및 전송에 기여하는 데 귀중한 지원을 제공합니다.

자세한 정보는 <https://elfie.link> 또는 소프트웨어의 'Elfie' 메뉴에서 확인하세요.



12.2. 뇌파

일반적인 뇌파 활동 분석

이 섹션에서는 뇌파와 관련된 '멘탈' 인터페이스의 마지막 탭을 살펴보겠습니다. 이 기능은 아직 실험 단계에 있습니다. 뇌파에서 뇌파를 읽을 수 있다고 대담하게 말하자면, 다양한 뇌파에 해당하는 뇌파의 분석 스펙트럼을 조사하고 시간에 따른 변화를 관찰할 수 있습니다. 결국, 저희 기기는 전신의 전기 활동을 측정하지만 뇌파는 심전도보다 100배 낮은 수준이기 때문에 아직 실험적인 알고리즘입니다.

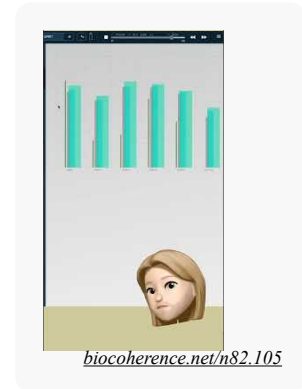
뇌파 디스플레이는 동적입니다. 재생 모드에서는 다중 밴드 디스플레이가 표시됩니다. 이 디스플레이의 논리는 밴드가 넓을수록 더 긴 시간을 나타낸다는 것입니다. 반대로 밴드가 얇을수록 더 짧은 기간을 나타냅니다.

다음은 다양한 밴드에 대한 설명입니다:

- 가장 짧은 밴드는 비트 또는 몇 박자 수준에서 측정되는 매우 짧은 측정값에 해당합니다.
- 밴드가 넓어질수록 점점 더 긴 시간을 나타냅니다.

단기 요소는 매우 빠르게 움직이는 반면 장기 요소는 더 느린 변화를 보인다는 점에 유의해야 합니다.

밴드를 클릭하면 화면 하단에 내가 아는 꽃을 표현한 평가가 표시됩니다. 이 평가를 사용해 우선순위 목록에 바로 항목을 추가할 수 있으므로 뇌파를 더 쉽게 추적하고 분석할 수 있습니다.



자세히 알아보기

뇌파는 여러 범주로 나뉘며, 각 범주는 각기 다른 정신 상태 및 각성 수준과 관련이 있습니다:

1. **델타파(0.54Hz):** 깊은 수면 및 재생과 관련이 있습니다.
2. **세타파(48Hz):** 깊은 이완, 명상 및 얇은 수면 단계와 관련이 있습니다.
3. **알파파(8-12Hz):** 차분한 이완 상태 및 깨어 있는 명상 상태와 관련이 있습니다.
4. **베타파(12-30Hz):** 집중력, 경계 및 인지 활동과 관련이 있습니다.
5. **감마파(30-100Hz):** 학습 및 기억과 같은 고도의 인지 과정과 관련이 있습니다.

이 파동은 개인의 활동과 정신 상태에 따라 변동합니다.

12.3. 드라이브

51개의 감정, 느낌, 행동을 3개의 메인 그룹과 각각 3개의 하위 그룹으로 나누어 직접 대면합니다.

마음과 무의식의 엔진에 대한 이해

마음과 무의식 스캔의 마지막 요소는 모터에 관한 것입니다. 원동력은 약 60가지 감정으로 구성되며, 건설적이거나 파괴적일 수 있습니다. 이러한 감정은 **내적 자아**, **외적 자아**, 기타의 세 가지 범주로 분류됩니다.

1. 감정의 범주 :

- **내적 자아:** 내면의 세계와 관련된 모든 감정을 포함합니다.
- **외적 자아:** 외부 세계와 관련된 모든 감정을 포함합니다.
- **기타:** 타인과의 상호작용과 관련된 모든 감정을 포함합니다.

2. 감정의 구조:

- 감정의 각 범주는 감정, 느낌, 행동의 세 가지 세분으로 나뉩니다.
- **감정:** 모든 인식의 기초가 되는 것으로, 느낌을 생성합니다.
- **느낌:** 감정에서 비롯되어 행동으로 이어집니다.
- **행동:** 감정-느낌 프로세스의 최종 결과.



3. 수평적 조직:

- 감정은 또한 수평적으로 분류됩니다. 맨 위에는 건설적인 감정이, 맨 아래에는 파괴적인 감정이 있습니다.
- 예를 들어, 우울증은 놓아주는 것에, 건강 불안은 명상 상태에, 비탄은 즐거움에, 자기 방해는 만족에 반대되는 개념입니다.

4. 상호 연결:

- 감정은 서로 다른 곳에서 서로 연결될 수 있습니다. 예를 들어, 평온함은 강박적인 집착의 반대편에 있고, 반성은 가혹함의 반대편에 있습니다.
- 이러한 상호 연결은 명상과 자기 이해에 중요한 정보를 제공합니다.

5. 사용자 지정:

- 특정 감정을 선택하여 작업할 수 있습니다. 예를 들어, 조직이 에너지가 낮은 상태라면 이를 강화하기로 결정할 수 있습니다.
- 에너지가 높은 결과와 같은 특정 항목을 개인 작업 목록에 추가할 수 있습니다.

요컨대, 이러한 감정적 동인을 이해하고 정리하면 감정과 행동을 더 잘 관리할 수 있어 보다 균형 잡히고 의식적인 개인 개발을 촉진할 수 있습니다.

자세히 알아보기

감정과 느낌은 외부 및 내부 자극에 대한 내면의 반응입니다.

- 내적 자아는 자기 인식, 개인적인 생각과 감정을 포함합니다.
- 외적 자아는 우리가 타인에게 투영하는 이미지와 사회에서 보이는 행동과 관련이 있습니다.
- 또 다른 자아는 외부 세계가 우리에게 제시하는 모든 것에 반응하는 방식과 관련이 있습니다.

다른 사람과의 상호작용은 감정적 교류와 사회적 피드백을 통해 이 두 가지 차원에 영향을 미칩니다. 기쁨, 슬픔, 분노, 두려움과 같은 감정은 우리의 경험과 행동을 형성하고, 이는 다시 우리 자신과 타인에 대한 인식에 영향을 미칩니다. 이러한 역학을 더 잘 이해하면 감성 지능과 대인 관계를 개선할 수 있습니다.

다음은 각 감정에 대한 자세한 설명입니다:

1. **민첩성:** 민첩성: 변화에 빠르고 효과적으로 적응하는 능력.
2. **건강 불안:** 자신이나 타인의 건강에 대한 지나친 걱정.
3. **자비심:** 타인에 대한 친절과 동정심의 태도.
4. **비탄:** 상실 또는 실망 후 깊은 슬픔과 정서적 고통을 느끼는 감정.
5. **평온함:** 평온함과 내면의 평온함의 상태.
6. **카리스마:** 다른 사람을 끌어당기고, 매료시키고, 영향을 미치는 능력.
7. **집중력:** 특정 작업이나 목표에 주의를 집중하는 능력.
8. **자신감:** 자신이나 타인의 능력에 대한 확신과 안정감.
9. **배려:** 타인의 감정과 필요에 대한 배려와 존중.
10. **용기:** 두려움, 고통, 위험 또는 불확실성에 직면할 수 있는 능력.
11. **결단력:** 결단력과 결의를 가지고 선택하는 능력.
12. **우울증:** 장기간 지속되는 슬픔, 절망, 삶에 대한 흥미 상실 상태.
13. **의지력:** 장애물에도 불구하고 목표를 추구하려는 결단력.
14. **행복감:** 강렬한 행복감과 흥분 상태.
15. **표현력:** 자신을 명확하고 효과적으로 표현하는 능력.
16. **정서적 불안정성:** 과도하고 예측할 수 없는 감정의 변동성.
17. **공감:** 다른 사람의 감정을 이해하고 공유하는 능력.
18. **불규칙한 기분:** 빈번하고 예측할 수 없는 기분 변화.
19. **피로감:** 신체적, 감정적으로 극심한 피로감을 느끼는 경우.
20. **슬픔:** 보통 상실로 인한 극심한 정서적 고통.
21. **정직성:** 솔직하고 성실한 태도.
22. **희망:** 더 나은 미래에 대한 긍정적인 기대.
23. **절망:** 미래에 대한 희망과 자신감의 완전한 상실.
24. **과잉 감정:** 자극에 대한 과도한 감정적 반응.
25. **과민성:** 감정적 또는 감각적 자극에 대한 반응성 증가.
26. **일관성 없는 사고:** 논리적이고 구조화된 사고를 유지하는 데 어려움이 있습니다.
27. **슬픔의 부재:** 분리된 느낌과 감정적 무관심.
28. **자신감 부족:** 자신의 능력이나 타인의 능력에 대한 의심.
29. **학습 장애:** 지식이나 기술을 습득하는 능력에 영향을 미치는 장애.

30. **놓아주기**: 통제력을 포기하고 상황을 있는 그대로 받아들이는 능력.
31. **충성심**: 사람, 그룹 또는 대의에 대한 신실함과 헌신.
32. **명상 상태**: 깊은 이완과 고도의 인식 상태, 종종 명상을 통해 얻을 수 있습니다.
33. **기억력**: 정보를 유지하고 기억하는 능력.
34. **장기 기억**: 장기간에 걸쳐 정보를 저장하고 회상하는 능력.
35. **단기 기억**: 단기간 동안 정보를 유지하는 능력.
36. **강박증**: 반복적이고 통제할 수 없는 생각이나 행동.
37. **집착**: 특정 아이디어나 사람에 대한 과도하고 지속적인 집착.
38. **조직화**: 질서정연하고 효율적인 방식으로 자신의 활동을 구조화하는 능력.
39. **수행 능력**: 작업이나 활동을 성공적으로 완료하는 능력.
40. **즐거움**: 만족감과 만족감.
41. **미루기**: 중요한 작업을 미루는 경향.
42. **경직성**: 사고나 행동의 유연성 부족.
43. **무례함**: 타인에게 거칠거나 무신경한 행동.
44. **자기 파괴**: 고의적으로 자신의 성공을 저해하는 행동.
45. **공간 인식**: 주변 공간과 그 안에 포함된 사물에 대한 인식.
46. **정체**: 진전이나 발전이 없는 상태.
47. **놀라움**: 예상치 못한 사건에 대한 감정적 반응.
48. **성찰**: 주제나 상황에 대한 깊고 세심한 생각.
49. **수줍음**: 사회적 상호작용에 대한 주저함 또는 불안감.
50. **관용**: 타인의 차이를 받아들이고 존중하는 태도.
51. **의지력**: 어려움에도 불구하고 목표를 달성하려는 결단력.

12.4. 감정

슬픔, 안전, 사랑, 진실, 평화, 웰빙, 만족감

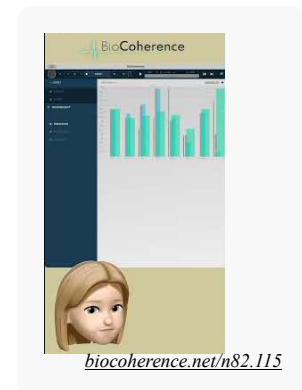
무의식에 대한 장은 감정, 상처, 동기의 세 가지 주요 영역으로 나뉩니다. 감정부터 시작하겠습니다.

이 페이지에서는 슬픔, 안전, 사랑, 진실, 평화, 웰빙, 만족 등 7가지 주요 감정을 평가할 수 있습니다. 감정의 변화를 추적할 수도 있습니다. 막대를 클릭하면 바이오마커를 꽃 모양으로 시각화하여 내부 역학 관계와 이러한 감정 사이의 연관성을 보여줄 수 있습니다. 여기서도 그래프는 다양한 기간에 대한 평가를 나타내며, 가장 넓은 막대는 가장 긴 기간의 평가이고 가장 짧은 막대는 가장 짧은 기간의 평가입니다.

이 분석은 기술적으로 매우 다르며, 드라이브의 분석과는 다른 데이터를 기반으로 합니다. 따라서 이를 비교하는 것은 흥미롭습니다.

이러한 주요 감정은 2차 고조파 분석과 일반적인 깊은 심장 리듬에 따라 달라집니다. 다음과 같이 설명할 수 있습니다:

1. **슬픔**: 상실, 실패 또는 실망으로 인한 괴로움이나 우울한 감정입니다. 종종 울음, 에너지 부족, 금단 증상으로 나타납니다.
2. **안전**: 보호받고 있다는 느낌과 위험이 없다는 느낌. 자신감과 평온함을 불러일으켜 신체적 또는 정서적 위협으로부터 안전하다고 느낄 수 있게 해줍니다.
3. **사랑**: 사람, 동물 또는 활동에 대한 애정과 애착의 깊은 감정. 부드러운 제스처, 긍정적인 생각, 친밀감에 대한 열망으로 이어집니다.
4. **진실**: 진실성과 진정성을 느끼는 감정입니다. 진실은 관계와 상황을 명확하고 투명하게 만들어 혼란과 속임수를 피할 수 있게 해줍니다.
5. **평화**: 평온하고 내면의 조화가 이루어진 상태. 평화는 갈등, 스트레스, 불안이 없을 때 나타나며, 휴식과 전반적인 웰빙을 촉진합니다.
6. **웰빙**: 건강, 편안함, 신체적, 정신적 만족감의 전반적인 느낌. 여기에는 건강, 정서적 균형, 개인적 성취감과 같은 측면이 포함됩니다.
7. **만족감**: 욕구, 필요 또는 목표의 성취로 인한 만족과 즐거움의 감정. 만족감은 성취감과 성취감을 가져다줍니다.



12.5. 초점

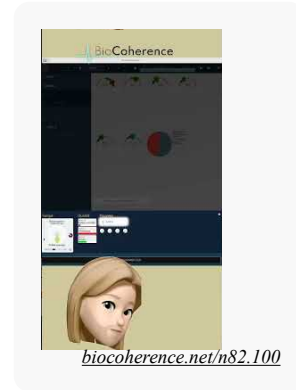
스트레스 지수, HRV...

이 섹션에서는 고급 심전도 분석에 중요한 다양한 정보를 제공하는 포커스 화면에 대해 살펴봅니다. 이 정보는 일반적으로 학술 및 연구 환경에서 사용되며 다양한 과학적 마커를 포함합니다.

1. 스트레스 지수: 이 지수는 러시아 연구원 베브스키가 개발했습니다. 특정 매개변수를 사용하여 신체 스트레스 수준을 측정합니다.
2. 적응 수준: 러시아에서 개발된 또 다른 지수로, 다양한 자극과 조건에 적응하는 신체의 능력을 평가합니다.
3. 총 전력, 변동 계수 및 심장 변동성: 이러한 마커는 심장학 분야에서 잘 알려져 있으며 심장 기능 및 스트레스 반응의 다양한 측면을 측정하는 데 사용됩니다.
4. 정신-정서적 스트레스: 이 지표는 심장 시스템에 대한 정서적, 심리적 영향을 평가합니다.

포커스 화면에서 제공하는 데이터를 커서로 표시하여 빠르게 시각화할 수 있습니다. 또는 메모, 꽃, 품질 등의 형태로 표시할 수 있어 보다 자세한 분석이 가능합니다.

포커스 화면에는 주의 집중도, 의도 및 수평선 제어에 대한 정보도 포함되어 있습니다. 이러한 지표는 사용자의 정신 및 감정 상태에 대한 추가 정보를 제공합니다.



이 화면의 흥미로운 측면은 건설(이화 작용)과 파괴(동화 작용)의 관계입니다. 이화 작용은 에너지 소비를 나타내며 동화 작용은 에너지 보존에 해당합니다. 이 비율은 동적이며 생명체의 일반적인 호흡을 반영하여 녹화 중에 달라질 수 있습니다. 우리는 시스템적 존재이며 파괴는 압축-확장, 파괴-재건, 분리-통일, 복잡화-단순화라는 일반적인 움직임의 일부라는 점을 명심하시기 바랍니다. 건강한 복합 유기체는 이러한 상태 사이에서 끊임없이 진동해야 합니다.

이러한 역동적인 변화는 건설과 파괴 사이의 비율의 진화를 나타내므로 이를 관찰하는 것이 중요합니다. 이 진화적 요소를 추가하면 생물학적 시스템의 호흡을 더 잘 이해할 수 있습니다.

마지막으로 포커스 화면에는 동화 작용과 이화 작용을 나타내는 두 개의 꽃이 표시되어 이러한 과정에 대한 시각적 정보를 제공합니다. 이러한 데이터는 섹션별로 또는 전체 기록에 대해 분석하여 사용자의 생리적 및 심리적 상태에 대한 전체 개요를 제공할 수 있습니다.

12.6. 음악

음악 분석 및 정렬

이 섹션에서는 마음, 정신, 무의식을 포함하는 마음 개념의 두 번째 부분을 살펴볼 것입니다. 주로 마음, 특히 음악과 정렬의 요소에 집중할 것입니다.

녹음 속의 음악

마음을 분석할 때는 먼저 녹음에 존재하는 음악적 요소를 파악하는 것부터 시작합니다. 목표는 관련된 음악적 대응을 찾는 것입니다. 모든 음악적 요소를 시각화하거나 재생하여 시간에 따른 변화를 관찰하는 두 가지 옵션이 있습니다.

얇은 막대는 단기적인 요소를 나타내고, 넓은 막대는 장기적인 요소를 나타냅니다. 또 다른 흥미로운 측정 항목은 녹음의 일반적인 음악적 조화 수준입니다. 약 백 비트가 지나면 특정 단기, 중기, 장기 및 매우 장기적인 음악 코드를 식별하기 시작할 수 있습니다.

이러한 화음은 2, 3 또는 4음으로 구성될 수 있으며 다양한 음계에 걸쳐 퍼져 있습니다. 이 정보가 항상 직접적으로 유용한 것은 아니지만, 가이드 명상을 재구성할 때 매우 중요한 역할을 합니다. 이를 통해 참가자의 현재 상태, 즉 녹음에 포함된 음악을 이해하고 음악적으로 어디로 이끌고 싶은지 결정할 수 있습니다.

음악적 정렬 및 조정

음악 조율에는 명상의 목적에 맞게 음계와 코드 유형을 조정하는 작업이 포함됩니다. 예를 들어, 현재 코드가 마이너 7화음인데 메이저 화음으로 넘어가고 싶다면 명상하는 동안 점진적으로 화음 전환이 이루어집니다. 마찬가지로, 현재 존재하지 않는 특정 주파수를 목표로 하는 경우, 목표 주파수를 향해 점차적으로 진화하는 음악을 만들 것입니다.

이 아이디어는 참가자를 현재의 음악적 상태로 데려가 신체에 존재하는 멜로디를 사용하여 더 깊은 명상 상태로 안내하는 것입니다. 이 접근 방식은 참가자의 음악적 언어를 직접 말함으로써 명상에 쉽게 진입할 수 있도록 합니다.

요컨대, 음악적 분석과 조율을 통해 가이드 명상을 개인별로 맞춤화할 수 있으므로 각 개인에게 더 쉽고 효과적인 경험을 제공할 수 있습니다.



12.7. 16가지 성격 유형

MBTI 또는 마이어스-브릭스 유형으로 알려진 용의 유형을 완전히 새로운 맵에서 확인하세요

용의 유형에 따른 성격 평가하기

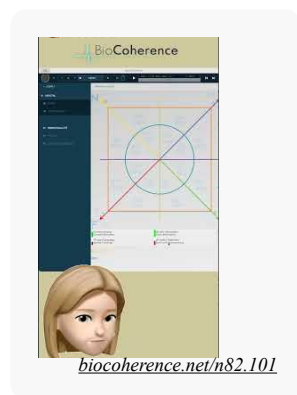
이 섹션에서는 '정신' 탭을 살펴보고 용의 유형에 따른 성격에 대한 전반적인 개요를 살펴봅니다. 성격은 네 가지 주요 축을 통해 분석됩니다.

성격 축

용의 유형은 네 가지 축을 사용하여 계산되며, 처음으로 논리적인 그래프에 배치했습니다:

1. **NS(감각/직관)**: 이 축은 사람이 정보를 처리하는 방식을 결정합니다.
2. **FT(생각/감정)**: 이 축은 마음이나 생각에 초점을 맞춰 정보를 처리하는 방식을 평가합니다.
3. **IE(내향성/외향성)**: 이 축은 에너지를 측정하여 사람이 외향적인지(외향성) 여부를 나타냅니다.
4. **JP(판단/지각)**: 이 축은 시간적 공간과 관련된 것으로, 단기 지향적인지 여부(자발성)를 나타냅니다.

각 축은 세그먼트로 나뉘어 있어 세부적인 평가가 가능합니다. 예를 들어, 외향성 축에서는 사람을 외향적인 사람 또는 내향적인 사람으로 평가할 수 있습니다.



정 유형 및 평가

ENTP, ENTJ, ESTJ, ESTP 등과 같은 정 유형은 이 네 가지 축의 위치에 따라 결정됩니다. 예를 들어, 평가 결과 ESTJ 유형이 우세한 것으로 드러날 수 있습니다.

성격 유형 역학

정적인 설문 평가와 달리 이 방법을 사용하면 개인의 무의식적이고 역동적인 반응을 관찰할 수 있습니다. 축 사이를 이동하면서 평가가 움직이는 것을 볼 수 있으며, 이는 성격 유형이 역동적임을 나타냅니다. 이는 개인이 상황에 따라 인접한 여러 유형 사이를 오갈 수 있음을 의미합니다.

용의 유형에 대한 이러한 비정적 접근 방식은 행동과 성격에 대한 이해에 흥미로운 관점을 열어줍니다.

성격 유형 자세히 알아보기

용의 성격 유형은 사고, 느낌, 감각, 직관이라는 네 가지 주요 심리적 기능과 외향성 및 내향성의 태도를 기반으로 합니다. 그 결과 8가지 성격 유형이 탄생했습니다:

1. **외향적 사고**: 논리적이고 객관적이며 사실 지향적입니다.
2. **내향적 사고**: 성찰적, 분석적, 독립적.
3. **외향적 느낌**: 사교적이고, 따뜻하며, 사회적 가치를 지향합니다.
4. **내향적 느낌**: 내성적이고 깊이가 있으며 자신의 가치관에 따라 행동합니다.
5. **외향적 감각**: 실용적, 현실적, 구체적 지향.
6. **내향적 감각**: 예술적이고 예민하며 주관적인 경험을 지향합니다.
7. **외향적 직관**: 혁신적이고, 기회주의적이며, 미래 지향적입니다.
8. **내향적 직관**: 비전적이고, 내성적이며, 통찰력 중심.

이러한 유형은 개인이 세상을 인식하고 의사 결정을 내리는 다양한 방식을 이해하는 데 도움이 됩니다.

다음은 16가지 마이어스-브릭스 유형 지표(MBTI) 성격 유형에 대한 간략한 설명입니다:

1. **ISTJ(검사자)** - 신뢰할 수 있고, 체계적이며, 현실적이고 실용적입니다.
2. **ISFJ(보호자)** - 헌신적이고 배려심이 많으며 충성심이 강하고 세밀합니다.
3. **INFJ(조언자)** - 이상주의적이고, 공감 능력이 뛰어나며, 지각력이 뛰어나고 영감을 줍니다.
4. **INTJ(건축가)** - 전략적이고 독립적이며 분석적이고 결단력이 강합니다.
5. **ISTP(장인)** - 실용적이고 관찰력이 뛰어나며 적응력이 뛰어나고 논리적입니다.
6. **ISFP(예술가)** - 예민하고 내성적이며 자발적이고 조화로운 성격.
7. **INFP(이상주의자)** - 창의적이고 열정적이며 이타적이고 내성적입니다.
8. **INTP(논리학)** - 혁신적이고 호기심이 많으며 객관적이고 독립적입니다.
9. **ESTP(기업가)** - 활기차고, 직접적이며, 실용적이고 사교적입니다.
10. **ESFP(인터프리터)** - 열정적이고, 자발적이며, 따뜻하고, 유쾌합니다.
11. **ENFP(영감형)** - 상상력이 풍부하고 사교적이며 활기차고 비전을 제시합니다.
12. **ENTP(혁신가)** - 독창적이고 활기차며 수완이 풍부하고 지적입니다.
13. **ESTJ(슈퍼바이저)** - 조직적이고 실용적이며 현실적이고 결단력이 있습니다.
14. **ESFJ(영사)** - 친절하고 성실하며 협조적이고 사교적입니다.
15. **ENFJ(교사)** - 카리스마 있고 이타적이며 공감 능력이 뛰어나고 동기를 부여합니다.
16. **ENTJ(사령관)** - 선견지명이 있고, 자기주장이 강하며, 전략적이고 효율적입니다.

이 간략한 설명은 각 MBTI 성격 유형에 대한 일반적인 개요를 제공합니다.

12.8. 5가지 상처

버림, 거절, 굴욕, 배신, 불의

인간의 무의식은 정신적 상처의 영향을 많이 받습니다. 이 중 거절, 포기, 배신, 굴욕, 불의 등 다섯 가지 주요 상처가 있습니다. 이 다섯 가지 상처는 8가지 상처의 초기 모델에서 파생된 것입니다. 이 다섯 가지 상처는 중국 전통 의학의 오행과 유사한 방식으로 상호 작용하여 상호 영향을 미치는 복잡한 네트워크를 형성합니다.

현재 우리 안에 어떤 상처가 활성화되어 있는지 이해하면 귀중한 통찰력을 얻을 수 있습니다. 거절, 배신 또는 불의가 서로 어떻게 영향을 주고받는지 관찰함으로써 우리는 우리의 정신 상태에 대한 역동적인 통찰력을 얻을 수 있습니다. 이러한 이해는 더 큰 자기 이해와 자기 개선의 열쇠가 될 수 있습니다.

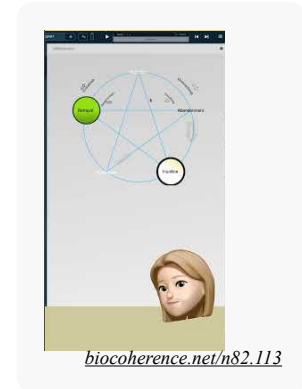
5가지 상처의 기원

1956년 심리치료사이자 생체 에너지 분석 연구소의 공동 설립자인 존 피에라코스(John Pierrakos)는 빌헬름 라이히의 실존적 상처(또는 자기애적 상처)에 관한 연구를 받아들여 포기, 거부, 굴욕, 배신, 불의, 침입, 무력감, 불안 등 8가지를 정의했습니다.

이후 리즈 부르보는 이 이론을 우리가 우리 자신이 되는 것을 방해하는 다섯 가지 감정적 상처로 단순화하여 적용했습니다. 그녀에 따르면 이러한 상처는 많은 정서적 문제와 역기능적 행동의 근원에 있다고 합니다. 이러한 상처는 주로 출생부터 7세 사이의 어린 시절에 발생하지만, 치유하지 않고 방치하면 성인 생활에 계속 영향을 미칩니다.

1. 거절의 상처: 이 상처는 보통 아주 일찍, 때로는 태어나기도 전에 형성되며 원치 않는 존재라는 느낌과 관련이 있는 경우가 많습니다. 이 상처를 가진 사람들은 자신이 사랑받을 자격이 없다고 느끼고 거절당할 수 있는 상황을 피합니다. 이들은 자신을 주장하고 자신의 자리를 차지하는 데 어려움을 겪습니다.
2. 버림받은 상처: 이 상처는 가까운 사람들로부터 버려지거나 지지를 받지 못한다고 느낄 때 나타납니다. 이 상처를 입은 사람들은 고독에 대한 극심한 두려움을 가지고 있으며 끊임없이 타인의 관심과 승인을 구합니다. 정서적으로 의존적이 될 수 있습니다.
3. 굴욕감의 상처: 굴욕감 상처는 부모나 사랑하는 사람으로부터 자신의 행동이나 행동에 대해 경멸을 받거나 비난을 받았을 때 발생합니다. 이 상처를 가진 사람은 수치심을 느끼고 존엄성이 결여된 경향이 있습니다. 또한 다른 사람들이 그렇게 하지 못하도록 자신을 모욕할 수도 있습니다.
4. 배신의 상처: 이 상처는 자녀가 믿었던 사람, 주로 약속을 지키지 않는 부모에게 배신감을 느낄 때 발생합니다. 이 상처를 가진 사람들은 다른 사람을 신뢰하는 데 어려움을 겪으며 모든 것을 통제하려고 합니다. 질투심이나 소유욕이 생길 수도 있습니다.
5. 불의의 상처: 이 상처는 지나치게 권위적이거나 비판적인 부모로부터 부당한 대우를 받았다고 느낄 때 형성됩니다. 이 상처의 영향을 받은 사람은 완벽을 추구하며 경직되고 편협해질 수 있습니다. 또한 자신의 감정을 표현하는 데 어려움을 겪는 경우가 많습니다.

리즈 부르보는 이러한 상처가 우리의 행동과 세상을 인식하는 방식에 영향을 미친다고 설명합니다. 치유를 위해서는 이러한 상처를 인식하고 그 원인을 이해하며 이를 극복하기 위해 노력하는 것이 필수적입니다.



13. 테스트

이 모듈은 라이브 바이오 피드백 테스트와 기존 녹음의 테스트 목록 평가를 위한 전용 모듈입니다.

테스트 모듈을 사용하면 특정 바이오마커의 순간적인 변화에 따라 결과가 평가되는 모든 종류의 라이브 테스트를 수행하고, 현재 스캔의 특정 바이오마커 값에 따라 테스트 목록을 사전 평가할 수 있습니다

목록 사전 평가

새 목록을 만들거나 다른 사용자가 만든 기존 목록을 사용할 수 있습니다. 목록을 열면 현재 열려 있는 보고서와 관련하여 모든 항목의 우선 순위가 지정됩니다. 그런 다음 이 중 실시간으로 테스트할 항목을 체크할 수 있습니다

실시간 테스트

항목을 선택하면 라이브 테스트를 통해 고객에게 해당 항목을 표시하고 센서를 사용하여 시스템의 바이오피드백 반응을 측정할 수 있습니다. 결과는 시스템 강화, 시스템 약화, 중립의 3가지 가능한 반응으로 분류됩니다 또한 무한 개방형 테스트 옵션이 있어 고객이나 본인에게 직접 치료법을 테스트하고 바이오 피드백을 사용하여 결과를 실시간으로 측정할 수 있습니다.

13.1. 테스트 목록

바이오코히어런스의 목록으로 테스트

애플리케이션에서 목록 관리 및 편집하기

리스트로 작업할 때는 키워드 검색 기능을 손쉽게 사용할 수 있습니다. 현재 목록 수는 제한되어 있지만, 수백 개 또는 수천 개의 목록으로 확장할 수 있도록 설계되었습니다. 이를 통해 자신만의 테스트를 편집하고 관리할 수 있습니다.

테스트 편집 모드

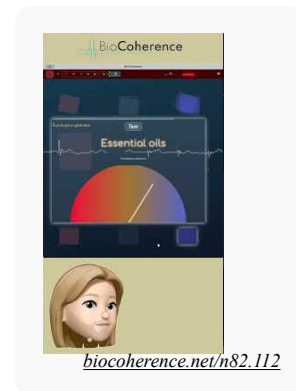
1. **편집 모드에 액세스합니다.** 본인 소유의 시험에 있는 경우 시험 옆에 작은 연필이 나타납니다. 이를 클릭하면 편집 모드로 들어갑니다.
2. **항목 수정하기:** 편집 모드에 들어가면 각 항목을 클릭하여 텍스트 및 관련 동작을 수정할 수 있습니다. 예를 들어 아유르베다, 장기, 바타, 비타 등과 같은 카테고리에 대한 동작을 정의할 수 있습니다.
3. **작업 정의하기:** 특정 요소(예: 아미노산, 방광, 혈액, 뇌, 눈)의 증가 또는 감소와 같은 효과를 지정하려면 VPK와 같은 카테고리를 클릭합니다.

자동 평가

자동 평가는 사용자의 요소 수준과 테스트에 정의된 동작 간의 일치 여부를 기반으로 합니다. 이를 통해 예상 결과에 따라 목록의 항목에 순위를 매길 수 있습니다.

추가 도구

1. **추가 및 가져오기:** 새 도구를 추가하거나 항목을 한 줄씩 붙여넣어 목록을 가져올 수 있습니다.
2. **목록 삭제:** 목록을 완전히 삭제하는 옵션을 사용할 수 있습니다.
3. **2D 로직 맵:** 곧 2차원 이미지에 항목을 배치할 수 있어 테스트를 시각화하고 정리하기가 더 쉬워집니다.



일반 목록 속성

인터페이스 상단에서 일반 속성을 수정할 수 있습니다:

- 목록 카테고리
- 공개 여부(공개 또는 비공개)
- 액세스(무료 또는 유료)

유료 목록을 공개로 설정하여 다른 사용자가 일회성 또는 월간 구독을 통해 유료로 액세스할 수 있도록 할 수 있습니다. 이를 통해 지식을 공유하고 그에 대한 대가를 받을 수 있습니다.

소유자가 없는 목록 관리하기

소유하지 않은 목록에서 작업 중인 경우 해당 목록을 복제할 수 있습니다. 복제를 통해 제목, 설명 및 작업을 변경할 수 있는 편집 가능한 사본을 만들 수 있습니다.

목록에 액세스하기

화면 오른쪽에 있는 일반 메뉴에서 '내 리스트'로 이동하여 기존 리스트를 수정하거나 새 리스트를 만들 수 있습니다. 이 기능은 홈 화면을 포함한 모든 화면에서 사용할 수 있습니다.

이 지침을 따르면 애플리케이션에서 제공하는 다양한 편집 및 정리 옵션을 활용하면서 목록과 시험을 효율적으로 관리할 수 있습니다.

목록 기반 테스트 소개

바이오코히어런스의 목록 기반 테스트는 완전히 개방된 시스템으로, 사용자가 기존 목록을 선택하거나 새 목록을 만들거나 기존 목록을 복제하여 다른 사용자와 공유할 수 있습니다.

목록이란 무엇인가요?

테스트 목록은 아로마 허브 또는 에센셜 오일과 같은 항목의 모음입니다. 사용 가능한 레코드가 있는 보고서에서 목록을 열면 각 항목이 평가되고 우선 순위가 지정됩니다. 백분율은 항목과 레코드의 호환성을 0%에서 100%까지 표시합니다.

색상 코드

- **녹색:** 관련성이 매우 높고 호환성이 높음(예: 85%)
- **기타 색상:** 다양한 등급의 호환성(예: 중간 시리즈의 경우 40%)
- **보라색:** 낮은 호환성(2030%)
- **회색:** 중립적이거나 호환성이 거의 없음(약 0%)
- **빨간색:** 호환되지 않거나 부정적인 반응

실시간 테스트

사전 평가가 끝나면 두 번째 부분은 라이브 테스트로 구성됩니다. 다음 단계를 따르세요:

1. **항목을 선택합니다:** 테스트할 항목을 개별적으로 선택합니다.
2. **센서에 연결합니다:** 보정을 위해 센서를 연결합니다.
3. **테스트 실행:** 테스트가 하나씩 실행되어 시각, 청각 또는 기타 정보를 테스트 대상자에게 보냅니다.
4. **관찰:** 정확한 평가를 위해 테스트 대상자가 테스트 중인 정보를 보거나 들어야 합니다.
5. **평가:** 시스템은 제시된 정보에 따라 신체의 반응을 분류합니다.

결과 표시

테스트가 끝나면 결과가 다시 표시되고 다음과 같이 분류됩니다:

- **테스트 성공:** 양호한 신체 반응
- **평균 테스트:** 혼합된 반응
- **결정적이지 않은 테스트:** 부정적이거나 일관되지 않은 반응

제시된 정보의 중요성

바이오 피드백 시스템을 통해 신체에서 직관적이고 측정 가능한 반응을 얻으려면 테스트한 요소에 대해 가능한 한 많은 정보(예: 사진, 에센셜 오일이 작용하는 시스템에 대한 세부 정보)를 제시하는 것이 중요합니다.

보고서에 결과 통합

테스트 결과가 보고서에 표시되며, 양호 또는 평균 반응이 있는 항목만 표시되고 거부된 항목은 제외됩니다. 보고서에는 다음이 포함됩니다:

- **호환성 비율:** 초기 스캔을 기준으로 계산
- **무의식적 신체 반응:** 정보가 제시될 때 측정

향후 개발

주파수 테스트 및 모든 정보의 실시간 테스트와 같은 새로운 테스트 기능이 곧 제공될 예정입니다.

테스트 편집 모드

자신이 속한 테스트에 들어가면 작은 연필이 나타납니다. 이 연필을 클릭하면 테스트 편집 모드로 들어갑니다. 그런 다음 각 항목을 클릭하여 관련 텍스트 및 동작을 수정할 수 있습니다. 예를 들어 아유르베다 및 장기와 같은 항목에 동작을 설정할 수 있으며, 곧 다른 유형의 동작도 사용할 수 있게 될 것입니다.

동작 수정하기

동작을 수정하려면 해당 요소(예: VPK)를 클릭하고 특정 측면(예: 바타 및 비타)의 증가 또는 감소와 같은 영향을 정의합니다. 아미노산, 방광 및 혈액 증가 또는 뇌 및 눈 감소와 같은 장기에 대한 효과를 지정할 수도 있습니다. 이러한 수정은 이 입력의 특정 동작을 정의하며, 이는 자동 평가에 필수적입니다.

자동 평가

자동 평가는 사용자 레벨(꽃 모양)을 정의된 동작과 비교하여 수행됩니다. 이 매칭을 통해 얻은 결과에 따라 목록의 항목에 순위를 매길 수 있습니다.

사용 가능한 도구

화면 하단에서 다양한 도구를 사용할 수 있습니다. 도구를 추가하거나, 항목을 한 줄씩 붙여넣어 목록을 가져오거나, 목록을 삭제할 수 있습니다. 곧 사진을 찍거나 이미지를 가져와서 2차원 이미지에 이러한 항목을 배치하여 논리적인 지도에 배치할 수도 있습니다. 이렇게 하면 선택한 항목에 따라 테스트가 맵에서 이동할 수 있습니다.

일반 목록 속성

일반 목록 속성은 화면 상단에 있습니다. 이를 클릭하여 카테고리, 공개 여부(공개 또는 비공개), 가격 모드(무료 또는 유료)를 정의하여 수정할 수 있습니다. 유료 리스트는 준비가 완료되면 공개로 설정하여 사용자가 매번 또는 월별 요금을 통해 사용료를 지불할 수 있도록 할 수 있습니다.

공유 및 보상

이 시스템을 사용하면 자신의 지식이나 평가 유형을 공유하고 그에 대한 보상을 받을 수 있습니다. 내 소유가 아닌 목록에서 작업하는 경우 목록을 복제할 수 있습니다. 직접 수정할 수는 없지만 복제를 통해 제목과 설명을 포함하여 완전히 수정할 수 있는 사본을 만들 수 있습니다.

목록에 액세스하기

화면 오른쪽의 일반 메뉴에서 '내 목록'에 액세스할 수 있습니다. 홈 화면 등 어느 화면에서든 목록을 수정하도록 선택할 수 있습니다. 이 인터페이스에서 새 목록을 쉽게 만들 수도 있습니다.

결론

이 시스템은 테스트 목록을 관리하고 공유할 수 있는 뛰어난 유연성과 자율성을 제공하는 동시에 편집 및 평가를 위한 강력한 도구를 제공합니다.

14. 잔액

리소스 및 우선순위, 보고, 명상 생성 및 빈도.

이 화면에서는 리소스 및 우선순위를 자체 식별 및 수정하고, PDF 보고서를 생성하고, 안내 명상, 특정 주파수 등의 재조정 도구를 만들 수 있습니다...

14.1. 우선순위

분석 후 해결해야 할 핵심 요소를 정의합니다

밸런싱 섹션에서는 분석이 완료되고 목표가 명확해졌을 때 또는 장치가 자동으로 요구 사항을 결정할 수 있다고 신뢰할 수 있을 때 취해야 할 조치를 다룹니다.

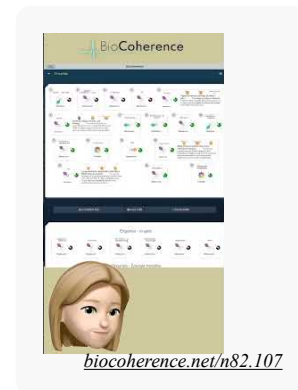
우선순위

정의 및 목적: 우선 순위는 앱에서 주의나 개입이 필요하다고 식별한 요소입니다. 사용자의 건강이 손상될 수 있고 식별된 리소스의 지원이 필요한 영역입니다(리소스에 대한 다음 장 참조).

선택 프로세스: 앱은 다양한 바이오마커를 평가하는 알고리즘을 기반으로 우선순위를 자동으로 선택합니다. 사용자는 '탐색'을 클릭하여 흥미로운 바이오마커를 미리 선택하거나 모든 화면을 탐색하고 흥미로운 우선순위를 선택하여 각 카테고리 내에서 잠재적인 추가 우선순위를 탐색하고 필요에 따라 추가할 수 있습니다.

카테고리: 리소스와 마찬가지로 우선 순위는 장기, 감정, 에너지 포인트 등 다양한 그룹으로 분류됩니다. 사용자는 이러한 카테고리를 탐색하여 추가 집중 영역을 식별할 수 있습니다.

사용자 지정: 사용자는 목록에서 우선순위를 추가하거나 제거하여 건강 여정에 맞춤형으로 접근할 수 있습니다. 집중력과 효율성을 유지하려면 우선순위의 수를 관리 가능한 수준(1520개)으로 유지하는 것이 좋습니다.



다시 계산을 실행하여 시스템을 최적화합니다.

우선순위 및 리소스 계산을 다시 시작하려면 홈 화면의 오른쪽 상단에 있는 해당 아이콘을 클릭합니다. 먼저 리소스를 식별하여 시스템이 필요한 모든 리소스를 자동으로 다시 식별할 수 있도록 합니다. 그런 다음 해당 옵션을 클릭하여 우선순위를 식별하면 시스템에서 식별한 우선순위가 자동으로 추가됩니다. 우선순위 화면에서 '추가' 및 '우선순위 자동 식별'을 클릭해도 현재 선택 항목에 새 우선순위만 추가할 수 있으며, 우선순위는 제거되지 않습니다.

파형 분석은 논리적 진화의 중요한 단계입니다. 필요에 따라 바이오마커, 링크, 우선순위를 다시 계산하고 리소스를 식별할 수 있습니다. 전체 보고서에 액세스하는 데 문제가 발생하면 언제든지 다시 계산할 수 있습니다.

우선순위 보기 및 수정하기

우선순위 섹션에는 관련성이 있는 것으로 확인된 모든 항목이 표시됩니다. 우선순위를 삭제하거나 새 우선순위를 추가하여 이러한 우선순위를 수정할 수 있습니다. 우선순위를 추가하려면 '추가'를 클릭하고 장기, 경락 지점 또는 한의학(TCM) 레시피 등 제공되는 다양한 카테고리에서 관심 있는 항목을 선택합니다.

더 이상 필요하지 않은 항목을 삭제하여 우선순위 목록을 정리할 수도 있습니다. 우선순위 편집은 모든 시스템 페이지에서 동일한 인터페이스를 사용하지만, 여기서는 정의한 모든 우선순위를 한데 모아 그룹화합니다.

마지막으로 우선순위에 댓글을 추가할 수 있습니다. 이러한 댓글은 최종 보고서에 통합되어 식별된 각 우선순위에 대한 추가 컨텍스트를 제공합니다.

어느 페이지에서나 관련 꽃의 오른쪽에 있는 아이콘을 클릭하여 우선순위 항목을 추가하거나 제거할 수 있습니다. 이 아이콘이 녹색이면 해당 바이오마커가 우선순위에 있는 것이고, 빨간색이면 없는 것입니다.

14.2. 리소스

견고하게 조화를 이루는 기동

리소스를 살펴보기 전에 크리스틴 데고이가 자신의 연구에 대한 몇 가지 인사이트를 공유할 것입니다:

"우리는 문제가 있는 시스템에 관여하는 문화, 즉 새로운 사고방식을 개발했습니다. 10년간의 치료 작업과 고객과의 연구를 통해 저는 처음에 각 존재의 내면에 일관성이 있음을 발견했습니다. 이러한 자연스러운 공명은 문제의 전체 스펙트럼을 탐색하는 데 도움이 되므로 매우 중요합니다. 이는 심오한 내적 연결을 구축하는 가장 쉬운 방법이며, 시스템의 일관성을 향상시키는 긍정적인 전염을 촉진합니다. 이 접근법은 개인이 신체의 자연스러운 질서를 존중하면서 내면을 치유하고 성장할 수 있도록 돕습니다. 우리는 이를 가능성의 열린 문인 '자원의 길'이라고 부릅니다.

자원은 우리 존재의 가장 일관되고 강력한 부분으로, 우리가 평생 동안 발전시켜온 초능력과 비슷합니다. 평생 자원의 개념은 결국 우리의 인생 미션 모듈의 일부가 될 것입니다. 하나의 장기, 경락, 경혈, 차크라, 감정 등도 강력한 자원이 될 수 있으며, 우리의 삶과 몸을 조화롭게 하는 행복한 전염에 기여할 수 있습니다. -- 크리스틴 데고이

특정 시기에 해결해야 할 중요한 요소인 우선순위를 살펴본 다음에는 자원으로 넘어가겠습니다. 별표가 있는 작은 티켓 아이콘으로 표시된 자원은 몸의 '별' 요소입니다. 자원은 에너지가 넘쳐나고 매우 안정적이며 치유 과정에서 우선순위에 따라 에너지를 분배하기 위해 신체가 의존할 수 있는 요소입니다.

앱에서는 각 바이오마커에 대한 자원 점수를 계산하는 정교한 알고리즘을 개발했습니다. 이 점수는 가장 활력이 넘치고 안정적인 요소를 식별하여 개선 우선순위를 강조합니다. 이 알고리즘은 요소의 안정성, 에너지, 연결성 등 다양한 요소를 고려하여 현재 표시되는 리소스 페이지를 생성합니다.

바이오코히어런스 앱 내의 자원과 우선순위에 대한 자세한 이해는 사용자가 자신의 고유한 강점을 활용하고 건강과 웰빙을 개선하기 위해 필요한 부분을 해결할 수 있는 명확한 경로를 제공합니다.

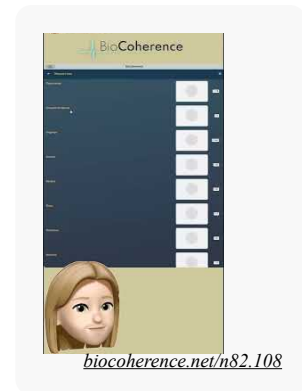
사용 가능한 모든 요소를 고려하도록 개발된 알고리즘 덕분에 기록 후 자원이 자동으로 식별됩니다. 그러나 필요한 경우 이러한 리소스를 수동으로 수정할 수 있습니다. 예를 들어 장기 섹션에 액세스할 때 신경전달물질이 주요 리소스로 식별되면 이를 클릭하여 다른 강력한 리소스를 선택할 수 있습니다.

그러면 이 제품군에서 사용 가능한 리소스는 가장 강력한 것부터 가장 약한 것까지 중요도 역순으로 순위가 매겨집니다. 예를 들어 신경전달물질 대신 허, 기관 또는 뉴런의 세포핵과 같은 다른 리소스로 작업하고 싶다면 원하는 리소스를 클릭하여 선택하기만 하면 됩니다. 각 리소스가 무엇에 해당하는지 더 잘 이해하려면 꽃 아이콘을 클릭하여 연관성을 확인하고 더 많은 정보에 입각한 선택을 할 수 있습니다.

그런 다음 이러한 리소스는 다양한 재조화 단계에서 사용됩니다.

리소스에 대한 간략한 소개

저희의 접근 방식은 문제가 있는 시스템을 해결하기 위한 패러다임 전환을 도입합니다. 처음에 치료 사례를 통해 발견된 이 방법은 개인 내 일관성을 강조합니다. 치료와 개인의 일관성 사이의 자연스러운 공명은 더 광범위한 문제를 해결하기 위한 토대가 됩니다. 이 접근법은 내적 연결성을 촉진하여 외부 프로토콜 없이도 개인의 치유와 역량을 강화하는 '행복한 전염'으로 이어집니다. '자원의 길'이라고 불리는 이 방법은 혼란 복잡한 시스템을 존중하고 시너지를 촉진합니다.



자원은 내재된 초능력과 유사하게 신체에서 가장 일관되고 강력한 측면으로 식별됩니다. 개인의 여정에 대한 이해를 더욱 넓히기 위해 향후 업데이트에는 크리스틴의 연구의 연장선인 라이프 미션이 포함될 예정입니다.

예를 들어 특정 기관은 중요한 자원이 될 수 있으며, 잠재적으로 신체 전체에 힘과 일관성을 확산시킬 수 있습니다. 이 애플리케이션은 고급 알고리즘을 사용하여 각 바이오마커에 대한 자원 점수를 계산하여 최적의 자원과 우선순위를 파악합니다. 이 알고리즘은 에너지, 안정성, 연결성을 평가하고 이러한 연결의 강약점을 고려하여 종합적인 리소스 페이지를 생성합니다.

바이오코히어런스의 리소스 및 우선순위

개요

BioCoherence 앱은 상세한 스캔을 통해 사용자의 생리적 및 에너지 상태에 대한 종합적인 분석을 제공합니다. 초기 스캔이 완료되면 사용자에게 두 가지 중요한 구성 요소가 표시됩니다: 리소스와 우선순위. 이러한 요소는 스캔 결과를 해석하고 최적의 건강과 웰빙을 위해 사용자를 안내하는 데 필수적입니다.

리소스

정의 및 목적: BioCoherence 앱의 리소스는 사용자의 신체 내에서 가장 일관되고 안정적이며 에너지적으로 강력한 요소를 의미합니다. 이러한 요소는 치유와 균형을 지원하기 위해 활용할 수 있는 사용자의 고유한 감정 또는 "초능력"으로 식별됩니다.

계산: 이 앱은 정교한 알고리즘을 사용하여 각 바이오마커에 대한 자원 점수를 결정합니다. 이 점수는 에너지 수준, 안정성, 다른 요소와의 연결성 등의 요소를 고려합니다. 가장 높은 점수를 받은 요소가 자원으로 식별됩니다.

카테고리: 리소스는 다음과 같은 10가지 그룹으로 분류됩니다:

- 장기 그룹(예: 아유르베다 기반 그룹)
- 개별 기관
- 원자
- 경락
- 모멘텀(동적 상태)
- 드라이브(감정)
- 유기체(공생 또는 기생)
- TCM 포인트
- 아유르베다 서브도샤
- 차크라

사용자 지정: 사용자는 앱의 자동 리소스 선택을 수락하거나 개인적인 공명 또는 치료 목표에 따라 수동으로 조정할 수 있습니다. 이러한 사용자 지정으로 개인 맞춤형 치유 접근이 가능합니다.

밸런스 기능과의 통합

- **주파수:** 앱은 리소스와 우선순위를 사용하여 주파수 프로그램을 만듭니다. 이 프로그램에는 특정 장기, 감정 또는 에너지 구조를 목표로 하는 주요 주파수가 포함되어 있습니다. 사용자는 효과를 높이기 위해 추가 프로토콜로 이 프로그램을 강화할 수 있습니다.
- **균형:** 앱은 선택한 우선순위를 통해 최적의 경로를 계산하여 가이드 명상 또는 균형 세션을 생성합니다. 이 세션은 리소스를 활성화하는 것으로 시작하여 각 우선순위를 순차적으로 해결합니다.
- **PDF 보고서:** 사용자는 리소스 및 우선순위에 대한 자세한 정보가 포함된 PDF 보고서를 생성하여 현재 상태와 치료 초점에 대한 포괄적인 개요를 확인할 수 있습니다.

실제 적용

사용 시기: 앱의 명상 및 주파수 프로그램은 개인 취향에 따라 하루 중 언제든지 사용할 수 있습니다. 일부 사용자는 이른 아침이나 늦은 밤과 같이 조용한 시간에 명상을 하는 것이 도움이 될 수 있습니다.

14.3. PDF 보고서

PDF 생성, 내보내기, 인쇄 및 결과 공유

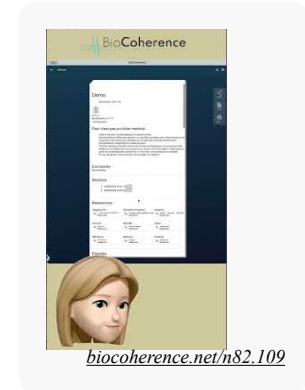
2장: 밸런스로 보고서 생성 및 관리

밸런스의 세 번째 핵심 기능은 보고서 생성입니다. 이 기능을 사용하면 애플리케이션을 사용하는 동안 보관된 모든 정보가 포함된 PDF 파일을 만들 수 있습니다.

PDF 보고서 내용

생성된 PDF 보고서에는 다음이 포함됩니다:

- 프로젝트 섹션 및 기간
- 서면 코멘트
- 식별된 리소스
- 정의된 우선 순위
- 가장 활력이 넘치거나 가장 활력이 적은 기관
- 가장 많이 또는 가장 적게 동요된 기관
- 일관성 있는 장기
- 경력
- 전통 중국 의학(TCM) 레시피
- 등



보고서 사용자 지정

보고서에서 섹션을 추가하거나 제거할 수 있습니다. 이렇게 하려면 섹션 유형에 액세스하고 사용 가능한 도구를 사용하여 필요에 맞게 보고서를 사용자 지정하세요.

보고서 공유 및 저장

PDF 보고서는 여러 채널을 통해 직접 공유할 수 있습니다:

- **직접 공유:** 공유 상자를 사용하여 WhatsApp, SMS 또는 메신저로 보고서를 보냅니다.
- **저장:** 보고서를 저장하려면 'PDF 파일'을 클릭합니다. 컴퓨터에서는 하드 드라이브에 직접 저장할 수 있습니다. 휴대폰이나 태블릿(iPad)에서는 파일에 저장됩니다.
- **인쇄:** 보고서를 인쇄하려면 '인쇄'를 클릭합니다. 컴퓨터에서는 인쇄 대화 상자가 열립니다. 휴대폰에서는 네트워크에서 호환되는 프린터를 사용할 수 있는 경우 인쇄 옵션이 나타납니다.

PDF 보고서에는 다양한 섹션에 추가된 댓글을 포함하여 입력한 모든 정보가 유지됩니다. 이 기능을 사용하면 모든 중요한 데이터가 중앙 집중화되어 나중에 사용할 수 있도록 쉽게 액세스할 수 있습니다.

14.4. 균형: 명상, 사운드 및 도구

안내 명상, 주파수 생성 및 시간 결정 용해. 현재 이 모듈은 준비 중이며 앞으로 몇 달에 걸쳐 개발될 예정입니다.

개인 맞춤형 가이드 명상으로 균형 잡기

"밸런싱" 섹션은 각 개인에게 필요한 주파수를 통합한 가이드 명상 또는 오디오 파일을 만드는 데 전념하는 저희 방법의 중요한 부분입니다. 이 원칙은 양파 껍질을 벗기는 것과 비슷한 점진적 접근 방식을 기반으로 합니다. 가장 가까운 문제는 가장 쉽게 해결할 수 있는 반면, 더 먼 문제는 더 심층적인 치료가 필요합니다. 이 프로세스는 다양한 우선순위 요소를 특정 순서로 통과하도록 정의된 이상적인 경로를 따라 단계별로 수행됩니다.

명상 매개변수

1. **명상 속도:** 녹음 중에 감지된 매개변수에 따라 사람이 명상에 들어가는 속도가 결정됩니다.
2. **성격 유형:** 이 요소는 명상 구성에 영향을 줍니다.
3. **음악:** 화음과 일반적인 음계는 사용자의 수준에서 시작하도록 식별됩니다.

리소스 선택

리소스는 각 카테고리에서 가장 강력한 항목을 활용하도록 설계되었습니다. 그날의 우선순위를 다루기 위해 매일 관련 리소스가 호출됩니다.

우선순위 선택

선택한 각 유형의 우선순위에 대해 일련의 명상이 포함되어 있습니다. 이 시리즈에는 각 프로필에 맞는 다양한 유형의 안내 명상이 포함되어 있습니다. 그러면 애플리케이션이 가장 적합한 안내 명상을 결정한 다음, 해결해야 할 우선순위에 따라 생성된 주파수 또는 음성과 활용할 수 있는 리소스를 기반으로 두 번째 안내 명상이 시작됩니다.

녹음 및 후속 조치

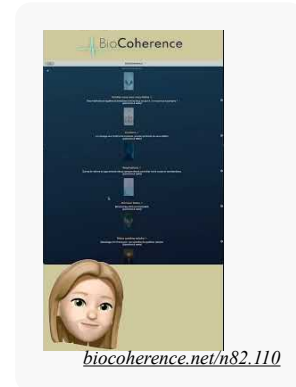
개인화된 안내가 디자인되면 사용자의 계정에 저장할 수 있습니다. 프로가 만든 경우, 사용자는 바이오코히어런스 애플리케이션을 설치하고 이메일 주소를 입력한 후 개인화된 명상에 액세스할 수 있습니다. 또한 앱을 통해 각 명상 세션 전에 정기적으로 재평가할 수 있습니다. 재평가 시 센서를 등록하라는 메시지가 표시되고 새로운 평가를 위해 센서를 연결합니다.

진행 상황 모니터링

진행 상황은 각 우선순위에 해당하는 곡선 형태로 표시되어 진행 상황과 아직 해결해야 할 점을 시각화할 수 있습니다. 초기 및 후속 설문지와 같은 다른 추적 방법도 사용할 수 있습니다.

계획 및 기간

계획이 작성되고 개인화된 명상이 생성되면 사용자의 프로필에서 사용할 수 있습니다. 사용자는 이메일을 통해 애플리케이션을 설치하도록 초대받아 가이드 명상을 바로 시작할 수 있습니다. 전체 밸런싱 세션은 3주 동안 진행될 예정입니다.



자세한 가이드: 바이오코히어런스에서 하모닉 부스트 및 개인 가이드 사용하기

하모닉 부스트와 개인 가이드는 사용자가 개인화된 주파수 프로그램에 참여할 수 있도록 하는 BioCoherence 앱의 두 가지 주요 기능입니다. 이 도구는 사용자가 생체 활성 주파수를 일상 생활에 통합하여 에너지 및 생리적 균형을 유지하도록 도와주며, 이 섹션에서는 다양한 시나리오에 대한 모범 사례를 포함하여 이러한 기능을 효과적으로 사용하는 방법에 대한 자세한 가이드를 제공합니다.

1. 하모닉 부스트

하모닉 부스트란 무엇인가요?

하모닉 부스트는 선택한 모든 우선순위를 동시에 재생하는 주파수 기반 도구입니다. 단기간에 종합적이고 전체적인 에너지 조화를 제공하도록 설계되었습니다.

하모닉 부스트 사용 방법

- 하모닉 부스트에 액세스하기:
 - 바이오코히어런스 앱을 엽니다.
 - 활성 레코드로 이동하거나(홈 화면 중앙에 있음), 목록에서 레코드를 선택합니다.
 - 하모닉 부스트를 클릭하여 주파수 재생을 시작합니다.
- 하모닉 부스트 재생하기:
 - 하모닉 부스트는 선택한 모든 우선순위를 한 번에 재생합니다. 에너지, 몸과 마음, 우선순위가 높은 프로그램, 프로토콜이 있는 프로그램 등을 기준으로 필터링할 수도 있습니다. 예를 들어 에너지 부스트만 원하는 경우 프로그램을 필터링하거나 프로토콜이 있는 프로그램만 필터링하여 더 깊은 문제를 해결하고 싶은 기분이 든다면 프로그램을 필터링할 수 있습니다.
 - 일상 활동을 수행하는 동안 백그라운드에서 재생할 수 있습니다. 볼륨은 매우 낮을 수 있습니다.
 - 더 나은 공명을 위해 헤드폰이나 외부 스피커를 사용하는 것이 좋습니다. 포함된 생체 활성 주파수로 신체에 미세한 전자기장을 전달하는 인이어 헤드폰을 주머니에 넣어 사용할 수도 있습니다. 이렇게 하면 굳이 주파수를 들을 필요 없이 에너지장, 몸과 마음이 전자기적으로 주파수를 등록합니다.
- 하모닉 부스트 내보내기:
 - 사용자는 하모닉 부스트를 MP3 파일로 내보내 오프라인에서 사용할 수 있습니다.
 - Mac, iPhone, iPad 및 Android에서는 파일을 저장하거나 SMS, AirDrop, WhatsApp 또는 이메일을 통해 직접 공유할 수 있습니다.
 - Windows에서는 파일을 수동으로 저장한 다음 공유해야 합니다.
- 모범 사례:
 - 매일 사용: 하루에 한두 번 하모닉 부스트를 재생합니다.
 - 수동 듣기: 백그라운드에서 낮은 볼륨으로 재생할 수 있습니다.
 - 집중 세션: 더 깊은 효과를 얻으려면 방해 요소를 최소화한 조용한 환경에서 들어보세요.

2. 개인 가이드

개인 가이드가 무엇인가요?

개인 가이드는 개인 맞춤형 주파수와 음성 안내를 통합한 가이드 명상입니다. 구조화된 시각화 및 이완 기법을 통해 사용자가 에너지와 생리적 균형에 집중할 수 있도록 도와줍니다. 이 안내의 목표는 집중된 치유 인식을 일상 생활에 통합하는 것입니다.

개인 가이드 사용 방법

- 개인 가이드에 액세스하기:
 - BioCoherence 앱을 엽니다.
 - 활성 레코드로 이동하거나(홈 화면 중앙에 있음), 목록에서 레코드를 선택합니다.
 - 개인 가이드를 클릭하여 세션을 시작합니다.
- 개인 가이드 사용자 지정하기:
 - 기간: 슬라이더로 원하는 세션 길이를 조정합니다.
 - 다이빙 속도: 측정된 바이탈에 따라 사용되는 이완 기술의 속도와 강도가 미리 계산됩니다.
 - 성격 유형: 스캔에 따라 자동으로 선택됩니다.
 - 음악 코드: 공명 분석을 기반으로 개인화됩니다.
 - 종료 모드:

- 깨우기 모드: 사용자를 부드럽게 다시 알림 상태로 전환합니다.
- 수면 모드: 사용자를 깊은 수면 상태로 안내합니다.
- 개인 가이드 재생하기:
 - 이 세션에는 음성 안내, 개별 주파수 및 바 이노럴 비트, 배경 소음이 포함됩니다.
 - 사용자는 주파수만 듣고 싶은 경우 음성을 음소거할 수 있습니다.
 - 더 깊은 휴식을 위해 백색 소음, 주파수 및 바 이노럴 비트를 조정할 수 있습니다.
- 모범 사례
 - 매일 사용: 하루에 한 번, 가급적 조용한 환경에서 사용하는 것이 좋습니다.
 - 잠들기 전: 수면 모드를 사용하여 긴장을 완화하세요.
 - 명상 중: 안내에 따라 집중하여 효과를 극대화하세요.
 - 음성 없이: 일부 사용자는 음성을 음소거하고 주파수만 듣는 것을 선호합니다. 이 모드는 특히 21일 프로그램의 마지막 날, 안내가 이미 내재화되어 있는 경우 잠들기 전에 편안한 모드로 사용할 수 있습니다.

3. 하모닉 부스트, 개인 가이드 및 기본 프로그램 결합하기

개인 프로그램 외에도 몇 가지 기본 프로그램을 함께 사용하면 여행 중에 유용하게 사용할 수 있습니다.

기본 프로그램은 디톡스, 눈 관리, 차크라 조화, 스트레스 관리 등 특정 사용 사례를 위해 미리 설정된 프로그램입니다. 이러한 기본 프로그램은 스캔 없이도 일반적으로 사용할 수 있도록 전문가가 세심하게 설계했습니다.

사용자는 선택할 수 있습니다:

- 개별적으로 실행합니다(예: 아침에는 기본 프로그램, 낮에는 하모닉 부스트, 저녁에는 개인 가이드).
- 기본 프로그램과 하모닉 부스트 주파수를 개인용 가이드에 추가하여 결합합니다.

두 가지를 결합하는 방법

1. 레코드를 열고 우선순위로 이동합니다.
2. 버튼을 클릭하여 우선순위를 추가합니다.
3. 기본 프로그램(예: 에너지 > 디톡스(또는 기타 관련 카테고리)을 선택합니다.
4. 모든 우선순위 추가를 클릭하여 세션에 통합합니다.

조합을 위한 모범 사례

- 아침 루틴: 에너지로 필터링된 하모닉 부스트를 사용해 빠른 에너지 조절을 하세요.
- 아침 전원 일시 정지: 빠른 기본 프로그램을 재생하여 즉각적인 안정을 취하세요.
- 저녁 루틴: 깊은 휴식과 통합을 위해 매일 21일 프로그램인 개인 가이드를 사용하세요.
- 지속적인 지원: 하루 종일 매우 낮은 볼륨으로 전체 하모닉 부스트를 재생하세요.

4. 진행 상황 평가

재평가

- 사용자는 진행 상황을 추적하기 위해 37일마다 재평가를 수행해야 합니다. 바이탈을 측정하고 바이오마커를 계산하려면 센서가 필요합니다.
- 각 재평가를 통해 우선순위 관련성 및 진행 상황을 업데이트하고 그에 따라 프로그램을 조정합니다.

개선의 징후

- 신체적 변화: 증상 또는 불편함의 감소.
- 활기찬 변화: 더 균형 잡힌 느낌과 집중력 향상.
- 정서적 웰빙: 명확성 및 정서적 안정감 증가.

5. 문제 해결 및 FAQ

제 주요 문제가 우선순위에 없는 이유는 무엇인가요?

시스템은 증상보다는 근본 원인을 우선시합니다. 인과 관계 기능을 사용하여 관련 요인을 탐색하세요.

다른 활동을 하면서 들을 수 있나요?

예, 하모닉 부스트는 백그라운드에서 재생할 수 있습니다. 개인 가이드는 조용하고 집중할 수 있는 환경에서 사용하는 것이 가장 좋습니다.

개인 가이드를 고객과 공유하려면 어떻게 해야 하나요?

레코드가 고객과 공유되는지 확인하세요. 고객은 앱에서 바로 개인 가이드에 액세스할 수 있습니다.

개인 가이드를 내보낼 수 있나요?

아니요, 복잡한 성격과 실시간 바이오피드백 조정으로 인해 개인 가이드는 앱 내에서 재생해야 하며 내보낼 수 없습니다. 하모닉 부스트만 MP3로 저장할 수 있습니다.

6. 요약

- 하모닉 부스트는 선택한 모든 우선순위를 한 번에 재생하여 백그라운드 청취, 수동적 하모니를 위해 사용합니다.
- 개인 가이드는 집중 세션, 깊은 휴식을 위한 개인 맞춤형 주파수로 안내하는 명상입니다.
- 이 두 가지를 통합하여 종합적인 경험을 제공합니다.
- 아침 부스트, 저녁 명상, 37일마다 재평가를 통해 진행 상황에 따라 우선순위를 업데이트할 수 있습니다.

이러한 가이드라인에 따라 사용자는 BioCoherence의 이점을 극대화하고 개인화된 치유 여정을 만들 수 있습니다.

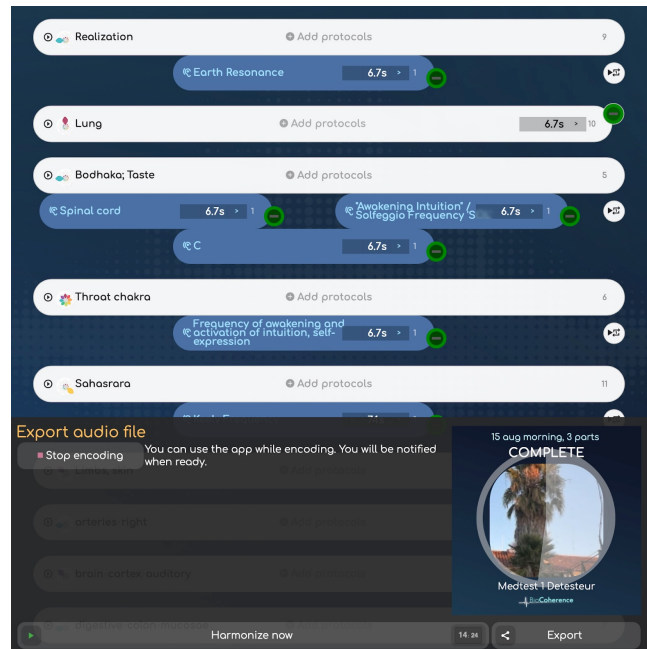
14.5. 하모닉 부스트

BioCoherence의 하모닉 부스트 기능은 사용자의 요구와 특정 프로토콜에 맞춘 특정 주파수를 통합하여 명상 및 주파수 기반 조화의 효과를 향상하도록 설계되었습니다. 이 기능을 통해 사용자는 사전 설정 및 개별화된 주파수 프로그램을 조합하여 다양한 바이오마커를 자극하고 교정할 수 있습니다.

항목 색상 및 기능

하모닉 부스트 인터페이스는 각기 다른 색상의 요소로 구성되어 있으며, 각 요소는 고유한 용도로 사용됩니다:

- **흰색 요소:** 흰색 요소: 특정 바이오마커와 연결된 **전신 하모닉스**를 나타냅니다. 특정 장기, 경혈, 부담(예: 지리적 스트레스) 또는 기타 바이오마커와 관련된 미리 계산된 주파수 세트입니다. 이러한 주파수는 고정되어 있으며 개별 분석 결과에 따라 변경되지 않습니다.
- **파란색 요소:** 이는 교정 프로토콜을 나타냅니다. 개별화되어 사용자 디바이스에서 로컬로 계산됩니다. 이러한 주파수는 사용자의 특정 요구 사항에 따라 선택되며 분석에서 감지된 부조화를 상쇄하도록 설계되었습니다.
 - **진한 파란색 요소:** 생체 활성 개별 주파수 또는 주파수 모음(주파수 스펙트럼)으로, 전기적 또는 음향적으로 재생할 수 있습니다.
 - **하늘색 요소:** 이는 매우 낮은 주파수를 청각적으로 들려주고 뇌가 특정한 의식 상태로 변화하도록 훈련하도록 설계된 바이노럴 비트입니다. 각 귀에 약간 다른 두 개의 주파수를 재생하여 원하는 치료 효과와 일치하는 비트 주파수를 뇌에 생성하는 방식으로 작동합니다.



액션 모드 및 기능

사전 계산된 주파수

- 모든 바이오마커 조화 주파수(흰색 요소)는 미리 계산되어 로컬과 클라우드에 저장됩니다. 따라서 저사양 장치에서도 실시간 계산 없이도 원활한 재생을 보장합니다.
- 동일한 사전 계산 프로세스가 고도로 개별화된 파란색 요소에도 필요한 시점에 사용자의 장치에서 직접 적용되어 글리치를 제거하고 성능을 개선합니다.

개별화된 프로토콜을 위한 실시간 계산

- 사용자가 프로토콜(파란색 요소)을 추가하면 시스템은 재생 전에 필요한 주파수를 로컬에서 계산합니다.
- 이렇게 하면 최적의 성능을 유지하면서 사용자의 특정 요구 사항에 맞게 주파수를 조정할 수 있습니다.

동시 주파수 재생

- 하모닉 부스트 시스템은 한 번에 4개의 주파수를 재생합니다.
- 흰색 요소만 선택하면 바이오마커 하모나이제이션 세트의 네 가지 주파수가 재생됩니다.
- 흰색 요소와 파란색 요소를 모두 선택하면 시스템은 바이오마커 하모닉스와 보정 주파수 간에 재생 주파수의 균형을 동적으로 조정합니다.

주파수가 함께 재생된다는 사실은 공명 효과를 통해 선택한 시스템에 직접 브리지를 설정하고 프로토콜 주파수를 추가하여 시스템에서 특정 프로토콜을 대상으로 하는 지향성 레이저의 효과를 얻음으로써 프로토콜의 표적 작용을 가능하게 합니다.

바이노럴 비트 통합

- 바이노럴 비트(하늘색 요소)가 포함되면 바이오마커 주파수 중 하나와 혼합됩니다.
- 예를 들어, 지오파스 스트레스 주파수가 100Hz이고 바이노럴 비트가 8Hz인 경우, 시스템은 한쪽 귀에는 100Hz, 다른 쪽 귀에는 108Hz를 재생하여 뇌에 8Hz 비트를 생성합니다.

지속 시간 및 타이밍

- 각 주파수 사이클의 기본 지속 시간은 6.73초이며, 이는 플랑크 시간에 황금비(phi)를 곱한 값입니다.
- 각 흰색 또는 파란색 프로그램은 일반적으로 10초에서 150초 사이(리셋 주기는 6.73초)의 여러 주기로 구성됩니다.
- 사용자는 필요에 따라 프로그램 기간을 짧게 또는 길게 조정할 수 있습니다.
- 전체 프로그램은 하나의 오디오 파일로 내보낼 수 있으며, 예를 들어 에너지, 신체, 마음 또는 가장 주의가 필요한 요소를 구체적으로 다루기 위해 하위 집합을 직접 내보낼 수 있습니다.

사용자 지정 및 내보내기

프로토콜 추가하기

- 사용자는 하모닉 부스트 세션의 효과를 높이기 위해 프로토콜을 수동으로 추가할 수 있습니다.
- 시스템은 선택한 바이오마커를 기반으로 추천 프로토콜을 제공하지만 사용자는 추가 프로토콜을 검색할 수도 있습니다. 2000개 이상의 프로토콜이 포함되어 있으며 이 목록은 새로운 연구로 정기적으로 업데이트됩니다.

MP3 파일 내보내기

- 사용자는 하모닉 부스트 세션을 MP3 파일로 내보내 오프라인에서 사용할 수 있습니다.
- 내보낸 파일에는 앨범 표지 및 키워드와 같은 메타데이터가 포함되어 있어 음악 라이브러리에서 쉽게 정리할 수 있습니다.

실용적인 응용 프로그램

- 개인 가이드 향상: 사용자는 더 깊은 휴식과 치유를 위해 개인 가이드 명상에서 하모닉 부스트 주파수를 들을 수 있습니다.
- 표적 치유: 특정 바이오마커와 교정 프로토콜을 선택하여 개인 맞춤형 치유 세션을 만들 수 있습니다.
- 에너지 부스팅: 사용자는 에너지 부스팅 주파수 세트를 생성하고 저장하여 필요할 때 빠르게 액세스할 수 있습니다.

바이오코히어런스의 하모닉 부스트 기능은 주파수 기반 조화를 위한 강력한 도구를 제공합니다. 미리 계산된 바이오마커 주파수를 개별화된 교정 프로토콜과 결합하여 사용자는 매우 효과적이고 개인화된 치유 세션을 만들 수 있습니다. 이러한 세션을 오프라인으로 내보내고 재

생활 수 있는 기능은 접근성과 사용성을 더욱 향상시킵니다.

15. 바이오코히어런스의 AI

BioCoherence는 최신 최첨단 인공지능(AI) 기술을 사용하여 원활하고 완벽하게 통합된 방식으로 이해, 사용 및 분석을 용이하게 합니다.

- **AI 도우미**는 설명, 분석, 테스트 및 우선순위에 따른 조치를 취할 수 있습니다. 30명 이상의 전문 도우미가 바이오마커 값을 수신하고 사용자 또는 프로와 간단한 채팅을 시작할 수 있습니다.
- 프로의 경우 명상 부분 작성, 행동 자동 식별, 제품 성분 검색을 지원하여 **목록 항목 생성**이 가속화됩니다....
- BioCoherence는 바이오피드백 및 바이오마커와 연결된 수천 개의 독점 알고리즘을 통합하며, 그중 일부는 딥러닝 및 인공지능의 도움으로 획득한 것들입니다.

15.1. AI 도우미

BioCoherence의 가장 흥미로운 발전 중 하나는 AI 도우미의 도입입니다. 이 AI 기반 도우미는 사용자가 앱 내의 방대한 정보를 탐색하여 바이오 피드백 스캔의 데이터를 더 쉽게 이해하고 활용할 수 있도록 설계되었습니다.

바이오코히어런스의 AI 도우미는 사용자 데이터를 기반으로 맞춤형 안내, 설명, 프로그램 생성을 제공하여 사용자 경험을 향상하도록 설계되었습니다. 이러한 AI 모듈은 신규 사용자의 학습 곡선을 줄이고 전문가가 고객과의 상호작용을 간소화할 수 있는 방법을 제공합니다. AI 도우미는 사용 상황에 따라 두 가지 모드로 작동할 수 있습니다:

1. **녹음 없이:** 사용자는 필요에 따라 AI와 채팅하여 기본 프로그램을 만들 수 있습니다. 홈페이지에서: 사용자는 특정 바이오마커에 연결하지 않고 일반적인 안내를 위해 AI와 상호작용할 수 있습니다.
2. **오픈 레코딩 사용:** AI 도우미가 사용자의 바이오마커를 분석하고 기록된 데이터를 기반으로 인사이트 또는 추천을 제공합니다.

주요 기능

AI 도우미는 일반 사용자와 전문 의료진 모두를 위한 간호사 및 지원 직원 역할을 하는 전문 어시스턴트와 함께 가상 클리닉의 기능을 수행합니다. 이러한 AI 어시스턴트는 다음을 수행할 수 있습니다:

- 스캔과 고객의 스캔에서 바이오마커를 읽고 해석합니다.
- 특정 바이오마커를 표시하고 그 값을 해석합니다.
- 에너지 균형을 맞추기 위해 하모닉 부스트를 재생합니다.
- 건강 데이터와 토론을 바탕으로 우선순위를 수정하세요.
- 맞춤형 치유를 위해 하모닉 부스트 목록에 요소를 추가하세요.
- 새로운 검사를 실시간으로 요청하고 분석합니다.
- 다양한 바이오마커와 검사 결과에 대한 설명과 조언을 제공하세요.
- 필요한 경우 고객을 전문 상담으로 리디렉션합니다.

즉, 사용자는 AI와 상호 작용하여 건강에 대한 심층적인 인사이트를 얻고, 결과에 대해 질문하고, 실행 가능한 인사이트, 명상, 약초 요법 등을 추천받을 수 있습니다:

- **맞춤형 지원:** 각 AI 도우미는 자연요법, 한의학(TCM), 에센셜 오일, 명상 등 특정 영역에 특화되어 있습니다. 현재 25명 이상의 AI 도우미가 있습니다. 이들은 자신의 전문 분야와 관련된 엄선된 바이오마커, 특정 프롬프트, 특정 지식 및 교육, 특정 목록 및 목록 항목, 특정 추가 정보 및 특정 능력을 제공합니다.
- **기본 프로그램 생성:** 사용자는 AI와 자신의 요구 사항을 논의하여 개인화된 프로그램을 만들 수 있습니다. 이러한 프로그램은 '기본 프로그램' 섹션에 저장되며 즉시 실행할 수 있습니다.
- **언어 지원:** AI 도우미는 여러 언어를 지원하므로 사용자는 자신의 모국어로 상호작용할 수 있습니다. 이 시스템은 다국어 쿼리를 효과적으로 처리하도록 설계되었습니다.
- **사용자 지정 가능한 액세스:** 전문가가 고객이 사용할 수 있는 AI 도우미와 액세스할 수 있는 데이터를 제어할 수 있습니다. 이를 통해 AI는 전문가가 설정한 경계 내에서 작동합니다.

AI는 자신의 한계를 인정하도록 설계되어 사용자가 필요할 때 전문가의 도움을 받도록 권장합니다.



전문가를 위한 AI 도우미

전문가를 위한 AI 도우미는 지능적인 비서 역할을 합니다.

- 복잡한 바이오마커를 고객에게 설명하는 데 도움을 줍니다.
- 고객 데이터를 기반으로 추가 검사를 제안합니다.
- 명상 기법이나 약초 요법을 추천합니다.
- 프로의 결정을 수정할 수는 없지만 설명할 수 있는 기능을 갖춘 AI 도우미를 고객에게 제공하여 설명 과정을 간소화합니다.

프로가 고객의 기록을 작업할 때 AI 도우미는 고객 데이터를 받아 프로의 보조자 역할을 합니다.

AI 도우미 액세스하기

AI 도우미는 다음에서 액세스할 수 있습니다:

- 홈페이지: 일반적인 안내 또는 기본 프로그램 생성을 위해.
- 공개 녹화: 특정 바이오마커를 분석하고 설명하기 위해, 분석에 대한 자세한 인사이트를 제공하기 위해.

AI 도우미 사용 사례

기본 프로그램 만들기:

- 홈페이지에서 AI 도우미 섹션으로 이동합니다.
- AI 도우미(예: 수면 코치, 명상 가이드)를 선택합니다.
- 대화에 참여하여 필요한 사항을 설명합니다(예: "스트레스를 받고 있어 긴장을 푸는 데 도움이 필요해요").
- AI가 맞춤형 기본 프로그램을 생성하여 '기본 프로그램' 섹션에 저장합니다.

바이오마커 설명하기:

- 녹음을 열고 '결론' 아래의 AI 도우미 섹션으로 이동합니다.
- 탐색하려는 바이오마커와 관련된 AI 도우미를 선택합니다(예: 경락에 대한 한의사).
- AI가 기록에서 계산된 바이오마커를 기반으로 자세한 설명과 권장 사항을 제공합니다.

예시: 맞춤형 차 또는 에센셜 오일 블렌드 허브 전문가 또는 에센셜 오일 전문가 AI 도우미를 사용하면 AI가 관련 바이오마커를 분석하여 맞춤형 차 블렌드 또는 에센셜 오일 레시피를 제안합니다.

AI 도우미의 제한 사항

- AI 도우미는 기록이나 분석 결과를 수정할 수 없습니다. 기존 데이터를 기반으로 설명과 안내를 제공하도록 설계되었습니다.
- 각 AI 도우미에게 제공되는 초기 바이오마커 세트는 해당 전문 영역으로 제한됩니다. 하지만 필요한 경우 대화 중에 AI가 추가 바이오마커를 요청할 수 있습니다.

고급 기능

요약 및 보고서 통합:

- 대화가 끝나면 AI 도우미는 토론에 대한 요약물을 생성합니다.
- 전문가는 나중에 참조할 수 있도록 이 요약물을 고객의 PDF 보고서에 포함하도록 선택할 수 있습니다.

피드백 및 평가:

- 각 상호 작용이 끝난 후 사용자는 AI 도우미의 유용성과 질의 해결 성공 여부를 평가할 수 있습니다. 이 피드백은 AI의 성능을 개선하는 데 도움이 됩니다.

고객을 위한 맞춤형 AI 액세스:

- 전문가는 고객을 위해 특정 AI 도우미를 활성화 또는 비활성화할 수 있습니다.
- 또한 고객이 개인 가이드, 하모닉 부스트 또는 전체 보고서와 같은 기능에 액세스할 수 있는지 여부를 제어할 수도 있습니다.

기술 노트

- AI 도우미 데이터 처리: 각 AI 도우미는 도메인에 따라 사용자 바이오마커의 5%에서 10%를 수신합니다. 이를 통해 집중적이고 관련성 높은 안내를 받을 수 있습니다.
- AI 도우미는 대규모 언어 모델을 기반으로 하는 도구이며 의료 전문가가 답변을 검증하지 않습니다. 답변의 정확성은 항상 검증되어야 합니다.

- 현재 26개의 AI 도우미를 사용할 수 있지만 시스템이 실행 중이므로 새로운 도우미를 추가하는 것은 매우 쉬우므로 AI 도우미에 추가하고 싶은 분야가 있으면 문의해 주세요.

결론

바이오코히어런스의 AI 도우미는 전문가와 개인 사용자 모두를 위한 강력한 도구입니다. 고급 AI 기능을 활용하여 복잡한 분석을 간소화하고, 실행 가능한 인사이트를 제공하며, 사용자 요구에 맞는 맞춤형 프로그램을 만들 수 있습니다. 시스템이 발전함에 따라 새로운 기능과 개선 사항이 지속적으로 추가되어 사용자 경험을 향상시킬 것입니다.

부록 1.

자주 묻는 질문

앱에서 도움을 받는 방법

앱의 어느 페이지에서든 도움을 요청하거나 제안을 보내려면 오른쪽 상단 메뉴를 열고 '피드백 및 아이디어'를 클릭하세요. '스크린샷에 주석 달기'를 클릭하여 현재 보고 있는 페이지의 스크린샷을 추가하고 이 주석이 달린 스크린샷을 요청에 추가할 수 있습니다. 그러면 훨씬 더 쉽게 도와드릴 수 있습니다!

제 가족이나 고객이 맞춤형 명상에 액세스하려면 어떻게 해야 하나요?

맞춤형 명상에 액세스하려면 biocoherence.net/install 또는 App Store 또는 Play 스토어에서 앱을 설치해야 합니다. 자녀를 위한 계정을 만들어 초대할 수 있으며, 자녀가 올바른 계정으로 초대장을 받을 수 있도록 계정에 자녀의 이메일을 입력하세요. 그런 다음 분석에 상대방을 연락처로 추가하여 분석을 공유할 수 있습니다. 생성한 계정에 지정한 이메일로 앱에 로그인하면 앱의 홈 페이지 또는 '기록된 분석' 아래에서 이 분석을 찾을 수 있습니다.

분석이 완료되면 BioCoherence 앱의 "균형" 색션에서 최적의 결과를 위해 음성 안내와 주파수를 결합한 오디오를 통해 밸런싱 명상을 들을 수 있습니다.

바이오키어런스 제휴 프로그램

바이오키어런스 제휴 프로그램에 오신 것을 환영합니다! 최첨단 기술의 이점을 청중과 공유하는 데 동참하게 되어 기쁘게 생각합니다. 이 프로그램을 통해 다른 사람들이 건강과 웰니스에 대한 혁신적인 접근 방식을 발견하도록 돕는 동시에 커미션도 받을 수 있습니다.

시작하기

1. 계정에 로그인합니다: https://biocoherence.net/s0_login/ 방문 ²
2. 제휴 페이지에 액세스합니다: <https://biocoherence.net/n119/> 으로 이동합니다. 이곳이 개인 제휴 허브입니다.

여기에서 방법을 포함하여 필요한 모든 도구와 정보를 찾을 수 있습니다:

- 초대 코드를 생성하고 관리합니다.
- 커미션을 추적합니다.
- 제휴 네트워크를 성장시키세요.

제휴 프로그램 소개

저희 프로그램은 직접 판매 및 다양한 구매 유형에 대해 **구독 기반 커미션**을 제공합니다. 또한 새로운 제휴사를 프로그램에 추천하면 추가 인센티브를 받을 수 있습니다

직접 판매에 대한 구독 커미션

초대 코드를 공유하면 코드를 등록한 사용자의 구독 및 기타 구매에 대한 커미션을 받을 수 있습니다. 이 프로그램은 코드를 사용하여 가입하는 신규 사용자에게 특권과 인센티브를 제공하여 판매자와 고객 모두에게 보상을 제공하도록 설계되었습니다

추가 구매

바이오키어런스 플랫폼을 통해 보고서, 테스트, 하드웨어 등의 구매에 대한 커미션을 적립하세요. 이러한 보상을 통해 추천한 사용자의 모든 거래에서 혜택을 받을 수 있습니다

참고: 지역 독점권이 적용되는 품목의 경우, 수수료 및 고객 송장은 현지 독점 유통업체를 통해 처리됩니다. 요금은 유통업체 정책에 따라 달라질 수 있습니다. 자세한 내용은 biocoherence.net/distributors/ 참조하세요

초대 코드 관리

제휴 관리 페이지에서 여러 개의 코드를 생성하여 소셜 미디어, 동영상, 블로그 등 다양한 채널에 배포할 수 있습니다. 이를 통해 각 코드의 성과를 추적하고 노력을 최적화할 수 있습니다

바이오키어런스는 어떤 용도로 설계되지 않았나요?

바이오키어런스는 특정 의학적 상태를 진단하거나 기존의 의학적 조언을 대체하기 위한 것이 아닙니다. 일부 바이오키어는 공식적인 학술 의학 연구에서 파생된 것이지만, 근본 원인을 빠르게 이해하고 파악할 수 있는 도구를 제공하는 것이 주요 목적입니다. 이를 통해 사용자는 스스로를 도울 수 있으며 필요한 경우 고급 치료사와 연락할 수 있습니다.

분석이 130초 이상 지속되어야 하는 경우 분석 프로세스가 완료되도록 보장하는 가장 좋은 방법은 무엇인가요?

정확한 결과를 얻으려면 분석이 최소 130초 이상 지속되어야 합니다 (최소 128개의 유효한 심장 박동이 필요합니다). 스캔 하단의 진행률 표시줄은 각 스캔 유형에 필요한 시간을 나타냅니다. 막대가 녹색으로 채워져 분석이 완료된 것처럼 보이더라도 분석이 전체 시간 동안 실행되었는지 확인하세요. 정확한 결과를 얻으려면 분석이 전체 시간 동안 실행되는 것이 중요합니다.

어떤 결과가 측정되거나 보고되었나요?

현재 바이오키어런스는 베타 버전이며, 초기 테스트를 통해 그 효과를 검증하는 긍정적인 피드백을 받았습니다. 그 효과를 검증하고 사용을 확대하기 위해 피드백을 수집하고 있습니다. 고객 평가와 구체적인 사례 연구는 데이터가 수집되는 대로 공개될 예정입니다.

초급용과 고급용은 어떤 차이가 있나요?

초급 사용: Me Play (자동 분석 또는 테스트, 바이오 피드백으로 강화된 자동 개인 맞춤형 명상), 고급 사용: Pro(40개의 그래픽 페이지, 링크, 리소스, 우선순위 식별 및 수정, 사용자와 치료사 간의 연결을 위한 Pro 디렉토리). 향후 기능에는 여러 사용자를 위한 비교 스캔과 동시 명상 기능이 추가될 예정입니다.

앱 설치 및 첫 실행

- Windows, Mac 또는 Linux에서: [Biocoherence.net/install](https://biocoherence.net/install)에서 설치 파일을 다운로드합니다⁶
- iPad, iPhone 또는 Android의 경우: [Biocoherence.net/install/](https://biocoherence.net/install/) 지침을 따르세요. 앱 스토어에서 클릭 한 번으로 설치가 완료됩니다.

설치 후

설치가 완료된 후에도 여전히 문제가 발생할 수 있습니다.

1. **앱을 찾을 수 없나요?** Mac의 경우 '응용 프로그램'에 있는 '바이오코히어런스'라는 이름의 앱입니다. Windows와 Linux에서는 시작 메뉴에 있습니다. iPad, iPhone 및 Android에서는 홈 화면에 추가되며 검색을 통해서도 찾을 수 있습니다.
2. **앱이 실행되지 않나요?** 컴퓨터나 태블릿의 속도가 너무 느리거나 호환되지 않는 문제가 있습니다.
3. **로그인할 수 없나요?** 계정이 있는 경우 로그인 화면에서 '비밀번호 분실'을 클릭하세요. 비밀번호를 재설정할 수 있는 링크가 전송됩니다. 계정이 없는 경우 앱 내에서 비밀번호를 새로 만들 수 있습니다.

BioCoherence에서 Spooky의 주파수 프로토콜을 사용할 수 있나요?

예, BioCoherence는 Spooky에서 사용하는 라이프 기반 테이블을 포함하여 다양한 소스의 많은 주파수 프로토콜을 통합했습니다. 앞으로 BioCoherence는 Spooky 장치가 이미터 역할을 할 수 있도록 하여 BioCoherence에서 오디오를 내보내고 이를 Spooky에 직접 공급할 수 있도록 하는 것을 목표로 하고 있습니다. 가능한 한 많은 장치에 개방하고 해당 장치가 개방되면 직접 인터페이스할 수 있도록 할 계획입니다. 어쨌든 주파수 프로그램의 오디오 내보내기를 통해 다양한 장치에서 주파수를 재생할 수 있습니다.

현재 사용하고 있는 기술을 '대체'할 수 있나요?

바이오코히어런스는 사용자의 특정 요구에 따라 다른 바이오피드백 및 건강 분석 도구를 대체하거나 보완할 수 있습니다. 특히 난수 생성기를 기반으로 하는 대부분의 기기를 대체할 수 있지만 와 같이 구체적이고 효과적이며 입증된 작동 방식을 가진 다른 기기를 대체할 수는 없습니다. 이 경우 두 장치를 서로 다른 사용 사례에 사용하는 것이 유용할 수 있습니다.

스캔마다 결과가 다를 때 클라이언트의 중심 테마에 대한 정보를 얻으려면 어떻게 해야 하나요?

클라이언트의 중심 테마에 대한 정보를 얻으려면 여러 스캔을 비교하는 것이 도움이 될 수 있습니다. 여러 스캔에서 일관된 패턴이나 반복되는 문제를 찾아 중심 테마를 파악하세요. Mederic 은 클라이언트의 핵심 문제를 보다 포괄적으로 파악하려면 스캔의 추세를 살펴보는 것이 중요하다고 언급했습니다.

결과는 일반적으로 여러 스캔에서 매우 일관되게 나타나며, 링크의 변화와 시스템의 상대적 에너지 또는 동요가 나타납니다. 이러한 변화는 정상이며 진행 상황을 나타냅니다. 실제로 애플리케이션에서 여러 스캔을 나란히 비교하여 특정 치료가 적용되기 전과 후에 특정 바이오마커가 어떻게 변화하는지 확인할 수 있습니다.

고객이 진료실 밖에서 자신의 보고서에 액세스하려면 어떻게 해야 하나요? 고객이 보고서를 검토하고 명상에 액세스하려면 어떻게 해야 하나요?

고객은 앱을 통해 자신의 보고서와 명상에 액세스할 수 있습니다. 의료인이 고객의 액세스를 활성화하는 방법은 다음과 같습니다:

- 앱에서 고객을 새 연락처로 추가합니다:
 - 프로필 사진 옆에 있는 두 개의 화살표를 클릭하여 "연락처"에 액세스합니다.
 - 고객의 이메일 주소를 포함하여 새 연락처를 만듭니다.
- 고객의 프로필 아래에서 스캔을 수행합니다.
- 보고서를 공유합니다:
 - 완료된 보고서를 열고 "공유 대상" 옵션을 선택합니다.
 - 로그인 정보와 함께 앱 다운로드 링크가 포함된 초대 이메일을 고객에게 보냅니다.

고객이 로그인하면 보고서를 검토하고 앱에서 바로 명상에 액세스할 수 있습니다. 또한 원격 테스트(센서를 사용하여 로컬 테스트)를 수행할 수 있으며, 그 결과를 소프트웨어로 다시 받을 수 있습니다.

내 가족이나 고객이 생성된 사용자 지정 주파수를 어떻게 사용할 수 있나요?

사용자 지정 주파수를 가족이나 고객과 공유하려면 다음 단계를 따르세요:

- BioCoherence 앱에서 주파수 보고서를 볼 때 주파수 세션의 오디오 파일을 내보냅니다.
- 그런 다음 메시징, 이메일 또는 기타 통신 방법을 통해 오디오 파일을 공유할 수 있습니다.

고객이나 가족에게 앱을 설치하도록 초대하여 분석을 공유할 수도 있습니다. 이를 위해 고객의 이메일로 고객 계정을 만들 수 있습니다.

바이오코히어런스는 어떻게 다른가요?

BioCoherence는 고급 수학적 알고리즘과 심전도 기술을 결합하여 상세한 건강 인사이트를 제공합니다. 신체의 전기 신호에 대한 다단계 분석을 제공하며 에너지/신체/정신 접근 방식, 여러 그래픽 디스플레이, 바이오마커 간의 연결 고리를 포함하는 것이 특징입니다. 또한 바이오피드백에 맞춘 명상과 주파수도 포함되어 있습니다.

앱 업데이트 방법

문제가 이미 해결되었을 수 있으므로 항상 최신 업데이트를 사용하세요 - 또는 이미 구현된 여러분의 아이디어!

사용 중인 플랫폼에 따라 업데이트가 다르게 수행됩니다:

베타 버전

- 테스트플라이트에서 베타 버전을 사용하는 경우: 업데이트가 있을 때마다 알림을 받게 됩니다. TestFlight를 실행하고 "업데이트"를 클릭합니다.
- TestFlight 외부에서 Mac, Windows 또는 Linux용 베타 버전을 설치한 경우: biocoherence.net/beta로 이동하여 최신 버전의 설치 프로그램을 다운로드한 후 설치 프로그램을 실행합니다. 모든 데이터는 보존됩니다.

공개 버전

- TestFlight 외부에서 Mac, Windows 또는 Linux용 공개 버전을 설치한 경우: biocoherence.net/install으로 이동하여 최신 버전 설치 프로그램을 다운로드하고 설치 프로그램을 실행합니다. 모든 데이터는 보존됩니다.
- App Store 또는 Play 스토어에서 공개 버전을 사용하는 경우: App Store 또는 Play 스토어를 열고 해당 페이지에서 앱을 업데이트합니다.

BioCoherence로 블루투스 연결 문제 해결하기

BioCoherence의 Bluetooth 연결에 문제가 있는 경우 다음 문제 해결 단계를 따라 원활한 설정을 확인하세요:

1. <https://biocoherence.net/s/login>
 2. <https://biocoherence.net/s/login>
 3. <https://biocoherence.net/in119>
 4. <https://biocoherence.net/distributors>
 5. <https://biocoherence.net/install>
 6. <https://biocoherence.net/install>
 7. <https://biocoherence.net/install>
 8. <https://biocoherence.net/beta>
 9. <https://biocoherence.net/install>

일반 지침

- **먼저 프로세스를 실행합니다**
 - BioCoherence 앱에서 녹음 또는 테스트를 실행하여 시작하세요. 많은 연결 문제는 센서를 너무 일찍 연결하려고 시도할 때 발생합니다.
 - 앱은 기록 또는 테스트를 시작하면 연결 프로세스를 자동으로 관리하도록 설계되어 있습니다.
- **시스템 설정을 피하세요**
 - 장치의 시스템 설정을 통해 블루투스 센서 연결을 시도하지 마세요. 중단을 방지하려면 앱이 이 프로세스를 처리하도록 하세요.
- **블루투스가 활성 상태인지 확인합니다**
 - **Windows:** 설정 패널 또는 오른쪽 하단 작업 표시줄의 Bluetooth 바로 가기를 통해 Bluetooth를 켭니다.
 - **Mac:** 오른쪽 상단 메뉴 모음에서 Bluetooth를 활성화합니다. 시스템 설정에서 바이오코히어런스에 블루투스 권한이 부여되었는지 확인합니다.
 - **iOS/Android:** 일반적으로 Wi-Fi 옵션 근처에 있는 디바이스의 설정 메뉴에서 블루투스를 켭니다.
- **엄지손가락을 적시십시오**
 - **중요:** 엄지손가락에 물이나 전도성 젤을 적당히 적셔주세요. 이렇게 하면 연결 상태가 향상되고 정확한 센서 판독값을 얻을 수 있습니다.

단계별 문제 해결

1. **블루투스를 활성화합니다**
 - 이 단계에서 멈춘 경우 다음을 확인하세요.
 - 장치에 활성 Bluetooth 칩이 있습니다.
 - Bluetooth가 켜져 있고 작동 중입니다.
2. **센서를 켭니다**
 - 크래들에서 분리하면 센서의 전원이 자동으로 켜집니다. 센서에 물기를 묻힌 엄지손가락을 올려놓습니다. 보통 1~2초 이내에 연결됩니다. 연결되지 않는 경우
 - 앱에서 **블루투스 다시 시작**을 클릭합니다.
 - 엄지손가락을 떼었다가 센서에 다시 올려놓습니다.
3. **연결 상태**
 - 앱은 블루투스 패널에 단계별 표시를 제공합니다.
 - **Bluetooth를 활성화합니다:** 블루투스가 켜져 있는지 확인합니다.
 - **센서 켜기:** 앱이 센서를 연결할 준비가 되었습니다.
 - **센서 연결됨:** 센서가 성공적으로 연결되고 준비되었습니다.
 - **예비 데이터 교환:** 앱이 배터리 상태 및 일련 번호와 같은 초기 데이터를 수신했습니다.
 - **활성 데이터:** ECG 데이터를 수신 중이며 기록 또는 테스트가 시작됩니다.
4. **여러 장치 연결 처리**
 - 센서가 이전에 여러 장치와 페어링된 경우 간섭을 방지하기 위해 사용하지 않는 장치에서 Bluetooth를 비활성화합니다.

추가 참고 사항

- **최초 인증**
 - 앱을 처음 실행할 때 메시지가 표시되면 Bluetooth 권한을 부여하세요. 실수로 이러한 권한을 거부한 경우
 - 시스템 환경설정에서 권한을 조정하세요.
 - 또는 앱을 삭제했다가 다시 설치하여 권한을 재설정합니다.
- **센서 연결 해제**
 - 사용 중에 센서 연결이 끊어지면 확인하세요
 - 배터리 잔량.
 - 엄지손가락이 센서에 제대로 놓여 있는지 확인합니다.

이 단계를 따르고 엄지손가락이 적절히 젖어 있는지 확인하면 대부분의 Bluetooth 연결 문제를 해결하고 BioCoherence를 원활하게 사용할 수 있습니다. 문제가 지속되면 지원팀에 연락하여 추가 지원을 요청하세요.

바이오코히어런스의 가격은 어떻게 되나요?

BioCoherence는 최대한의 가격 유연성을 제공합니다. 무료로 시작한 다음 자신에게 가장 적합한 요금제를 선택할 수 있습니다. 모든 요금제에 대한 자세한 설명은 biocoherence.net/price에서¹⁰ 확인할 수 있습니다.

무료 플랜

무료 요금제를 사용하면 무제한 녹음을 하고 프로와 연결하여 맞춤형 명상 1개를 받을 수 있습니다. 스캔의 경우 일부 일반 정보 페이지를 열 수 있지만 대부분의 페이지는 흐리게 표시되므로 보고서 하나를 구입하여 잠금을 해제할 수 있습니다. Apple Watch 또는 센서로 기록을 할 수 있습니다. 또한 테스트 카탈로그에 액세스하여 원하는 테스트에 대한 비용을 지불하도록 선택할 수도 있습니다.

무료 요금제를 사용하려면 앱을 설치하고¹¹ 무료 계정을 만들지만 하면 됩니다.

더 자세한 정보를 원하신다면 유료 요금제를 이용하세요:

개인용 유료 요금제

웹사이트에서 가격을 확인하세요. 가격은 약정 없이 월 단위로 평생 라이선스가 제공되며, 모든 업데이트가 평생 포함됩니다. 리베이트가 포함된 연간 요금제도 있습니다.

- Me Play는 주파수와 명상을 무제한으로 재생할 수 있습니다.
- Me Essential은 최대 2개의 계정에 대해 무제한 스캔 및 밸런싱(명상 및 주파수)을 허용하며, 보고서의 필수 화면과 무료 테스트에 액세스할 수 있습니다. 원하는 경우 전체 보고서와 유료 테스트를 구매할 수 있습니다.
- 나 맞춤형은 원하는 3개의 화면을 항상 잠금 해제할 수 있습니다.
- Me Plus는 최대 6명까지 무제한 전체 스캔 화면, 편집 가능한 리소스 및 우선순위, 사용자 지정 밸런싱 기능을 제공합니다.

전문가용 유료 요금제

- Pro Essential은 무제한 스캔(로컬 또는 원격)과 무제한 클라이언트 수에 대한 밸런싱을 허용하며 보고서의 필수 화면과 기본 테스트 생성에 액세스할 수 있습니다. 전체 보고서와 유료 테스트는 원하는 대로 구매할 수 있습니다.
- 프로 커스텀은 원하는 3개의 화면을 항상 잠금 해제할 수 있습니다.
- Pro Plus는 무제한 전체 스캔(로컬 또는 원격), 무제한 클라이언트 수, 편집 가능한 리소스 및 우선순위, 사용자 지정 밸런싱, 수의 창출을 포함한 전체 테스트 생성을 위한 모든 화면을 무제한으로 제공합니다.
- Med는 의학적으로 검증된 심전도 바이오마커에만 집중합니다.

요금제에 대한 자세한 내용은 biocoherence.net/price에서¹² 확인하세요

바이오코히어런스가 가장 잘하는 것은 무엇인가요?

BioCoherence 소프트웨어는 신체의 전기 및 자기 활동에 대한 종합적인 분석을 제공하여 다양한 바이오마커와 전반적인 건강 상태에 대한 통찰력을 제공하는 데 탁월합니다. 자원, 우선순위, 기관 간의 연관성을 강조하는 이 소프트웨어는 다양한 분야의 복잡한 데이터를 치료사가 일상적으로 사용할 수 있도록 간단한 그래픽 방식으로 표시합니다. 다단계 분석을 위해 고급 수학적 연산을 독점적으로 사용하여 신체의 전기 센서(심전도)에서 직접 의미 있는 데이터를 추출합니다. 이렇게 파악된 자원과 우선순위를 바탕으로 맞춤형 가이드 명상 및 리밸런싱 프로토콜을 제안할 수 있습니다.

생성된 파일의 품질은 어떤가요?

모든 기능을 갖춘 실시간 신디사이저와 시퀀서를 포함하여 앱 내에서 고품질 사운드를 생성하는 데 중점을 두고 있습니다. 이러한 도구는 이미 앱에서 소음, 주파수 및 녹음된 안내 명상에 대해 사용할 수 있습니다. 생성된 매개변수는 지속적으로 개발 중입니다. 음악은 명상 및 동시 그룹 세션을 위한 튜닝을 지원합니다.

스캔을 완료한 후에도 센서가 파란색 또는 녹색으로 계속 깜박이는 이유는 무엇인가요?

센서를 센서 케이스에 다시 넣으면 자동으로 전원이 꺼집니다. 센서는 사용법이 매우 간단하도록 설계되었기 때문에 전원을 켜고 끄는 것에 대해 걱정할 필요도 없습니다. 스캔이 완료된 후 몇 초 또는 최대 1분 동안 녹색 또는 파란색으로 계속 깜박이는 것을 볼 수 있지만, 그 후 종료되고 다음 스캔이 시작될 때까지 기다립니다.

10. <https://biocoherence.net/price>
11. <https://biocoherence.net/install>

스캔하는 동안 가끔 블루투스 연결이 실패하는 이유는 무엇인가요?

스캔하는 동안 Bluetooth 연결에 문제가 발생하는 경우, BioCoherence 스캐너가 여러 디바이스와 페어링되었기 때문일 수 있습니다. 이 경우 스캐너가 현재 사용 중이 아닌 장치에 연결을 시도할 수 있습니다. 이 문제를 해결하려면 이전에 BioCoherence 스캐너에 연결되었던 다른 디바이스에서 Bluetooth가 완전히 꺼져 있는지 확인합니다. 이렇게 하면 스캐너가 올바른 장치에 원활하게 연결되므로 중단 없이 스캔을 진행할 수 있습니다.
문제를 방지하려면 먼저 앱에서 새 녹음이나 테스트를 시작하여 블루투스 연결 프로세스를 시작한 다음 센서를 잡는 것이 매우 중요합니다. 센서에 엄지 손가락을 대면 전원이 켜지고 이 시점에서 이미 연구 모드에 있는 앱에 자동으로 연결됩니다.

어떤 계정 유형을 사용하여 기생충을 감지할 수 있나요?

이 기능은 전문 사용자만 사용할 수 있습니다. 이 정보는 전문가의 해석이 필요하며, 정확하고 책임감 있는 사용을 보장하기 위해 노력하고 있습니다. 이 기능은 기생충의 존재를 직접 관찰하는 것이 아니라 에너지 평가의 한계를 벗어나지 않습니다.

부록 2.

관련 연구 목록

다음 링크에 액세스할 수 있습니다 biocoherence.net/studieslist

침술, 경락

H. M. Langevin and J. A. Yandow, *Anat. Rec. (New Anat.)* 269, 257 (2002). [DOI¹](#), [Crossref²](#)

Banes AJ, Tsuzaki M, Yamamoto J, et al. 1995. Mechanoreception at the cellular level: The detection, interpretation and diversity of responses to mechanical signals. *Biochem Cell Biol* 73:349–365. [Crossref³](#) [PubMed⁴](#) [Web of Science⁵](#)

Bonassar LJ, Stinn JL, Paguio CG, et al. 1996. Activation and inhibition of endogenous matrix metalloproteinases in articular cartilage: Effects on composition and biophysical properties. *Arch Biochem Biophys* 333: 359–367. [Crossref⁶](#) [PubMed⁷](#) [Web of Science⁸](#)

Brand RA. 1997. What do tissues and cells know of mechanics? *Ann Med* 29: 267–269. [Crossref⁹](#) [PubMed¹⁰](#) [Web of Science¹¹](#)

Bossy J. 1984. Morphological data concerning the acupuncture points and channel network. *Acupunct Electrother Res* 9: 79–106. [PubMed¹²](#) [Web of Science¹³](#)

Cheng X. 1987. Chinese acupuncture and moxibustion. Beijing: Foreign Language Press.

Chicurel ME, Chen CS, Ingber DE. 1998. Cellular control lies in the balance of forces. *Curr Opin Cell Biol* 10: 232–239. [Crossref¹⁴](#) [PubMed¹⁵](#) [Web of Science¹⁶](#)

Chiquet M. 1999. Regulation of extracellular matrix gene expression by mechanical stress. *Matrix Biol* 18: 417–426. [PubMed¹⁷](#) [Web of Science¹⁸](#)

Cieczek LSW, Szopinski J, Skrzypulec V. 1985. Investigations of morphological structures of acupuncture points and meridians. *J Trad Chin Med* 5: 289–292.

Comunetti A, Laage S, Schiessl N, Kistler A. 1995. Characterization of human skin conductance at acupuncture points. *Experientia* 51: 328–331. [Crossref¹⁹](#) [PubMed²⁰](#) [Web of Science²¹](#)

Dung HC. 1984. Anatomical features contributing to the formation of acupuncture points. *Am J Acupunct* 12: 139–143. [Web of Science²²](#)

Giancotti FG, Ruoslahti E. 1999. Integrin signaling. *Science* 285: 1028–1032. [Crossref²³](#) [PubMed²⁴](#) [Web of Science²⁵](#)

1. <https://doi.org/10.1002/ar.10185>

2. https://aip.scitation.org/serivet/linkout?suffix=c26_c26_1&dbid=16&doi=10.1063/1.4991499&key=10.1002/ar.10185

3. <https://onlinelibrary.wiley.com/serivet/linkout?suffix=null&dbid=16&doi=10.1002/ar.10185&key=10.1139/o95-043>

4. <https://onlinelibrary.wiley.com/serivet/linkout?suffix=null&dbid=8&doi=10.1002/ar.10185&key=8703408>

5. <https://onlinelibrary.wiley.com/serivet/linkout?suffix=null&dbid=128&doi=10.1002/ar.10185&key=A1995T760300006>

6. <https://onlinelibrary.wiley.com/serivet/linkout?suffix=null&dbid=16&doi=10.1002/ar.10185&key=10.1006/abbi.1996.0402>

7. <https://onlinelibrary.wiley.com/serivet/linkout?suffix=null&dbid=8&doi=10.1002/ar.10185&key=8809074>

8. <https://onlinelibrary.wiley.com/serivet/linkout?suffix=null&dbid=128&doi=10.1002/ar.10185&key=A1996VJ77600006>

9. <https://onlinelibrary.wiley.com/serivet/linkout?suffix=null&dbid=16&doi=10.1002/ar.10185&key=10.3109/07853899708999346>

10. <https://onlinelibrary.wiley.com/serivet/linkout?suffix=null&dbid=8&doi=10.1002/ar.10185&key=9375981>

11. <https://onlinelibrary.wiley.com/serivet/linkout?suffix=null&dbid=128&doi=10.1002/ar.10185&key=A1997XZ104000003>

12. <https://onlinelibrary.wiley.com/serivet/linkout?suffix=null&dbid=8&doi=10.1002/ar.10185&key=6148847>

13. <https://onlinelibrary.wiley.com/serivet/linkout?suffix=null&dbid=128&doi=10.1002/ar.10185&key=A1984TF83000001>

14. [https://onlinelibrary.wiley.com/serivet/linkout?suffix=null&dbid=16&doi=10.1002/ar.10185&key=10.1016/S0955-0674\(98\)80145-2](https://onlinelibrary.wiley.com/serivet/linkout?suffix=null&dbid=16&doi=10.1002/ar.10185&key=10.1016/S0955-0674(98)80145-2)

15. <https://onlinelibrary.wiley.com/serivet/linkout?suffix=null&dbid=8&doi=10.1002/ar.10185&key=9561847>

16. <https://onlinelibrary.wiley.com/serivet/linkout?suffix=null&dbid=128&doi=10.1002/ar.10185&key=000073043200010>

17. <https://onlinelibrary.wiley.com/serivet/linkout?suffix=null&dbid=8&doi=10.1002/ar.10185&key=10601729>

18. <https://onlinelibrary.wiley.com/serivet/linkout?suffix=null&dbid=128&doi=10.1002/ar.10185&key=000084085600001>

19. <https://onlinelibrary.wiley.com/serivet/linkout?suffix=null&dbid=16&doi=10.1002/ar.10185&key=10.1007/BF01928888>

20. <https://onlinelibrary.wiley.com/serivet/linkout?suffix=null&dbid=8&doi=10.1002/ar.10185&key=7729497>

21. <https://onlinelibrary.wiley.com/serivet/linkout?suffix=null&dbid=128&doi=10.1002/ar.10185&key=A1995QU268000004>

22. <https://onlinelibrary.wiley.com/serivet/linkout?suffix=null&dbid=128&doi=10.1002/ar.10185&key=A1984SS059000005>

23. <https://onlinelibrary.wiley.com/serivet/linkout?suffix=null&dbid=16&doi=10.1002/ar.10185&key=10.1126/science.285.3430.1028>

24. <https://onlinelibrary.wiley.com/serivet/linkout?suffix=null&dbid=8&doi=10.1002/ar.10185&key=10446041>

25. <https://onlinelibrary.wiley.com/serivet/linkout?suffix=null&dbid=128&doi=10.1002/ar.10185&key=A1979GN78800013>

Gunn CC, Ditchburn FG, King MH, Renwick GJ. 1976. Acupuncture loci: A proposal for their classification according to their relationship to known neural structures. *Am J Chin Med* 4: 183–195. [Crossref²⁶](#) [PubMed²⁷](#)

Ho MW, Knight DP. 1998. The acupuncture system and the liquid crystalline collagen fibers of the connective tissues. *Am J Chin Med* 26: 251–263. [Crossref²⁸](#) [PubMed²⁹](#) [Web of Science³⁰](#)

Huan ZY, Rose K. 2001. A brief history of Qi. Brookline, MA: Paradigm Publications.

Kaphtchuk TJ. 2000. The web that has no weaver. Understanding Chinese medicine. Chicago: Contemporary Publishing Group, Inc.

Lai WM, Mow VC, Sun DD, Atesian GA. 2000. On the electric potentials inside a charged soft hydrated biological tissue: Streaming potential versus diffusion potential. *J Biomech Eng* 122: 336–346. [Crossref³¹](#) [PubMed³²](#) [Web of Science³³](#)

Langevin HM, Churchill DL, Cipolla MJ. 2001a. Mechanical signaling through connective tissue: A mechanism for the therapeutic effect of acupuncture. *FASEB J* 15: 2275–2282. [Wiley Online Library³⁴](#) [PubMed³⁵](#) [Web of Science³⁶](#)

Langevin HM, Churchill DL, Fox JR, Badger GJ, Garra BS, Krag MH. 2001b. Biomechanical response to acupuncture needling in humans. *J Appl Physiol* 91: 2471–2478. [Crossref³⁷](#) [PubMed³⁸](#) [Web of Science³⁹](#)

Langevin HM, Churchill DL, Wu J, Badger GJ, Yandow JA, Fox JR, Krag MH. 2002. Evidence of connective tissue involvement in acupuncture. *FASEB J* 16: 872–874. [Wiley Online Library⁴⁰](#) [PubMed⁴¹](#) [Web of Science⁴²](#)

Liu KY, Varela M, Oswald R. 1975. The correspondence between some motor points and acupuncture loci. *Am J Chin Med* 3: 347–358. [Crossref⁴³](#) [PubMed⁴⁴](#)

Matsumoto K, Birch S. 1988. Hara diagnosis: Reflections of the sea. Brookline: Paradigm Publications.

McCarroll GD, Rowley BA. 1979. An investigation of the existence of electrically located acupuncture points. *IEEE Trans Biomed Eng* 26: 177–182. [Crossref⁴⁵](#) [PubMed⁴⁶](#) [Web of Science⁴⁷](#)

Noordegraaf A, Silage D. 1973. Electroacupuncture. *IEEE Trans Biomed Eng* 20: 364–366. [Crossref⁴⁸](#) [PubMed⁴⁹](#) [Web of Science⁵⁰](#)

ar.10185&key=000082033100034

26. <https://onlinelibrary.wiley.com/serivet/linkout?suffix=null&dbid=16&doi=10.1002/ar.10185&key=10.1142/S0192415X76000238>

27. <https://onlinelibrary.wiley.com/serivet/linkout?suffix=null&dbid=8&doi=10.1002/ar.10185&key=937240>

28. <https://onlinelibrary.wiley.com/serivet/linkout?suffix=null&dbid=16&doi=10.1002/ar.10185&key=10.1142/S0192415X98000294>

29. <https://onlinelibrary.wiley.com/serivet/linkout?suffix=null&dbid=8&doi=10.1002/ar.10185&key=9862013>

30. <https://onlinelibrary.wiley.com/serivet/linkout?suffix=null&dbid=128&doi=10.1002/ar.10185&key=00007302300001>

31. <https://onlinelibrary.wiley.com/serivet/linkout?suffix=null&dbid=16&doi=10.1002/ar.10185&key=10.1115/1.1286316>

32. <https://onlinelibrary.wiley.com/serivet/linkout?suffix=null&dbid=8&doi=10.1002/ar.10185&key=11036556>

33. <https://onlinelibrary.wiley.com/serivet/linkout?suffix=null&dbid=128&doi=10.1002/ar.10185&key=00016711100006>

34. <https://onlinelibrary.wiley.com/doi/10.1096/fj.01-0015hyp>

35. <https://onlinelibrary.wiley.com/serivet/linkout?suffix=null&dbid=8&doi=10.1002/ar.10185&key=11641255>

36. <https://onlinelibrary.wiley.com/serivet/linkout?suffix=null&dbid=128&doi=10.1002/ar.10185&key=000171920400040>

37. <https://onlinelibrary.wiley.com/serivet/linkout?suffix=null&dbid=16&doi=10.1002/ar.10185&key=10.1152/jappl.2001.91.6.2471>

38. <https://onlinelibrary.wiley.com/serivet/linkout?suffix=null&dbid=8&doi=10.1002/ar.10185&key=11717207>

39. <https://onlinelibrary.wiley.com/serivet/linkout?suffix=null&dbid=128&doi=10.1002/ar.10185&key=000172484200008>

40. <https://onlinelibrary.wiley.com/doi/10.1096/fj.01-0925fje>

41. <https://onlinelibrary.wiley.com/serivet/linkout?suffix=null&dbid=8&doi=10.1002/ar.10185&key=11967233>

42. <https://onlinelibrary.wiley.com/serivet/linkout?suffix=null&dbid=128&doi=10.1002/ar.10185&key=000175425900017>

43. <https://onlinelibrary.wiley.com/serivet/linkout?suffix=null&dbid=16&doi=10.1002/ar.10185&key=10.1142/S0192415X75000426>

44. <https://onlinelibrary.wiley.com/serivet/linkout?suffix=null&dbid=8&doi=10.1002/ar.10185&key=1202933>

45. <https://onlinelibrary.wiley.com/serivet/linkout?suffix=null&dbid=16&doi=10.1002/ar.10185&key=10.1109/TBME.1979.326392>

46. <https://onlinelibrary.wiley.com/serivet/linkout?suffix=null&dbid=8&doi=10.1002/ar.10185&key=521032>

47. <https://onlinelibrary.wiley.com/serivet/linkout?suffix=null&dbid=128&doi=10.1002/ar.10185&key=A1979GN78800013>

NIH Consensus Statement. 1997. Acupuncture. Bethesda, MD: NIH. 15: 1– 34.

O'Connor J, Bensky D. 1981. Acupuncture, a comprehensive text (Shanghai College of Traditional Medicine) Seattle: Eastland Press.

Oschman JL. 1993. A biophysical basis for acupuncture. Proceedings of the First Symposium of the Committee for Acupuncture Research.

Pomeranz B. 2001. Acupuncture analgesia-basic research. In: G Stux, R Hammerschlag, editors. Clinical acupuncture-scientific basis. Berlin: Springer-Verlag.

Rabichong P, Niboyet JEH, Terral C, Senelar R, Casez R. 1975. Bases experimentales de l'analgésie acupunctureale. *Nouv Presse Med* 4: 2021– 2026. [PubMed⁵¹](#) [Web of Science⁵²](#)

Reishmanis M, Marino AA, Becker RO. 1975. Electrical correlates of acupuncture points. *IEEE Trans Biomed Eng* 22: 533– 535. [Crossref⁵³](#) [PubMed⁵⁴](#) [Web of Science⁵⁵](#)

Senelar R. 1979. Les caractéristiques morphologiques des points chinois. In: JEH Niboyet, editor. *Nouveau traité d'acupuncture*. Paris: Maisonneuve.

Shanghai Medical University, Human Anatomy Department. 1973. A relationship between points of meridians and peripheral nerves: Acupuncture anaesthetic theory study. Shanghai: People's Republic Publishing House.

Swartz MA, Tschumperlin DJ, Kamm RD, Drazen JM. 2001. Mechanical stress is communicated between different cell types to elicit matrix remodeling. *Proc Natl Acad Sci USA* 98: 6180– 6185. [Crossref⁵⁶](#) [PubMed⁵⁷](#) [Web of Science⁵⁸](#)

Ulett GA, Han S, Han JS. 1998. Electroacupuncture: mechanisms and clinical applications. *Biol Psych* 44: 129– 138. [PubMed⁵⁹](#) [Web of Science⁶⁰](#)

Veith I. 1949. The yellow emperor's classic of internal medicine. Berkeley: University of California Press.

Yang J. 1601. The golden needle and other odes of traditional acupuncture, 1601. Translated by R Bertschinger. Edinburgh: Churchill Livingstone.

Quyen Manh Nguyen, Tuan Hoang Nguyen, Lam Van Tran, Tin Thanh Dang, Anh Dinh, Device to Detect Acupuncture Points in the Feet Soles for Massage Treatment, 8th International Conference on the Development of Biomedical Engineering in Vietnam, 10.1007/978-3-030-75506-5_1, (3-13), (2022). [Crossref⁶¹](#)

Yung-Sheng Yen, Han-Yi Cheng, Hung-Ta Lin, Evaluation of Stress on Acupuncture with Nano-Etched and Diamond-Like Carbon (DLC) Coating Surface Modifications, *Journal of Biomaterials and Tissue Engineering*, 10.1166/jbt.2022.2928, 12, 3, (489-493), (2022). [Crossref⁶²](#)

Gregory P. Casey, Anatomical characterization of acupoint large intestine 4, *The Anatomical Record*, 10.1002/ar.24681, 305, 1, (144-155), (2021). [Wiley Online Library⁶³](#)

Ajit B. Pai, Lori V. Shuart, David F. Drake, Integrative Medicine in Rehabilitation, *Braddom's Physical Medicine and Rehabilitation*, 10.1016/B978-0-323-62539-5.00018-7, (364-373.e3), (2021). [Crossref⁶⁴](#)

Tongju Li, Bruce Qing Tang, Wei-Bo Zhang, Minyi Zhao, Qingchun Hu, Andrew Ahn, In Vivo Visualization of the Pericardium Meridian with Fluorescent Dyes, *Evidence-Based Complementary and Alternative Medicine*, 10.1155/2021/5581227, 2021, (1-10), (2021). [Crossref⁶⁵](#)

Chao Sun, Changchun Ji, Ying Li, Juijie Kuang, Jiangtao Wu, A comparison study of photothermal effect between moxibustion therapy and laser irradiation on biological tissue, *International Journal of Thermal Sciences*, 10.1016/j.ijthermalsci.2021.106924, 164, (106924), (2021). [Crossref⁶⁶](#)

Nikolay Dimitrov, Nikola Tomov, Dimitrinka Atanasova, Stilyan Iliev, Tatyana Tomova, Dimitar Sivrev, Zoya Goranova, Visible Meridian Phenomena after Acupuncture: A Series of Case Reports, *Journal of Acupuncture and Meridian Studies*, 10.51507/j.jams.2021.14.2.50, 14, 2, (50-57), (2021). [Crossref⁶⁷](#)

Nasim Bahadorani, Jerry W. Lee, Leslie R. Martin, Implications of Tamarkoz on stress, emotion, spirituality and heart rate, *Scientific Reports*, 10.1038/s41598-021-93470-8, 11, 1, (2021). [Crossref⁶⁸](#)

48. <https://onlinelibrary.wiley.com/serve/linkout?suffix=null&dbid=16&doi=10.1002/ar.10185&key=10.1109/TBME.1973.324289>

49. <https://onlinelibrary.wiley.com/serve/linkout?suffix=null&dbid=8&doi=10.1002/ar.10185&key=4727423>

50. <https://onlinelibrary.wiley.com/serve/linkout?suffix=null&dbid=128&doi=10.1002/ar.10185&key=A1973Q497200007>

51. <https://onlinelibrary.wiley.com/serve/linkout?suffix=null&dbid=8&doi=10.1002/ar.10185&key=1178444>

52. <https://onlinelibrary.wiley.com/serve/linkout?suffix=null&dbid=128&doi=10.1002/ar.10185&key=A1975AP43900003>

53. <https://onlinelibrary.wiley.com/serve/linkout?suffix=null&dbid=16&doi=10.1002/ar.10185&key=10.1109/TBME.1975.324477>

54. <https://onlinelibrary.wiley.com/serve/linkout?suffix=null&dbid=8&doi=10.1002/ar.10185&key=1184029>

55. <https://onlinelibrary.wiley.com/serve/linkout?suffix=null&dbid=128&doi=10.1002/ar.10185&key=A1975AU02000013>

56. <https://onlinelibrary.wiley.com/serve/linkout?suffix=null&dbid=16&doi=10.1002/ar.10185&key=10.1073/pnas.111133298>

57. <https://onlinelibrary.wiley.com/serve/linkout?suffix=null&dbid=8&doi=10.1002/ar.10185&key=11353845>

58. <https://onlinelibrary.wiley.com/serve/linkout?suffix=null&dbid=128&doi=10.1002/ar.10185&key=000168883700045>

59. <https://onlinelibrary.wiley.com/serve/linkout?suffix=null&dbid=8&doi=10.1002/ar.10185&key=9646895>

60. <https://onlinelibrary.wiley.com/serve/linkout?suffix=null&dbid=128&doi=10.1002/ar.10185&key=000074292400008>

61. https://doi.org/10.1007/978-3-030-75506-5_1

62. <https://doi.org/10.1166/jbt.2022.2928>

63. <https://onlinelibrary.wiley.com/doi/10.1002/ar.24681>

64. <https://doi.org/10.1016/B978-0-323-62539-5.00018-7>

65. <https://doi.org/10.1155/2021/5581227>

66. <https://doi.org/10.1016/j.ijthermalsci.2021.106924>

67. <https://doi.org/10.51507/j.jams.2021.14.2.50>

68. <https://doi.org/10.1038/s41598-021-93470-8>

Maojun Li, Huawen Peng, Binxiu Wei, Qiuxia Deng, Fen Qian, Xin Liu, Jian Wang, Xiaodong Zhu, Effect of acupuncture anesthesia based on nanomaterial sensor on cognitive function after one-lung ventilation thoracotomy, *Materials Express*, 10.1166/mex.2021.2027, 11, 7, (1051-1056), (2021). [Crossref⁶⁹](#)

Jaliya Kumaratilake, Teghan Lucas, Maciej Henneberg, Possible relationship of upper limb arteries, median and brachial to the twelfth meridian of the human upper limb, *Journal of Anatomy*, 10.1111/joa.13401, 238, 6, (1492-1493), (2021). [Wiley Online Library⁷⁰](#)

Yong Ming Li, Three hand yin meridians in ancient Chinese medicine were established initially based on arterial structures, *Journal of Anatomy*, 10.1111/joa.13400, 238, 6, (1494-1496), (2021). [Wiley Online Library⁷¹](#)

Yi Zhang, Interpretation of acupoint location in traditional Chinese medicine teaching: Implications for acupuncture in research and clinical practice, *The Anatomical Record*, 10.1002/ar.24618, 304, 11, (2372-2380), (2021). [Wiley Online Library⁷²](#)

Sanghun Lee, Prospects for the Development of Acupuncture Treatment Led by the Use of Ultrasound Imaging Devices, *Journal of Korean Medical Society of Soft Tissue*, 10.54461/JKMS.2021.5.1.8, 5, 1, (8-11), (2021). [Crossref⁷³](#)

Xiao Ye, Yu-lan Ren, Yun-hui Chen, Ji Chen, Xiao-jiao Tang, Zong-ming Zhang, A “4D” systemic view on meridian essence: Substantial, functional, chronological and cultural attributes, *Journal of Integrative Medicine*, 10.1016/j.joim.2021.11.006, (2021). [Crossref⁷⁴](#)

Berna Dincer, Demet İnangil, Gökhan İnangil, Nefise Bağçecik, Elif Yıldırım Ayaz, Ali Arslanoğlu, Miraç Vural Keskinler, Ayşe Kabuk, Gamze Özkan, The effect of acupuncture on sleep quality of older people: A systematic review and meta-analysis of randomized controlled trials, *EXPLORE*, 10.1016/j.explore.2021.11.010, (2021). [Crossref⁷⁵](#)

Marianna de Melo Salemi, Vanessa Maria da Silva Alves Gomes, Laylla Marjory Rebouças Bezerra, Thania Maion de Souza Melo, Geisa Guimarães de Alencar, Iracema Hermes Pires de Melo Montenegro, Alessandra Paula de Melo Calado, Eduardo José Nepomuceno Montenegro, Gisela Rocha de Siqueira, Effect of Dry Cupping Therapy on Pain and Functional Disability in Persistent Non-Specific Low Back Pain: A Randomized Controlled Clinical Trial, *Journal of Acupuncture and Meridian Studies*, 10.51507/j.jams.2021.14.6.219, 14, 6, (219-230), (2021). [Crossref⁷⁶](#)

Luis Carlos Matos, Jorge Pereira Machado, Fernando Jorge Monteiro, Henry Johannes Greten, Understanding Traditional Chinese Medicine Therapeutics: An Overview of the Basics and Clinical Applications, *Healthcare*, 10.3390/healthcare9030257, 9, 3, (257), (2021). [Crossref⁷⁷](#)

Jingwen Cui, Wanrong Song, Yipeng Jin, Huihao Xu, Kai Fan, Degui Lin, Zhihui Hao, Jiahao Lin, Research Progress on the Mechanism of the Acupuncture Regulating Neuro-Endocrine-Immune Network System, *Veterinary Sciences*, 10.3390/vetsci8080149, 8, 8, (149), (2021). [Crossref⁷⁸](#)

İñigo Ongay de Felipe, The Universality of Science and Traditional Chinese Medicine, *Science & Education*, 10.1007/s1191-021-00249-4, (2021). [Crossref⁷⁹](#)

Ningcen Li, Yi Guo, Yinan Gong, Yue Zhang, Wen Fan, Kaifang Yao, Zhihan Chen, Baomin Dou, Xiaowei Lin, Bo Chen, Zelin Chen, Zhifang Xu, Zhongxi Lyu, The Anti-Inflammatory Actions and Mechanisms of Acupuncture from Acupoint to Target Organs via Neuro-Immune Regulation, *Journal of Inflammation Research*, 10.2147/JIR.S341581, Volume 14, (7191-7224), (2021). [Crossref⁸⁰](#)

戴云 冯, Bridging Medicine East and West—Pursuit on the Relation between Biomedical Consequence of Stimulating the Acupoints of the Lung Meridian and Somatosensory Reflexes, Aiming to Treat Chronic Obstruction Pulmonary Diseases, *Traditional Chinese Medicine*, 10.12677/TCM.2020.92022, 09, 02, (145-176), (2020). [Crossref⁸¹](#)

Manon te Dorsthorst, Michael van Balken, John Heesakkers, Tibial nerve stimulation in the treatment of overactive bladder syndrome, *Current Opinion in Urology*, 10.1097/MOU.0000000000000781, 30, 4, (513-518), (2020). [Crossref⁸²](#)

Peter I-Kung Wu, Lucy Chen, Integrative Medicine, *Spine Pain Care*, 10.1007/978-3-030-27447-4, (473-489), (2020). [Crossref⁸³](#)

I. Giralt Sampedro, G. Carvajal, A. Garcia-Janeras, A. Fabá, M.B. Nishishinya Aquino, A severe case of Ramsay Hunt Syndrome treated with acupuncture and related techniques, *Complementary Therapies in Clinical Practice*, 10.1016/j.ctcp.2020.101119, (101119), (2020). [Crossref⁸⁴](#)

Eric Leskowitz, A Cartography of Energy Medicine: From Subtle Anatomy to Energy Physiology, *EXPLORE*, 10.1016/j.explore.2020.09.008, (2020). [Crossref⁸⁵](#)

Hantong Hu, Yongliang Jiang, Xiaoyu Li, Jiali Lou, Yajun Zhang, Xiaofen He, Junfan Fang, Yuanyan Wu, Xiaomei Shao, Jianqiao Fang, The microcirculatory characteristics of the heart and lung meridians, *Medicine*, 10.1097/MD.00000000000019594, 99, 14, (e19594), (2020). [Crossref⁸⁶](#)

69. <https://doi.org/10.1166/mex.2021.2027>

70. <https://onlinelibrary.wiley.com/doi/10.1111/joa.13401>

71. <https://onlinelibrary.wiley.com/doi/10.1111/joa.13400>

72. <https://onlinelibrary.wiley.com/doi/10.1002/ar.24618>

73. <https://doi.org/10.54461/JKMS.2021.5.1.8>

74. <https://doi.org/10.1016/j.joim.2021.11.006>

75. <https://doi.org/10.1016/j.explore.2021.11.010>

76. <https://doi.org/10.51507/j.jams.2021.14.6.219>

77. <https://doi.org/10.3390/healthcare9030257>

78. <https://doi.org/10.3390/vetsci8080149>

79. <https://doi.org/10.1007/s1191-021-00249-4>

80. <https://doi.org/10.2147/JIR.S341581>

81. <https://doi.org/10.12677/TCM.2020.92022>

82. <https://doi.org/10.1097/MOU.0000000000000781>

83. <https://doi.org/10.1007/978-3-030-27447-4>

84. <https://doi.org/10.1016/j.ctcp.2020.101119>

85. <https://doi.org/10.1016/j.explore.2020.09.008>

86. <https://doi.org/10.1097/MD.00000000000019594>

- Sheikh Faruque Elahee Bangladesh, Hui-juan Mao, Ling Zhao, Xue-yong Shen, Meridian system and mechanism of acupuncture action: A scientific evaluation 经络系统与针刺效应机制的科学评价, *World Journal of Acupuncture - Moxibustion*, 10.1016/j.wjam.2020.05.003, (2020). [Crossref⁶⁷](#)
- Mário Gonçalves, Luis Carlos Matos, Leonel Duarte, Jorge Machado, Henry Johannes Greten, Giovanna Franconi, PROBLEMS OF SCIENTIFIC METHODOLOGY RELATED TO PLACEBO CONTROL IN QIGONG STUDIES: A SYSTEMATIC REVIEW, *Journal of Bodywork and Movement Therapies*, 10.1016/j.jbmt.2020.06.035, (2020). [Crossref⁶⁸](#)
- Hans-Udo Richarz, Uwe Schütz, Werner Klingler, Das fasziale Bindegewebe – ein Medium für die Akupunktur? The fascial connective tissue—a medium for acupuncture?, *Deutsche Zeitschrift für Akupunktur*, 10.1007/s42212-019-00228-5, (2020). [Crossref⁶⁹](#)
- Shi Yonghong, Wu Ruizhi, Zhang Yue, Bai Xuebing, Imran Tarique, Liang Chunhua, Yang Ping, Chen Qiusheng, Telocytes in Different Organs of Vertebrates: Potential Essence Cells of the Meridian in Chinese Traditional Medicine, *Microscopy and Microanalysis*, 10.1017/S1431927620001518, (1-14), (2020). [Crossref⁷⁰](#)
- Jinglan Mu, Andrea D Furlan, Wai Yee Lam, Marcos Y Hsu, Zhipeng Ning, Lixing Lao, Acupuncture for chronic nonspecific low back pain, *Cochrane Database of Systematic Reviews*, 10.1002/14651858.CD013814, (2020). [Crossref⁷¹](#)
- Kimia Grace Ganjaei, Jeremiah W. Ray, Brandee Waite, Kevin J. Burnham, The Fascial System in Musculoskeletal Function and Myofascial Pain, *Current Physical Medicine and Rehabilitation Reports*, 10.1007/s40141-020-00302-3, (2020). [Crossref⁷²](#)
- Christina L Ross, Energy Medicine: Current Status and Future Perspectives, *Global Advances in Health and Medicine*, 10.1177/2164956119831221, 8, (216495611983122), (2019). [Crossref⁷³](#)
- Phil Trabulsy, COMPLEMENTARY AND ALTERNATIVE MEDICINE, *Cancer*, 10.1002/9781119645214, (499-530), (2019). [Wiley Online Library⁷⁴](#)
- Younyoung Chae, Yeonhee Ryu, Won-Mo Jung, An Analysis of Indications of Meridians in DongUiBoGam Using Data Mining, *Korean Journal of Acupuncture*, 10.14406/acu.2019.034, 36, 4, (292-299), (2019). [Crossref⁷⁵](#)
- Wei-bo ZHANG, Xiao-jing SONG, Ze WANG, Guang-jun WANG, Shu-yong JIA, Yu-ying TIAN, Hong-yan LI, Longitudinal Directional Movement of Alcian Blue in Gephyrocharax Melanocheir Fish: Revealing Interstitial Flow and Related Structure ☆阿尔新蓝在黑裙鱼中的纵向定向运动:组织液流动与相关结构的揭示, *World Journal of Acupuncture - Moxibustion*, 10.1016/j.wjam.2019.05.008, (2019). [Crossref⁷⁶](#)
- Nicholas Alexander Wise, Action at a distance: laser acupuncture and the brain, *Photobiomodulation in the Brain*, 10.1016/B978-0-12-815305-5.00036-1, (489-501), (2019). [Crossref⁷⁷](#)
- Liangjun Xia, Qingyu Meng, Jin Xi, Qin Han, Jie Cheng, Jie Shen, Youbing Xia, Liyun Shi, The synergistic effect of electroacupuncture and bone mesenchymal stem cell transplantation on repairing thin endometrial injury in rats, *Stem Cell Research & Therapy*, 10.1186/s13287-019-1326-6, 10, 1, (2019). [Crossref⁷⁸](#)
- Dha-Hyun Choi, Younyoung Chae, Minimisation of variations in locating an acupuncture point using a laser-device, *Integrative Medicine Research*, 10.1016/j.imr.2019.11.005, (2019). [Crossref⁷⁹](#)
- Doohan Oh, Jong-hyun Kim, Youn-Sub Kim, Song-Yi Kim, Analysis of Tonification and Sedation Methods in the Yeongschohimguyeong, *Korean Journal of Acupuncture*, 10.14406/acu.2019.021, 36, 3, (171-180), (2019). [Crossref⁸⁰](#)
- Aleksandar Zivaljevic, Bin Shi, Elisa M. S. Tam, Vahideh Toossi, Treatment of visceral pain associated with irritable bowel syndrome using acupuncture: Mechanism of action, *World Journal of Traditional Chinese Medicine*, 10.4103/wjtc.wjtc_24_19, 5, 4, (181), (2019). [Crossref⁸¹](#)
- Suchan Chang, O. Sang Kwon, Se Kyun Bang, Do-Hee Kim, Min Won Baek, Yeonhee Ryu, Jong Han Bae, Yu Fan, Soo Min Lee, Hyung Kyu Kim, Bong Hyo Lee, Chae Ha Yang, Hee Young Kim, Peripheral Sensory Nerve Tissue but Not Connective Tissue Is Involved in the Action of Acupuncture, *Frontiers in Neuroscience*, 10.3389/fnins.2019.00110, 13, (2019). [Crossref⁸²](#)
- Junaid Wazir, Rahat Ullah, Shihong Li, Md Amir Hossain, Maladho Tanta Diallo, Farhan Ullah Khan, Awais Ullah Ihsan, Xiaohui Zhou, Efficacy of acupuncture in the treatment of chronic prostatitis-chronic pelvic pain syndrome: a review of the literature, *International Urology and Nephrology*, 10.1007/s11255-019-02267-2, (2019). [Crossref⁸³](#)
- Noa Schwartz, Madhavi Latha S. Chalasani, Thomas M. Li, Zhonghui Feng, William D. Shipman, Theresa T. Lu, Lymphatic Function in Autoimmune Diseases, *Frontiers in Immunology*, 10.3389/fimmu.2019.00519, 10, (2019). [Crossref⁸⁴](#)
- Sarah Ely, Panos Barlas, Transcutaneous electrical acupoint stimulation for people with chronic musculoskeletal pain: an exploratory review, *Physical Therapy Reviews*, 10.1080/10833196.2019.1648728, (1-12), (2019). [Crossref⁸⁵](#)
- Koh-Woon Kim, Sanhwa Hong, Hong Soo Kim, Taehun Kim, Jaeha Ahn, Hyun-Seo Song, Yu-Kang Kim, Ju-Young Oh, Tae-Yeon Hwang, Hyangsook Lee, Su-Il In, Hi-Joon Park, Physiological impact of nanoporous acupuncture needles: Laser Doppler perfusion imaging in healthy volunteers, *PLOS ONE*, 10.1371/journal.pone.0226304, 14, 12, (e0226304), (2019). [Crossref⁸⁶](#)
- Chang-zhen Gong, Wei Liu, Convergence of Medicines: West Meets East in Newly-Discovered Organs and Functions, *Chinese Journal of Integrative Medicine*, 10.1007/s11655-018-2570-9, 25, 5, (323-326), (2018). [Crossref⁸⁷](#)
- Jeanne Adiwinata Pawitan, Various stem cells in acupuncture meridians and points and their putative roles, *Journal of Traditional and Complementary Medicine*, 10.1016/j.jtcm.2017.08.004, (2018). [Crossref⁸⁸](#)
- Chungda Lee, How can mindfulness-led breathing of qigong/Tai Chi work on qi and the meridian network?, *Advances in Integrative Medicine*, 10.1016/j.aimed.2018.07.002, 5, 3, (122-127), (2018). [Crossref⁸⁹](#)
- Patrick Roynard, Lauren Frank, Huisheng Xie, Margaret Fowler, Acupuncture for Small Animal Neurologic Disorders, *Veterinary Clinics of North America: Small Animal Practice*, 10.1016/j.cvsm.2017.08.003, 48, 1, (201-219), (2018). [Crossref⁹⁰](#)
- Meng Huang, Xuezhi Wang, Beibei Xing, Hongwei Yang, Zheyuan Sa, Di Zhang, Wei Yao, Na Yin, Ying Xia, Guanghong Ding, Critical roles of TRPV2 channels, histamine H1 and adenosine A1 receptors in the initiation of acupoint signals for acupuncture analgesia, *Scientific Reports*, 10.1038/s41598-018-24654-y, 8, 1, (2018). [Crossref⁹¹](#)
- Ruining Liang, Peishuang Li, Xuemei Peng, Ling Xu, Pei Fan, Jiahua Peng, Xu Zhou, Chunlin Xiao, Miao Jiang, Efficacy of acupuncture on pelvic pain in patients with endometriosis: study protocol for a randomized, single-blind, multi-center, placebo-controlled trial, *Trials*, 10.1186/s13063-018-2684-6, 19, 1, (2018). [Crossref⁹²](#)
- Wei-bo Zhang, De-xian Jia, Hong-yan Li, Yu-long Wei, Huang Yan, Peng-na Zhao, Fei-fei Gu, Guang-jun Wang, Yan-ping Wang, Understanding Qi Running in the Meridians as Interstitial Fluid Flowing via Interstitial Space of Low Hydraulic Resistance, *Chinese Journal of Integrative Medicine*, 10.1007/s11655-017-2791-3, 24, 4, (304-307), (2018). [Crossref⁹³](#)
- Comer E. Liddle, Richard E. Harris, Cellular Reorganization Plays a Vital Role in Acupuncture Analgesia, *Medical Acupuncture*, 10.1089/acu.2017.1258, 30, 1, (15-20), (2018). [Crossref⁹⁴](#)
- 魏云 冯, Relationship among the Meridians, Sinew Channels and Integrative Five Fluid Circulation System, *Traditional Chinese Medicine*, 10.12677/TCM.2018.71013, 07, 01, (74-92), (2018). [Crossref⁹⁵](#)
- David Feinstein, Energy Psychology: Efficacy, Speed, Mechanisms, *EXPLORE*, 10.1016/j.explore.2018.11.003, (2018). [Crossref⁹⁶](#)
- Hiroe MOTOYAMA, Hirohisa ISOGAI, Yoshito MUKAINO, Relaxing Effect Achieved by Acupuncture Stimulation in Different Postures for University Students Living a Sedentary Lifestyle Sedentary Lifestyle を送る大学生を対象とした異なる姿勢への鍼刺激によるリラクゼーション効果, *Kampo Medicine*, 10.3937/kampomed.69.225, 69, 3, (225-238), (2018). [Crossref⁹⁷](#)
- Alexander Waits, You-Ren Tang, Hao-Min Cheng, Chen-Jei Tai, Li-Yin Chien, Acupuncture effect on sleep quality: A systematic review and meta-analysis, *Sleep Medicine Reviews*, 10.1016/j.smrv.2016.12.004, 37, (24-34), (2018). [Crossref⁹⁸](#)
- Chenglin Liu, Qinghua Liu, Dongming Zhang, Wei Liu, Xiaohui Yan, Xinyi Zhang, Hiroyuki Oyanagi, Zhiyun Pan, Fengchun Hu, Shiqiang Wei, Insight into the biological effects of acupuncture points by X-ray absorption fine structure, *Analytical and Bioanalytical Chemistry*, 10.1007/s00216-018-1146-z, 410, 20, (4959-4965), (2018). [Crossref⁹⁹](#)
- Eric Leskowitz, How Tapping into “Energy” Can Trigger a Paradigm Shift in Biomedicine, *The Journal of Alternative and Complementary Medicine*, 10.1089/acm.2018.0073, 24, 6, (525-527), (2018). [Crossref¹⁰⁰](#)
- Johannes Fleckenstein, Robert Schleip, Cornelia Sachs, Mark Driscoll, Susan Shockett, Thomas Findley, Werner Klingler, Faszienforschung: Quo vadis? Fascia research: Quo vadis?, *Deutsche Zeitschrift für Akupunktur*, 10.1007/s42212-018-0037-8, 61, 2, (69-74), (2018). [Crossref¹⁰¹](#)
- FA Phan, A Sreilestari, H Mihardja, MBH Marbun, Effects of acupuncture on uremic pruritus in patients undergoing hemodialysis, *Journal of Physics: Conference Series*, 10.1088/1742-6596/1073/6/062049, 1073, (062049), (2018). [Crossref¹⁰²](#)
- Kwang-Sup Soh, Sistema circulatorio de Bonghan como una extensión de los meridianos de acupuntura, *Revista Internacional de Acupuntura*, 10.1016/j.acu.2018.02.001, 12, 1, (15-28), (2018). [Crossref¹⁰³](#)
87. <https://doi.org/10.1016/j.wjam.2020.05.003>
88. <https://doi.org/10.1016/j.jbmt.2020.06.035>
89. <https://doi.org/10.1007/s42212-019-00228-5>
90. <https://doi.org/10.1017/S1431927620001518>
91. <https://doi.org/10.1002/14651858.CD013814>
92. <https://doi.org/10.1007/s40141-020-00302-3>
93. <https://doi.org/10.1177/2164956119831221>
94. <https://onlinelibrary.wiley.com/doi/10.1002/9781119645214>
95. <https://doi.org/10.14406/acu.2019.034>
96. <https://doi.org/10.1016/j.wjam.2019.05.008>
97. <https://doi.org/10.1016/B978-0-12-815305-5.00036-1>
98. <https://doi.org/10.1186/s13287-019-1326-6>
99. <https://doi.org/10.1016/j.imr.2019.11.005>
100. <https://doi.org/10.14406/acu.2019.021>
101. https://doi.org/10.4103/wjtc.wjtc_24_19
102. <https://doi.org/10.3389/fnins.2019.00110>
103. <https://doi.org/10.1007/s11255-019-02267-2>
104. <https://doi.org/10.3389/fimmu.2019.00519>
105. <https://doi.org/10.1080/10833196.2019.1648728>
106. <https://doi.org/10.1371/journal.pone.0226304>
107. <https://doi.org/10.1007/s11655-018-2570-9>
108. <https://doi.org/10.1016/j.jtcm.2017.08.004>
109. <https://doi.org/10.1016/j.aimed.2018.07.002>
110. <https://doi.org/10.1016/j.cvsm.2017.08.003>
111. <https://doi.org/10.1038/s41598-018-24654-y>
112. <https://doi.org/10.1186/s13063-018-2684-6>
113. <https://doi.org/10.1007/s11655-017-2791-3>
114. <https://doi.org/10.1089/acu.2017.1258>
115. <https://doi.org/10.12677/TCM.2018.71013>
116. <https://doi.org/10.1016/j.explore.2018.11.003>
117. <https://doi.org/10.3937/kampomed.69.225>
118. <https://doi.org/10.1016/j.smrv.2016.12.004>
119. <https://doi.org/10.1007/s00216-018-1146-z>
120. <https://doi.org/10.1089/acm.2018.0073>
121. <https://doi.org/10.1007/s42212-018-0037-8>
122. <https://doi.org/10.1088/1742-6596/1073/6/062049>
123. <https://doi.org/10.1016/j.acu.2018.02.001>

Helene M. Langevin, Peter M. Wayne, What Is the Point? The Problem with Acupuncture Research That No One Wants to Talk About, *The Journal of Alternative and Complementary Medicine*, 10.1089/acm.2017.0366, 24, 3, (200-207), (2018). [Crossref¹²⁴](#)

Chun-Yi Lin, Tze-Taur Wei, Chen-Chen Wang, Wan-Chen Chen, Yu-Min Wang, Song-Yen Tsai, Acute Physiological and Psychological Effects of Qigong Exercise in Older Practitioners, Evidence-Based Complementary and Alternative Medicine, 10.1155/2018/4960978, 2018, (1-10), (2018). [Crossref¹²⁵](#)

Kanae Umemoto, Toshiyuki Saito, Munekazu Naito, Shogo Hayashi, Tomiko Yakura, Hanno Steinke, Takashi Nakano, Anatomical Relationship between B123 and the Posterior Ramus of the L2 Spinal Nerve, *Acupuncture in Medicine*, 10.1136/acupmed-2015-010847, 34, 2, (95-100), (2018). [Crossref¹²⁶](#)

Krista Lynne Paulson, Barbara L. Shay, Sympathetic Nervous System Responses to Acupuncture and Non-Penetrating Sham Acupuncture in Experimental Forearm Pain: A Single-Blind Randomised Descriptive Study, *Acupuncture in Medicine*, 10.1136/acupmed-2012-010223, 31, 2, (178-184), (2018). [Crossref¹²⁷](#)

Marc Amand, Florence Nguyen-Huu, Costantino Balestra, Acupuncture Effect on Thermal Tolerance and Electrical Pain Threshold: A Randomised Controlled Trial, *Acupuncture in Medicine*, 10.1136/aim.2010.002485, 29, 1, (47-50), (2018). [Crossref¹²⁸](#)

Michele Alem, Maria Salette Costa Gurgel, Acupuncture in the Rehabilitation of Women after Breast Cancer Surgery – a Case Series, *Acupuncture in Medicine*, 10.1136/aim.26.2.86, 26, 2, (86-93), (2018). [Crossref¹²⁹](#)

Avijgan Majid, Rouh/Qi before and after production; basic concept of life, *International Journal of Complementary & Alternative Medicine*, 10.15406/ijcam.2018.11.00363, 11, 2, (2018). [Crossref¹³⁰](#)

Tiaw-Kee Lim, Yan Ma, Frederic Berger, Gerhard Litscher, Acupuncture and Neural Mechanism in the Management of Low Back Pain—An Update, *Medicines*, 10.3390/medicines5030063, 5, 3, (63), (2018). [Crossref¹³¹](#)

Anna Esparham, Anne Herbert, Emily Pierzchalski, Catherine Tran, Jennifer Dilts, Madeline Boorigie, Tammie Wingert, Mark Connelly, Jennifer Bickel, Pediatric Headache Clinic Model: Implementation of Integrative Therapies in Practice, *Children*, 10.3390/children5060074, 5, 6, (74), (2018). [Crossref¹³²](#)

Elizabeth R. Magden, Chapter 13 Positive Reinforcement Training and Health Care, *Handbook of Primate Behavioral Management*, 10.1201/9781315120652, (201-216), (2017). [Crossref¹³³](#)

Faria Sanjana, Hans Chaudhry, Thomas Findley, Effect of MELT method on thoracolumbar connective tissue: The full study, *Journal of Bodywork and Movement Therapies*, 10.1016/j.jbmt.2016.05.010, 21, 1, (179-185), (2017). [Crossref¹³⁴](#)

Peter T. Dorsher, Neuroembryology of the Acupuncture Principal Meridians: Part 1. The Extremities, *Medical Acupuncture*, 10.1089/acu.2016.1210, 29, 1, (10-19), (2017). [Crossref¹³⁵](#)

Jordi Gascon-Garcia, Caridad Bagur-Calafat, Montserrat Girabent-Farrés, Ramon Balius, Validation of the range of dry needling with the fascial winding technique in the carpal tunnel using ultrasound, *Journal of Bodywork and Movement Therapies*, 10.1016/j.jbmt.2017.10.013, (2017). [Crossref¹³⁶](#)

Ana Paula A. Ferreira, Luciana C. Póvoa, José F.C. Zanier, Arthur S. Ferreira, Locating the Seventh Cervical Spinous Process: Accuracy of the Thorax-Rib Static Method and the Effects of Clinical Data on Its Performance, *Journal of Manipulative and Physiological Therapeutics*, 10.1016/j.jmpt.2016.10.011, 40, 2, (98-105), (2017). [Crossref¹³⁷](#)

Arya Nielsen, Acupuncture for the Prevention of Tension-Type Headache (2016), *EXPLORE: The Journal of Science and Healing*, 10.1016/j.explore.2017.03.007, 13, 3, (228-231), (2017). [Crossref¹³⁸](#)

Fan Wang, Guang-wei Cui, Le Kuai, Jian-min Xu, Ting-ting Zhang, Huai-jin Cheng, Hong-sheng Dong, Gui-rong Dong, Role of Acupoint Area Collagen Fibers in Anti-Inflammation of Acupuncture Lifting and Thrusting Manipulation, Evidence-Based Complementary and Alternative Medicine, 10.1155/2017/2813437, 2017, (1-8), (2017). [Crossref¹³⁹](#)

Wei-Chia Chen, Hsiang-Ying Chen, Yu-Sheng Chen, Yong Tian, Lin I, Self-excited multi-scale skin vibrations probed by optical tracking micro-motions of tracers on arms, *Journal of Applied Physics*, 10.1063/1.4991499, 122, 2, (024701), (2017). [Crossref¹⁴⁰](#)

Fletcher Kovich, A Curious Oversight in Acupuncture Research, *Journal of Acupuncture and Meridian Studies*, 10.1016/j.jams.2017.10.004, 10, 6, (411-415), (2017). [Crossref¹⁴¹](#)

David F. Drake, Anne M. Hudak, William Robbins, Integrative Medicine in Traumatic Brain Injury, *Physical Medicine and Rehabilitation Clinics of North America*, 10.1016/j.pmr.2016.12.011, 28, 2, (363-378), (2017). [Crossref¹⁴²](#)

Helene M. Langevin, Rosa N. Schnyer, Reconnecting the Body in Eastern and Western Medicine, *The Journal of Alternative and Complementary Medicine*, 10.1089/acm.2017.0028, 23, 4, (238-241), (2017). [Crossref¹⁴³](#)

Salvador Quiroz-González, Sergio Torres-Castillo, Rosa Estela López-Gómez, Ismael Jiménez Estrada, Acupuncture Points and Their Relationship with Multireceptive Fields of Neurons, *Journal of Acupuncture and Meridian Studies*, 10.1016/j.jams.2017.01.006, 10, 2, (81-89), (2017). [Crossref¹⁴⁴](#)

Sharon Jiyeon Jung, Haim Song, Yu Yeon Kim, Jungdae Kim, Sunghul Kim, Yoon-Kyu Song, Kwang-Sup Soh, Distribution of Mast Cells and Locations, Depths, and Sizes of the Putative Acupoints CV 8 and KI 16, Evidence-Based Complementary and Alternative Medicine, 10.1155/2017/2953278, 2017, (1-10), (2017). [Crossref¹⁴⁵](#)

Benjamin CW. Chant, Jeanne Madison, Paul Coop, Gudrun Dieberg, Contact Tools in Japanese Acupuncture: An Ethnography of Acupuncture Practitioners in Japan, *Journal of Acupuncture and Meridian Studies*, 10.1016/j.jams.2017.08.006, 10, 5, (331-339), (2017). [Crossref¹⁴⁶](#)

Hugh MacPherson, Andrew Vickers, Martin Bland, David Torgerson, Mark Corbett, Eldon Spackman, Pedro Saramago, Beth Woods, Helen Weatherly, Mark Sculpher, Andrea Manca, Stewart Richmond, Ann Hopton, Janet Eldred, Ian Watt, Acupuncture for chronic pain and depression in primary care: a programme of research, *Programme Grants for Applied Research*, 10.3310/pgfar05030, 5, 3, (1-316), (2017). [Crossref¹⁴⁷](#)

Benjamin Kligler, Arya Nielsen, Corinne Kohrerr, Tracy Schmid, Eve Waltermaurer, Elidania Perez, Woodson Merrell, Acupuncture Therapy in a Group Setting for Chronic Pain, *Pain Medicine*, 10.1093/pm/pnx134, (2017). [Crossref¹⁴⁸](#)

Alexander Macdonald, Acupuncture Main Channels or Meridians: Visible Surfaces, *International Journal of Complementary & Alternative Medicine*, 10.15406/ijcam.2017.07.00233, 7, 4, (2017). [Crossref¹⁴⁹](#)

Roshanak Ghods, Nasrin Sayfour, Mohammad Hossein Ayati, Anatomical Features of the Interscapular Area Where Wet Cupping Therapy Is Done and Its Possible Relation to Acupuncture Meridians, *Journal of Acupuncture and Meridian Studies*, 10.1016/j.jams.2016.06.004, 9, 6, (290-296), (2016). [Crossref¹⁵⁰](#)

Laura Quiles, Electra Peluffo, Meridianos tendinomusculares (Jing Jin) y tejido fascial, comparativa anatómica y funcional, *Revista Internacional de Acupuntura*, 10.1016/j.iau.2016.01.002, 10, 1, (20-24), (2016). [Crossref¹⁵¹](#)

Tian Tian, Yanhong Sun, Huang Wu, Jian Pei, Jing Zhang, Yi Zhang, Lu Wang, Bin Li, Lihua Wang, Jiye Shi, Jun Hu, Chunhai Fan, Acupuncture promotes mTOR-independent autophagic clearance of aggregation-prone proteins in mouse brain, *Scientific Reports*, 10.1038/srep19714, 6, 1, (2016). [Crossref¹⁵²](#)

Eric Leskowitz, Integrative Medicine for PTSD and TBI: Two Innovative Approaches, *Medical Acupuncture*, 10.1089/acu.2016.1168, 28, 4, (181-183), (2016). [Crossref¹⁵³](#)

Sarah le Jeune, Kimberly Henneman, Kevin May, Acupuncture and Equine Rehabilitation, *Veterinary Clinics of North America: Equine Practice*, 10.1016/j.eveq.2015.12.004, 32, 1, (73-85), (2016). [Crossref¹⁵⁴](#)

Charlotte H. Y. Lau, Xinyin Wu, Vincent C. H. Chung, Xin Liu, Edwin P. Hui, Holger Cramer, Romy Lauche, Samuel Y. S. Wong, Alexander Y. L. Lau, Regina W. S. Sit, Eric T. C. Ziea, Bacon F. L. Ng, Justin C. Y. Wu, Acupuncture and Related Therapies for Symptom Management in Palliative Cancer Care, *Medicine*, 10.1097/MD.0000000000002901, 95, 9, (e2901), (2016). [Crossref¹⁵⁵](#)

Li Chen, Hai-Xiang Sun, You-Bing Xia, Liu-Cai Sui, Ji Zhou, Xuan Huang, Jing-Wei Zhou, Yi-Dan Shao, Tao Shen, Qin Sun, Yuan-Jiao Liang, Bing Yao, Electroacupuncture decreases the progression of ovarian hyperstimulation syndrome in a rat model, *Reproductive BioMedicine Online*, 10.1016/j.rbmo.2016.02.006, 32, 5, (538-544), (2016). [Crossref¹⁵⁶](#)

Suzanne B. Hanser, Suzanne B. Hanser, Holistic Healing, *Integrative Health through Music Therapy*, 10.1057/978-1-137-38477-5, (35-54), (2016). [Crossref¹⁵⁷](#)

Laurent Misery, Acupuncture, Pruritus, 10.1007/978-3-319-33142-3, (437-441), (2016). [Crossref¹⁵⁸](#)

Jing-Ke Guo, Ming-Ming Xu, Mei-Feng Zheng, Shu-Tao Liu, Jian-Wu Zhou, Li-Jing Ke, Tian-Bao Chen, Ping-Fan Rao, Topical Application of TAT-Superoxide Dismutase in Acupoints LI 20 on Allergic Rhinitis, Evidence-Based Complementary and Alternative Medicine, 10.1155/2016/3830273, 2016, (1-9), (2016). [Crossref¹⁵⁹](#)

James L. Oschman, Acupuncture, Acupressure, Shiatsu, and Related Therapies, *Energy Medicine*, 10.1016/B978-0-443-06729-7.00014-4, (221-239), (2016). [Crossref¹⁶⁰](#)

Motti Ratmansky, Adi Levy, Aviv Messinger, Alla Birg, Lilach Front, Iuly Treger, The Effects of Acupuncture on Cerebral Blood Flow in Post-Stroke Patients: A Randomized Controlled Trial, *The Journal of Alternative and Complementary Medicine*, 10.1089/

124. <https://doi.org/10.1089/acm.2017.0366>
 125. <https://doi.org/10.1155/2018/4960978>
 126. <https://doi.org/10.1136/acupmed-2015-010847>
 127. <https://doi.org/10.1136/acupmed-2012-010223>
 128. <https://doi.org/10.1136/aim.2010.002485>
 129. <https://doi.org/10.1136/aim.26.2.86>
 130. <https://doi.org/10.15406/ijcam.2018.11.00363>
 131. <https://doi.org/10.3390/medicines5030063>
 132. <https://doi.org/10.3390/children5060074>
 133. <https://doi.org/10.1201/9781315120652>
 134. <https://doi.org/10.1016/j.jbmt.2016.05.010>
 135. <https://doi.org/10.1089/acu.2016.1210>
 136. <https://doi.org/10.1016/j.jbmt.2017.10.013>
 137. <https://doi.org/10.1016/j.jmpt.2016.10.011>
 138. <https://doi.org/10.1016/j.explore.2017.03.007>
 139. <https://doi.org/10.1155/2017/2813437>
 140. <https://doi.org/10.1063/1.4991499>
 141. <https://doi.org/10.1016/j.jams.2017.10.004>
 142. <https://doi.org/10.1016/j.pmr.2016.12.011>

143. <https://doi.org/10.1089/acm.2017.0028>
 144. <https://doi.org/10.1016/j.jams.2017.01.006>
 145. <https://doi.org/10.1155/2017/2953278>
 146. <https://doi.org/10.1016/j.jams.2017.08.006>
 147. <https://doi.org/10.3310/pgfar05030>
 148. <https://doi.org/10.1093/pm/pnx134>
 149. <https://doi.org/10.15406/ijcam.2017.07.00233>
 150. <https://doi.org/10.1016/j.jams.2016.06.004>
 151. <https://doi.org/10.1016/j.iau.2016.01.002>
 152. <https://doi.org/10.1038/srep19714>
 153. <https://doi.org/10.1089/acu.2016.1168>
 154. <https://doi.org/10.1016/j.eveq.2015.12.004>
 155. <https://doi.org/10.1097/MD.0000000000002901>
 156. <https://doi.org/10.1016/j.rbmo.2016.02.006>
 157. <https://doi.org/10.1057/978-1-137-38477-5>
 158. <https://doi.org/10.1007/978-3-319-33142-3>
 159. <https://doi.org/10.1155/2016/3830273>
 160. <https://doi.org/10.1016/B978-0-443-06729-7.00014-4>

- acm.2015.0066, 22, 1, (33-37), (2016). [Crossref⁶¹](#)
- Marzio Vanzini, Michele Gallamini, Amblyopia: Can Laser Acupuncture be an Option?, *Journal of Acupuncture and Meridian Studies*, 10.1016/j.jams.2016.01.017, 9, 5, (267-274), (2016). [Crossref⁶²](#)
- Bo M. Rowan†, J. Bryan Dixon, Complementary Medicine Practices for Muscular Injuries of the Posterior Leg, *Muscular Injuries in the Posterior Leg*, 10.1007/978-1-4899-7651-2, (153-168), (2016). [Crossref⁶³](#)
- HyunSuk Jang, JooHwan Yoon, HyunJi Gil, Sharon Jiyoung Jung, Min-Suk Kim, Jin-Kyu Lee, Young-Jae Kim, Kwang-Sup Soh, Observation of a Flowing Duct in the Abdominal Wall by Using Nanoparticles, *PLOS ONE*, 10.1371/journal.pone.0150423, 11, 3, (e0150423), (2016). [Crossref⁶⁴](#)
- Richard Cha, Detecting Intrinsic Movements through Needle Tips Pinned at Zusanli ST-36 Point - a New Method for Characterizing Structures for Acupuncture Treatments, *International Journal of Complementary & Alternative Medicine*, 10.15406/ijcam.2016.03.00100, 3, 6, (2016). [Crossref⁶⁵](#)
- Raphael J. Hochstrasser, P. Christian Endler, Sabine D. Klein, Perception of Therapeutic Qi, a Nonmechanical, Nonpsychological Factor in Acupuncture That Originates from the Therapist, *Journal of Acupuncture and Meridian Studies*, 10.1016/j.jams.2014.11.009, 8, 4, (203-208), (2015). [Crossref⁶⁶](#)
- Carla Stecco, Warren Hammer, Andry Vleeming, Raffaele De Caro, Fasciae of the Upper Limb, *Functional Atlas of the Human Fascial System*, 10.1016/B978-0-7020-4430-4.00007-5, (217-287), (2015). [Crossref⁶⁷](#)
- Shu-Ming Wang, Acupuncture as a Treatment for Substance Abuse in Pediatric Patients, *Substance Abuse*, 10.1007/978-1-4939-1951-2, (349-357), (2015). [Crossref⁶⁸](#)
- Mei-Ling Wu, Dong-Sheng Xu, Wan-Zhu Bai, Jing-Jing Cui, Hong-Ming Shu, Wei He, Xiaoyu Wang, Hong Shi, Yang-Shuai Xu, Ling Hu, Bing Zhu, Xiang-Hong Jing, Local cutaneous nerve terminal and mast cell responses to manual acupuncture in acupoint LI4 area of the rats, *Journal of Chemical Neuroanatomy*, 10.1016/j.jchemneu.2015.06.002, 68, (14-21), (2015). [Crossref⁶⁹](#)
- Mark J. McDonald, Will the Primo Vascular System Finally Solve the Mystery of Acupuncture?, *Medical Acupuncture*, 10.1089/acu.2014.1075, 27, 1, (33-37), (2015). [Crossref⁷⁰](#)
- Wei-Bo Zhang, Guang-Jun Wang, Kjell Fuxe, Classic and Modern Meridian Studies: A Review of Low Hydraulic Resistance Channels along Meridians and Their Relevance for Therapeutic Effects in Traditional Chinese Medicine, *Evidence-Based Complementary and Alternative Medicine*, 10.1155/2015/410979, 2015, (1-14), (2015). [Crossref⁷¹](#)
- Xiaqiu Wu, Jin Peng, Guoqin Li, Wei Zhang, Guangxia Liu, Baoyan Liu, Efficacy evaluation of summer acupoint application treatment on asthma patients: a two-year follow-up clinical study, *Journal of Traditional Chinese Medicine*, 10.1016/S0254-6272(15)30004-2, 35, 1, (21-27), (2015). [Crossref⁷²](#)
- Won-Mo Jung, Taehyung Lee, In-Seon Lee, Sanghyun Kim, Hyunchul Jang, Song-Yi Kim, Hi-Joon Park, Younbyoung Chae, Spatial Patterns of the Indications of Acupoints Using Data Mining in Classic Medical Text: A Possible Visualization of the Meridian System, *Evidence-Based Complementary and Alternative Medicine*, 10.1155/2015/457071, 2015, (1-7), (2015). [Crossref⁷³](#)
- Kwang-Sup Soh, Hypothesis on the Treatment of Gliomas with Acupuncture at the Primo Node Corresponding to Zusanli (ST 36), *Medical Acupuncture*, 10.1089/acu.2014.1089, 27, 3, (144-150), (2015). [Crossref⁷⁴](#)
- Marco Gemma, Elisa Nicelli, Luigi Gioia, Elena Moizo, Luigi Beretta, Maria Rosa Calvi, Acupuncture accelerates recovery after general anesthesia: a prospective randomized controlled trial, *Journal of Integrative Medicine*, 10.1016/S2095-4964(15)60159-5, 13, 2, (99-104), (2015). [Crossref⁷⁵](#)
- Michele Gallamini, Giovanni D'Angelo, Gabriele Belloni, Biolite: A Patented Ultra-Low-Level Laser-Therapy Device for Treating Musculoskeletal Pain and Associated Impairments, *Journal of Acupuncture and Meridian Studies*, 10.1016/j.jams.2015.02.001, 8, 4, (167-174), (2015). [Crossref⁷⁶](#)
- Poney Chiang, What is the Point of Acupuncture?, *Medical Acupuncture*, 10.1089/acu.2015.1093, 27, 2, (67-80), (2015). [Crossref⁷⁷](#)
- Richard F. Hobbs, Acupuncture—Biophysics or Metaphysics?, *Medical Acupuncture*, 10.1089/acu.2015.1097, 27, 2, (62-66), (2015). [Crossref⁷⁸](#)
- Ali Khorsand, Jiang Zhu, Hamidreza Bahrami-Taghanaki, Sara Baghani, Liangxiao Ma, Shima Rezaei, Investigation of the electrical impedance of acupuncture points and non-acupuncture points before and after acupuncture, using a four-electrode device, *Acupuncture in Medicine*, 10.1136/acupmed-2014-010697, 33, 3, (230-236), (2015). [Crossref⁷⁹](#)
- Fang Li, Tian He, Qian Xu, Li-Ting Lin, Hui Li, Yan Liu, Guang-Xia Shi, Cun-Zhi Liu, What is the Acupoint? A preliminary review of Acupoints, *Pain Medicine*, 10.1111/pme.12761, 16, 10, (1905-1915), (2015). [Wiley Online Library⁸⁰](#)
- Song-Yi Kim, Sang-Woo Kim, Hi-Joon Park, Different Responses to Acupuncture in Electroencephalogram according to Stress Level: A Randomized, Placebo-Controlled, Cross-Over Trial, *Korean Journal of Acupuncture*, 10.14406/acu.2014.022, 31, 3, (136-145), (2014). [Crossref⁸¹](#)
- Heming Zhu, Acupoints Initiate the Healing Process, *Medical Acupuncture*, 10.1089/acu.2014.1057, 26, 5, (264-270), (2014). [Crossref⁸²](#)
- G. Ding, Z. Wu, D. Zhang, Z. Sa, K. Cheng, Biophysical Bases of Acupuncture, *Comprehensive Biomedical Physics*, 10.1016/B978-0-444-53632-7.01018-2, (299-316), (2014). [Crossref⁸³](#)
- Yuan-yuan Lin, Yin-ping Wang, Hao-yang Lu, Xiu-cai Guo, Xia Liu, Chuan-bin Wu, Yue-hong Xu, Plasma pharmacokinetics and lung distribution of tetrahydropalmatine after topical application of cold asthma recipe extract: Feishu (BL 13) versus Non-Feishu acupoint, *Journal of Ethnopharmacology*, 10.1016/j.jep.2014.03.009, 153, 2, (454-460), (2014). [Crossref⁸⁴](#)
- Yiu Ming Wong, Electrical Property of Acupoints, *The Journal of Alternative and Complementary Medicine*, 10.1089/acm.2013.0169, 20, 2, (145-146), (2014). [Crossref⁸⁵](#)
- Nadia Elisabeth Haddad, Oxana Palesh, Acupuncture in the Treatment of Cancer-Related Psychological Symptoms, *Integrative Cancer Therapies*, 10.1177/1534735413520181, 13, 5, (371-385), (2014). [Crossref⁸⁶](#)
- Soo-Byeong Kim, Kyung-Yul Chung, Mi-Seon Jeon, Tae-Min Shin, Yong-Heum Lee, Body Composition Factor Comparisons of the Intracellular Fluid (ICW), Extracellular Fluid (ECW) and Cell Membrane at Acupuncture Points and Non-Acupuncture Points by Inducing Multiple Ionic Changes, *Korean Journal of Acupuncture*, 10.14406/acu.2014.005, 31, 2, (66-78), (2014). [Crossref⁸⁷](#)
- Martha Liliana Beltrán Molano, Laura Bibiana Pinilla Bonilla, Eduardo Humberto Beltrán Dussan, Carlos Alberto Vásquez Londoño, Anatomic-Functional Correlation between Head Zones and Acupuncture Channels and Points: A Comparative Analysis from the Perspective of Neural Therapy, *Evidence-Based Complementary and Alternative Medicine*, 10.1155/2014/836392, 2014, (1-12), (2014). [Crossref⁸⁸](#)
- Evan H. Kwong, Thomas W. Findley, Fascia—Current knowledge and future directions in psychiatry: Narrative review, *Journal of Rehabilitation Research and Development*, 10.1682/JRRD.2013.10.0220, 51, 6, (875-884), (2014). [Crossref⁸⁹](#)
- Kwokming James Cheng, Neurobiological Mechanisms of Acupuncture for Some Common Illnesses: A Clinician's Perspective, *Journal of Acupuncture and Meridian Studies*, 10.1016/j.jams.2013.07.008, 7, 3, (105-114), (2014). [Crossref⁹⁰](#)
- Jing-Wen Yang, Qian-Qian Li, Fang Li, Qing-Nan Fu, Xiang-Hong Zeng, Cun-Zhi Liu, The Holistic Effects of Acupuncture Treatment, *Evidence-Based Complementary and Alternative Medicine*, 10.1155/2014/739708, 2014, (1-10), (2014). [Crossref⁹¹](#)
- Shu-Yih Wu, Wei-Hsin Chen, Ching-Liang Hsieh, Yi-Wen Lin, Abundant expression and functional participation of TRPV1 at Zusanli acupoint (ST36) in mice: mechanosensitive TRPV1 as an “acupuncture-responding channel”, *BMC Complementary and Alternative Medicine*, 10.1186/1472-6882-14-96, 14, 1, (2014). [Crossref⁹²](#)
- Morry Silberstein, Is acupuncture “stimulation” a misnomer? A case for using the term “blockade”, *BMC Complementary and Alternative Medicine*, 10.1186/1472-6882-13-68, 13, 1, (2013). [Crossref⁹³](#)
- In-Seon Lee, Soon-Ho Lee, Song-Yi Kim, Hyejung Lee, Hi-Joon Park, Younbyoung Chae, Visualization of the Meridian System Based on Biomedical Information about Acupuncture Treatment, *Evidence-Based Complementary and Alternative Medicine*, 10.1155/2013/872142, 2013, (1-5), (2013). [Crossref⁹⁴](#)
- Helene M. Langevin, Part 1, Trigger Point Dry Needling, 10.1016/B978-0-7020-4601-8.10008-8, (29-33), (2013). [Crossref⁹⁵](#)
- Byung-Cheon Lee, Walter J. Akers, Xianghong Jing, M. Isabel Miguel Perez, Yeonhee Ryu, Primo Vascular System: Past, Present, and Future, *Evidence-Based Complementary and Alternative Medicine*, 10.1155/2013/240168, 2013, (1-2), (2013). [Crossref⁹⁶](#)
- Andrew Bannan, Acupuncture in physiotherapy, *Tidy's Physiotherapy*, 10.1016/B978-0-7020-4344-4.00018-3, (403-415), (2013). [Crossref⁹⁷](#)
- Im Quah-Smith, Caroline Smith, John D. Crawford, Janice Russell, Laser acupuncture for depression: A randomised double blind controlled trial using low intensity laser intervention, *Journal of Affective Disorders*, 10.1016/j.jad.2012.11.058, 148, 2-3, (179-187), (2013). [Crossref⁹⁸](#)
180. <https://onlinelibrary.wiley.com/doi/10.1111/pme.12761>
181. <https://doi.org/10.14406/acu.2014.022>
182. <https://doi.org/10.1089/acu.2014.1057>
183. <https://doi.org/10.1016/B978-0-444-53632-7.01018-2>
184. <https://doi.org/10.1016/j.jep.2014.03.009>
185. <https://doi.org/10.1089/acm.2013.0169>
186. <https://doi.org/10.1177/1534735413520181>
187. <https://doi.org/10.14406/acu.2014.005>
188. <https://doi.org/10.1155/2014/836392>
189. <https://doi.org/10.1682/JRRD.2013.10.0220>
190. <https://doi.org/10.1016/j.jams.2013.07.008>
191. <https://doi.org/10.1155/2014/739708>
192. <https://doi.org/10.1186/1472-6882-14-96>
193. <https://doi.org/10.1186/1472-6882-13-68>
194. <https://doi.org/10.1155/2013/872142>
195. <https://doi.org/10.1016/B978-0-7020-4601-8.10008-8>
196. <https://doi.org/10.1155/2013/240168>
197. <https://doi.org/10.1016/B978-0-7020-4344-4.00018-3>
198. <https://doi.org/10.1016/j.jad.2012.11.058>

C. Will Chen, Chen-Jei Tai, Cheuk-Sing Choy, Chau-Yun Hsu, Shoei-Loong Lin, Wing P. Chan, Han-Sun Chiang, Chang-An Chen, Ting-Kai Leung, Wave-Induced Flow in Meridians Demonstrated Using Photoluminescent Bioceramic Material on Acupuncture Points, Evidence-Based Complementary and Alternative Medicine, 10.1155/2013/739293, 2013, (1-11), (2013). [Crossref¹⁹⁹](#)

Raphael J. Hochstrasser, P. Christian Endler, Sabine D. Klein, Introduction of two novel devices for investigating the influence of non-mechanical components such as therapeutic qi in acupuncture, Journal of Integrative Medicine, 10.3736/jintegrmed2013030, 11, 3, (168-174), (2013). [Crossref²⁰⁰](#)

W. Evan Rivers, Felise Zollman, Reliability of Surface Acupuncture Point Location, Medical Acupuncture, 10.1089/acu.2012.0929, 25, 2, (134-140), (2013). [Crossref²⁰¹](#)

Stefano Marcelli, Gross Anatomy and Acupuncture: A Comparative Approach to Reappraise the Meridian System, Medical Acupuncture, 10.1089/acu.2012.0875, 25, 1, (5-22), (2013). [Crossref²⁰²](#)

Jaung-Geng Lin, Pei-Chi Chou, Heng-Yi Chu, An Exploration of the Needling Depth in Acupuncture: The Safe Needling Depth and the Needling Depth of Clinical Efficacy, Evidence-Based Complementary and Alternative Medicine, 10.1155/2013/740508, 2013, (1-21), (2013). [Crossref²⁰³](#)

DARCY A. UMPHRED, CAROL M. DAVIS, MARY LOU GALANTINO, Complementary and alternative therapies: beyond traditional approaches to intervention in neurological diseases and movement disorders, Neurological Rehabilitation, 10.1016/B978-0-323-07586-2.00048-0, (1173-1214), (2013). [Crossref²⁰⁴](#)

Alessandra de Almeida Fagundes, Mariana César Ribeiro Reis, Maira Salles, Maria Graças Bastos Licuerci, Immediate Effects of Acupuncture for Managing Myofascial Trigger-Point Pain: A Pilot Study, Medical Acupuncture, 10.1089/acu.2012.0902, 25, 1, (55-60), (2013). [Crossref²⁰⁵](#)

Yi Zhuang, Jing-jing Xing, Juan Li, Bai-Yun Zeng, Fan-rong Liang, History of Acupuncture Research, Neurobiology of Acupuncture, 10.1016/B978-0-12-411545-3.00001-8, (1-23), (2013). [Crossref²⁰⁶](#)

Arya Nielsen, Ted J. Kaptchuk, Sha syndrome and Gua sha, cao gio, coining, scraping, Gua Sha, 10.1016/B978-0-7020-3108-3.00005-4, (39-44), (2013). [Crossref²⁰⁷](#)

Arya Nielsen, Ted J. Kaptchuk, Physiology of Gua sha, Gua Sha, 10.1016/B978-0-7020-3108-3.00003-0, (21-30), (2013). [Crossref²⁰⁸](#)

Shirley P.C. Ngai, Alice Y.M. Jones, Changes in Skin Impedance and Heart Rate Variability with Application of Acu-TENS to BL 13 (Feishu) , The Journal of Alternative and Complementary Medicine, 10.1089/acm.2012.0097, 19, 6, (558-563), (2013). [Crossref²⁰⁹](#)

Isabelle Nègre, Méthodes non médicamenteuses : compréhension actuelle des mécanismes d'action, Douleurs : Evaluation - Diagnostic - Traitement, 10.1016/j.douleur.2013.01.007, 14, 3, (111-118), (2013). [Crossref²¹⁰](#)

Guanghong Ding, Di Zhang, Meng Huang, Lina Wang, Wei Yao, Function of Collagen and Mast Cells in Acupuncture Points, Current Research in Acupuncture, 10.1007/978-1-4614-3357-6, (53-87), (2013). [Crossref²¹¹](#)

Sung-Ho Lee, Geon-Ho Jahng, Il-Hwan Choe, Chi-Bong Choi, Dae-Hyun Kim, Hwi-Yool Kim, Neural Pathway Interference by Retained Acupuncture: A Functional MRI Study of a Dog Model of Parkinson's Disease, CNS Neuroscience & Therapeutics, 10.1111/cns.12108, 19, 8, (585-595), (2013). [Wiley Online Library²¹²](#)

Hee Young Kim, Sung Tae Koo, Jae Hyo Kim, Kyungeh An, Kyungsoon Chung, Jin Mo Chung, Electroacupuncture analgesia in rat ankle sprain pain model: neural mechanisms, Neurological Research, 10.1179/016164109X12537002793689, 32, sup1, (10-17), (2013). [Crossref²¹³](#)

ChangShik Yin, ByungKwan Seo, Hi-Joon Park, Miran Cho, WooSang Jung, Ryowon Chung, ChangHwan Kim, Hun-Kuk Park, Hyejung Lee, HyeongGyun Koh, Acupuncture, a promising adjunctive therapy for essential hypertension: a double-blind, randomized, controlled trial, Neurological Research, 10.1179/016164107X172220, 29, sup1, (98-103), (2013). [Crossref²¹⁴](#)

Gary Deng, Barrie Cassileth, Complementary or alternative medicine in cancer care—myths and realities, Nature Reviews Clinical Oncology, 10.1038/nrclinonc.2013.125, 10, 11, (656-664), (2013). [Crossref²¹⁵](#)

James L Oschman, Fascia as a body-wide communication system, Fascia: The Tensional Network of the Human Body, 10.1016/B978-0-7020-3425-1.00049-0, (103-110), (2012). [Crossref²¹⁶](#)

David Feinstein, Acupoint Stimulation in Treating Psychological Disorders: Evidence of Efficacy, Review of General Psychology, 10.1037/a0028602, 16, 4, (364-380), (2012). [Crossref²¹⁷](#)

199. <https://doi.org/10.1155/2013/739293>
 200. <https://doi.org/10.3736/jintegrmed2013030>
 201. <https://doi.org/10.1089/acu.2012.0929>
 202. <https://doi.org/10.1089/acu.2012.0875>
 203. <https://doi.org/10.1155/2013/740508>
 204. <https://doi.org/10.1016/B978-0-323-07586-2.00048-0>
 205. <https://doi.org/10.1089/acu.2012.0902>
 206. <https://doi.org/10.1016/B978-0-12-411545-3.00001-8>
 207. <https://doi.org/10.1016/B978-0-7020-3108-3.00005-4>
 208. <https://doi.org/10.1016/B978-0-7020-3108-3.00003-0>
 209. <https://doi.org/10.1089/acm.2012.0097>
 210. <https://doi.org/10.1016/j.douleur.2013.01.007>
 211. <https://doi.org/10.1007/978-1-4614-3357-6>
 212. <https://onlinelibrary.wiley.com/doi/10.1111/cns.12108>
 213. <https://doi.org/10.1179/016164109X12537002793689>
 214. <https://doi.org/10.1179/016164107X172220>
 215. <https://doi.org/10.1038/nrclinonc.2013.125>
 216. <https://doi.org/10.1016/B978-0-7020-3425-1.00049-0>
 217. <https://doi.org/10.1037/a0028602>

Jun J. Mao, Malini M. Khanna, Integrating Acupuncture with Western Medicine in Cancer Treatment, Acupuncture and Moxibustion as an Evidence-based Therapy for Cancer, 10.1007/978-94-007-4833-0_14, (313-328), (2012). [Crossref²¹⁸](#)

Alex Benham, Mark I. Johnson, Characterization of Painful and Non-painful Acupuncture Needle Sensations During Bidirectional Rotation of a Single Needle Inserted 15–25 mm at Large Intestine 10, Medical Acupuncture, 10.1089/acu.2011.0861, 24, 3, (172-180), (2012). [Crossref²¹⁹](#)

Li-Ling Lin, Ya-Hui Wang, Chi-Yu Lai, Chan-Lao Chau, Guan-Chin Su, Chun-Yi Yang, Shu-Ying Lou, Szu-Kai Chen, Kuan-Hao Hsu, Yen-Ling Lai, Wei-Ming Wu, Jian-Long Huang, Chih-Hsin Liao, Hsueh-Fen Juan, Systems Biology of Meridians, Acupoints, and Chinese Herbs in Disease, Evidence-Based Complementary and Alternative Medicine, 10.1155/2012/372670, 2012, (1-13), (2012). [Crossref²²⁰](#)

Arya Nielsen, Gua sha, Fascia: The Tensional Network of the Human Body, 10.1016/B978-0-7020-3425-1.00009-X, (359-365), (2012). [Crossref²²¹](#)

Hugh MacPherson, Richard Hammerschlag, Acupuncture and the Emerging Evidence Base: Contrived Controversy and Rational Debate, Journal of Acupuncture and Meridian Studies, 10.1016/j.jams.2012.05.001, 5, 4, (141-147), (2012). [Crossref²²²](#)

Yejin Ha, Misun Kim, Jiseon Nah, Minah Suh, Youngmi Lee, Measurements of Location-Dependent Nitric Oxide Levels on Skin Surface in relation to Acupuncture Point, Evidence-Based Complementary and Alternative Medicine, 10.1155/2012/781460, 2012, (1-7), (2012). [Crossref²²³](#)

Elisabeth Hsu, “Feeling lighter”: Why the patient's treatment evaluation matters to the health scientist, Integrative Medicine Research, 10.1016/j.imr.2012.10.003, 1, 1, (5-12), (2012). [Crossref²²⁴](#)

Petra I. Bäumlner, Michael Simang, Sybille Kramer, Dominik Irnich, Acupuncture Point Localization Varies Among Acupuncturists, Forschende Komplementärmedizin / Research in Complementary Medicine, 10.1159/000335825, 19, 1, (31-37), (2012). [Crossref²²⁵](#)

Belinda Anderson, Arya Nielsen, Diane McKee, Anne Jeffers, Ben Kligler, Acupuncture and Heart Rate Variability: A Systems Level Approach to Understanding Mechanism, EXPLORE: The Journal of Science and Healing, 10.1016/j.explore.2011.12.002, 8, 2, (99-106), (2012). [Crossref²²⁶](#)

Xiaoyu Wang, Hong Shi, Hongyan Shang, Yangshuai Su, Juanjuan Xin, Wei He, Xianghong Jing, Bing Zhu, Are Primo Vessels (PVs) on the Surface of Gastrointestine Involved in Regulation of Gastric Motility Induced by Stimulating Acupoints ST36 or CV12?, Evidence-Based Complementary and Alternative Medicine, 10.1155/2012/787683, 2012, (1-8), (2012). [Crossref²²⁷](#)

Dominik Irnich, Johannes Fleckenstein, Acupuncture as a fascia-oriented therapy, Fascia: The Tensional Network of the Human Body, 10.1016/B978-0-7020-3425-1.00010-6, (349-357), (2012). [Crossref²²⁸](#)

Byung-Cheon Lee, Zhendong Su, Baeckkyoung Sung, Ki Woo Kim, Jin-Myung Cha, Jin-Kyu Lee, Byung-Joon Chang, Kwang-Sup Soh, Network of the Primo Vascular System in the Rat Hypodermis, The Primo Vascular System, 10.1007/978-1-4614-0601-3, (139-146), (2012). [Crossref²²⁹](#)

Kyoungee Bae, Zhendong Su, Kwang-Sup Soh, Hee Min Kwon, Histological Comparison of Primo Nodes in Abdominal Membrane and Lymph Nodes of Rat, The Primo Vascular System, 10.1007/978-1-4614-0601-3, (127-131), (2012). [Crossref²³⁰](#)

Yu Bai, Lin Yuan, Yong Huang, Chun-lei Wang, Jun Wang, Jin-peng Wu, Jing-xing Dai, Dong-fei Li, Chun Yang, Mei-chun Yu, Hui-ying Yang, Hui Tao, Ou Sha, David Tai Wai Yew, From the Anatomical Discovery of Meridians and Collaterals to Fasciology Theory, The Primo Vascular System, 10.1007/978-1-4614-0601-3, (305-318), (2012). [Crossref²³¹](#)

Wei Yao, Yabei Li, Guanghong Ding, Interstitial Fluid Flow: The Mechanical Environment of Cells and Foundation of Meridians, Evidence-Based Complementary and Alternative Medicine, 10.1155/2012/853516, 2012, (1-9), (2012). [Crossref²³²](#)

Jungdae Kim, Dae-In Kang, Kwang-Sup Soh, Sungchul Kim, Analysis on Postmortem Tissues at Acupuncture Points in the Image Datasets of Visible Human Project, The Journal of Alternative and Complementary Medicine, 10.1089/acm.2010.0850, 18, 2, (120-129), (2012). [Crossref²³³](#)

Marcelo L Silva, Josie RT Silva, Wiliam A Prado, The antinociceptive effect of electroacupuncture at different depths of acupoints and under the needling surface, Chinese Medicine, 10.1186/1749-8546-7-3, 1, (2012). [Crossref²³⁴](#)

Hong-Qin Yang, Shu-Sen Xie, Song-Hao Liu, Hui Li, Zhou-Yi Guo, Differences in Optical Transport Properties between Human Meridian and Non-meridian, The American Journal of Chinese Medicine, 10.1142/S0192415X07005235, 35, 05, (743-752), (2012). [Crossref²³⁵](#)

Kaung-Ti Yung, A Birdcage Model for the Chinese Meridian System Part VI: Meridians
 218. https://doi.org/10.1007/978-94-007-4833-0_14
 219. <https://doi.org/10.1089/acu.2011.0861>
 220. <https://doi.org/10.1155/2012/372670>
 221. <https://doi.org/10.1016/B978-0-7020-3425-1.00009-X>
 222. <https://doi.org/10.1016/j.jams.2012.05.001>
 223. <https://doi.org/10.1155/2012/781460>
 224. <https://doi.org/10.1016/j.imr.2012.10.003>
 225. <https://doi.org/10.1159/000335825>
 226. <https://doi.org/10.1016/j.explore.2011.12.002>
 227. <https://doi.org/10.1155/2012/787683>
 228. <https://doi.org/10.1016/B978-0-7020-3425-1.00010-6>
 229. <https://doi.org/10.1007/978-1-4614-0601-3>
 230. <https://doi.org/10.1007/978-1-4614-0601-3>
 231. <https://doi.org/10.1007/978-1-4614-0601-3>
 232. <https://doi.org/10.1155/2012/853516>
 233. <https://doi.org/10.1089/acm.2010.0850>
 234. <https://doi.org/10.1186/1749-8546-7-3>
 235. <https://doi.org/10.1142/S0192415X07005235>

- as the Primary Regulatory System, *The American Journal of Chinese Medicine*, 10.1142/S0192415X05003302, 33, 05, (759-766), (2012). [Crossref²³⁶](#)
- Letter to the Editor, *The American Journal of Chinese Medicine*, 10.1142/S0192415X05003119, 33, 03, (513-515), (2012). [Crossref²³⁷](#)
- A. Paraskeva, A. Melemini, G. Petropoulos, I. Siafaka, A. Fassoulaki, Needling of the Extra 1 Point Decreases BIS Values and Preoperative Anxiety, *The American Journal of Chinese Medicine*, 10.1142/S0192415X04002363, 32, 05, (789-794), (2012). [Crossref²³⁸](#)
- Francisco Abad-Alegria, Carlos Pomarón, About the Neurobiological Foundations of the De-Qi — Stimulus-Response Relation, *The American Journal of Chinese Medicine*, 10.1142/S0192415X04002375, 32, 05, (807-814), (2012). [Crossref²³⁹](#)
- Jesse Li-Ling, Human Phenome Based on Traditional Chinese Medicine — A Solution to Congenital Syndromology, *The American Journal of Chinese Medicine*, 10.1142/S0192415X03001594, 31, 06, (991-1000), (2012). [Crossref²⁴⁰](#)
- Lisa S. Lancaster, Robert M. Bowker, Acupuncture Points of the Horse's Distal Thoracic Limb: A Neuroanatomic Approach to the Transposition of Traditional Points, *Animals*, 10.3390/ani2030455, 2, 4, (455-471), (2012). [Crossref²⁴¹](#)
- Houju Fu, Yuanqiao He, Ying Gao, Yicun Man, Wukun Liu, Hua Hao, Acupuncture on the Endometrial Morphology, the Serum Estradiol and Progesterone Levels, and the Expression of Endometrial Leukaemia-inhibitor Factor and Osteopontin in Rats, *Evidence-Based Complementary and Alternative Medicine*, 10.1155/2011/606514, 2011, (1-9), (2011). [Crossref²⁴²](#)
- Steven Finando, Donna Finando, Fascia and the mechanism of acupuncture, *Journal of Bodywork and Movement Therapies*, 10.1016/j.jbmt.2010.03.001, 15, 2, (168-176), (2011). [Crossref²⁴³](#)
- Hyung-Joo Moon, Yong-Keun Lee, The Relationship Between Dental Occlusion/Temporomandibular Joint Status and General Body Health: Part 2. Fascial Connection of TMJ with Other Parts of the Body, *The Journal of Alternative and Complementary Medicine*, 10.1089/acm.2010.0740, 17, 12, (1119-1124), (2011). [Crossref²⁴⁴](#)
- Yu Bai, Jun Wang, Jin-peng Wu, Jing-xing Dai, Ou Sha, David Tai Wai Yew, Lin Yuan, Qi-ni Liang, Review of Evidence Suggesting That the Fascia Network Could Be the Anatomical Basis for Acupoints and Meridians in the Human Body, *Evidence-Based Complementary and Alternative Medicine*, 10.1155/2011/260510, 2011, (1-6), (2011). [Crossref²⁴⁵](#)
- James L. Oschman, Foreword and Special Contribution: The Living Matrix, *Energy Medicine East and West*, 10.1016/B978-0-7020-3571-5.00032-9, (x-xix), (2011). [Crossref²⁴⁶](#)
- Therapie myofaszialer Schmerzsyndrome, Myofasziale Schmerzen und Triggerpunkte, 10.1016/B978-3-437-23095-0.10004-5, (51-91), (2011). [Crossref²⁴⁷](#)
- Xiangeng Zhang, Hui Zhang, Xiaoli Liang, Qin Liu, Miqu Wang, Gynecology and Gynecological Nursing Theories and Practices in Traditional Chinese Medicine: Review on the Ancient Literatures, *Chinese Medicine*, 10.4236/cm.2011.23014, 02, 03, (77-83), (2011). [Crossref²⁴⁸](#)
- Pei-Chi Chou, Heng-Yi Chu, Jaung-Geng Lin, Safe Needling Depth of Acupuncture Points, *The Journal of Alternative and Complementary Medicine*, 10.1089/acm.2010.0192, 17, 3, (199-206), (2011). [Crossref²⁴⁹](#)
- References and further reading, *Energy Medicine East and West*, 10.1016/B978-0-7020-3571-5.00037-8, (339-382), (2011). [Crossref²⁵⁰](#)
- Dongming Zhang, Xiaohui Yan, Xinyi Zhang, Chenglin Liu, Ruishan Dang, Tiqiao Xiao, Peiping Zhu, Synchrotron radiation phase-contrast X-ray CT imaging of acupuncture points, *Analytical and Bioanalytical Chemistry*, 10.1007/s00216-011-4913-7, 401, 3, (803-808), (2011). [Crossref²⁵¹](#)
- Stéphane J-P. Egot-Lemaire, Marvin C. Ziskin, Dielectric properties of human skin at an acupuncture point in the 50–75 GHz frequency range: A pilot study, *Bioelectromagnetics*, 10.1002/bem.20650, 32, 5, (360-366), (2011). [Wiley Online Library²⁵²](#)
- Chi Eung Danforn Lim, Felix Wu Shun Wong, Warren Smith, Factors influencing the bio-impedance data in tissue segments along the three arm meridians: a pilot study, *TANG [HUMANITAS MEDICINE]*, 10.5667/tang.2011.0004, 1, 1, (7.1-7.9), (2011). [Crossref²⁵³](#)
- Luigi Baratto, Laura Calzà, Roberto Capra, Michele Gallamini, Luciana Giardino, Alessandro Giuliani, Luca Lorenzini, Silvano Traverso, Ultra-low-level laser therapy, *Lasers in Medical Science*, 10.1007/s10103-010-0837-2, 26, 1, (103-112), (2010). [Crossref²⁵⁴](#)
- Yavuz Beyazit, Murat Kekilli, Fatma Beyazit, Sticking the pieces together: A unifying hypothesis for the acupuncture meridian pathways and extracellular signalling, *Medical Hypotheses*, 10.1016/j.mehy.2010.01.022, 74, 6, (1088), (2010). [Crossref²⁵⁵](#)
- Hugh Gemmill, Peter Miller, Relative effectiveness and adverse effects of cervical manipulation, mobilisation and the activator instrument in patients with sub-acute non-specific neck pain: results from a stopped randomised trial, *Chiropractic & Osteopathy*, 10.1186/1746-1340-18-20, 18, 1, (2010). [Crossref²⁵⁶](#)
- Peter T. Dorsher, Clinical Equivalence of Laser Needle to Metal Acupuncture Needle in Treating Musculoskeletal Pain: A Pilot Study, *Medical Acupuncture*, 10.1089/acu.2009.0724, 22, 1, (11-17), (2010). [Crossref²⁵⁷](#)
- Marco Antonio Helio da Silva, A Neurosegmental Perspective of the Classical Back Shu Points, *Medical Acupuncture*, 10.1089/acu.2010.0762, 22, 4, (257-264), (2010). [Crossref²⁵⁸](#)
- Laurent Misery, Laurence Potin-Richard, Itch and Acupuncture, *Pruritus*, 10.1007/978-1-84882-322-8, (335-338), (2010). [Crossref²⁵⁹](#)
- Guang Ying Huang, Cui Hong Zheng, Yun Xia Wu, Wei Wang, Involvement of connexin 43 in the acupuncture effect of improving rat blastocyst implantation, *Fertility and Sterility*, 10.1016/j.fertnstert.2009.09.036, 93, 5, (1715-1717), (2010). [Crossref²⁶⁰](#)
- Felix Wu Shun Wong, Chi Eung Danforn Lim, Warren Smith, A New Bioimpedance Research Device (BIRD) for Measuring the Electrical Impedance of Acupuncture Meridians, *The Journal of Alternative and Complementary Medicine*, 10.1089/acm.2009.0218, 16, 3, (257-264), (2010). [Crossref²⁶¹](#)
- Jennifer A. M. Stone, Peter A. S. Johnstone, Mechanisms of Action for Acupuncture in the Oncology Setting, *Current Treatment Options in Oncology*, 10.1007/s11864-010-0128-y, 11, 3-4, (118-127), (2010). [Crossref²⁶²](#)
- Yu Bai, Lin Yuan, Kwang-Sup Soh, Byung-Cheon Lee, Yong Huang, Chun-lei Wang, Jun Wang, Jin-peng Wu, Jing-xing Dai, Janos Palhalmi, Ou Sha, David Tai Wai Yew, Possible Applications for Fascial Anatomy and Fasciology in Traditional Chinese Medicine, *Journal of Acupuncture and Meridian Studies*, 10.1016/S2005-2901(10)60023-4, 3, 2, (125-132), (2010). [Crossref²⁶³](#)
- Peter T. Dorsher, The Languages of Healing: Linked by a Common Thread, *The Journal of Alternative and Complementary Medicine*, 10.1089/acm.2009.0527, 16, 8, (907-913), (2010). [Crossref²⁶⁴](#)
- Fei Zhou, Dengkai Huang YingXia, Neuroanatomic Basis of Acupuncture Points, *Acupuncture Therapy for Neurological Diseases*, 10.1007/978-3-642-10857-0, (32-80), (2010). [Crossref²⁶⁵](#)
- Roeland van Wijk, Jan van der Greef, Eduard van Wijk, Human Ultraweak Photon Emission and the Yin Yang Concept of Chinese Medicine, *Journal of Acupuncture and Meridian Studies*, 10.1016/S2005-2901(10)60041-6, 3, 4, (221-231), (2010). [Crossref²⁶⁶](#)
- Pierre Boutouyrie, Robert Corvisier, Kim-Than Ong, Claire Vulser, Catherine Lassalle, Michel Azizi, Brigitte Laloux, Stéphane Laurent, Acute and chronic effects of acupuncture on radial artery: A randomized double blind study in migraine, *Artery Research*, 10.1016/j.artres.2009.12.003, 4, 1, (7-14), (2010). [Crossref²⁶⁷](#)
- Jun J. Mao, Rahul Kapur, Acupuncture in Primary Care, *Primary Care: Clinics in Office Practice*, 10.1016/j.pop.2009.09.010, 37, 1, (105-117), (2010). [Crossref²⁶⁸](#)
- Andrew C. Ahn, Min Park, Jessica R. Shaw, Claire A. McManus, Ted J. Kaptchuk, Helene M. Langevin, Electrical Impedance of Acupuncture Meridians: The Relevance of Subcutaneous Collagenous Bands, *PLoS ONE*, 10.1371/journal.pone.0011907, 5, 7, (e11907), (2010). [Crossref²⁶⁹](#)
- Kang Cheng, Chang Hua Zou, Information Models of Acupuncture Analgesia and Meridian Channels, *Information*, 10.3390/info1020153, 1, 2, (153-168), (2010). [Crossref²⁷⁰](#)
- Peter T. Dorsher, Myofascial Meridians as Anatomical Evidence of Acupuncture Channels, *Medical Acupuncture*, 10.1089/acu.2009.0631, 21, 2, (91-97), (2009). [Crossref²⁷¹](#)
- Kwang-Sup Soh, Bonghan Circulatory System as an Extension of Acupuncture Meridians, *Journal of Acupuncture and Meridian Studies*, 10.1016/S2005-2901(09)60041-8, 2, 2, (93-106), (2009). [Crossref²⁷²](#)
- Peter T. Dorsher, Myofascial Referred-Pain Data Provide Physiologic Evidence of Acupuncture Meridians, *The Journal of Pain*, 10.1016/j.jpain.2008.12.010, 10, 7, (723-731), (2009). [Crossref²⁷³](#)
- Charles Shang, Prospective Tests on Biological Models of Acupuncture, *Evidence-Based Complementary and Alternative Medicine*, 10.1093/ecam/nem122, 6, 1, (31-39), (2009). [Crossref²⁷⁴](#)
- Antonio Stecco, Veronica Macchi, Carla Stecco, Andrea Porzionato, Julie Ann Day, Vincent Delmas, Raffaele De Caro, Anatomical study of myofascial continuity in the anterior region of the upper limb, *Journal of Bodywork and Movement Therapies*, 10.1016/j.jbmt.2007.04.009, 13, 1, (53-62), (2009). [Crossref²⁷⁵](#)

236. <https://doi.org/10.1142/S0192415X05003302>237. <https://doi.org/10.1142/S0192415X05003119>238. <https://doi.org/10.1142/S0192415X04002363>239. <https://doi.org/10.1142/S0192415X04002375>240. <https://doi.org/10.1142/S0192415X03001594>241. <https://doi.org/10.3390/ani2030455>242. <https://doi.org/10.1155/2011/606514>243. <https://doi.org/10.1016/j.jbmt.2010.03.001>244. <https://doi.org/10.1089/acm.2010.0740>245. <https://doi.org/10.1155/2011/260510>246. <https://doi.org/10.1016/B978-0-7020-3571-5.00032-9>247. <https://doi.org/10.1016/B978-3-437-23095-0.10004-5>248. <https://doi.org/10.4236/cm.2011.23014>249. <https://doi.org/10.1089/acm.2010.0192>250. <https://doi.org/10.1016/B978-0-7020-3571-5.00037-8>251. <https://doi.org/10.1007/s00216-011-4913-7>252. <https://onlinelibrary.wiley.com/doi/10.1002/bem.20650>253. <https://doi.org/10.5667/tang.2011.0004>254. <https://doi.org/10.1007/s10103-010-0837-2>255. <https://doi.org/10.1016/j.mehy.2010.01.022>256. <https://doi.org/10.1186/1746-1340-18-20>257. <https://doi.org/10.1089/acu.2009.0724>258. <https://doi.org/10.1089/acu.2010.0762>259. <https://doi.org/10.1007/978-1-84882-322-8>260. <https://doi.org/10.1016/j.fertnstert.2009.09.036>261. <https://doi.org/10.1089/acm.2009.0218>262. <https://doi.org/10.1007/s11864-010-0128-y>263. [https://doi.org/10.1016/S2005-2901\(10\)60023-4](https://doi.org/10.1016/S2005-2901(10)60023-4)264. <https://doi.org/10.1089/acm.2009.0527>265. <https://doi.org/10.1007/978-3-642-10857-0>266. [https://doi.org/10.1016/S2005-2901\(10\)60041-6](https://doi.org/10.1016/S2005-2901(10)60041-6)267. <https://doi.org/10.1016/j.artres.2009.12.003>268. <https://doi.org/10.1016/j.pop.2009.09.010>269. <https://doi.org/10.1371/journal.pone.0011907>270. <https://doi.org/10.3390/info1020153>271. <https://doi.org/10.1089/acu.2009.0631>272. [https://doi.org/10.1016/S2005-2901\(09\)60041-8](https://doi.org/10.1016/S2005-2901(09)60041-8)273. <https://doi.org/10.1016/j.jpain.2008.12.010>274. <https://doi.org/10.1093/ecam/nem122>275. <https://doi.org/10.1016/j.jbmt.2007.04.009>

Sang-Hyun Park, Jungdae Kim, Tae-Hoi Koo, Magneto-Acupuncture Stimuli Effects on Ultraweak Photon Emission from Hands of Healthy Persons, *Journal of Acupuncture and Meridian Studies*, 10.1016/S2005-2901(09)60014-5, 2, 1, (40-48), (2009). [Crossref²⁷⁶](#)

James L. Oschman, Charge transfer in the living matrix, *Journal of Bodywork and Movement Therapies*, 10.1016/j.jbmt.2008.06.005, 13, 3, (215-228), (2009). [Crossref²⁷⁷](#)

Hsiao-Neng Chen, Jaung-Geng Lin, Li-Chih Ying, Chen-Chai Huang, Chuan-Hsiung Lin, The Therapeutic Depth of Abdominal Acupuncture Points Approaches the Safe Depth in Overweight and in Older Children, *The Journal of Alternative and Complementary Medicine*, 10.1089/acm.2008.0582, 15, 9, (1033-1037), (2009). [Crossref²⁷⁸](#)

Sallie Stoltz Denner, The Science of Energy Therapies and Contemplative Practice, *Holistic Nursing Practice*, 10.1097/HNP.0b013e3181b1f3784, 23, 6, (315-334), (2009). [Crossref²⁷⁹](#)

N. Ospina-Díaz, Introducción a la acupuntura. Fundamentos e interés para el médico de Atención Primaria, *SEMERGEN - Medicina de Familia*, 10.1016/S1138-3593(09)72675-9, 35, 8, (380-384), (2009). [Crossref²⁸⁰](#)

Suzanne McDonough, Jongbae Park, Jing Yuan, Purepong Nithima, Daniel P. Kerr, Letters, *Spine*, 10.1097/BRS.0b013e31819d071c, 34, 7, (753), (2009). [Crossref²⁸¹](#)

Charles Shang, Has Basic Acupuncture Research Met the Gold Standard of Science?, *Medical Acupuncture*, 10.1089/acu.2009.715, 21, 3, (191-200), (2009). [Crossref²⁸²](#)

Xiaohui Yan, Xinyi Zhang, Chenglin Liu, Ruishan Dang, Yuying Huang, Wei He, Guanghong Ding, Do acupuncture points exist?, *Physics in Medicine and Biology*, 10.1088/0031-9155/54/9/N01, 54, 9, (N143-N150), (2009). [Crossref²⁸³](#)

Xiaojia Yu, Guanghong Ding, Hong Huang, Jun Lin, Wei Yao, Rui Zhan, Role of Collagen Fibers in Acupuncture Analgesia Therapy on Rats, *Connective Tissue Research*, 10.1080/03008200802471856, 50, 2, (110-120), (2009). [Crossref²⁸⁴](#)

James J. Mao, Deborah W. Bruner, Carrie Stricker, John T. Farrar, Sharon X. Xie, Marjorie A. Bowman, Donna Pucci Xiaoyan Han, Angela DeMichele, Feasibility Trial of Electroacupuncture for Aromatase Inhibitor—Related Arthralgia in Breast Cancer Survivors, *Integrative Cancer Therapies*, 10.1177/1534735409332903, 8, 2, (123-129), (2009). [Crossref²⁸⁵](#)

HongQin Yang, ShuSen Xie, Hui Li, YuHua Wang, On optics of human meridians, *Science in China Series G: Physics, Mechanics and Astronomy*, 10.1007/s11433-009-0080-7, 52, 4, (502-507), (2009). [Crossref²⁸⁶](#)

Dietrich H.W. Groenemeyer, Lei Zhang, Sven Schirp, Jürgen Baier, Localization of Acupuncture Points BL25 and BL26 Using Computed Tomography, *The Journal of Alternative and Complementary Medicine*, 10.1089/acm.2007.7118-O, 15, 12, (1285-1291), (2009). [Crossref²⁸⁷](#)

Mike Benjamin, The fascia of the limbs and back – a review, *Journal of Anatomy*, 10.1111/j.1469-7580.2008.01011.x, 214, 1, (1-18), (2008). [Wiley Online Library²⁸⁸](#)

Jesse Li-Ling, Yiyang Wu, Congenital Syndromes Involving the Lungs: Pathogenetic Models Based on Chinese Medicine Theories, *The Journal of Alternative and Complementary Medicine*, 10.1089/acm.2008.0115, 14, 8, (1017-1025), (2008). [Crossref²⁸⁹](#)

Byung-Cheon Lee, Tae-Jeong Nam, Hyeon-Min Johng, Eun-Sung Park, Ku-Youn Baik, Baek-Kyoung Sung, Kyung-Soon Soh, Yeo-Sung Yoon, Kwang-Sup Soh, Argyrophilic Fibers of Intravascular Threadlike Structures in Rat, *Journal of Korean Institute of Herbal Acupuncture*, 10.3831/KPI.2008.11.3.005, 11, 3, (5-16), (2008). [Crossref²⁹⁰](#)

Di Zhang, Guanghong Ding, Xueyong Shen, Wei Yao, Zhiying Zhang, Yuqing Zhang, Jun Lin, Quanbao Gu, Role of Mast Cells in Acupuncture Effect: A Pilot Study, *EXPLORE*, 10.1016/j.explore.2008.02.002, 4, 3, (170-177), (2008). [Crossref²⁹¹](#)

Stephen M. Sagar, Acupuncture as an Evidence-Based Option for Symptom Control in Cancer Patients, *Current Treatment Options in Oncology*, 10.1007/s11864-008-0063-3, 9, 2-3, (117-126), (2008). [Crossref²⁹²](#)

M. Miguel-Pérez, J.C. Ortiz-Sagrístá, A. Pérez-Bellmunt, R. Ramos-Izquierdo, A. García-Fernández, Descripción anatómica de puntos de acupuntura en la extremidad inferior, *Revista Internacional de Acupuntura*, 10.1016/S1887-8369(08)70031-0, 2, 2, (126-131), (2008). [Crossref²⁹³](#)

Marcus Bäcker, Paul Grossman, Jens Schneider, Andreas Michalsen, Nicola Knoblauch, Linda Tan, Corinna Niggemeyer, Klaus Linde, Dieter Melchart, Gustav J. Dobos, Acupuncture in Migraine, *The Clinical Journal of Pain*, 10.1097/AJP.0b013e318159f95e, 24, 2, (106-115), (2008). [Crossref²⁹⁴](#)

Peter T. Dorsher, Optimal Localization of Acupuncture Points: Implications for Acupuncture Practice, Education, and Research, *Medical Acupuncture*, 10.1089/acu.2008.0621, 20, 3, (147-150), (2008). [Crossref²⁹⁵](#)

Byung-Cheon Lee, Vyacheslav Ogay, Ki Woo Kim, Yuwon Lee, Jin-Kyu Lee, Kwang-Sup Soh, Acupuncture Muscle Channel in the Subcutaneous Layer of Rat Skin, *Journal of Acupuncture and Meridian Studies*, 10.1016/S2005-2901(09)60002-9, 1, 1, (13-19), (2008). [Crossref²⁹⁶](#)

Agatha P. Colbert, Jinkook Yun, Adrian Larsen, Tracy Edinger, William L. Gregory, Tran Thong, Skin Impedance Measurements for Acupuncture Research: Development of a Continuous Recording System, Evidence-Based Complementary and Alternative Medicine, 10.1093/ecam/nem060, 5, 4, (443-450), (2008). [Crossref²⁹⁷](#)

Hugh MacPherson, Richard Nahin, Charlotte Paterson, Claire M. Cassidy, George T. Lewith, Richard Hammerschlag, Developments in Acupuncture Research: Big-Picture Perspectives from the Leading Edge, *The Journal of Alternative and Complementary Medicine*, 10.1089/acm.2008.SAR-5, 14, 7, (883-887), (2008). [Crossref²⁹⁸](#)

Vyacheslav Ogay, Min Su Kim, Hyo Jun Seok, Cheon Joo Choi, Kwang-Sup Soh, Catecholamine-storing Cells at Acupuncture Points of Rabbits, *Journal of Acupuncture and Meridian Studies*, 10.1016/S2005-2901(09)60027-3, 1, 2, (83-90), (2008). [Crossref²⁹⁹](#)

J. Giebel, Mecanotransducción y transducción de señales a través del tejido conjuntivo, *Revista Internacional de Acupuntura*, 10.1016/S1887-8369(08)70003-6, 2, 1, (9-14), (2008). [Crossref³⁰⁰](#)

Sheng-Hsiung Hsiao, Li-Jen Tsai, A Neurovascular Transmission Model for Acupuncture-induced Nitric Oxide, *Journal of Acupuncture and Meridian Studies*, 10.1016/S2005-2901(09)60006-6, 1, 1, (42-50), (2008). [Crossref³⁰¹](#)

Vitaly Napadow, Andrew Ahn, John Longhurst, Lixing Lao, Elisabet Stener-Victorin, Richard Harris, Helene M. Langevin, The Status and Future of Acupuncture Mechanism Research, *The Journal of Alternative and Complementary Medicine*, 10.1089/acm.2008.SAR-3, 14, 7, (861-869), (2008). [Crossref³⁰²](#)

Hong-Yi Li, Jie-Fu Yang, Min Chen, Liang Xu, Wen-Chao Wang, Fang Wang, Jia-Bin Tong, Chuan-Yu Wang, Visualized Regional Hypodermic Migration Channels of Interstitial Fluid in Human Beings: Are These Ancient Meridians?, *The Journal of Alternative and Complementary Medicine*, 10.1089/acm.2007.0606, 14, 6, (621-628), (2008). [Crossref³⁰³](#)

Rosa N. Schnyer, Stephen Birch, Hugh MacPherson, Acupuncture practice as the foundation for clinical evaluation, *Acupuncture Research*, 10.1016/B978-044310029-1.50013-9, (153-179), (2008). [Crossref³⁰⁴](#)

Richard Hammerschlag, Hélène M. Langevin, Lixing Lao, George Lewith, Physiological dynamics of acupuncture: correlations and mechanisms, *Acupuncture Research*, 10.1016/B978-044310029-1.50014-0, (181-197), (2008). [Crossref³⁰⁵](#)

Paul Orrock, Eric Blake, Leon Chaitow, Roger Newman Turner, Naturopathic Physical Medicine, *Naturopathic Physical Medicine*, 10.1016/B978-044310390-2.50009-2, (75-100), (2008). [Crossref³⁰⁶](#)

Andrew C. Ahn, Agatha P. Colbert, Belinda J. Anderson, Orjan G. Martinsen, Richard Hammerschlag, Steve Cina, Peter M. Wayne, Helene M. Langevin, Electrical properties of acupuncture points and meridians: A systematic review, *Bioelectromagnetics*, 10.1002/bem.20403, 29, 4, (245-256), (2008). [Wiley Online Library³⁰⁷](#)

Margaret Julius, Lowell T. Edgar, Helen M. Buettner, David I. Shreiber, An in vitro assay of collagen fiber alignment by acupuncture needle rotation, *BioMedical Engineering Online*, 10.1186/1475-925X-7-19, 7, 1, (2008). [Crossref³⁰⁸](#)

Kell N. Julliard, Claudia Citkovitz, Douglas McDaniel, Towards a Model for Planning Clinical Research in Oriental Medicine, *EXPLORE*, 10.1016/j.explore.2006.12.002, 3, 2, (118-128), (2007). [Crossref³⁰⁹](#)

Arya Nielsen, Nicola T.M. Knoblauch, Gustav J. Dobos, Andreas Michalsen, Ted J. Kaptchuk, The Effect of Gua Sha Treatment on the Microcirculation of Surface Tissue: A Pilot Study in Healthy Subjects, *EXPLORE*, 10.1016/j.explore.2007.06.001, 3, 5, (456-466), (2007). [Crossref³¹⁰](#)

Roy Moncayo, Ansgar Rudisch, Markus Diemling, Christian Kremser, In-vivo visualisation of the anatomical structures related to the acupuncture points Dai mai and Shen mai by MRI: A single-case pilot study, *BMC Medical Imaging*, 10.1186/1471-2342-7-4, 7, 1, (2007). [Crossref³¹¹](#)

J. Giebel, Mechanotransduktion und Signaltransduktion über das Bindegewebe – Mechanismen zur Erklärung des therapeutischen Effekts der Akupunktur?, *Deutsche Zeitschrift für Akupunktur*, 10.1078/0415-6412-00281, 50, 3, (6-10), (2007). [Crossref³¹²](#)

Roy Moncayo, Ansgar Rudisch, Christian Kremser, Helga Moncayo, 3D-MRI rendering of the anatomical structures related to acupuncture points of the Dai mai, Yin qiao mai and Yang qiao mai meridians within the context of the WOMED concept of lateral tension: implications for musculoskeletal disease, *BMC Musculoskeletal Disorders*, 10.1186/1471-2474-8-33, 8, 1, (2007). [Crossref³¹³](#)

- Helene M. Langevin, Nicole A. Bouffard, David L. Churchill, Gary J. Badger, Connective Tissue Fibroblast Response to Acupuncture: Dose-Dependent Effect of Bidirectional Needle Rotation, *The Journal of Alternative and Complementary Medicine*, 10.1089/acm.2007.6351.13, 3, (355-360), (2007). [Crossref³¹⁴](#)
- Yong-Hui Han, Joon-Mo Yang, Min-Su Kim, Kwang-Sup Soh, Detection of the acupuncture points in Skin by differential path-length spectroscopy, *World Congress on Medical Physics and Biomedical Engineering 2006*, 10.1007/978-3-540-36841-0, (3572-3575), (2007). [Crossref³¹⁵](#)
- Min-Su Kim, Vyacheslav Ogay, Yong-Hui Han, Hak-Soo Shin, Byung-Cheon Lee, Kwang-Sup Soh, Alcian Blue Staining Technique for Tracing the Governing Vessel (GV) Meridian in Rat, *World Congress on Medical Physics and Biomedical Engineering 2006*, 10.1007/978-3-540-36841-0, (3576-3579), (2007). [Crossref³¹⁶](#)
- Miguel-Pérez Maribel, Ortiz-Sagrístá Joan Carles, Pérez-Bellmunt Albert, Buxeda Mónica, Cuni Laura, García-Fernández Alicia, Descripción anatómica de puntos de acupuntura en la extremidad superior, *Revista Internacional de Acupuntura*, 10.1016/S1887-8369(07)70217-X, 1, 2, (53-57), (2007). [Crossref³¹⁷](#)
- Yury P. Limansky, Serge A. Gulyar, Ivan Z. Samosyuk, Scientific basis of acupuncture, *Kontakt*, 10.32725/kont.2007.060, 9, 2, (391-402), (2007). [Crossref³¹⁸](#)
- Leon Chaitow, Fascia 2007 Congress, *Journal of Bodywork and Movement Therapies*, 10.1016/j.jbmt.2006.07.004, 10, 4, (249-250), (2006). [Crossref³¹⁹](#)
- Helene M. Langevin, Connective tissue: A body-wide signaling network?, *Medical Hypotheses*, 10.1016/j.mehy.2005.12.032, 66, 6, (1074-1077), (2006). [Crossref³²⁰](#)
- Albert Y. Leung, Jun Park, Gery Schulteis, Jeng-Ren Duann, Tony Yaksh, The Electrophysiology of De Qi Sensations, *The Journal of Alternative and Complementary Medicine*, 10.1089/acm.2006.12.743, 12, 8, (743-750), (2006). [Crossref³²¹](#)
- Acupuncture, *Obstetrics & Gynecology*, 10.1097/01.AOG.0000239498.38595.41, 108, 4, (1024-1026), (2006). [Crossref³²²](#)
- Jeanne L. Shea, Applying Evidence-Based Medicine to Traditional Chinese Medicine: Debate and Strategy, *The Journal of Alternative and Complementary Medicine*, 10.1089/acm.2006.12.255, 12, 3, (255-263), (2006). [Crossref³²³](#)
- Grigory V. Chernyak, Daniel I. Sessler, Perioperative Acupuncture and Related Techniques, *Anesthesiology*, 10.1097/0000542-200505000-00024, 102, 5, (1031-1049), (2005). [Crossref³²⁴](#)
- Grigory Chernyak, Papiya Sengupta, Rainer Lenhardt, Edwin Liem, Anthony G. Doufas, Daniel I. Sessler, Ozan Ak?aa, The Timing of Acupuncture Stimulation Does Not Influence Anesthetic Requirement, *Anesthesia & Analgesia*, 10.1213/01.ANE.0000142114.72117.E0, 100, 2, (387-392), (2005). [Crossref³²⁵](#)
- Gabriela E. Garcia, Sheng-Xing Ma, Lili Feng, Acupuncture and Kidney Disease, *Advances in Chronic Kidney Disease*, 10.1016/j.ackd.2005.04.002, 12, 3, (282-291), (2005). [Crossref³²⁶](#)
- Andrew C Ahn, Junru Wu, Gary J Badger, Richard Hammerschlag, Helene M Langevin, Electrical impedance along connective tissue planes associated with acupuncture meridians, *BMC Complementary and Alternative Medicine*, 10.1186/1472-6882-5-10, 5, 1, (2005). [Crossref³²⁷](#)
- E.E. Konofagou, H.M. Langevin, Using ultrasound to understand acupuncture, *IEEE Engineering in Medicine and Biology Magazine*, 10.1109/EMEMB.2005.1411347, 24, 2, (41-46), (2005). [Crossref³²⁸](#)
- R. Schleip, W. Klingler, F. Lehmann-Horn, Active fascial contractility: Fascia may be able to contract in a smooth muscle-like manner and thereby influence musculoskeletal dynamics, *Medical Hypotheses*, 10.1016/j.mehy.2005.03.005, 65, 2, (273-277), (2005). [Crossref³²⁹](#)
- Paulo H. Hashimoto, The perineurial vessel: A possible candidate for the structural basis of the meridian (Jing-Luo) in Chinese medicine*, *Anatomical Science International*, 10.1111/j.1447-073X.2005.00118.x, 80, 4, (177-180), (2005). [Wiley Online Library³³⁰](#)
- Dina Ralt, Intercellular communication, NO and the biology of Chinese medicine, *Cell Communication and Signaling*, 10.1186/1478-811X-3-8, 3, 1, (2005). [Crossref³³¹](#)
- Ai-Hui Li, Jun-Ming Zhang, Yi-Kuan Xie, Human acupuncture points mapped in rats are associated with excitable muscle/skin-nerve complexes with enriched nerve endings, *Brain Research*, 10.1016/j.brainres.2004.04.009, 1012, 1-2, (154-159), (2004). [Crossref³³²](#)
- Kaung-Ti Yung, A Birdcage Model for the Chinese Meridian System Part II: The Meridian System as a Birdcage Resonator, *The American Journal of Chinese Medicine*, 10.1142/S0192415X04002582, 32, 06, (985-997), (2004). [Crossref³³³](#)
- J. P. Jones, Y. K. Bae, L. Wilson, C. S. So, D. D. Kidney, Ultrasonic Imaging and Characterization of Acupuncture Points in Classical Oriental Medicine, *Acoustical Imaging*, 10.1007/978-1-4020-2402-3_66, (527-533), (2004). [Crossref³³⁴](#)
- Helene M. Langevin, Elisa E. Konofagou, Gary J. Badger, David L. Churchill, James R. Fox, Jonathan Ophir, Brian S. Garra, Tissue displacements during acupuncture using ultrasound elastography techniques, *Ultrasound in Medicine & Biology*, 10.1016/j.ultrasmedbio.2004.07.010, 30, 9, (1173-1183), (2004). [Crossref³³⁵](#)
- M. Bäcker, I.K. Gareus, N.T.M. Knoblauch, A. Michalsen, G.J. Dobos, Akupunktur in der Schmerztherapie – Hypothese zu adaptiven Prozessen, *Complementary Medicine Research*, 10.1159/000082815, 11, 6, (335-345), (2004). [Crossref³³⁶](#)
- Opher Caspi, Cari Stellhorn, Melinda Connor, Sham in CAM, *Evidence-Based Integrative Medicine*, 10.2165/01197065-200401040-00002, 1, 4, (233-240), (2004). [Crossref³³⁷](#)
- Bruce D. Curtis, J.J. Hurtak, Consciousness and Quantum Information Processing: Uncovering the Foundation for a Medicine of Light, *The Journal of Alternative and Complementary Medicine*, 10.1089/10755304322848931, 10, 1, (27-39), (2004). [Crossref³³⁸](#)
- E.E. Konofagou, G.J. Badger, B.S. Garra, H.M. Langevin, *IEEE Symposium on Ultrasonics*, 2003, 10.1109/ULTSYM.2003.1293138, (1288-1291), (2003). [Crossref³³⁹](#)
- Leon Chaitow, Judith DeLany, *Neuromuscular Techniques in Orthopedics, Techniques in Orthopaedics*, 10.1097/00013611-200303000-00013, 18, 1, (74-86), (2003). [Crossref³⁴⁰](#)
- LiteratureWatch, *Alternative and Complementary Therapies*, 10.1089/10762800360520811, 9, 1, (49-50), (2003). [Crossref³⁴¹](#)
- Michael McCarthy, Palpatory literacy, Chinese therapeutic bodywork (Tui Na) and the remediation of head, neck and shoulder pain, *Journal of Bodywork and Movement Therapies*, 10.1016/S1360-8592(03)00044-5, 7, 4, (262-277), (2003). [Crossref³⁴²](#)
- Leon Chaitow, What binds us together ?, *Journal of Bodywork and Movement Therapies*, 10.1016/S1360-8592(03)00020-2, 7, 2, (69-70), (2003). [Crossref³⁴³](#)
- Joshi, Narahari & Mbbs, Msc & Pa'ez, Ximena & Araque, MBBS. (2012). Electroacupuncture Effects on the Disintegration of Beta Amyloid Sheets: Its Application to Alzheimer's Disease. *Medical Acupuncture*. 24. 145. 10.1089/acu.2012.0873. [ResearchGate³⁴⁴](#)
- Ram Manohar, P., Sorokin, O., Chacko, J., & Nampoothiri, V. (2018). An exploratory clinical study to determine the utility of heart rate variability analysis in the assessment of dosha imbalance. *Journal of Ayurveda and integrative medicine*, 9(2), 126–130. [Crossref³⁴⁵](#)
- Travis F.T., Wallace R.K. Doša brain-types: a neural model of individual differences. *J Ayurveda Integr Med*. 2015;6(4):280–285. [PMC 346](#) - [PubMed³⁴⁷](#)
- Tyagi A., Cohen M. Yoga and heart rate variability: a comprehensive review of the literature. *Int J Yoga*. 2016;9(2):97–113. [PMC 348](#) - [PubMed³⁴⁹](#)
- Masel E., Huber P., Engler T., Herbert Watzke H.H. Heart rate variability during treatment of breakthrough pain in patients with advanced cancer: a pilot study. *J Pain Res*. 2016 Dec;9:1215–1220. [PMC 350](#) - [PubMed³⁵¹](#)
- Kim E.-H., Park J.-H., Lee S.M., Gwak M.-S., Kim G.-S., Kim M.-H. Preoperative depressed mood and perioperative heart rate variability in patients with hepatic cancer. *J Clin Anesth*. 2016 Dec;35:332–338. [PubMed³⁵²](#)
- Koszewicz M., Michalak S., Bilinska M., Budrewicz S., Zaborowski M., Slotwinski K. Profile of autonomic dysfunctions in patients with primary brain tumor and possible autoimmunity. *Clin Neurol Neurosurg*. 2016 Dec;151:51–54. [PubMed³⁵³](#)
- Rastogi, S., & Singh, R. H. (2021). Principle of Hot (Ushna) and Cold (Sheeta) and Its Clinical Application in Ayurvedic Medicine. *Advances in experimental medicine and biology*, 1343, 39–55. [Crossref³⁵⁴](#)
314. <https://doi.org/10.1089/acm.2007.6351>
315. <https://doi.org/10.1007/978-3-540-36841-0>
316. <https://doi.org/10.1007/978-3-540-36841-0>
317. [https://doi.org/10.1016/S1887-8369\(07\)70217-X](https://doi.org/10.1016/S1887-8369(07)70217-X)
318. <https://doi.org/10.32725/kont.2007.060>
319. <https://doi.org/10.1016/j.jbmt.2006.07.004>
320. <https://doi.org/10.1016/j.mehy.2005.12.032>
321. <https://doi.org/10.1089/acm.2006.12.743>
322. <https://doi.org/10.1097/01.AOG.0000239498.38595.41>
323. <https://doi.org/10.1089/acm.2006.12.255>
324. <https://doi.org/10.1097/0000542-200505000-00024>
325. <https://doi.org/10.1213/01.ANE.0000142114.72117.E0>
326. <https://doi.org/10.1016/j.ackd.2005.04.002>
327. <https://doi.org/10.1186/1472-6882-5-10>
328. <https://doi.org/10.1109/EMEMB.2005.1411347>
329. <https://doi.org/10.1016/j.mehy.2005.03.005>
330. <https://onlinelibrary.wiley.com/doi/10.1111/j.1447-073X.2005.00118.x>
331. <https://doi.org/10.1186/1478-811X-3-8>
332. <https://doi.org/10.1016/j.brainres.2004.04.009>
333. <https://doi.org/10.1142/S0192415X04002582>
334. https://doi.org/10.1007/978-1-4020-2402-3_66
335. <https://doi.org/10.1016/j.ultrasmedbio.2004.07.010>
336. <https://doi.org/10.1159/000082815>
337. <https://doi.org/10.2165/01197065-200401040-00002>
338. <https://doi.org/10.1089/10755304322848931>
339. <https://doi.org/10.1109/ULTSYM.2003.1293138>
340. <https://doi.org/10.1097/00013611-200303000-00013>
341. <https://doi.org/10.1089/10762800360520811>
342. [https://doi.org/10.1016/S1360-8592\(03\)00044-5](https://doi.org/10.1016/S1360-8592(03)00044-5)
343. [https://doi.org/10.1016/S1360-8592\(03\)00020-2](https://doi.org/10.1016/S1360-8592(03)00020-2)
344. https://www.researchgate.net/publication/236897521_Electroacupuncture_Effects_on_the_Disintegration_of_Beta_Amyloid_Sheets_Its_Application_to_Alzheimer's_Disease
345. <https://doi.org/10.1016/j.jaim.2017.06.008>
346. <https://www.ncbi.nlm.nih.gov/pmc/articles/pmc4719489/>
347. <https://pubmed.ncbi.nlm.nih.gov/26834428/>
348. <https://www.ncbi.nlm.nih.gov/pmc/articles/pmc4959333/>
349. <https://pubmed.ncbi.nlm.nih.gov/27512317/>
350. <https://www.ncbi.nlm.nih.gov/pmc/articles/pmc5161332/>
351. <https://pubmed.ncbi.nlm.nih.gov/28003771/>
352. <https://pubmed.ncbi.nlm.nih.gov/27871552/>
353. <https://pubmed.ncbi.nlm.nih.gov/27788421/>

Mills, P. J., Peterson, C. T., Wilson, K. L., Pung, M. A., Patel, S., Weiss, L., Kshirsagar, S. G., Tanzi, R. E., & Chopra, D. (2019). Relationships among classifications of ayurvedic medicine diagnostics for imbalances and western measures of psychological states: An exploratory study. *Journal of Ayurveda and integrative medicine*, 10 (3), 198–202. [Crossref²⁵³](#)

Pandey M.M., Rastogi S., Rawat A.K. Indian traditional ayurvedic system of medicine and nutritional supplementation. *Evid Based Complement Alternat Med*. 2013;2013:376327. - [PMC³⁵⁶](#) - [PubMed³⁵⁷](#)

Chopra A., Doiphode V.V. Ayurvedic medicine. Core concept, therapeutic principles, and current relevance. *Med Clin North Am*. 2002;86(1):75–89. vii. - [PubMed³⁵⁸](#)

Zhou X., Ma Z., Zhang L., Zhou S., Wang J., Wang B. Heart rate variability in the prediction of survival in patients with cancer: a systematic review and meta-analysis. *J Psychosom Res*. 2016 Oct;89:20–25. - [PubMed³⁵⁹](#)

Taffe L., Stancil K., Bond V., Pemminati S., Gorantla V.R., Kador K. Differentiation of overweight from normal weight young adults by postprandial heart rate variability and systolic blood pressure. *J Clin Diagnostic Res*. 2016 Aug;10(8):CC01–CC06. - [PMC³⁶⁰](#) - [PubMed³⁶¹](#)

Gupta J., Dube A., Singh V., Gupta R.C. Spectral analysis of heart rate variability in bronchial asthma patients. *Indian J Physiol Pharmacol*. 2012;56(4):330–336. - [PubMed³⁶²](#)

Sorokin O.V., Subotyalov M.A. Material of the all-Russian scientific and practical conference with international presence, October 26–27, 2011 Kemerovo, Russia. 2011. Comparative medical research of VedaPulse hardware and software kit // Health maintaining activities in educational system: theory and practice; pp. 225–230.

Kelkar P., Karamchandani S., Jinda S. Proceedings of conference on advance applications in physiological variability, BARC. 2010. Identifying tridasha for disease characterisation in morphology of an IPG pulse waveform.

Singh Harupjit. Thapar University; Patiala: 2016. Relationship between three ayurvedic doshas and heart rate variability frequency bands: a pilot study.

Deshpande H., Shivakumar, Kavita M.B., Tripathy T.B., Chaturvedi A. Healthcare and disease management in Ayurveda. *Altern Ther Health Med*. 2001;7(2):44–50. - [PubMed³⁶³](#)

Anthony J.V., Joanne M.G. Understanding interobserver agreement: the kappa statistic. *Fam Med*. 2005 May;37(5):360–363. - [PubMed³⁶⁴](#)

Telles S., Pathak S., Kumar A., Mishra P., Balkrishna A. Ayurvedic doshas as predictors of sleep quality. *Med Sci Monit*. 2015;21:1421–1427. - [PMC³⁶⁵](#) - [PubMed³⁶⁶](#)

Bell C., Heidel R.E., Sunega J., Drisko J. Ancient wisdom. Can ayurvedic prakriti provide invaluable insights into integrative medicine? *Ayurveda J Health*. 2017;27:27–34.

Cohen S., Kamarck T., Mermelstein R. A global measure of perceived stress. *J Health Soc Behav*. 1983;24(4):385–396. - [PubMed³⁶⁷](#)

Travis F.T., Wallace R.K. Dasha brain-types: a neural model of individual differences. *J Ayurveda Integr Med*. 2015;6(4):280–285. - [PMC³⁶⁸](#) - [PubMed³⁶⁹](#)

Dey S., Pahwa P. Prakriti and its associations with metabolism, chronic diseases, and genotypes: possibilities of new born screening and a lifetime of personalized prevention. *J Ayurveda Integr Med*. 2014;5(1):15–24. - [PMC³⁷⁰](#) - [PubMed³⁷¹](#)

Purvy M.C., Meena M.S. A review on role of prakriti in aging. *Ayu*. 2011;32(1):20–24. - [PMC³⁷²](#) - [PubMed³⁷³](#)

Pham, T., Lau, Z. J., Chen, S. H. A., & Makowski, D. (2021). Heart Rate Variability in Psychology: A Review of HRV Indices and an Analysis Tutorial. *Sensors (Basel, Switzerland)*, 21 (12), 3998. [Crossref²⁷⁴](#)

Lombardi F., Malliani A., Pagani M., Cerutti S. Heart Rate Variability and Its Sympatho-Vagal Modulation. *Cardiovasc. Res*. 1996;32:208–216. doi: 10.1016/0008-6363(96)00116-2. - [DOI³⁷⁵](#) - [PubMed³⁷⁶](#)

Mccrarty R., Shaffer F. Heart Rate Variability: New Perspectives on Physiological Mechanisms, Assessment of Self-regulatory Capacity, and Health Risk. *Glob. Adv. Heal. Med*. 2015;4:46–61. doi: 10.7453/gahmj.2014.073. - [DOI³⁷⁷](#) - [PMC³⁷⁸](#) - [PubMed³⁷⁹](#)

Thayer J.F., Yamamoto S.S., Brosschot J.F. The relationship of autonomic imbalance, heart rate variability and cardiovascular disease risk factors. *Int. J. Cardiol*. 2010;141:122–131. doi: 10.1016/j.ijcard.2009.09.543. - [DOI³⁸⁰](#) - [PubMed³⁸¹](#)

Tiwari, R., Kumar, R., Malik, S., Raj, T., & Kumar, P. (2021). Analysis of Heart Rate Variability and Implication of Different Factors on Heart Rate Variability. *Current cardiology reviews*, 17 (5), e160721189770. [Crossref²⁸²](#)

354. https://doi.org/10.1007/978-3-030-80983-6_4

355. <https://doi.org/10.1016/j.jaim.2018.02.001>

356. <http://www.ncbi.nlm.nih.gov/pmc/articles/pmc3705899/>

357. <https://pubmed.ncbi.nlm.nih.gov/23864888/>

358. <https://pubmed.ncbi.nlm.nih.gov/11795092/>

359. <https://pubmed.ncbi.nlm.nih.gov/27663106/>

360. <http://www.ncbi.nlm.nih.gov/pmc/articles/pmc5028518/>

361. <https://pubmed.ncbi.nlm.nih.gov/27656434/>

362. <https://pubmed.ncbi.nlm.nih.gov/23781652/>

363. <https://pubmed.ncbi.nlm.nih.gov/11253416/>

364. <https://pubmed.ncbi.nlm.nih.gov/15883903/>

365. <http://www.ncbi.nlm.nih.gov/pmc/articles/pmc4448595/>

366. <https://pubmed.ncbi.nlm.nih.gov/25982247/>

367. <https://pubmed.ncbi.nlm.nih.gov/6668417/>

368. <http://www.ncbi.nlm.nih.gov/pmc/articles/pmc4719489/>

369. <https://pubmed.ncbi.nlm.nih.gov/26834428/>

370. <http://www.ncbi.nlm.nih.gov/pmc/articles/pmc4012357/>

371. <https://pubmed.ncbi.nlm.nih.gov/24812471/>

372. <http://www.ncbi.nlm.nih.gov/pmc/articles/pmc3215411/>

373. <https://pubmed.ncbi.nlm.nih.gov/22131753/>

374. <https://doi.org/10.3390/s21123998>

375. [https://doi.org/10.1016/0008-6363\(96\)00116-2](https://doi.org/10.1016/0008-6363(96)00116-2)

376. <https://pubmed.ncbi.nlm.nih.gov/8796106/>

377. <https://doi.org/10.7453/gahmj.2014.073>

378. <http://www.ncbi.nlm.nih.gov/pmc/articles/pmc4311559/>

379. <https://pubmed.ncbi.nlm.nih.gov/25694852/>

380. <https://doi.org/10.1016/j.ijcard.2009.09.543>

381. <https://pubmed.ncbi.nlm.nih.gov/19910061/>

Roy, S., Goswami, D. P., & Sengupta, A. (2020). Geometry of the Poincaré plot can segregate the two arms of autonomic nervous system - A hypothesis. *Medical hypotheses*, 138, 109574. [Crossref³⁸³](#)

Gullett, N., Zajkowska, Z., Walsh, A., Harper, R., & Mondelli, V. (2023). Heart rate variability (HRV) as a way to understand associations between the autonomic nervous system (ANS) and affective states: A critical review of the literature. *International journal of psychophysiology : official journal of the International Organization of Psychophysiology*, 192, 35–42. [Crossref³⁸⁴](#)

Zou L., Sasaki J.E., Wei G.X., Huang T., Yeung A.S., Neto O.B., Chen K.W., Hui S.S. Effects of Mind-Body Exercises (Tai Chi/Yoga) on Heart Rate Variability Parameters and Perceived Stress: A Systematic Review with Meta-Analysis of Randomized Controlled Trials. *J. Clin. Med*. 2018;7:404. doi: 10.3390/jcm7110404. - [DOI³⁸⁵](#) - [PMC³⁸⁶](#) - [PubMed³⁸⁷](#)

Danylova T.V., Shmarhun V.M., Vertel A.V., Matyushko B.K., Bondarenko A.F., Kychkyruk T., Petersen J. Effects of the eastern mind-body practices on mental health during the COVID-19 pandemic: When east meets west. *Wiad. Lek*. 2021;74:2850–2855. doi: 10.36740/WLek202111130. - [DOI³⁸⁸](#) - [PubMed³⁸⁹](#)

Feneberg A.C., Nater U.M. An Ecological Momentary Music Intervention for the Reduction of Acute Stress in Daily Life: A Mixed Methods Feasibility Study. *Front. Psychol*. 2022;13:927705. doi: 10.3389/fpsyg.2022.927705. - [DOI³⁹⁰](#) - [PMC³⁹¹](#) - [PubMed³⁹²](#)

Breit S., Kupferberg A., Rogler G., Hasler G. Vagus Nerve as Modulator of the Brain-Gut Axis in Psychiatric and Inflammatory Disorders. *Front. Psychiatry*. 2018;9:44. doi: 10.3389/fpsyg.2018.00044. - [DOI³⁹³](#) - [PMC³⁹⁴](#) - [PubMed³⁹⁵](#)

Laborde S., Mosley E., Thayer J.F. Heart rate variability and cardiac vagal tone in psychophysiological research—recommendations for experiment planning, data analysis, and data reporting. *Front. Psychol*. 2017;8:213. doi: 10.3389/fpsyg.2017.00213. - [DOI³⁹⁶](#) - [PMC³⁹⁷](#) - [PubMed³⁹⁸](#)

Chesky K.S., Michel D.E. The Music Vibration Table (MVT): Developing a Technology and Conceptual Model for Pain Relief. *Music Ther. Perspect*. 1991;9:32–38. doi: 10.1093/mtp/9.1.32. - [DOI³⁹⁹](#)

Campbell E., Burger B., Ala-Ruona E. A Single-Case, Mixed Methods Study Exploring the Role of Music Listening in Vibroacoustic Treatment. *Voices World Forum Music Ther*. 2019;19:27. doi: 10.15845/voices.v19i2.2556. - [DOI⁴⁰⁰](#)

Braun Janzen T., Al Shirawi M.I., Rotzinger S., Kennedy S.H., Bartel L. A Pilot Study Investigating the Effect of Music-Based Intervention on Depression and Anhedonia. *Front. Psychol*. 2019;10:1038. doi: 10.3389/fpsyg.2019.01038. - [DOI⁴⁰¹](#) - [PMC⁴⁰²](#) - [PubMed⁴⁰³](#)

Karkkainen M., Mitsui J. The Effects of Sound Based Vibration Treatment on the Human Mind and Body the Physioacoustic Method. *J. Int. Soc. Life Inf. Sci*. 2006;24:155–164. doi: 10.18936/islis.24.1_155. - [DOI⁴⁰⁴](#)

Jirakittayakorn N., Wongsawat Y. Brain Responses to 40-Hz Binaural Beat and Effects on Emotion and Memory. *Int. J. Psychophysiol*. 2017;120:96–107. doi: 10.1016/j.ijpsycho.2017.07.010. - [DOI⁴⁰⁵](#) - [PubMed⁴⁰⁶](#)

Fooks C., Niebuhr O. Assessing Vibroacoustic Sound Massage Through The Biosignal of Human Speech: Evidence of Improved Wellbeing; Proceedings of the IEEE International Conference on Acoustics, Speech and Signal Processing (ICASSP); Seoul, Republic of Korea. 14–19 April 2024; pp. 11401–11405.

Gitler, A., Vanacker, L., De Couck, M., De Leeuw, I., & Gidron, Y. (2022). Neuromodulation Applied to Diseases: The Case of HRV Biofeedback. *Journal of clinical medicine*, 11 (19), 5927. [Crossref⁴⁰⁷](#)

Zhu, J., Ji, L., & Liu, C. (2019). Heart rate variability monitoring for emotion and disorders of emotion. *Physiological measurement*, 40 (6), 064004. [Crossref⁴⁰⁸](#)

Nunan, D., Sandercock, G. R., & Brodie, D. A. (2010). A quantitative systematic review of normal values for short-term heart rate variability in healthy adults. *Pacing and clinical electrophysiology : PACE*, 33 (11), 1407–1417. [Crossref⁴⁰⁹](#)

Qu, X., Wu, Y., Liu, J., & Cui, L. (2020). HRV-Spark: Computing Heart Rate Variability Measures Using Apache Spark. *Proceedings. IEEE International Conference on Bioinformatics and Biomedicine*, 2020, 10.1109/bibm49941.2020.9313361. [Crossref⁴¹⁰](#)

Rahul, L. R., Sarkar, R., Sengupta, A., Chandra, B. S., & Jana, S. (2023). Novel AI-based

382. <https://doi.org/10.2174/1573403X16999201231203854>

383. <https://doi.org/10.1016/j.mehy.2020.109574>

384. <https://doi.org/10.1016/j.ijpsycho.2023.08.001>

385. <https://doi.org/10.3390/jcm7110404>

386. <https://www.ncbi.nlm.nih.gov/pmc/articles/pmc6262541/>

387. <https://pubmed.ncbi.nlm.nih.gov/30384420/>

388. <https://doi.org/10.36740/wlck202111130>

389. <https://pubmed.ncbi.nlm.nih.gov/35023505/>

390. <https://doi.org/10.3389/fpsyg.2022.927705>

391. <http://www.ncbi.nlm.nih.gov/pmc/articles/pmc9558284/>

392. <https://pubmed.ncbi.nlm.nih.gov/36248548/>

393. <https://doi.org/10.3389/fpsyg.2018.00044>

394. <http://www.ncbi.nlm.nih.gov/pmc/articles/pmc5859128/>

395. <https://pubmed.ncbi.nlm.nih.gov/29593576/>

396. <https://doi.org/10.3389/fpsyg.2017.00213>

397. <http://www.ncbi.nlm.nih.gov/pmc/articles/pmc5316555/>

398. <https://pubmed.ncbi.nlm.nih.gov/28265249/>

399. <https://doi.org/10.1093/mtp/9.1.32>

400. <https://doi.org/10.15845/voices.v19i2.2556>

401. <https://doi.org/10.3389/fpsyg.2019.01038>

402. <https://www.ncbi.nlm.nih.gov/pmc/articles/pmc6517496/>

403. <https://pubmed.ncbi.nlm.nih.gov/31133945/>

404. https://doi.org/10.18936/islis.24.1_155

405. <https://doi.org/10.1016/j.ijpsycho.2017.07.010>

406. <https://pubmed.ncbi.nlm.nih.gov/28739482/>

407. <https://doi.org/10.3390/jcm11195927>

408. <https://doi.org/10.1088/1361-6579/ab1887>

409. <https://doi.org/10.1111/j.1540-8159.2010.02841.x>

410. <https://doi.org/10.1109/bibm49941.2020.9313361>

HRV analysis (NAIHA) in healthcare automation and related applications. *Journal of electrocardiology*, 79, 112–121. [Crossref⁴¹¹](#)

Taoum, A., Bisiaux, A., Tilquin, F., Le Guillou, Y., & Carrault, G. (2022). Validity of Ultra-Short-Term HRV Analysis Using PPG-A Preliminary Study. *Sensors (Basel, Switzerland)*, 22(20), 7995. [Crossref⁴¹²](#)

Ortega, E., Bryan, C. Y. X., & Christine, N. S. C. (2024). The Pulse of Singapore: Short-Term HRV Norms. *Applied psychophysiology and biofeedback*, 49(1), 55–61. [Crossref⁴¹³](#)

Vondrasek, J. D., Riemann, B. L., Grosicki, G. J., & Flatt, A. A. (2023). Validity and Efficacy of the Elite HRV Smartphone Application during Slow-Paced Breathing. *Sensors (Basel, Switzerland)*, 23(23), 9496. [Crossref⁴¹⁴](#)

Malik M., Bigger J.T., Camm A.J., Kleiger R.E., Malliani A., Moss A.J., Schwartz P.J. Heart rate variability: Standards of measurement, physiological interpretation, and clinical use. *Eur. Heart J.* 1996;17:354–381. doi: 10.1093/oxfordjournals.eurheartj.a014868. - DOI⁴¹⁵ - PubMed⁴¹⁶

Shaffer F., McCraty R., Zerr C.L. A healthy heart is not a metronome: An integrative review of the heart's anatomy and heart rate variability. *Front. Psychol.* 2014;5:1040. doi: 10.3389/fpsyg.2014.01040. - DOI⁴¹⁷ - PMC⁴¹⁸ - PubMed⁴¹⁹

Grosicki G.J., Culver M.N., McMillan N.K., Cross B.L., Montoye A.H.K., Riemann B.L., Flatt A.A. Self-recorded heart rate variability profiles are associated with health and lifestyle markers in young adults. *Clin. Auton. Res.* 2022;32:507–518. doi: 10.1007/s10286-022-00884-z. - DOI⁴²⁰ - PubMed⁴²¹

Natarajan A., Pantelopoulos A., Emir-Farinas H., Natarajan P. Heart rate variability with photoplethysmography in 8 million individuals: A cross-sectional study. *Lancet Digit. Health.* 2020;2:e650–e657. doi: 10.1016/S2589-7500(20)30246-6. - DOI⁴²² - PubMed⁴²³

Talbert, L. D., Kaelberer, Z., Gleave, E., Driggs, A., Driggs, A. S., Steffen, P. R., Baldwin, S. A., & Larson, M. J. (2023). A systematic review of heart rate variability (HRV) biofeedback treatment following traumatic brain injury (TBI). *Brain injury*, 37(7), 635–642. [Crossref⁴²⁴](#)

Jeyhani, V., Mahdiani, S., Peltokangas, M., & Vehkaoja, A. (2015). Comparison of HRV parameters derived from photoplethysmography and electrocardiography signals. *Annual International Conference of the IEEE Engineering in Medicine and Biology Society. IEEE Engineering in Medicine and Biology Society. Annual International Conference*, 2015, 5952–5955. [Crossref⁴²⁵](#)

Brennan, M., Palaniswami, M., & Kamen, P. (2002). Poincaré plot interpretation using a physiological model of HRV based on a network of oscillators. *American journal of physiology. Heart and circulatory physiology*, 283(5), H1873–H1886. [Crossref⁴²⁶](#)

Ken Umetani MD A B C, Donald H Singer MD, FACC A B, Rollin McCraty MS C, Mike Atkinson C, Twenty-Four Hour Time Domain Heart Rate Variability and Heart Rate: Relations to Age and Gender Over Nine Decades. [DOI⁴²⁷](#), [ScienceDirect⁴²⁸](#)

마음/몸

Borghesi, F., Cremascoli, R., Chirico, A., Bianchi, L., Di Moia, A., Priano, L., Piedimonte, A., Mauro, A., & Cipresso, P. (2024). Mind and body connection in expert meditators: a computational study based on central and peripheral nervous system. *BMC complementary medicine and therapies*, 24(1), 117. [Crossref⁴²⁹](#)

Brandmeyer T, Delorme A, Wahbeh H. The neuroscience of meditation: classification, phenomenology, correlates, and mechanisms. *Prog Brain Res.* 2019;1(244):1–29. - [PubMed⁴³⁰](#)

Travis F, Shear J. Focused attention, open monitoring and automatic self-transcending: categories to organize meditations from Vedic, Buddhist Chinese Traditions. *Conscious Cogn.* 2010;19(4):1110–1118. doi: 10.1016/j.concog.2010.01.007. - DOI⁴³¹ - PubMed⁴³²

Liberman N, Trope Y. The psychology of transcending the here and now. *Science*. 2008;322(5905):1201–5. doi: 10.1126/science.1161958. - DOI⁴³³ - PMC⁴³⁴ - PubMed⁴³⁵

Ahani A, Wahbeh H, Nezamfar H, Miller M, Erdogmus D, Oken B. Quantitative changes of EEG and respiration signals during mindfulness meditation. *J Neuroeng Rehabil.* 2014;11(1):1. doi: 10.1186/1743-0003-11-87. - DOI⁴³⁶ - PMC⁴³⁷ - PubMed⁴³⁸

411. <https://doi.org/10.1016/j.jelectrocard.2023.03.013>

412. <https://doi.org/10.3390/s22207995>

413. <https://doi.org/10.1007/s10484-023-09603-4>

414. <https://doi.org/10.3390/s23239496>

415. <https://doi.org/10.1093/oxfordjournals.eurheartj.a014868>

416. <https://pubmed.ncbi.nlm.nih.gov/8737210/>

417. <https://doi.org/10.3389/fpsyg.2014.01040>

418. <http://www.ncbi.nlm.nih.gov/pmc/articles/pmc4179748/>

419. <https://pubmed.ncbi.nlm.nih.gov/25324790/>

420. <https://doi.org/10.1007/s10286-022-00884-z>

421. <https://pubmed.ncbi.nlm.nih.gov/35999422/>

422. [https://doi.org/10.1016/s2589-7500\(20\)30246-6](https://doi.org/10.1016/s2589-7500(20)30246-6)

423. <https://pubmed.ncbi.nlm.nih.gov/33328029/>

424. <https://doi.org/10.1080/0269052.2023.2208880>

425. <https://doi.org/10.1109/EMBC.2015.7139747>

426. <https://doi.org/10.1152/ajpheart.00405.2000>

427. [https://doi.org/10.1016/S0735-1097\(97\)00554-8](https://doi.org/10.1016/S0735-1097(97)00554-8)

428. <https://www.sciencedirect.com/science/article/pii/S0735109797005548>

429. <https://doi.org/10.1186/s12906-024-04413-5>

430. <https://pubmed.ncbi.nlm.nih.gov/30732832/>

431. <https://doi.org/10.1016/j.concog.2010.01.007>

432. <https://pubmed.ncbi.nlm.nih.gov/20167507/>

433. <https://doi.org/10.1126/science.1161958>

434. <http://www.ncbi.nlm.nih.gov/pmc/articles/pmc2643344/>

435. <https://pubmed.ncbi.nlm.nih.gov/19023074/>

436. <https://doi.org/10.1186/1743-0003-11-87>

437. <http://www.ncbi.nlm.nih.gov/pmc/articles/pmc4060143/>

Ahani A, Wahbeh H, Miller M, Nezamfar H, Erdogmus D, Oken B. Change in physiological signals during mindfulness meditation. *Int IEEE EMBS Conf Neural Eng.* 2013;1378–81. - [PMC⁴³⁹](#) - [PubMed⁴⁴⁰](#)

Stapleton P, Dispenza J, McGill S, Sabot D, Peach M, Raynor D. Large effects of brief meditation intervention on EEG spectra in meditation novices. *IBRO Rep.* 2020;1(9):290–301. doi: 10.1016/j.ibror.2020.10.006. - DOI⁴⁴¹ - PMC⁴⁴² - PubMed⁴⁴³

Travis F, Haaga DAF, Hagelin J, Tanner M, Nidich S, Gaylord-King C, et al. Effects of Transcendental Meditation practice on brain functioning and stress reactivity in college students. *Int J Psychophysiol.* 2009;71(2):170–176. doi: 10.1016/j.ijpsycho.2008.09.007. - DOI⁴⁴⁴ - PubMed⁴⁴⁵

Phongsuphap S, Pongsupap Y, Chandanamatha P, Lursinsap C. Changes in heart rate variability during concentration meditation. *Int J Cardiol.* 2008;130(3):481–484. doi: 10.1016/j.ijcard.2007.06.103. - DOI⁴⁴⁶ - PubMed⁴⁴⁷

Nesvold A, Fagerland MW, Davanger S, Ellingsen Ø, Solberg EE, Holen A, et al. Increased heart rate variability during nondirective meditation. *Eur J Prev Cardiol.* 2012;19(4):773–80. doi: 10.1177/1741826711414625. - DOI⁴⁴⁸ - PubMed⁴⁴⁹

Léonard A, Clément S, Kuo CD, Manto M. Changes in heart rate variability during heartfulness meditation: a power spectral analysis including the residual spectrum. *Front Cardiovasc Med.* 2019;14(6):62. doi: 10.3389/fcvm.2019.00062. - DOI⁴⁵⁰ - PMC⁴⁵¹ - PubMed⁴⁵²

Pasquini HA, Tanaka GK, Basile LFH, Velasques B, Lozano MD, Ribeiro P. Electrophysiological correlates of long-term Soto Zen meditation. *Biomed Res Int.* 2015;2015:598496. doi: 10.1155/2015/598496. - DOI⁴⁵³ - PMC⁴⁵⁴ - PubMed⁴⁵⁵

Cipresso P, Serino S, Borghesi F, Tartarisco G, Riva G, Pioggia G, et al. Continuous measurement of stress levels in naturalistic settings using heart rate variability: an experience-sampling study driving a machine learning approach. *Acta IMEKO.* 2021;10(4):239. doi: 10.21014/acta_imeko.v10i4.1183. - DOI⁴⁵⁶

Berntson GG, Thomas Bigger J, Eckberg DL, Grossman P, Kaufmann PG, Malik M, et al. Heart rate variability: origins, methods, and interpretive caveats. *Psychophysiology.* 1997;34(6):623–648. doi: 10.1111/j.1469-8986.1997.tb02140.x. - DOI⁴⁵⁷ - PubMed⁴⁵⁸

Acharya UR, Joseph KP, Kannathal N, Lim CM, Suri JS. Heart rate variability: a review. *Med Biol Eng Comput.* 2006;44(12):1031–1051. doi: 10.1007/s11517-006-0119-0. - DOI⁴⁵⁹ - PubMed⁴⁶⁰

Fell J, Axmacher N, Haupt S. From alpha to gamma: Electrophysiological correlates of meditation-related states of consciousness. *Med Hypotheses.* 2010;75(2):218–224. doi: 10.1016/j.mehy.2010.02.025. - DOI⁴⁶¹ - PubMed⁴⁶²

Rodriguez-Larios J, Faber P, Achermann P, Tei S, Alaerts K. From thoughtless awareness to effortful cognition: alpha - theta cross-frequency dynamics in experienced meditators during meditation, rest and arithmetic. *Sci Rep.* 2020;10(1):1–11. doi: 10.1038/s41598-020-62392-2. - DOI⁴⁶³ - PMC⁴⁶⁴ - PubMed⁴⁶⁵

Cahn BR, Delorme A, Polich J. Occipital gamma activation during Vipassana meditation. *Cogn Process.* 2010;11(1):39–56. doi: 10.1007/s10339-009-0352-1. - DOI⁴⁶⁶ - PMC⁴⁶⁷ - PubMed⁴⁶⁸

Borghesi F, Chirico A, Pedroli E, Cipriani GE, Canessa N, Amanzio M, et al. Exploring Biomarkers of mental flexibility in healthy aging: a computational psychometric study. *Sensors (Basel)* 2023;23(15):6983. doi: 10.3390/s23156983. - DOI⁴⁶⁹ - PMC⁴⁷⁰ - PubMed⁴⁷¹

Fang, S., & Zhang, W. (2024). Heart-Brain Axis: A Narrative Review of the Interaction between Depression and Arrhythmia. *Biomedicines*, 12(8), 1719. [Crossref⁴⁷²](#)

Gullett N., Zajkowska Z., Walsh A., Harper R., Mondelli V. Heart rate variability (HRV) as a way to understand associations between the autonomic nervous system (ANS) and affective states: A critical review of the literature. *Int. J. Psychophysiol.* 2023;192:35–42. doi: 10.1016/j.ijpsycho.2023.08.001. - DOI⁴⁷³ - PubMed⁴⁷⁴

Bassett D. A literature review of heart rate variability in depressive and bipolar disorders. *Aust. New Zealand J. Psychiatry.* 2015;50:511–519. doi: 10.1177/0004867415622689. - DOI⁴⁷⁵

438. <https://pubmed.ncbi.nlm.nih.gov/24939519/>

439. <http://www.ncbi.nlm.nih.gov/pmc/articles/pmc3988787/>

440. <https://pubmed.ncbi.nlm.nih.gov/24748422/>

441. <https://doi.org/10.1016/j.ibror.2020.10.006>

442. <http://www.ncbi.nlm.nih.gov/pmc/articles/pmc7649620/>

443. <https://pubmed.ncbi.nlm.nih.gov/33204893/>

444. <https://doi.org/10.1016/j.ijpsycho.2008.09.007>

445. <https://pubmed.ncbi.nlm.nih.gov/18854202/>

446. <https://doi.org/10.1016/j.ijcard.2007.06.103>

447. <https://pubmed.ncbi.nlm.nih.gov/17764770/>

448. <https://doi.org/10.1177/1741826711414625>

449. <https://pubmed.ncbi.nlm.nih.gov/21693507/>

450. <https://doi.org/10.3389/fcvm.2019.00062>

451. <http://www.ncbi.nlm.nih.gov/pmc/articles/pmc6527777/>

452. <https://pubmed.ncbi.nlm.nih.gov/31139634/>

453. <https://doi.org/10.1155/2015/598496>

454. <http://www.ncbi.nlm.nih.gov/pmc/articles/pmc4302970/>

455. <https://pubmed.ncbi.nlm.nih.gov/25632397/>

456. https://doi.org/10.21014/acta_imeko.v10i4.1183

457. <https://doi.org/10.1111/j.1469-8986.1997.tb02140.x>

458. <https://pubmed.ncbi.nlm.nih.gov/9401419/>

459. <https://doi.org/10.1007/s11517-006-0119-0>

460. <https://pubmed.ncbi.nlm.nih.gov/1711118/>

461. <https://doi.org/10.1016/j.mehy.2010.02.025>

462. <https://pubmed.ncbi.nlm.nih.gov/20227193/>

463. <https://doi.org/10.1038/s41598-020-62392-2>

464. <http://www.ncbi.nlm.nih.gov/pmc/articles/pmc7096392/>

465. <https://pubmed.ncbi.nlm.nih.gov/32214173/>

466. <https://doi.org/10.1007/s10339-009-0352-1>

467. <http://www.ncbi.nlm.nih.gov/pmc/articles/pmc2812711/>

468. <https://pubmed.ncbi.nlm.nih.gov/20013298/>

469. <https://doi.org/10.3390/s23156983>

470. <http://www.ncbi.nlm.nih.gov/pmc/articles/pmc10422551/>

471. <https://pubmed.ncbi.nlm.nih.gov/37571766/>

472. <https://doi.org/10.3390/biomedicines12081719>

473. <https://doi.org/10.1016/j.ijpsycho.2023.08.001>

474. <https://pubmed.ncbi.nlm.nih.gov/37543289/>

475 - PubMed⁴⁷⁶

Zhu J., Ji L., Liu C. Heart rate variability monitoring for emotion and disorders of emotion. *Physiol. Meas.* 2019;40:064004. doi: 10.1088/1361-6579/ab1887. - DOI⁴⁷⁷ - PubMed⁴⁷⁸

Chalmers J.A., Quintana D.S., Abbott M.J., Kemp A.H. Anxiety Disorders are Associated with Reduced Heart Rate Variability: A Meta-Analysis. *Front. Psychiatry.* 2014;5:80. doi: 10.3389/fpsy.2014.00080. - DOI⁴⁷⁹ - PMC⁴⁸⁰ - PubMed⁴⁸¹

Chang H.A., Chang C.C., Chen C.L., Kuo T.B., Lu R.B., Huang S.Y. Major depression is associated with cardiac autonomic dysregulation. *Acta Neuropsychiatr.* 2012;24:318–327. doi: 10.1111/j.1601-5215.2011.00647.x. - DOI⁴⁸² - PubMed⁴⁸³

Burke J.H., Goldberger J.J., Ehler F.A., Kruse J.T., Parker M.A., Kadish A.H. Gender differences in heart rate before and after autonomic blockade: Evidence against an intrinsic gender effect. *Am. J. Med.* 1996;100:537–543. doi: 10.1016/S0002-9343(96)00018-6. - DOI⁴⁸⁴ - PubMed⁴⁸⁵

Kittnar O. Sex Related Differences in Electrocardiography. *Physiol. Res.* 2023;72:S127–S135. doi: 10.33549/physiolres.934952. - DOI⁴⁸⁶ - PMC⁴⁸⁷ - PubMed⁴⁸⁸

Kotov R., Gamez W., Schmidt F., Watson D. Linking “big” personality traits to anxiety, depressive, and substance use disorders: A meta-analysis. *Psychol. Bull.* 2010;136:768–821. doi: 10.1037/a0020327. - DOI⁴⁸⁹ - PubMed⁴⁹⁰

Godin P.J., Buchman T.G. Uncoupling of biological oscillators: A complementary hypothesis concerning the pathogenesis of multiple organ dysfunction syndrome. *Crit. Care Med.* 1996;24:1107–1116. doi: 10.1097/00003246-199607000-00008. - DOI⁴⁹¹ - PubMed⁴⁹²

Wang, L., Hao, J., & Zhou, T. H. (2023). ECG Multi-Emotion Recognition Based on Heart Rate Variability Signal Features Mining. *Sensors (Basel, Switzerland)*, 23 (20), 8636. [Crossref⁴⁹³](#)

Cai Y., Li X., Li J. Emotion Recognition Using Different Sensors, Emotion Models, Methods and Datasets: A Comprehensive Review. *Sensors.* 2023;23:2455. doi: 10.3390/s23052455. - DOI⁴⁹⁴ - PMC⁴⁹⁵ - PubMed⁴⁹⁶

Xiefeng, C., Wang, Y., Dai, S., Zhao, P., & Liu, Q. (2019). Heart sound signals can be used for emotion recognition. *Scientific reports*, 9 (1), 6486. [Crossref⁴⁹⁷](#)

Hasnul, M. A., Ab Aziz, N. A., & Abd Aziz, A. (2023). Augmenting ECG Data with Multiple Filters for a Better Emotion Recognition System. *Arabian journal for science and engineering*, 1–22. Advance online publication. [Crossref⁴⁹⁸](#)

- 475. <https://doi.org/10.1177/0004867415622689>
- 476. <https://pubmed.ncbi.nlm.nih.gov/26698824/>
- 477. <https://doi.org/10.1088/1361-6579/ab1887>
- 478. <https://pubmed.ncbi.nlm.nih.gov/30974428/>
- 479. <https://doi.org/10.3389/fpsy.2014.00080>
- 480. <http://www.ncbi.nlm.nih.gov/pmc/articles/pmc4092363/>
- 481. <https://pubmed.ncbi.nlm.nih.gov/25071612/>
- 482. <https://doi.org/10.1111/j.1601-5215.2011.00647.x>
- 483. <https://pubmed.ncbi.nlm.nih.gov/23287173/>
- 484. [https://doi.org/10.1016/s0002-9343\(96\)00018-6](https://doi.org/10.1016/s0002-9343(96)00018-6)
- 485. <https://pubmed.ncbi.nlm.nih.gov/8644766/>
- 486. <https://doi.org/10.33549/physiolres.934952>
- 487. <http://www.ncbi.nlm.nih.gov/pmc/articles/pmc10660582/>
- 488. <https://pubmed.ncbi.nlm.nih.gov/37565417/>
- 489. <https://doi.org/10.1037/a0020327>
- 490. <https://pubmed.ncbi.nlm.nih.gov/20804236/>
- 491. <https://doi.org/10.1097/00003246-199607000-00008>
- 492. <https://pubmed.ncbi.nlm.nih.gov/8674321/>
- 493. <https://doi.org/10.3390/s23052455>
- 494. <https://doi.org/10.3390/s23052455>
- 495. <http://www.ncbi.nlm.nih.gov/pmc/articles/pmc10007272/>
- 496. <https://pubmed.ncbi.nlm.nih.gov/36904659/>
- 497. <https://doi.org/10.1038/s41598-019-42826-2>
- 498. <https://doi.org/10.1007/s13369-022-07585-9>

Hasnul, M. A., Aziz, N. A. A., Alelyani, S., Mohana, M., & Aziz, A. A. (2021). Electrocardiogram-Based Emotion Recognition Systems and Their Applications in Healthcare-A Review. *Sensors (Basel, Switzerland)*, 21 (15), 5015. [Crossref⁴⁹⁹](#)

Li, Y., Tan, R., Lin, T., Liu, Q., Wang, C. D., & Chen, M. (2024). ER-GET: Emotion Recognition Based on Global ECG Trajectory. *IEEE journal of biomedical and health informatics*, 28 (9), 5201–5213. [Crossref⁵⁰⁰](#)

Woods, R. A., & Hill, P. B. (2022). Myers Briggs. In *StatPearls*. StatPearls Publishing. [PubMed⁵⁰¹](#)

Wallick, M. M., & Cambre, K. M. (1999). Personality types in academic medicine. *The Journal of the Louisiana State Medical Society : official organ of the Louisiana State Medical Society*, 151 (7), 378–383. [PubMed⁵⁰²](#)

Tobacyk, J. J., Livingston, M. M., & Robbins, J. E. (2008). Relationships between Myers-Briggs type indicator measure of psychological type and neo measure of big five personality factors in Polish University students: a preliminary cross-cultural comparison. *Psychological reports*, 103 (2), 588–590. [Crossref⁵⁰³](#)

Eicke, F. J., Blake, G., & Replegle, W. (1993). A comparative view of the Myers-Briggs type indicator. *Family medicine*, 25 (3), 186–190. [PubMed⁵⁰⁴](#)

Electromagnetism

Blank, Martin; Goodman, Reba . (2011). DNA is a fractal antenna in electromagnetic fields. *International Journal of Radiation Biology*, 87(4), 409–415. [Crossref⁵⁰⁵](#)

Cantero, M.d.R., Villa Etchegoyen, C., Perez, P.L. et al. Bundles of Brain Microtubules Generate Electrical Oscillations. *Sci Rep* 8, 11899 (2018). [Crossref⁵⁰⁶](#)

Gutierrez, B.C., Cantiello, H.F. & Cantero, M. The electrical properties of isolated microtubules. *Sci Rep* 13, 10165 (2023). [Crossref⁵⁰⁷](#)

Meijer, Dirk. (2018). Processes of Science and Art Modeled as a Holoflux of Information Using Toroidal Geometry. *Open Journal of Philosophy*. 8. 365-400. [10.4236/ojpp.2018.84026⁵⁰⁸](#)

Kuman, Maria. (2018). Our Weak Nonlinear Electromagnetic Field (Nemf) that Rules Everything in the Body is Emotionally Sensitive. *Journal of Complementary Medicine & Alternative Healthcare*. 8. [10.19080/JCMAH.2018.08.555731⁵⁰⁹](#)

- 499. <https://doi.org/10.3390/s21155015>
- 500. <https://doi.org/10.1109/JBHI.2024.3403188>
- 501. <https://pubmed.ncbi.nlm.nih.gov/32119483/>
- 502. <https://pubmed.ncbi.nlm.nih.gov/10474985/>
- 503. <https://doi.org/10.2466/pr0.103.2.588-590>
- 504. <https://pubmed.ncbi.nlm.nih.gov/8458560/>
- 505. <https://doi.org/10.3109/09553002.2011.538130>
- 506. <https://doi.org/10.1038/s41598-018-30453-2>
- 507. <https://doi.org/10.1038/s41598-023-36801-1>
- 508. https://www.researchgate.net/publication/326972894_Processes_of_Science_and_Art_Modeled_as_a_Holoflux_of_Information_Using_Toroidal_Geometry
- 509. https://www.researchgate.net/publication/330217977_Our_Weak_Nonlinear_Electromagnetic_Field_Nemf_that_Rules_Everything_in_the_Body_is_Emotionally_Sensitive

부록 3.

참고 문헌

1. "프롤로그: 인생 프로젝트 완수하기 - 1권: 질병, 치유, 변화: 자원의 길" (Christine Degoy 저)
체계적인 접근 방식을 통해 건강과 웰빙을 재조명하여 자신의 존재를 재정의하고 인생 프로젝트에 대한 더 깊은 이해를 돕는 혁신적인 가이드입니다. 이 책은 내면의 소통을 키우고 현실에 대한 인식을 변화시키며 자신의 존재 이유를 완전히 구현하는 데 필요한 도구를 제공합니다.
2. "프롤로그: 삶의 의미 재발견 - 2권: 몸의 인생 프로젝트: 이해, 잠금 해제, 변혁" (Christine Degoy 저)
프롤로그 장기 해독을 통해 신체의 각 부분이 우리 존재의 더 깊은 차원을 어떻게 반영하는지 알아보세요. 이 책은 삶의 경험과 신체 건강 사이의 연관성을 탐구하여 에너지 막힘을 이해하고, 막힘을 풀고, 변화시키는 열쇠를 제공합니다. 이 책은 내면의 자원과 숨겨진 잠재력에 집중함으로써 전체적인 비전을 통해 인생 프로젝트를 포용하고 몸과 마음을 조화롭게 하여 완전히 충만한 삶을 살 수 있도록 초대합니다.

에너지와 전기 의학

3. "신체 전기: 전자기학과 생명의 기초" 로버트 베커와 게리 셸든 지음
이 획기적인 책은 인체의 전자기장과 그것이 치유, 에너지 흐름, 건강에 미치는 심오한 영향을 탐구합니다. 생체 전기에 대한 베커의 연구는 인체의 에너지 시스템 뒤에 숨겨진 과학을 이해하는 데 필수적인 통찰력을 제공합니다.
4. "기계 속의 불꽃: 침술의 과학이 서양 의학의 신비를 설명하는 방법" 다니엘 키운(Daniel Keown) 박사
다니엘 키운 박사는 서양의학과 고대 침술 관행 사이의 간극을 메우고, 에너지가 신체를 통해 어떻게 흐르고 어떻게 치유에 활용될 수 있는지에 대한 포괄적인 설명을 제공합니다.
5. "에너지 의학: 제임스 L. 오슈먼의 "에너지 의학: 과학적 근거"
이 책은 전자기장, 경락 및 기타 에너지 시스템이 건강에 미치는 영향에 대한 증거를 제시하면서 에너지 의학의 과학적 근거에 대한 철저한 탐구를 제공합니다. 오슈먼은 물리학 및 생물학을 바탕으로 기존 치료법과 대체 치료법을 모두 보완하는 방식으로 신체의 에너지 시스템을 설명합니다.
6. "진동 의학: 미묘한 에너지 치료의 #1 핸드북" (Richard Gerber 저)
거버의 고전적인 텍스트는 미묘한 에너지 의학 분야를 이해하는 데 필수적인 자료입니다. 이 책은 에너지 장, 차크라, 진동 요법이 몸과 마음을 치유하는 방법에 대한 자세한 개요를 제공합니다.
7. "교차 전류: 전기 오염의 위험, 전자 의학의 약속" 로버트 O. 베커의 글
베커의 *The Body Electric* 후속작인 이 책은 현대 전기 기술이 건강에 미치는 영향을 조사하는 동시에 전자기 치료가 치유에 어떻게 도움이 될 수 있는지 탐구합니다.
8. "믿음의 생물학: 의식, 물질, 기적의 힘을 발휘하라" 브루스 린튼(Bruce H. Lipton) 저서
이 책은 생물학과 믿음의 교차점을 탐구하여 마음이 세포 수준에서 신체에 어떤 영향을 미치는지 보여줍니다. 린튼은 에너지장과 의식이 생물학적 과정에 어떻게 영향을 미치는지 설명합니다.
9. "필드: 우주의 비밀스러운 힘에 대한 탐구" 린 맥타가트의 글
맥타가트는 모든 물질을 연결하는 우주적 에너지 장인 영점장에 대한 최첨단 과학을 탐구합니다. 이 책은 생명의 에너지적 본질과 이 에너지를 치유에 어떻게 활용할 수 있는지에 대한 통찰력을 제공합니다.
10. "치유는 전압이다: 핸드북", 제리 테넨트 저
테넨트 박사는 신체의 전압, 특히 세포 수준에서 전압이 건강에 얼마나 중요인지 설명합니다. 그는 적절한 전위를 유지하는 것이 어떻게 치유와 웰빙의 기본이 되는지에 대한 포괄적인 관점을 제공합니다.

현대 영성

11. 토마스 캠벨의 "나의 큰 발가락(모든 것의 이론)"
현실과 의식의 본질, 물리적인 것과 형이상학적인 것의 연관성을 탐구하는 종합적인 3부작입니다. 물리학자이자 의식 연구자인 캠벨은 과학과 영성을 결합하여 명상, 의식의 변화된 상태, 우주의 에너지에 대한 이해를 뒷받침하는 존재 모델을 제시합니다.
12. "조명된 마음: 더 큰 마음챙김을 위한 불교의 지혜와 뇌 과학을 통합한 완벽한 명상 가이드" (John Yates(Culadasa) 저)
쿨라다사의 가이드는 고대 불교의 가르침과 현대 신경과학에 뿌리를 둔 명상 수행에 대한 철저한 단계별 설명입니다. 전통적인 명상 기법과 뇌에 대한 현대 과학적 이해 사이의 간극을 메워줍니다.
13. "변화된 특성: 명상이 마음과 뇌, 신체를 어떻게 변화시키는지 과학이 밝혀낸 진실" 다니엘 골먼과 리처드 J. 데이비슨의 저서
이 책은 명상을 둘러싼 과학적 연구를 심층적으로 분석하여 명상이 뇌와 신체에 미치는 심오한 영향을 탐구합니다. 골먼과 데이비슨은 수십 년에 걸친 연구를 바탕으로 명상이 어떻게 지속적인 심리적, 생리적 변화를 가져오는지 설명합니다.
14. "깨어남: 종교 없는 영성을 위한 가이드", 샘 해리스의 글
신경과학자이자 철학자인 샘 해리스는 과학과 개인적인 경험을 바탕으로 영성과 명상에 대한 이성적인 접근법을 제시합니다. 그의 책은 특히 명상이 어떻게 종교적 틀 없이도 의식에 대한 인식과 이해에 심오한 변화를 가져올 수 있는지에 초점을 맞추고 있습니다.
15. "지금의 힘: 영적 깨달음을 위한 안내서", 에크하르트 톨레 저
널리 읽히는 톨레의 책은 마음챙김과 현재에 머무르는 것의 중요성을 강조합니다. 그의 가르침은 더 온전하고 마음챙김으로 사는 방법에 대한 실용적인 통찰을 제공하며, 이는 *싱 더 바디 일렉트릭*에서 논의한 웰빙의 에너지적, 정신적 측면과도 일치합니다.
16. 딘 라딘의 "진짜 마법: 고대의 지혜, 현대 과학, 그리고 우주의 비밀스러운 힘에 대한 안내"
초심리학 분야의 선도적인 연구자인 Radin은 텔레파시, 예지력, 정신 운동과 같은 현상에 대한 과학적 증거를 탐구하며 의식, 에너지, 현실의 더 넓은 구조 사이의 연관성을 이끌어냅니다. 이 책은 물리적인 것 너머의 다른 현실을 이해하기 위한 기초를 제공합니다.
17. "의식의 물리학: 양자 마음과 삶의 의미", 에반 해리스 워커 저
이 책은 양자 물리학 및 의식과의 관계를 탐구합니다. 워커는 양자역학에서 관찰자의 역할을 탐구하고 의식이 우주의 근본이라는 이론을 제시하여 에너지와 존재에 대한 폭넓은 이해에 기여합니다.
18. h.p. 블라바츠키의 "비밀 교리"
이 신지학의 기본 텍스트는 우주의 본질, 의식, 영적 진화에 대해 탐구합니다.
19. 울더스 헉슬리의 "울더스 헉슬리의 다년생 철학"
울더스 헉슬리는 보편적인 진리를 강조하면서 다양한 종교에 걸쳐 영성의 공통점을 살펴봅니다.
20. 피에르 르콩트 뒤 누이의 "인간의 운명"
이 책은 과학, 철학, 종교의 교차점을 탐구하며 인간의 진화가 신성한 목적에 의해 이끌린다는 생각을 주장합니다. 인류의 영적 잠재력과 인간의 의식에 수반되는 도덕적 책임에 대해 논의합니다.
21. 피에르 르콩트 뒤 누이의 "이성의 길"
이 철학적 작품에서 르콩트 뒤 누이는 우주를 이해하는 데 있어 이성과 과학적 사고의 중요성에 대해 이야기합니다. 또한 과학적 진보가 도덕적, 영적 발전과 어떻게 통합되어야 하는지에 대해서도 탐구합니다.

디지털 신호 처리

22. 리처드 G. 라이온스의 **"디지털 신호 처리의 이해"**
이 책은 디지털 신호 처리(DSP)에 대한 명확하고 접근하기 쉬운 입문서로, 초보자도 복잡한 개념을 이해할 수 있도록 도와줍니다. 필터링, 푸리에 분석, 샘플링 이론과 같은 주제를 실용적이고 따라 하기 쉬운 방식으로 다루고 있어 오디오 분석을 위한 신호 처리의 기초에 관심이 있는 분들에게 이상적입니다.
23. **"디지털 신호 처리를 위한 과학자 및 엔지니어 가이드"**(Steven W. Smith 저)
실용적인 예제와 애플리케이션을 통해 DSP 개념을 소개하는 인기 있고 읽기 쉬운 책입니다. 단계별 가이드와 실제 예제를 통해 신호 처리의 작동 방식을 설명하는 무료 온라인 자료로, 초보자, 특히 오디오 및 음악 신호 분석에 관심이 있는 분들도 쉽게 접근할 수 있습니다.
24. 우도 줄저의 **"디지털 오디오 신호 처리"**
이 책은 디지털 필터, 오디오 효과, 시간-주파수 분석 등의 분야를 중심으로 디지털 오디오 신호 처리의 원리와 응용 분야를 소개합니다. 기술적인 내용이지만 DSP에 대한 기본 지식이 있는 독자들이 쉽게 접근할 수 있는 방식으로 설명되어 있습니다.
25. **"오디오 콘텐츠 분석 입문: 신호 처리 및 음악 정보학의 응용"** 작성자: Alexander Lerch
이 텍스트는 오디오 및 음악 신호 처리에 관심이 있는 분들에게 특히 유용합니다. 이 책은 신호 처리 알고리즘을 사용하여 음악 구조, 리듬, 화성과 같은 오디오 콘텐츠를 분석하는 기술을 소개합니다. 이 책은 학생과 전문가 모두에게 실용적이고 쉽게 접근할 수 있습니다.
26. **"C로 오디오 효과 플러그인 디자인하기: 디지털 오디오 신호 처리 이론으로"**(윌 피클 저)
이 책은 오디오 신호 처리의 애플리케이션 측면에 대해 자세히 알아보고 싶은 분들을 위해 C 프로그래밍을 사용하여 오디오 효과를 코딩하고 디자인하는 방법을 사용자 친화적으로 소개합니다. 실시간 오디오 효과를 만들기 위해 DSP를 어떻게 적용할 수 있는지 이해하고자 하는 초보자에게 이상적입니다.

정과 무의식

27. 칼 G. 융의 **"기억, 꿈, 반성"**
반자전적 작품인 이 책은 집단 무의식, 원형, 그림자와 같은 개념의 발전을 포함하여 융의 삶과 주요 사상을 다룹니다. 그의 심리학 이론에 대한 개인적인 통찰을 제공합니다.
28. 칼 G. 융의 **"원형과 집단 무의식"**
이 책은 융 심리학의 핵심 텍스트로, 무의식, 특히 집단 무의식과 그 원형적 이미지에 대한 그의 이론을 개괄적으로 설명합니다. 성격과 정신에 대한 융의 사상을 이해하기 위한 기초적인 독서입니다.
29. 칼 G. 융의 **"심리적 유형"**
이 작품에서 융은 나중에 마이어스-브릭스 유형 지표(MBTI)의 개발에 영향을 준 자신의 심리 유형 이론을 소개합니다. 그는 내향성과 외향성의 이분법과 성격을 형성하는 다른 심리적 기능에 대해 설명합니다.
30. 칼 G. 융의 **"인간과 그의 상징"**
융의 사상을 쉽게 소개하는 이 책은 꿈과 예술에서 무의식적 과정을 표현하는 상징의 사용에 대해 탐구합니다. 더 많은 독자를 위해 디자인되었으며 인간의 정신에 대한 통찰력을 제공합니다.
31. 칼 G. 융의 **"발견되지 않은 자아"**
융은 개인의 자기개발 욕구와 현대 사회의 압력 사이의 갈등을 탐구합니다. 이 책은 성격의 무의식과 그림자 측면을 탐색하는 데 있어 자기 인식의 중요성을 강조합니다.
32. 로버트 A. 존슨의 **"자신의 그림자 소유하기: 정신의 어두운 면 이해하기"**
그림자에 대한 융의 개념을 이해하기 위한 실용적인 가이드인 이 책은 심리적 균형과 개인적 성장을 위해 그림자 자아를 인식하고 통합하는 방법을 설명합니다.
33. 머레이 스타인의 **"융의 영혼의 지도: 소개"**
이 책은 그림자, 무의식, 개별화에 대한 아이디어를 포함하여 융의 성격 이론에 대한 소개를 제공합니다. 융 심리학을 처음 접하는 분들에게 좋은 자료입니다.
34. **"다른 선물: 이사벨 브릭스 마이어스, 피터 B. 마이어스 공저의 "성격 유형 이해"**
이 책은 융의 심리 유형을 기반으로 한 MBTI 성격 유형 체계에 대해 설명합니다. 다양한 성격 유형이 상호 작용하는 방식과 개인 및 직장 생활에 미치는 영향에 대한 통찰력을 제공합니다.

소리로 치유하기

35. **"소리의 치유력: 소리, 목소리, 음악을 이용한 생명을 위협하는 질병으로부터의 회복"** (Mitchell L. Gaynor 저)
이 책은 치유를 위한 사운드 테라피의 활용을 탐구하며, 진동과 주파수가 질병으로부터의 회복을 지원하는데 어떻게 사용될 수 있는지에 초점을 맞추고 있습니다. 중앙학자인 게이너는 의학적 통찰력과 사운드 치유법을 결합합니다.
36. **"인간 바이오피드 튜닝: 진동 사운드 테라피로 치유하기"** 작성자: Eileen Day McKusick
맥쿠식은 소리, 주파수, 진동이 인간의 에너지 장에 미치는 영향에 대해 논의하면서 생체장 해부학을 탐구합니다. 이 책에는 소리굽쇠와 기타 소리 도구가 어떻게 치유를 촉진할 수 있는지에 대한 정보가 포함되어 있습니다.
37. **"치유의 소리: 조나단 골드먼의 "치유의 소리: 고조파의 힘"**
이 책은 소리와 고조파를 사용하여 몸과 마음을 치유하는 개념을 설명합니다. 이 책에는 보컬 톤 및 배음 작업과 같은 소리 치유를 위한 실용적인 기술이 포함되어 있습니다.

38. **"소리 의학: 고대 소리의 과학을 이용해 몸과 마음을 치유하는 방법"** (클릿 차우다리 저)
이 책은 고대 아우르베다 의학의 현대의 소리 치료법을 결합한 책입니다. 차우다리는 만트라부터 현대 사운드 기술에 이르기까지 소리 주파수와 진동이 치유와 웰빙에 어떻게 사용될 수 있는지 설명합니다.

선구자

39. **"임프존: 댄 윈터의 '황홀경과 불멸의 비밀 과학'"**
댄 윈터는 특히 의식, 심장의 전기 활동, 생체 에너지와 관련하여 현실의 프랙탈적 특성을 탐구합니다. 그의 작품은 신성한 기하학, 파열, 행복의 물리학 개념을 하나로 묶습니다.
40. 댄 윈터의 **"프랙탈 시공간과 신성한 기하학"**
이 책은 의식의 기하학과 인간 에너지 분야를 탐구하며 생물학, 마음의 일관성, 우주에 대한 더 깊은 이해에서 프랙탈 구조의 함의를 강조합니다.
41. **"인체-장 해독하기: 의학으로서의 새로운 정보 과학"**, 피터 H. 프레이저의 강연
생체 에너지학의 선구자인 피터 H. 프레이저는 인체의 정보 시스템, 즉 "u201c인체장"이 건강과 치유에 어떤 영향을 미치는지 설명합니다. 그의 연구는 양자 생물학과 현대 의학을 에너지 치유법과 통합합니다.
42. **(저서 없음) 조엘 스텐하이머**
스텐하이머의 연구는 음표가 생물학적 과정과 어떻게 일치하는지에 대한 이론을 제시합니다. 그는 특정 주파수가 생명체의 분자 상호작용에 영향을 미칠 수 있다는 "프루틴 음악,"의 개념을 탐구합니다.

의식, 에너지, 현실

43. **"물의 네 번째 단계: 고체, 액체, 증기를 넘어"** 의 제럴드 폴락(Gerald Pollack)
폴락은 물의 속성과 생물학 및 에너지 의학에 미치는 영향에 대한 획기적인 연구를 발표합니다.
44. 크리스토퍼 바슈의 **"LSD와 우주의 마음"**
Bache는 개인적인 경험과 과학적 통찰을 통해 환각, 의식, 현실의 본질이 교차하는 지점을 탐구합니다.
45. **"삶 너머의 의식: 펄 반 롬멜의 "생명을 넘어선 의식: 임사 체험의 과학"**
반 롬멜은 임사 체험과 그것이 의식에 미치는 영향, 그리고 육체적 존재를 넘어선 자아의 연속성에 대한 포괄적인 고찰을 제공합니다.
46. 디디에 반 코렐러트의 **"기적을 믿지 않는 남자"**
이 소설은 의식과 양자 물리학의 주제를 엮어 현실과 믿음의 본질을 설득력 있는 내러티브를 통해 탐구합니다.
47. 폴커 마이스너의 **"일부러 건강하게: 자기 치유를 위한 충동"**
마이스너는 에너지 의학의 근간이 되는 과학적 원리를 조사하여 치료 잠재력과 메커니즘에 대한 통찰력을 제공합니다.
48. **"커넥티드: 글로벌 의식의 출현"** 로저 넬슨의 글
넬슨은 인간 의식의 상호 연결성과 집단적 경험 및 글로벌 의식을 이해하는 데 시사하는 바를 살펴봅니다.
49. 마크 헨리의 **"물 - 건강 - 정보 및 의식의 영역"**
헨리는 생물학적 시스템에서 물의 중요성과 에너지 전달 및 의식의 매개체로서의 물의 역할에 대해 논의합니다.
50. 레이몬드 무디의 **"삶 이후의 삶"**
무디의 획기적인 연구는 임사 체험의 개념을 소개하고 그러한 경험을 한 사람들이 보고한 공통적인 요소를 강조하는 수많은 사례 연구를 제시합니다.
51. 베티 J. 이디의 **"빛에 이끌리다"**
이 회고록은 이디가 임사 체험을 통해 얻은 통찰과 여행 중에 마주친 심오한 영적 계시를 공유합니다.
52. **"천국의 증거: 천국의 증거: 신경외과 의사의 사후 세계로의 여정"** 작성자: Eben Alexander
신경외과 의사인 알렉산더는 자신의 임사 체험을 공유하며 의식과 사후 세계에 대한 기존의 과학적 견해에 도전하는 설득력 있는 이야기를 들려줍니다.
53. 아니타 무르자니의 **"내가 되기 위한 죽음: 암에서 임종, 진정한 치유를 향한 나의 여정"**
아니타 무르자니가 암 투병 중 겪은 임사 체험과 그 과정에서 얻은 자기 수용과 치유에 대한 강력한 교훈을 공유합니다.
54. 로버트 A. 먼로의 **"몸 밖으로의 여행"**
이 고전적인 책은 먼로의 유제이탈 여행에 대한 개인적인 경험을 기록하고 육체를 넘어선 인간 의식의 가능성을 탐구합니다. 이 책은 의식 연구의 기초가 되는 텍스트 중 하나로 널리 알려져 있습니다.
55. 로버트 A. 먼로의 **"먼 여행"**
"몸 밖의 여행"의 속편으로, 먼로가 육체를 넘어선 여행을 통해 존재의 다른 차원을 탐구하고 의식에 대한 이해를 확장하는 과정을 심도 있게 탐구합니다.
56. 로버트 A. 먼로의 **"궁극의 여정"**
3부작의 마지막 책에서 먼로는 사후 세계, 존재의 본질, 인간의 목적과 같은 주제에 초점을 맞춰 변화된 의식 상태에서의 경험을 통해 얻은 통찰을 공유합니다.
57. 리처드 M. 버크의 **"우주 의식"**
버크는 우주 의식에 대한 자신의 경험을 설명하고 영적 진화에 대한 우주 의식의 의미를 탐구합니다.

58. 카를로스 카스타네다의 **"야키 지식의 길"**
이 책은 카스타네다가 야키족 사면과의 도제 생활을 통해 사머니즘 관습과 현실의 본질에 대해 탐구합니다.

생명윤리와 의학

59. **"생명윤리: 원칙, 쟁점, 사례"** 루이스 본의 글
본은 의료 행위의 주요 윤리적 원칙과 쟁점을 제시하고 실제 적용을 위한 사례 연구를 제공합니다.

의식 연구

60. **"의식과 우주: 로저 펜로즈 경과 스티우트 헤메로프 경의 "양자 물리학, 진화, 뇌와 마음"**
이 에세이 모음은 물리학, 신경과학, 철학의 통찰력을 결합하여 뇌의 양자 프로세스가 어떻게 의식적 경험을 설명할 수 있는지 탐구하면서 의식의 양자적 기원을 탐구합니다.
61. 다니엘 데넷의 **"의식 설명"**
데넷은 의식에 대한 포괄적인 이론을 제시하며 전통적인 견해에 반박하고 마음의 작용에 대한 통찰력을 제공합니다.
62. **"깨어남: 종교 없는 영성을 위한 가이드"** 샘 해리스의 글
해리스는 의식, 명상, 영성의 본질에 대해 이야기하며 마음을 이해하는 세속적인 접근법을 옹호합니다.

양자 물리학 및 형이상학

63. **"양자와 연꽃: 과학과 불교가 만나는 경계를 향한 여정"**, 마티유 리카드와 트린 쉰 언 투안 저
이 책은 양자 물리와 불교 철학의 유사점을 탐구하고 두 분야의 통찰력을 논의합니다.
64. 마이클 탈벗의 **"홀로그램 우주"**
Talbot은 우주가 홀로그램처럼 작동한다는 아이디어를 제시하며 양자 물리학의 통찰과 형이상학적 함의를 결합합니다.

심리학 및 심리 치료

65. 빅토르 E. 프랭클의 **"인간의 의미 찾기"**
프랭클은 실존 철학과 심리학을 통합하여 가장 끔찍한 상황에서도 목적을 찾는 심리적 여정을 탐구합니다.
66. 베셀 반 데르 클크의 **"몸은 점수를 유지한다: 트라우마 치유의 뇌, 마음, 몸"**
이 책은 트라우마가 몸과 마음에 미치는 영향에 대해 논의하며 치유를 위한 혁신적인 접근법을 강조합니다.
67. 존 C. 피에라코스의 **"핵심 에너지학"**
이 책은 신체 중심의 치료 방식인 코어 에너지학에 대한 피에라코스의 접근 방식을 개괄적으로 설명합니다. 그는 신체의 막힌 에너지를 풀어 정서적, 심리적 치유로 이어지는 방법을 탐구하고 영성과 심리치료를 통합합니다.

68. 에바 피에라코스의 **"자기 변화의 길잡이"**
존 피에라코스의 아내인 에바 피에라코스가 쓴 이 책은 핵심 에너지학의 영적, 에너지적 기초를 이해하는 데 필수적인 책입니다. 이 책은 피에라코스 자신의 치료 작업에 큰 영향을 준 페스워크 가이드의 가르침을 모아 엮은 것입니다.
69. **"내 목소리가 너와 함께 갈 것이다: 밀턴 H. 에릭슨의 가르침 이야기"** 밀턴 H. 에릭슨 지음, 시드니 로젠 편집
이 책은 에릭슨의 치료 이야기와 가르침의 이야기를 모은 책입니다. 깊은 심리적 변화를 촉진하기 위한 에릭슨의 간접 기법과 은유 사용을 강조하며, 에릭슨이 환자를 치유로 미묘하게 인도하는 방식에 대한 통찰력을 제공합니다.
70. **"흔하지 않은 치료법: 밀턴 H. 에릭슨의 정신과적 기법"** 제이 헤일리의 글
헤일리는 에릭슨의 혁신적인 단기 치료 기법에 대해 자세히 설명합니다. 이 책은 단 몇 번의 세션으로 환자를 빠른 치료의 돌파구로 이끄는 에릭슨의 비전통적이고 종종 놀라운 방법을 강조합니다.

시스템 이론과 시스템 사고

71. **"일반 시스템 이론: 루드비히 폰 베르탈란피의 "일반 시스템 이론: 기초, 발전, 응용"**
시스템 사고의 고전인 베르탈란피의 연구는 일반 시스템 이론의 기초를 소개하며, 이는 과학 전반의 학제 간 연구의 기초가 되었습니다. 그의 아이디어는 생물학에서 사회과학에 이르기까지 모든 분야에 영향을 미쳤습니다.
72. 그레고리 베이트슨의 **"마음의 생태학으로 가는 단계"**
팔로알토 그룹의 핵심 인물인 베이트슨의 에세이집은 커뮤니케이션, 심리학, 생태학 등의 주제를 다루고 있습니다. 그의 연구는 인간 커뮤니케이션과 상호작용에 대한 시스템 사고의 토대를 마련했습니다.
73. **"마음과 자연: 그레고리 베이트슨의 "마음과 자연: 필요한 통합"**
마음과 환경이 어떻게 서로 연결되어 있는지를 탐구하는 베이트슨의 또 다른 필수 텍스트입니다. 그의 아이디어는 인간의 상호작용, 학습, 생태학 측면에서 시스템 이론을 이해하는 데 기초가 됩니다.
74. **"현실의 사회적 구성: 지식 사회학 논문 (Peter L. Berger, Thomas Luckmann 저)"**
이 책은 사회 시스템과 현실이 어떻게 구성되고 유지되는지에 대한 탐구를 통해 시스템 사고와 연결됩니다.
75. **"삶의 시스템적 관점: 통합적 비전"** 프리즈프 카프라, 피에르 루이지 루이지의 저서
시스템 사고의 핵심 인물인 카프라는 생명 시스템에 대한 현대적이고 통합적인 이해를 제시합니다. 이 책은 시스템 이론과 생물학, 생태학, 의식을 연결합니다.
76. **"변화: 변화: 문제 형성과 문제 해결의 원리"** 폴 와츨라워, 존 위클랜드, 리처드 피쉬 저, 팔로알토대학교 출판부
팔로알토 그룹의 또 다른 필수 저작으로, 인간 시스템, 특히 가족과 조직에서 변화가 어떻게 일어나는지 시스템적 렌즈를 통해 탐구합니다.
77. **"지식의 나무: 인간 이해의 생물학적 뿌리"** 움베르토 R. 마투라나와 프란시스코 J. 바렐라의 저서
이 책은 생물학, 인지, 시스템 사고를 결합하여 생명 시스템을 이해하는 데 있어 핵심 개념인 자가조직(자가 생성 시스템)에 초점을 맞추고 있습니다.
78. **"사이버네틱스, 또는 동물과 기계의 제어와 커뮤니케이션"**(노버트 위너 저)
이 사이버네틱스의 기초 텍스트는 기계와 생명체 모두에서 통신 및 제어 프로세스가 어떻게 작동하는지를 탐구합니다.
79. **"다섯 번째 분야: 학습 조직의 예술과 실제"** 피터 M. 센지의 저서
Senge의 연구는 시스템 사고를 조직 개발에 적용합니다. 복잡한 조직을 학습과 적응력을 위해 어떻게 구조화할 수 있는지에 초점을 맞춘 이 책은 비즈니스와 교육 분야에서 핵심 텍스트로 널리 인정받고 있습니다.